
ORIGINAL ARTICLE

Some aspects in early life stage of sand goby, *Oxyeleotris marmoratus* Larvae

**Thumronk Amornsakun¹, Wasan Sriwatana² and
Uraiwan Chamnanwech²**

Abstract

Amornsakun, T., Sriwatana, W. and Chamnanwech, U.

Some aspects in early life stage of sand goby, *Oxyeleotris marmoratus* Larvae

Songklanakarin J. Sci. Technol., 2002, 24(4) : 611-619

Larval sand goby were produced by controlled natural spawning. Fertilized eggs were incubated in an aquarium tank for hatching. Sampling of the newly-hatched larvae was done at 2-hour intervals, when 20 of them were randomly taken and preserved in 10% buffered formalin solution for later analysis to determine the time of final yolk absorption. Observation using a microscope revealed that newly hatched larvae were 2.39 ± 0.12 mm in total length and had yolk sacs of $55.32 \pm 14.85 \mu\text{m}^3$ volume. The yolk sacs were completely absorbed within 82 hr after hatching at a water temperature of 27.0-30.5 °C.

Up until full mouth development (start of feeding), 2-hourly samplings of twenty newly hatched larvae were taken from the aquarium hatching tank for observation of the size of mouth opening. All the larvae had open mouths about 36 hr after hatching (2.86 ± 0.97 mm TL), with the mouths measuring $332.29 \pm 17.76 \mu\text{m}$ in mouth height.

The start-of-feeding experiments were carried out using a 15-liter aquarium (water volume 10 liters) containing 1000 larvae aged 1.5 days post-hatching (just before the mouth opened). They were fed with

¹Ph.D. (Aquaculture), Asst. Prof., Fisheries Technology Program, Department of Technology and Industries, Faculty of Science and Technology, Prince of Songkla University, Pattani Campus, Muang, Pattani 94000

²B.Sc. (Fisheries), Pattani Inland Fisheries Development Center, Yarang, Pattani 94160 Thailand.

Corresponding e-mail : thumronk@bunga.pn.psu.ac.th

Received, 2 January 2002 Accepted, 30 April 2002

rotifer at a density of 5-10 ind/ml. Twenty larvae were collected at random from the aquarium at 2-hourly intervals, preserved in 10% buffered formalin solution, and then dissected to determine the presence of rotifer in the digestive tract. Digestive tracts fixed 80 hr after hatching at water temperatures of 27.0-30.5 °C., had mouth height of 549.69 ± 47.94 µm. The average number of rotifer in the digestive tract at the start of feeding was 0.57 individual/larva.

A starvation experiment was carried out using a 15-liter aquarium (water volume 10 liters) with three replications. Two hundred newly hatched larvae of sand goby were kept without feeding. Larvae started to die at 84 hr and totally died within 130 hr after hatching at water temperature ranging from 27.0 to 30.5 °C.

Key words : yolk absorption, mouth development, start of feeding, starvation, sand goby,
Oxyeleotris marmoratus

บทคัดย่อ

สำเร็ง อมรสกุล¹ วัฒน์ ศรีวัฒน์² และ อุไรวรรณ ชำนาญเวช²
ลักษณะบางประการในระยะวัยอ่อนของลูกปลาบู่ทราย

ว. สงขลานครินทร์ วทท. 2545 24(4) : 611-619

ลูกปลาบู่ทรายผลิตโดยการทำการเพาะขยายพันธุ์ปลาโดยวิธีการเลี้ยงแบบธรรมชาติโดยใช้น้ำอุ่น ไนท์ได้รับการสมพันธุ์สำหรับในตู้กระจก สุ่มลูกปลาที่ฟักออกมาใหม่ จำนวน 20 ตัว ทุก ๆ 2 ชั่วโมง เก็บดองในน้ำฟีฟอร์ฟอร์มาลีน 10% เพื่อใช้ทำการศึกษาการยุบตัวของไข่แดง โดยใช้กล้องจุลทรรศน์ พบร่วมกับฟักออกมาใหม่มีความยาวเฉลี่ย 2.39 ± 0.12 มม. ปริมาตรของไข่แดงเฉลี่ย 55.32 ± 14.85 ลบ. ในโครเมตต์ ไนท์แดงยุบตัวอย่างสมบูรณ์ประมาณ 82 ชั่วโมง หลังจากฟักออกเป็นตัว ที่อุณหภูมิของน้ำ 27.0-30.5 °C

การพัฒนาของปาก สุ่มลูกปลาจำนวน 20 ตัวจากตู้กระจกที่ใช้สำหรับฟักไข่ ทุก ๆ 2 ชั่วโมง เพื่อทำการศึกษาความสูงของปาก พบร่วมที่ 36 ชั่วโมงหลังจากฟักออกเป็นตัว (2.86 ± 0.97 mm TL) ปากของลูกปลาเริ่มเปิด วัดความสูงของปากได้ 332.29 ± 17.76 ไมโครเมตร

ศึกษาการเริ่มนกินอาหารของลูกปลาบู่ทรายโดยใช้ตู้ปลาขนาดปฐมภาคร 15 ลิตร (ปริมาตรน้ำ 10 ลิตร) ใส่ลูกปลาอายุ 1.5 วันหลังจากฟักออกเป็นตัว (ระยะก่อนที่ปากจะเปิด) จำนวนตู้ละ 1000 ตัว โดยให้ลูกปลากินโรติเฟอร์เป็นอาหาร ในอัตราความหนาแน่น 5-10 ตัว/ml. สุ่มลูกปลาจำนวน 20 ตัว จากตู้ปลาที่ใช้ทำการศึกษา ทุก ๆ 2 ชั่วโมง เก็บดองในน้ำฟีฟอร์ฟอร์มาลีน 10% พบร่วมที่ 80 ชั่วโมงหลังจากฟักออกเป็นตัว ที่อุณหภูมิ 27.0-30.5 °C ความสูงของปากเฉลี่ย 549.69 ± 47.94 ไมโครเมตร ในระบบทางเดินอาหารปรากฏโรติเฟอร์เฉลี่ย 0.57 ตัว/ลูกปลา ซึ่งหมายความถึงการเริ่มนกินอาหารของลูกปลา

ศึกษาการอดอาหารจนตายในลูกปลาบู่ทรายโดยใช้ตู้ปลาขนาดปฐมภาคร 15 ลิตร (ปริมาตรน้ำ 10 ลิตร) จำนวน 3 ตัว ใส่ลูกปลาที่ฟักใหม่ จำนวนตู้ละ 200 ตัว เลี้ยงโดยไม่ให้อาหาร พบร่วมกับลูกปลาบู่ทรายเริ่นตายที่ 84 ชั่วโมงหลังจากฟักออกเป็นตัว และตายหมดที่ 130 ชั่วโมง ที่อุณหภูมิ 27.0-30.5 °C

¹ แผนกวิชาเทคโนโลยีการประมง ภาควิชาเทคโนโลยีและการอุดสานกรรม คณะวิทยาศาสตร์และเทคโนโลยี มหาวิทยาลัยสงขลานครินทร์ อำเภอเมือง จังหวัดปัตตานี 94000 ² ศูนย์พัฒนาประมงน้ำจืดปัตตานี อำเภอยะรัง จังหวัดปัตตานี 94160

Information on the early life history of fish such as yolk absorption, mouth and digestive tract development and starvation of the larvae is

needed for optimization of large-scale culture and ultimately for the management of the fish stocks. It is recognized that the critical period of

larval rearing begins at the time yolk absorption is completed. If some larvae do not begin to eat during that period, then they become weak and eventually die (Kosutaruk and Watanabe, 1984; Holm, 1986; Eda *et al.*, 1994 and Amornsakun and Hassan, 1996). Survival of fish larvae is determined by the interplay of various environmental factors, such as temperature, food supply with a suite of species-specific characteristics, egg and larval size, yolk and oil quantity and resorption rates, and time of onset of feeding and feeding behaviour (Blaxter, 1974 and May, 1974). Larvae can use a varying part of their yolk sac energy content for various activities.

Mouth size development is very important in the first feeding of larvae to match appropriate prey size. Mouth size at first feeding stage of various larval fish to encounter their prey size has been well documented for a number of cultured fish (Shirota, 1970; Nash *et al.*, 1974; Fukuhara, 1986; Doi and Singhagrawan, 1993 and Eda *et al.*, 1994).

To date, no research on sand goby regarding the yolk absorption, mouth development in relation to feeding on rotifer and starvation has been undertaken.

The purpose of this study was to investigate the period of yolk absorption, the onset of first feeding, mouth development and starvation in larval sand goby. These may provide baseline information useful for optimization of large scale culture and ultimately for the culture management of this fish in future.

Materials and Methods

Larvae of sand goby were produced by controlled natural spawning. The sexually mature fish were cultured in earthen ponds with stocking density of 2 fishes/m² and fed with fresh fish at 1% of body weight every second day. Concrete plates as fish nesting were prepared for spawning activities and egg observation at the plates was made once a day at 0800 hr. Fertilized eggs were transferred to an aquarium hatching tank. The water depth level in the spawning pond was 1.5

meter and 10% water replacement was carried out daily.

Yolk absorption experiment

The time of yolk absorption and the size of yolk-sacs were determined using a profile projector. Twenty newly-hatched larvae were taken at random at 2 hourly intervals from the rearing aquarium until the yolk sacs were fully absorbed. Yolk volumes were calculated using the formula $4/3 \times \pi (R1/2)^2 \times R2/2$ (R1, minor axis; R2, major axis) (Fukuhara, 1986). The specimens were fixed in 10% buffered formalin solution.

Mouth development experiment

Up until full mouth development (start of feeding), samples of twenty newly hatched larvae were taken every 2 hours from the rearing aquarium for observation of the size of mouth opening, and measurement of upper jaw length was done using a profile projector. The mouth height was calculated by multiplying the upper jaw length by $\sqrt{2}$ (Shirota, 1970). Specimens were fixed in 10% buffered formalin solution.

Start-of-feeding experiment

The experiment was carried out using 15-liter aquaria (water volume 10 liters) containing 1000 larvae aged 1.5 days post hatching (just before the mouth opened). They were fed with rotifer (100 µm, width) at a density of 5-10 individual/ml. Twenty larvae were collected at random from the aquarium at 2-hourly intervals, and preserved in 10% buffered formalin solution. They were then dissected to determine the presence of rotifer in the digestive tract which would signal the time of the start of feeding (Pechmanee *et al.*, 1986). The procedure was carried out with three replications.

Starvation experiment

A starvation experiment was carried out using a 15-liter aquarium (water volume 10 liters). Two hundred newly hatched larvae were kept without feeding and mortalities of starved larvae

were recorded at 2 hourly intervals until all had died (Fukuhara, 1987). The procedure was carried out in triplicate.

Results

Newly hatched larvae were 2.39 ± 0.12 mm in total length (mean \pm SD, $n = 20$), and had yolk sacs of 55.32 ± 14.85 μm^3 volume (mean \pm SD, $n = 20$) (Figure 1 and Figure 2). The yolk sacs were completely absorbed within 82 hr (3.4

days) after hatching at water temperatures of 27.0 - 30.5 °C. Observation of 20 larvae showed that after 36 hr the yolk size was about 54.68 % of initial size.

All larval mouths were open 36 hr after hatching but were not yet functioned (2.86 ± 0.97 mm TL), and measured 332.29 ± 17.76 μm in mouth height. At 80 hr after hatching, the fish started feeding on the rotifer at which time the yolk sac remained at 6.16 % of its initial volume. Some digestive tracts developed fully within

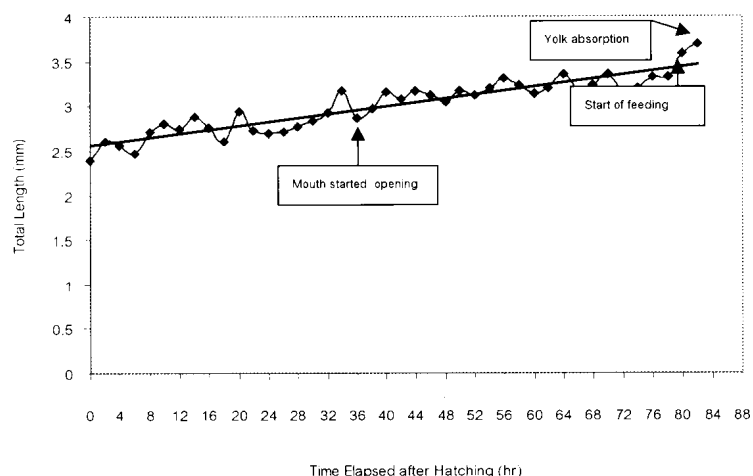
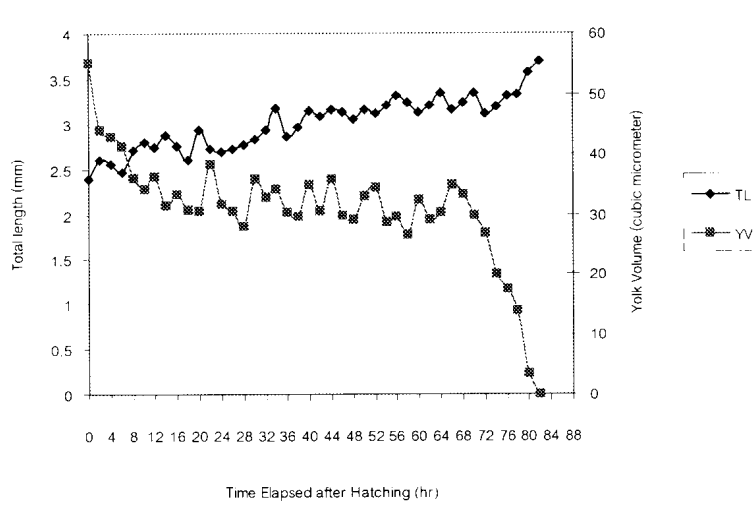


Figure 1. Increase in length of sand goby larvae at elasped time after hatching



**Figure 2. Total length (TL) and yolk absorption of larval sand goby at elasped time after hatching.
YV: Yolk volume**

80 hr after hatching at water temperatures of 27.0-30.5 °C, measured 549.69 ± 47.94 µm in mouth height (Figure 3), and contained numbers of rotifer, indicating that feeding had commenced. Numbers of rotifer in the digestive tract per larva in replicates 1, 2 and 3 were 0.6 individual, 0.6 individual and 0.5 individual, respectively. Thus the average number of rotifer in the diges-

tive tract at the start of feeding was 0.57 individual/larva.

Without feeding, the larval sand goby started to die in all experiments at 84 hr and totally died within 130 hr (5.4 days) after hatching (Figure 4). Water temperature ranged from 27.0 to 30.5 °C.

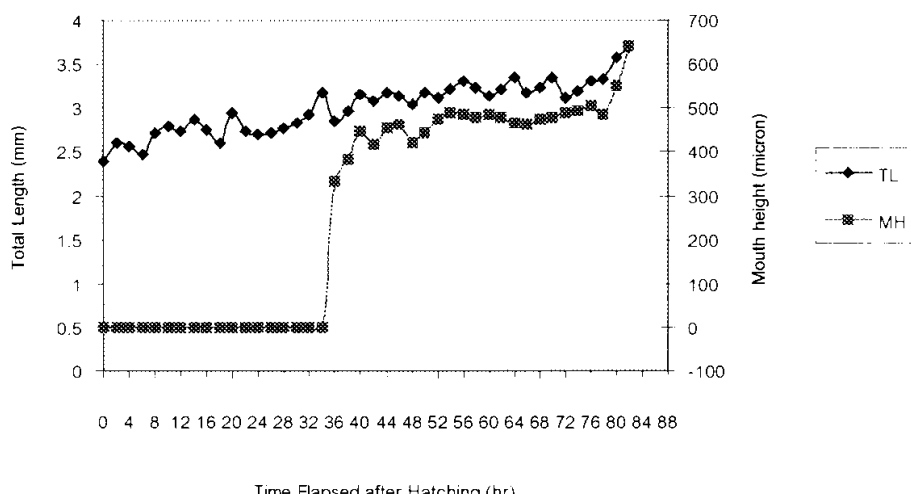


Figure 3. Total length (TL) and development of mouth opening of larval sand goby at elapsed time after hatching. MH: Mouth height

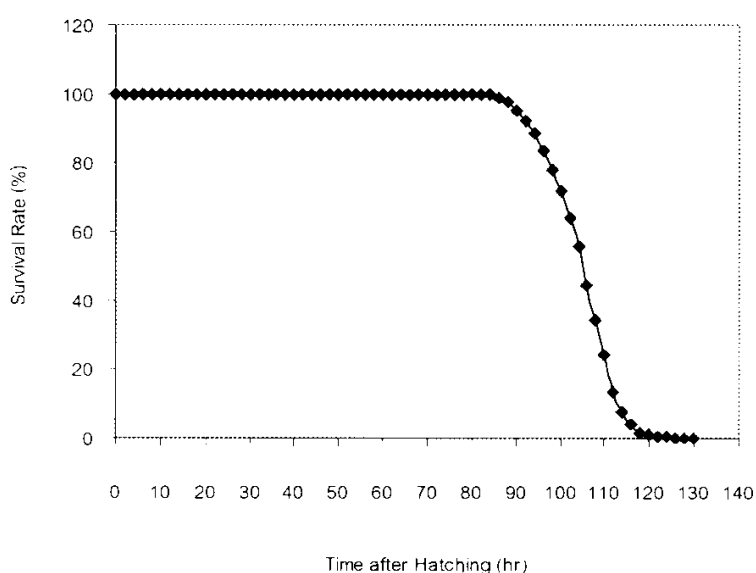


Figure 4. Survival rate of larval sand goby after hatching without feeding at 27.0-30.5 °C

Discussion

The yolk absorption period for newly-hatched larval sand goby (3.4 days after hatching) was found to be similar to that of a number of fish, both marine and freshwater types. Amornsakun *et al.* (1997) reported the yolk absorption of larval green catfish, *Mystus nemurus*, as being complete at 3 days after hatching at water temperatures of 25-30 °C. Houde *et al.* (1976) reported the yolk absorption of larval white mullet, *Mugil curema* Valenciennes, as being complete at 3.5 days after hatching at water temperatures of 26-27 °C. The yolk of larval milkfish, *Chanos chanos*, was completely absorbed in about 2.5 day-old larvae at water temperatures of 26.4-29.9 °C. (Chaudhuri *et al.*, 1978). The yolk absorption of larval freshwater catfish, *Clarias* sp., was completed 3-4 days after hatching (Tarnchalanukit *et al.*, 1982).

The larvae of rabbitfish, *Siganus guttatus*, have rapid development of the eye, mouth and alimentary tract during the yolk-sac stage which makes it possible for the larvae to feed before the yolk is completely absorbed (Bagarinao, 1986). Morphological investigations of the jaw and the digestive tract showed that larval cod, *Gadus morhua*, is able to absorb ingested food well before exhaustion of the yolk sac (Kjorsvik, *et al.*, 1991). In this study, through microscopic observation, it was found that after 36 hr about 54.68% of yolk remained and the mouths of all larval sand goby had already opened but were not yet functioning. The yolk sac remaining at the time first feeding of sand goby larvae was less than that in green catfish and red-tail catfish. The result of the present study reveals that sand goby larvae start to feed supplied rotifer at 80 hr after hatching (549.69 ± 47.94 µm, mouth height) when their yolk sacs remain at 6.16% of its initial volume. Comparatively, Amornsakun *et al.* (1997) reported that the green catfish started feeding on *Moina* at 52 hr after hatching when the yolk sac remained at 31.20 % of its initial volume. The red-tail catfish started feeding on *Moina* at 64 hr after hatching at which time the yolk sac re-

mained at 13.03 % of its initial volume (Amornsakun, 1999). The larval grey mullet, *Mugil cephalus*, growth curve consisted of an increase on the first day, which coincided with rapid yolk absorption (Kuo *et al.*, 1973). Reduction of growth and poor swimming activity of unfed fish larvae after complete yolk absorption, led to a critical point for larval survival in association with yolk absorption in the larval life of the black sea bream (Fukuhara, 1987). The length of time from hatching to first feeding depends upon the nutrients stored in the yolk sac (Hodson and Blunt, 1986 and Ware, 1975) and environmental factors (Houde, 1974). Ishibashi (1974) reported the first feeding of the larval *Tilapia sparmanii* started later as the water temperature decreased, i.e. they took food on day 2 at 30 °C, on day 3 at 27 °C and on day 6 at 24 °C.

The size of the first live food, rotifer (100 µm width), was 18.7 % of mouth height (549 µm height) of the larval sand goby in this study (3.58 ± 0.61 mm TL). It is close to the range 20-40 % of the mouth size in various fishes as reported by Ito and Suzuki (1977), Hunter (1980), Amornsakun *et al.* (1997) and Amornsakun (1999). Larval sand goby is considered as a fish species difficult to rear in early life stages since certain food organisms with appropriate size suitable to larval mouth (18.7 % of mouth height).

The start of feeding, with a mouth height (549 µm) of larval sand goby is similar to green catfish and red-tail catfish but the time of first feeding is later than in those fish. Green catfish and red-tail catfish started to feed on *Moina* when the mouth heights were 553 µm at 52 hr after hatching and 534 µm at 64 hr after hatching, respectively (Amornsakun *et al.*, 1997 and Amornsakun, 1999). On the contrary, the mouth height at first feeding of larval sand goby is greater than that of rabbitfish and grouper. Juario *et al.* (1985) reported that the mouth of the larval rabbitfish, *Siganus guttatus* (Bloch), was about 125 µm wide when feeding started 2 days after hatching on rotifers. Maneewong *et al.* (1986) reported the mouth size of the larval grouper,

Epinephelus malabaricus (Bloch and Schneider), was $169.7 \pm 16.1 \mu\text{m}$ when it was first able to consume rotifers with size of $91-100 \mu\text{m}$ width. Mouth size appears to be the limiting factor in juvenile fish feeding on both natural and pellet diets (Hyatt, 1979). Nash *et al.* (1974) reported the mouths of larval mullet, *Mugil cephalus*, open when the jaws are becoming ossified and eye pigment is sufficiently developed. Larvae with small mouths grew more slowly than those with larger ones (Shirota, 1970 and Arumugum and Geddes, 1987). The mouth height of the larval sand goby was linearly related to total length. The same relationship between mouth height and total length was also found in larval perch, *Perca fluviatilis* (Guma, 1978).

Rotifer could be a good live food for larval sand goby because of its suitable size and ease of culture. The number of rotifer in the digestive tract at the start of feeding was 0.57 ind/larva. This is less than reported in milkfish. Eda *et al.* (1990) reported that the gut of milkfish, *Chanos chanos*, larvae (3.57-3.81 mm, TL) was first found to contain rotifers 80 hr after hatch. The number of rotifers in the milkfish gut ranged from 1-4 individual/larva.

Without feeding, the larval sand goby become debilitated and eventually started to die off in all experiments at 84 hr after hatching. A catastrophic mortality by 50 % was observed at 106 hr after hatching and all died off within 130 hr after hatch at water temperatures of 27.0-30.5 °C. Larvae can tolerate feeding delay up to a certain point depending on the amount of yolk, temperature and other species-specific characteristics (May, 1974; Hunter, 1980 and Holm, 1986). Mortality of unfed sand goby larvae is similar to that of other starved fishes about 5 to 7 days after hatching, depending on the species. For example, in the northern anchovy, *Engraulis mordax*, mortality was observed on the sixth day after hatching (Lasker *et al.*, 1970), in the grey mullet, *Mugil cephalus*, on the seventh day after hatching (Kuo *et al.*, 1973), in the milk fish, *Chanos chanos*, on the sixth day after hatching

(Chaudhuri *et al.*, 1978), in the larval dragonets, *Repomucenus* sp., on the fifth to seventh day after hatching (Eda *et al.*, 1993) and in the seabass, *Lates calcarifer*, mortality was observed on the fifth day after hatching (Hassan and Amornsakun, 1996). Larval sand goby is able to slightly maintain its survival through starvation (5.4 days after hatching), shorter than red-tail catfish (8 days after hatching), possibly owing to its large yolk sac ($1443.17 \mu\text{m}^3$) (Amornsakun, 1999 and Amornsakun, 2000). Ishibashi (1974) observed that the yolk sac of unfed *Tilapia sparranii* larvae was absorbed faster than that of fed larvae. Larvae of sand goby are like other larvae in that after yolk is completely absorbed their mortality becomes pronounced, particularly 2 days after absorption. Lasker *et al.* (1970) experimented on delayed feeding period of *Engraulis mordax* and found in a catastrophic mortality after 2.5 days of complete absorption. The unfed larvae grow slowly, swim weakly, eventually falling to the bottom of the tank and dying.

Acknowledgments

I am grateful to the National Research Council of Thailand (TEC 44035) for financial support of the field work. I also thank Mr. Charan Wanna and Mr. Leetawat Tresink for assistance in research.

References

- Amornsakun, T. 1999. Some aspects in early life stages of larval red-tail catfish, *Mystus wyckiooides*. Songklanakarin J. Sci. Technol., 21(4): 401-406.
- Amornsakun, T. 2000. Influences of initial delay of feeding on growth and survival of larval red-tail catfish, *Mystus wyckiooides* Songklanakarin J. Sci. Technol., 22(1): 51-55.
- Amornsakun, T. and Hassan, A. 1996. Aspect in early life stage of larval red snapper, *Lutjanus argentimaculatus* (Forskal). Songklanakarin J. Sci. Technol., 18(1): 9-15.
- Amornsakun, T., Chiayvareesajja, S., Hassan, A., Ambak, A. and Jee, A. K. 1997. Yolk absorption

- and start of feeding of larval green catfish, *Mystus nemurus* (Cuv. & Val.). Songklanakarin J. Sci. Technol., 19(1): 117-122.
- Arumugum, P.T. and Geddes, M.C. 1987. Feeding and growth of golden perch larvae and fry, *Macquaria ambigua* Richardson. Trans. R. Soc. S. Aust., 111(1): 59-65.
- Bagarinao, T. 1986. Yolk resorption, onset of feeding and survival potential of larvae of three tropical marine fish species reared in the hatchery. Mar. Biol., 91: 449-459.
- Blaxter, J.H.S(ed). 1974. The Early Life History of Fish. New York: Springer-Verlag. 765 pp.
- Chaudhuri, H., Juario, J.V., Primavera, J.H., Samson, R. and Mateo, R. 1978. Observations on artificial fertilization of eggs and the embryonic and larval development of milkfish, *Chanos chanos* (Forskal). Aquaculture, 13: 95-113.
- Doi, M. and Singhagrawan, T. 1993. Biology and culture of the red snapper, *Lutjanus argenti-maculatus*. Thailand: The research project of fisheries resource development in the Kingdom of Thailand, Department of Fisheries. 51 pp.
- Eda, H., Fujiwara, T. and Takita, T. 1994. Embryonic, larval and juvenile development in laboratory-reared dragonets, *Repmucenus beniteguri*. Japan J. Ichthyol., 40(4): 465-473.
- Eda, H., Darwisito, S., Fujiwara, T. and Takita, T. 1993. Rearing of larval and juvenile dragonets, *Repmucenus* spp. Suisanzoshoku, 41(4): 553-558.
- Eda, H., Murashige, R., Eastham, B., Wallace, L., Bass, P., Tamaru, C.S. and Lee, C.S. 1990. Survival and growth of milkfish, *Chanos chanos* larvae in the hatchery. I. feeding. Aquaculture, 89: 233-244.
- Fukuhara, O. 1986. Morphological and functional development of Japanese flounder in early life stage. Bull. Jap. Soc. Sci. Fish., 52(1): 81-91.
- Fukuhara, O. 1987. Larval development and behavior in early life stages of black sea bream reared in the laboratory. Nippon Suisan Gakkaishi, 53(3): 371-379.
- Guma, S.A. 1978. The food and feeding habits of young perch, *Perca fluviatilis*, in Windermere. Freshwater Biol., 8: 177-187.
- Hassan, A. and Amornsakun, T. 1996. The influences of initial delay of feeding on survival and growth of the seabass, *Lates calcarifer*. In the 1996 Annual Meeting of the World Aquaculture Society (January 29 - February 2, 1996), Queen Sirikit National Convention Center, Bangkok, Thailand, p. 17.
- Hodson, P.V. and Blunt, B.R. 1986. The effect of time from hatch on the yolk conversion efficiency of rainbow trout, *Salmo gairdneri*. J. Fish. Biol., 29: 37-46.
- Holm, J.C. 1986. Yolk sac absorption and early food selection in Atlantic salmon feeding on live prey. Aquaculture, 54: 173-183.
- Houde, E.D. 1974. Effects of temperature and delayed feeding on growth and survival of larvae of three species of subtropical marine fishes. Mar. Biol., 26: 271-285.
- Houde, E.D., Berkeley, S.A., Klinovsky, J.J. and Schekter, R.C. 1976. Culture of larvae the white mullet, *Mugil curema* Valenciennes. Aquaculture, 8: 365-370.
- Hunter, J.R. 1980. The feeding and ecology of marine fish larvae. In Bardach, J.E., Magnuson, J.J., May, R.C. and Reinhart, J.M. (Editors) Fish Behaviour and Its Use in Capture and Culture of Fishes. ICLARM Conf. Proc., Manila, Philippine, pp. 287-330.
- Hyatt, K.D. 1979. Feeding strategy. In Hoar, W.S., Randall, D.J. and Brett, J.R. (eds) Fish Physiology, Vol. VIII. London: Academic Press. pp. 71-119.
- Ishibashi, N. 1974. Feeding, starvation and weight changes of early fish larvae. In Blaxter, J.H.S. (ed) The Early Life History of Fish. New York: Springer-Verlag, pp. 339-344.
- Ito, T. and Suzuki, R. 1977. Feeding habits of a cyprinid loach in the early stages. Bull. Freshwater Res. Lab., 27:85-94.
- Juario, J.V., Duray, M.N., Nacario, J.F. and Almendras, J.M.E. 1985. Breeding and larvae rearing of the rabbitfish, *Siganus guttatus* (Bloch). Aquaculture, 44: 91-101.
- Kjorsvik, E., Meerent, T., Kryvi, H., Arnfinnsson, J. and Kvænseth, P.G. 1991. Early development of the digestive tract of cod larvae, *Gadus morhua* L., during start-feeding and starvation. J. Fish. Biol., 38: 1-15.
- Kosutaruk, P. and Watanabe, T. 1984. Growth and survival of newly hatched larvae of seabass, *Lates calcarifer* in starved condition. Report of Thailand and Japan Joint Coastal Aquaculture Research Project (April 1981-March 1984) No.1, September 1984. Thailand: National Institute of Coastal Aquaculture, pp. 81-82.

- Kuo, C.M., Shehadeh, Z.H. and Milisen, K.K. 1973. A preliminary report on the development, growth and survival of laboratory reared larvae of the grey mullet, *Mugil cephalus* L. J. Fish. Biol., 5: 459-470.
- Lasker, R., Feder, H.M., Theilacker, C.H. and May, R.C. 1970. Feeding, growth and survival of *Engraulis mordax* larvae reared in the laboratory. Mar. Biol., 5: 345-353.
- Maneewong, S., Akkayanont, P., Pongmaneerat, J. and Iizawa, M. 1986. Larval rearing and development of grouper, *Epinephelus malabaricus* (Bloch and Schneider). Report of Thailand and Japan Join Coastal Aquaculture Research Project (April 1984-January 1986) No.2, April 1986. Thailand: National Institute of Coastal Aquaculture, pp. 39-52.
- May, R.C. 1974. Larval mortality in marine fishes and the critical period concept. In Blaxter, J.H. S. (ed.) The Early Life History of Fish. New York: Springer-Verlag, pp. 3-19.
- Nash, C.E., Kuo, C.M. and McConnel, S.C. 1974. Operational procedures for rearing larvae of the grey mullet, *Mugil cephalus* Linnaeus. Aquaculture, 3: 15-24.
- Pechmanee, T., Pongmaneerat, J. and Iizawa, M. 1986. Effect of food density on food consumption for larval seabass, *Lates calcarifer*. In Report of Thailand and Japan Join Coastal Aquaculture Research Project (April 1984 - January 1986) No. 2, April 1986. Thailand: National Institute of Coastal Aquaculture, pp. 1-11.
- Shirota, A. 1970. Studies on the mouth size of fish larvae. Bull. Jap. Soc. Sci. Fish., 36(4): 353-368. (in Japanese with English abstract)
- Tarnchalanukit, W., Chuapoeuk, W., Suraniranat, P. and Na Nakorn, U. 1982. Pla Duk Dan Culture. Thailand: Faculty of Fisheries, Kasetsart University. 58 pp. (in Thai)
- Ware, D.M. 1975. Relation between egg size, growth and natural mortality of larval fish. J. Fish. Res. Bd. Canada, 32: 2503-2512.

นิพนธ์ต้นฉบับ

การบำบัดน้ำทิ้งจากการเลี้ยงกุ้งกุลาดำ (*Penaeus monodon* Fabricius) แบบพัฒนาโดยใช้หอยตะโกรดกรมธรรมชาติ (*Crassostrea belcheri* Sowerby)

ประทีป ส่องแก้ว¹ สมหมาย เขียววารีสัจจะ² และ เสารภา อังสุวนิช³

Abstract

Songkeao, P.¹, Chiayvareesajja, S.² and Angsupanich, S.²

Treatment of effluent from intensive culture of black tiger shrimp (*Penaeus monodon* Fabricius) by using oyster (*Crassostrea belcheri* Sowerby)

Songklanakarin J. Sci. Technol., 2002, 24(4) : 621-631

This study examined the effect of using oysters (*Crassostrea belcheri* Sowerby) to treat effluent resulting from the intensive culture of black tiger shrimps (*Penaeus monodon* Fabricius) at the Marine Shrimp Research and Development Center, Songkhla Province. There were 8 treatments - 0 (control), 10, 20, 30, 40, 50, 60 and 70 g oysters/l, with 3 replicates. The oysters, weighing 25 ± 5 g each with a mean shell length of 5.2 cm, were placed in $30 \times 60 \times 30$ cm-glass aquaria and placed outdoors with a static water system (no water exchange, but aeration provided throughout the experiment). Water quality was monitored for chlorophyll *a*, total ammonia nitrogen (TAN), nitrate, nitrite, phosphate, total suspended solids (TSS),

¹Phangnga Agriculture and Technology College, Takua Thung, Phangnga 82130 ²Department of Aquatic Science, Faculty of Natural Resources, Prince of Songkla University, Hat Yai, Songkhla 90112 Thailand.

¹ วท.ม. (วิทยาลัยเกษตรและเทคโนโลยีพังงา อำเภอท่าศาลา จังหวัดพังงา 82130 ² Ph.D. (Fisheries and Allied Aquacultures) รองศาสตราจารย์ Ph.D. (Aquatic Environmental Science) รองศาสตราจารย์ ภาควิชาวิชาศาสตร์ คณะทรัพยากรธรรมชาติ มหาวิทยาลัยสงขลานครินทร์ อำเภอหาดใหญ่ จังหวัดสงขลา 90112

Corresponding e-mail : csommai@ratree.psu.ac.th

รับต้นฉบับ 24 ตุลาคม 2544 รับลงพิมพ์ 8 พฤษภาคม 2545

BOD, salinity and temperature before adding the oysters and at 1, 2, 4, 6, 8, 10 and 16 days afterward. It was found that the correlation coefficients between oyster density and concentrations of chlorophyll *a*, TSS and BOD were negative, but positive for the correlation between oyster density and TAN. Thirty g oyster/l at 4 days was the most efficient treatment based on the percentage decrease of chlorophyll *a*, TAN, TSS and BOD (86.54%, 15.56%, 47.26% and 79.35%, respectively), all of which values are in acceptable safety ranges for aquatic animals. With treatments longer than 4 days, or densities over 30 g oyster/l, the TAN concentration increased with time and BOD exceeded the safety standard. At 70 g oyster/l, the oyster mortality was greater than 10% after 16 days of the experiment, at which time the experiment was terminated.

Key words : *Crassostrea belcheri*, *Penaeus monodon*, shrimp pond effluent, treatment

บทคัดย่อ

ประทีป ส่องแก้ว สมหมาย เชี่ยววารีสัจจะ และ เสารภา อังสุวนิช
การนำบัวดัน้ำทึ้งจากการเลี้ยงกุ้งกุลาดำ (*Penaeus monodon* Fabricius)แบบพัฒนา
โดยใช้หอยตะโกรมกรมขาว (*Crassostrea belcheri* Sowerby)

ว. สงขลานครินทร์ วทท. 2545 24(4) : 621-631

ศึกษาการนำบัวดัน้ำทึ้งจากการเลี้ยงกุ้งกุลาดำ (*Penaeus monodon* Fabricius) แบบพัฒนาโดยใช้หอยตะโกรม กรมขาว (*Crassostrea belcheri* Sowerby) ใช้น้ำทึ้งจากน้ำเดี่ยงกุ้งกุลาดำแบบพัฒนาของศูนย์วิจัยและพัฒนาการเลี้ยง กุ้งทะเลฝั่งอ่าวไทย จังหวัดสงขลา ทำการทดลองในระบบห้าน้ำที่ไม่มีการเปลี่ยนตัวyanhaแต่ให้อาหารตลอดเวลา ใช้ตู้กระจกขนาด $30 \times 60 \times 30$ ซม. วางกลางแจ้ง โดยใช้หอยขนาดหัวหักเปียกตัวละ 25±5 กรัม ความยาวเปลือก เฉลี่ยตัวละ 5.2 ซม. แบ่งการทดลองออกเป็น 8 ชุดการทดลอง ๆ ละ 3 ช้า ได้แก่ ชุดควบคุม ชุดการทดลองที่ใช้หอยหนานแน่น 10, 20, 30, 40, 50, 60 และ 70 กรัม/ลิตร วิเคราะห์คุณภาพน้ำทำบริมาณคลอรีฟิลล์ เอ แอมโมเนีย รวม “ไนเตรต” ในไตรท์ ฟอสเฟต ของแข็งแวนดอลอยทั้งหมด บีโอดี ความเค็ม และอุณหภูมิของน้ำ ก่อนได้หอย และหลังจากนั้น 1, 2, 4, 6, 8, 10 และ 16 วัน ผลปรากฏว่าสัมประสิทธิ์สหสมันพันธุ์ระหว่างความหนาแน่นของหอยกับ ปริมาณคลอรีฟิลล์ เอ ของแข็งแวนดอลอยทั้งหมด และบีโอดี เป็นไปในลักษณะแปรกลับกัน แต่สัมประสิทธิ์สห-สัมพันธ์ระหว่างความหนาแน่นของหอยกับปริมาณแอมโมเนียรวม เป็นไปในลักษณะแปรตามกัน ความหนาแน่นของหอย 30 กรัม/ลิตร หลังการทดลอง 4 วัน มีประสิทธิภาพการนำบัวดัน้ำได้ดีที่สุด เพราะปริมาณคลอรีฟิลล์ เอ แอมโมเนีย รวม ของแข็งแวนดอลอยทั้งหมด และบีโอดีลดลงจากวันเริ่มต้น 86.54%, 15.56%, 47.26% และ 79.35% ตามลำดับ ซึ่งอยู่ในเกณฑ์มาตรฐานที่เหมาะสมต่อสัตว์น้ำ แต่เมื่อระยะเวลาเพิ่ม 4 วัน หรือความหนาแน่นของหอยมากกว่า 30 กรัม/ลิตร พบร่วมกันว่าความเข้มข้นของแอมโมเนียรวมเพิ่มสูงขึ้นเมื่อระยะเวลาการทดลองเพิ่มขึ้น และค่าบีโอดียังสูง กว่าเกณฑ์มาตรฐานที่กำหนด และในวันที่ 16 ชุดการทดลองที่ใช้หอย 70 กรัม/ลิตร มีหอยตายมากกว่า 10% จึงยุติการทดลอง

การเลี้ยงกุ้งกุลาดำแบบพัฒนานับเป็นอาชีพหนึ่ง ที่สำคัญของประเทศไทยในปัจจุบัน เพราะสามารถผลิตกุ้งส่งออกไปขายต่างประเทศได้เป็นหลัก อย่างไรก็ตาม การเลี้ยงกุ้งกุลาดำแบบพัฒนาส่งผลกระทบต่อระบบน้ำเสียมากกว่าการเลี้ยงกุ้งกุลาดำแบบดั้งเดิม เนื่องจากการ

เลี้ยงกุ้งกุลาดำแบบพัฒนาเป็นการเลี้ยงกุ้งแบบหนาแน่น ใช้อาหารสำเร็จรูปเป็นหลัก และให้อาหารสดเสริมในช่วงระยะเวลาเดือนสุดท้ายของการเลี้ยง รวมทั้งมีการใช้สารเคมีตลอดระยะเวลาการเลี้ยง (คณิต และคณะ, 2535) เช่นยาฆ่าเชื้อและพาหะของโรค ยารักษาโรค สารปรับปรุง

ดิน สารผ่าแพลงก์ตอนพืช สารเบื้องปลา และปูย เป็นต้น (Primavera *et al.*, 1993) ดังนั้นหากการจัดการระบบ การเลี้ยงไม่ได้จะมีผลทำให้อาหาร ของเสียที่ขับถ่ายออก จากตัวกุ้งและสารเคมีบางส่วนเหลือตกค้างอยู่บริเวณพื้นบ่อ (คณะและคณะ, 2535) Briggs และ Funge-Smith (1994) รายงานว่า 31% ของในตรเจน และ 84% ของ พอสฟอรัสที่ส่งเข้าไปในบ่อเลี้ยงกุ้งกุลาดำแบบพัฒนาของ ไทยจะคงไปอยู่ในตะกอนกันบ่อและจะถูกย้ายออกจากบ่อ ภายหลังการจับกุ้งแต่ละรุ่น และ 35% ของในตรเจน และ 10% ของพอสฟอรัสที่ถูกย้ายออกจากบ่อถูกปล่อยออกไป กับน้ำทึ้ง ทั้งนี้ผู้ประกอบการเลี้ยงกุ้งกุลาดำส่วนใหญ่มัก ปล่อยน้ำทึ้งลงสู่แหล่งน้ำธรรมชาติโดยตรง ไม่มีการนำบัด น้ำทึ้งแต่อย่างใด ก่อให้เกิดปัญหามลพิษทางน้ำ ส่งผลให้ ปริมาณสารสัตว์น้ำและคุณสมบัติของน้ำมีการเปลี่ยนแปลง อย่างรวดเร็ว จากก่อให้เกิดปรากฏการณ์ขึ้นกลางหรือ น้ำ เปเลี่ยนสี (Red Tide) เนื่องจากแพลงก์ตอนในธรรมชาติ ได้รับสารอาหารจากน้ำทึ้งแล้วเจริญเติบโตเพิ่มปริมาณมาก ส่งผลให้สัตว์น้ำในบริเวณนั้นตายเพราขาดอกซีเจนและ อาจมีสารพิษจากแพลงก์ตอนพืชสะสมในหอย (MacLean, 1991) ผลจากการเลี้ยงกุ้งกุลาดำที่มีการปล่อยน้ำทึ้งซึ่งมี ปริมาณสารอินทรีย์และสารอนินทรีย์มากเกินกว่าธรรมชาติ จะรองรับได้ ทำให้รัฐบาลโดยการผลักดันของกรมประมง ได้ออกประกาศกฎกระทรวงเกษตรและสหกรณ์เกี่ยวกับ การจดทะเบียนฟาร์มเลี้ยงกุ้งกุลาดำแบบพัฒนา สำหรับผู้ ประกอบการเลี้ยงกุ้งกุลาดำแบบพัฒนาจะต้องขออนุญาต จากเจ้าหน้าที่กรมประมงก่อน ถ้ามีพื้นที่การเลี้ยงกุ้งมาก กว่า 50 ไร่ จะต้องมีบ่อบันดน้ำทึ้งประมาณ 10% ของ พื้นที่การเลี้ยงทั้งหมด และน้ำทึ้งที่ปล่อยออกจากรบ่อเลี้ยง กุ้งสู่แหล่งน้ำธรรมชาติต้องมีค่าบีโอดีไม่เกิน 10 มก./ล. (คณะ และ ดุสิต, 2535)

นอกจากการนำบัดน้ำทึ้งจากบ่อเลี้ยงกุ้งกุลาดำด้วย วิธีทางกายภาพ เช่น สร้างบ่อพักน้ำแล้ว ยังมีการศึกษา วิธีการนำบัดน้ำทึ้งด้วยวิธีทางชีวภาพ เช่น Helfrich และ คณะ (1995) ใช้หอยแมลงภู่ (*Elliptio complanata*) นำบัดน้ำทึ้งจากชุมชนในประเทศไทย สามารถ พบว่า สามารถลดปริมาณของแข็งแขวนลอยในน้ำได้ 37% ใน ประเทศไทยมีการศึกษาวิธีการนำบัดน้ำทึ้งจากบ่อเลี้ยงกุ้ง

กุลาดำแบบพัฒนาโดยใช้หอยแมลงภู่ โดยชนิดฐาน (2537) รายงานว่าหอยแมลงภู่ (*Perna sp.*) สามารถลดปริมาณ คลอโรฟิลล์ เอ และของแข็งแขวนลอยในน้ำได้ 83.40% และ 27.49% ตามลำดับ ส่วนคุณิตและดุสิต (2535) พบ ว่าหอยแมลงภู่ (*Mytilus sp.*) สามารถลดปริมาณคลอโร- ฟิลล์ เอ ได้ถึง 98.73% นอกจากนี้ยังมีรายงานว่ามีการ ใช้หอยนางรม (*Crassostrea virginica*) นำบัดน้ำทึ้งจาก บ่อเลี้ยงกุ้ง (*Penaeus vannamei*) ที่รัฐ亥瓦าย ประเทศ สหรัฐอเมริกา (Wang, 1990 อ้างโดย Phillips, 1995) กลไกที่ช่วยให้การนำบัดน้ำโดยใช้หอยสองฝามีประสิทธิภาพ คือ หอยสองฝามีการกรองกินแพลงก์ตอนพืช แพลงก์ตอน สัตว์ สัตว์น้ำขนาดเล็กที่เน่าเปื่อย อนุภาคสารอินทรีย์ และสารอนินทรีย์เป็นอาหาร (Huner and Brown, 1985) โดยชีวีหึ่งอก (gill filament) ทำหน้าที่เป็นแผ่นกรองใน กลไกของการกินอาหาร และคัดเอาขนาดอนุภาคของ อาหารที่เหมาะสมเข้าไปในระบบการย่อยอาหารเท่านั้น (Saleuddin and Wilbur, 1983)

การศึกษาครั้งนี้ มีวัตถุประสงค์เพื่อศึกษาความ สามารถของหอยตะโกรดกรรมข้าว (*Crassostrea belcheri*) ใน การนำบัดน้ำทึ้งจากบ่อเลี้ยงกุ้งกุลาดำแบบ พัฒนา โดยเฉพาะการลดปริมาณคลอโรฟิลล์ เอ ของแข็ง แขวนลอยในน้ำ และบีโอดี หากหอยตะโกรดกรรมข้าว สามารถลดค่าเหล่านี้ได้อย่างมีประสิทธิภาพก่อนปล่อยน้ำ ทึ้งลงสู่แหล่งน้ำ ก็จะช่วยรักษาสภาพแวดล้อมของแหล่ง น้ำธรรมชาติ และจะเป็นผลดีต่อการเลี้ยงกุ้งกุลาดำต่อไป

อุปกรณ์และวิธีการ

น้ำทึ้งจากบ่อเลี้ยงกุ้งกุลาดำ

เป็นน้ำทึ้งจากบ่อเลี้ยงกุ้งกุลาดำของศูนย์วิจัยและ พัฒนาการเลี้ยงกุ้งทะเลฝั่งอ่าวไทย ต.พะวง อ.เมือง จ.สงขลา โดยเก็บน้ำทึ้งที่ปล่อยออกจากรบ่อเลี้ยงกุ้งกุลาดำ แบบพัฒนาบริเวณประตูระบายน้ำออกเมืองอยุธยา เลี้ยงกุ้ง 118 วัน โดยสูบน้ำระดับกึ่งกลางของน้ำที่ระบายน้ำออก ใส่ถังไฟเบอร์กลาสขนาดบรรจุน้ำ 1,000 ลิตร และนำไปใส่ ตู้กดลง น้ำทึ้งที่ใช้ในการทดลองเป็นน้ำทึ้งที่ได้จากการ เลี้ยงระบบพัฒนา พื้นที่บ่อขนาด 2 ไร่ เตรียมบ่อโดยการ

ตากบ่อให้แห้งประมาณ 1 เดือน ทำการไถพรวนด้วยรถไถเดินตามแล้วโรยปูนขาว 200 กก. เพื่อปรับสภาพความเป็นกรด-ด่างของดิน ใช้กากรชา ปูนโดโลไมท์ ปุ๋ยอนินทรีย์และมูลไก่ในการเตรียมสิ่งที่ 10 วัน ก่อนปล่อยลูกกุ้งระยะโพสท์ลาร์ว่า 15 (P15) อายุ 1 เดือน เลี้ยงในอัตราความหนาแน่น 30 ตัว/ตร.ม. มีการเปลี่ยนถ่ายน้ำครั้งแรกเมื่อระยะเวลาการเลี้ยง 45 วัน โดยถ่ายน้ำออกประมาณ 40 ซม. จากระดับน้ำในบ่อ 1.5 เมตร และเติมให้ได้ระดับเดิม หลังจากนั้นมีการเปลี่ยนถ่ายน้ำ 7 วัน/ครั้ง หากคุณภาพน้ำในบ่อเลี้ยงไม่เหมาะสม ก็จะมีการถ่ายน้ำถัดไปโดยมีการเปลี่ยนถ่ายน้ำครั้งละ 30-60% ให้อาหารกุ้งสำเร็จรูปที่ห้องสารพัดฟีดเป็นหลักวันละ 5 มื้อ ตลอดระยะเวลาการเลี้ยง และให้อาหารเสริมแร่ธาตุจำพวกวิตามินซี และจุลินทรีย์ส์ปีดาห์ละ 2 ครั้ง

หอยตะโกร้มกรามขาว (*Crassostrea belcheri*)

ปรับสภาพของหอยตะโกร้มกรามขาวซึ่งรวบรวมจากแหล่งน้ำธรรมชาติ บริเวณบ้านบางพันน์ ต.บางเตย อ.เมือง จ.พังงา โดยนำหอยใส่ในกระชังขนาด $1.5 \times 1.5 \times 0.5$ เมตร ที่บุด้วยอวนขนาดตา 1 นิ้ว ผูกวงไว้บริเวณกระชังเลี้ยงปลาเก้าที่บ้านหัวเข้าแดง อ.สิงหนคร จ.สงขลา เนื่องจากบริเวณนี้มีความเค็มเท่ากับบริเวณที่รวบรวมหอยจากแหล่งน้ำธรรมชาติ คือ 28 ppt โดยเลี้ยงปรับสภาพเป็นระยะเวลามากกว่า 1 เดือน และนำมาปรับสภาพความเค็มและอุณหภูมิในบ่อพักน้ำของศูนย์วิจัยและพัฒนาการเลี้ยงกุ้งทะเลฝั่งอ่าวไทย ซึ่งมีความเค็มใกล้เคียงกับน้ำในบ่อเลี้ยงกุ้ง ปรับสภาพอย่างน้อยเป็นระยะเวลา 7 วัน ก่อนการทดลอง

แผนการทดลอง

วางแผนการทดลองแบบสุ่มตลอด (completely randomized design; CRD) โดยนำหอยตะโกร้มกรามขาวมาปรับสภาพในบ่อพักน้ำ 7 วัน ก่อนทำการทดลองใช้หอยตะโกร้มกรามขาวน้ำหนักสดพร้อมเปลือกตัวละ 25±5 กรัม ขนาดความยาวเปลือกเฉลี่ย 5.2 ซม. ใส่ตะกร้าพลาสติกนำไปแขวนในตู้กระจกขนาด $30 \times 60 \times 30$ ซม. ที่บรรจุน้ำทึบจากบ่อเลี้ยงกุ้งถุงดำ ตู้ละ 30 ลิตร โดยใช้ระบบหัวน้ำน้ำที่ไม่มีการเปลี่ยนถ่ายน้ำ แต่ให้อากาศตลอดเวลา

จำนวน 8 ชุดการทดลองฯ ละ 3 ชั้น คือชุดการทดลองที่ 1 ไม่ใช้หอยตะโกร้มกรามขาว (ชุดควบคุม) ชุดการทดลองที่ 2 ใช้หอยตะโกร้มกรามขาวอัตรา 10 กรัม/ลิตร เฉลี่ยชั้นละ 11 ตัว ชุดการทดลองที่ 3 ใช้หอยตะโกร้มกรามขาวอัตรา 20 กรัม/ลิตร เฉลี่ยชั้นละ 21 ตัว ชุดการทดลองที่ 4 ใช้หอยตะโกร้มกรามขาวอัตรา 30 กรัม/ลิตร เฉลี่ยชั้นละ 32 ตัว ชุดการทดลองที่ 5 ใช้หอยตะโกร้มกรามขาวอัตรา 40 กรัม/ลิตร เฉลี่ยชั้นละ 43 ตัว ชุดการทดลองที่ 6 ใช้หอยตะโกร้มกรามขาวอัตรา 50 กรัม/ลิตร เฉลี่ยชั้นละ 55 ตัว ชุดการทดลองที่ 7 ใช้หอยตะโกร้มกรามขาวอัตรา 60 กรัม/ลิตร เฉลี่ยชั้นละ 65 ตัว ชุดการทดลองที่ 8 ใช้หอยตะโกร้มกรามขาวอัตรา 70 กรัม/ลิตร เฉลี่ยชั้นละ 77 ตัว

การวิเคราะห์คุณภาพน้ำ

เก็บตัวอย่างน้ำจากตู้กระจกที่วันเริ่มต้นก่อนใส่หอยและระยะเวลา 1, 2, 4, 6, 8, 10, 16 และ 20 วันหลังจากใส่หอย โดยเก็บตัวอย่างน้ำในช่วงเวลา 08.00-09.00 น. เป็นประจำทุกวันฯ ละ 1 ลิตร เพื่อนำมาวิเคราะห์คุณภาพน้ำต่อไป วิเคราะห์หาปริมาณคลอร์ฟิลล์ อ (chlorophyll a) และโมโนเนียรัม (total ammonia Nitrogen; TAN) ในเตรท (Nitrate) ในไตรท (Nitrite) และฟอสเฟต (Phosphate) ใช้วิธีของ Strickland และ Parsons (1972) วิเคราะห์หาค่าบีโอดี (Biochemical Oxygen Demand; BOD) และปริมาณของแข็งแขวนลอยทั้งหมด (Total Suspended Solids; TSS) โดยใช้วิธีของ APHA และคณะ (1995) วัดความเค็ม โดยใช้ Salinometer และวัดอุณหภูมิของน้ำโดยใช้เทอร์โมมิเตอร์

อัตราการดักจับ

ตรวจสอบการตายของหอยตะโกร้มกรามขาวโดยดูการปิด-เปิดของเปลือกหอยและใช้วิธีการยกตะกร้าพลาสติกที่บรรจุหอยตรวจเป็นประจำทุกๆ วัน หากหอยมีชีวิตจะ

แสดงการปิด-เปิดของฝ่าเมือยกตะกร้าพลาสติกขึ้นมาเห็นอีกหน้า ถ้าหอยเปิดเปลือกฝ่าตกลอดเวลาแสดงว่าหอยตาย เมื่อพบว่าหอยตายก็นำหอยออกไป หากหอยในหน่วยการทดลองได้ตายถึง 10% ก็หยุดการทดลองทั้งหมด สำหรับอัตราอุดตายคำนวณ ดังนี้

อัตราอุดตาย (%) =

$$\frac{\text{จำนวนหอยที่มีชีวิตเมื่อสิ้นสุดการทดลอง}}{\text{จำนวนหอยที่มีชีวิตเมื่อเริ่มต้นการทดลอง}} \times 100$$

การวิเคราะห์ผลทางสถิติ

วิเคราะห์สัมประสิทธิ์สหสัมพันธ์ระหว่างตัวแปรคุณภาพน้ำต่างๆ กับความหนาแน่นของหอย โดยใช้เครื่องคอมพิวเตอร์ด้วยโปรแกรมสำเร็จรูป SPSS Version 7.5 และ Excel'97 ของบริษัท Microsoft Corporation Ltd.

ผลการทดลอง

1. คุณภาพน้ำที่นำบัดด้วยหอยตะโกรนกรามขาว

1.1 คลอโรฟิลล์ เอ

หลังการทดลอง 1 วัน ปริมาณคลอโรฟิลล์ เอ ลดลงจากวันเริ่มต้นน้อยที่สุด โดยชุดควบคุมลดลงน้อยที่สุดเท่ากับ 8.47% (จาก 365.42 ไมโครกรัม/ลิตร เหลือ 336.73 ไมโครกรัม/ลิตร) และชุดการทดลองที่ใช้หอยหนาแน่น 70 กรัม/ลิตร ลดลงมากที่สุดเท่ากับ 74.71% (จาก 353.95 ไมโครกรัม/ลิตร เหลือ 89.85 ไมโครกรัม/ลิตร) หลังการทดลอง 16 วัน ปริมาณคลอโรฟิลล์ เอ ลดลงจากวันเริ่มต้นมากที่สุด โดยเฉลี่ยชุดการทดลองที่ใช้หอยหนาแน่น 70 กรัม/ลิตร ลดลงมากที่สุดถึง 99.21% (จาก 353.95 ไมโครกรัม/ลิตร เหลือ 2.80 ไมโครกรัม/ลิตร) รองลงมา คือชุดการทดลองที่ใช้หอยหนาแน่น 60 กรัม/ลิตร ลดลง 99.16% (จาก 313.93 ไมโครกรัม/ลิตร เหลือ 2.57 ไมโครกรัม/ลิตร) ทั้งนี้ปริมาณคลอโรฟิลล์ เอ ในทุกชุดการทดลองมีแนวโน้มลดลงตามระยะเวลาการทดลองที่เพิ่มขึ้น (Figure 1)

สัมประสิทธิ์สหสัมพันธ์ระหว่างความหนาแน่นของหอยกับปริมาณแอมโมเนียร่วม ตลอดระยะเวลาการทดลอง เป็นไปในลักษณะแปรตาม และพบว่าหลังการทดลอง 1, 2, 4 และ 6 วัน มีความสัมพันธ์กันอย่างมีนัยสำคัญยิ่งทางสถิติ ($P<0.01$) โดยหลังการทดลอง 4 วัน มีค่าความสัมพันธ์กันมากที่สุด ($r = 0.815$) (Table 1)

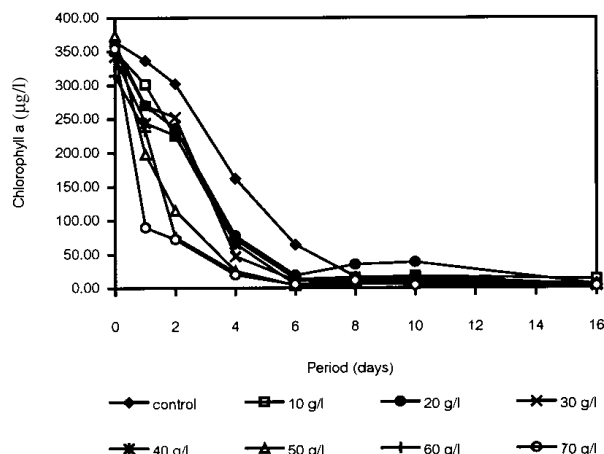


Figure 1. Mean chlorophyll *a* concentrations in the effluent from intensive culture of black tiger shrimp treated with 25-g oyster, 8 densities.

สัมพันธ์กันอย่างมีนัยสำคัญยิ่งทางสถิติ ($P<0.01$) โดยหลังการทดลอง 4 วัน มีความสัมพันธ์กันมากที่สุด ($r = -0.722$) (Table 1)

1.2 แอมโมเนียร่วม

หลังการทดลอง 1 วัน ปริมาณแอมโมเนียร่วมในทุกชุดการทดลองลดลงจากวันเริ่มต้น ยกเว้นชุดที่หอยหนาแน่น 70 กรัม/ลิตร และช่วงระยะเวลาการทดลอง 4-8 วัน ปริมาณแอมโมเนียร่วมเพิ่มขึ้นถึงจุดสูงสุด แล้วลดลงต่อสุดหลังการทดลอง 10 วัน หลังจากนั้นก็เพิ่มขึ้นอีกสำหรับชุดควบคุมหลังจากผ่านไป 2 วัน ปริมาณแอมโมเนียร่วมค่อนข้างคงที่และไม่เปลี่ยนแปลงมากนัก (Figure 2)

สัมประสิทธิ์สหสัมพันธ์ระหว่างความหนาแน่นของหอยกับปริมาณแอมโมเนียร่วม ตลอดระยะเวลาการทดลอง เป็นไปในลักษณะแปรตาม และพบว่าหลังการทดลอง 1, 2, 4 และ 6 วัน มีความสัมพันธ์กันอย่างมีนัยสำคัญยิ่งทางสถิติ ($P<0.01$) โดยหลังการทดลอง 4 วัน มีค่าความสัมพันธ์กันมากที่สุด ($r = 0.815$) (Table 1)

1.3 ในเกรท

ในช่วง 6 วันแรก ทุกชุดการทดลองที่ใช้หอยมีปริมาณในเกรทเพิ่มขึ้นเล็กน้อย และค่าค่อนข้างคงที่ในชุดควบคุม หลังจากนั้นในช่วง 6-8 วัน ปริมาณในเกรทในชุดการทดลองที่ใช้หอยเพิ่มขึ้นมาก หลังจากการทดลอง

Table 1. Correlation coefficients between oyster density and water quality.

Parameter	Period (days)						
	1	2	4	6	8	10	16
1. Chlorophyll <i>a</i>	-0.671**	-0.685**	-0.722**	-0.556**	-0.469*	-0.339	-0.373
2. Ammonia	0.796**	0.768**	0.815**	0.755**	0.418*	0.348	0.484*
3. Nitrate	0.851**	0.767**	0.866**	0.784**	0.896**	0.883**	0.703**
4. Nitrite	0.822**	0.882**	0.879**	0.905**	0.869**	0.813**	0.762**
5. Phosphate	0.377	0.436*	0.583**	0.541**	0.543**	0.541**	0.592**
6. TSS	-0.261	-0.785**	-0.571**	-0.708**	-0.003	0.122	-0.402
7. BOD	-0.637**	-0.748**	-0.389	-0.531**	-0.320	-0.147	-0.353

* Correlations are significant at 5% ($P < 0.05$) ** Correlations are significant at 1% ($P < 0.01$)

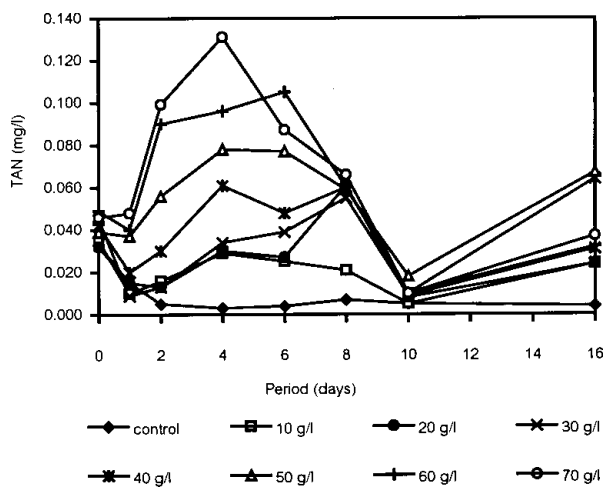


Figure 2. Mean total ammonia nitrogen (TAN) concentrations in the effluent from intensive culture of black tiger shrimp treated with 25-g oyster, 8 densities.

ผ่านไป 8 วันปริมาณในไตรท์แนวโน้มลดลง (Figure 3)
สัมประสิทธิ์สหสัมพันธ์ระหว่างความหนาแน่นของหอยกับปริมาณในไตรท์ ตลอดระยะเวลาการทดลองเป็นไปในลักษณะแปรตาม และมีนัยสำคัญยิ่งทางสถิติ ($P < 0.01$) โดยหลังการทดลอง 8 วัน มีค่าความสัมพันธ์กันมากที่สุด ($r = 0.896$) (Table 1)

1.4 ในไตรท์

ในช่วง 2 วันแรก ปริมาณในไตรท์ในทุกชุดการทดลองมีค่าน้อยและไม่เปลี่ยนแปลงมากนัก หลังจากนั้น

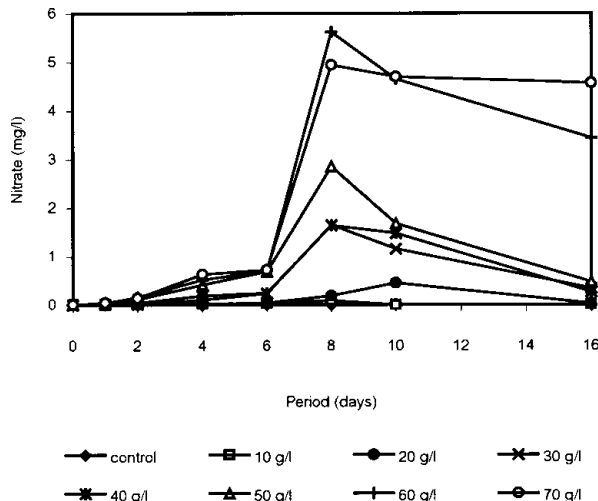


Figure 3. Mean nitrate concentrations in the effluent from intensive culture of black tiger shrimp treated with 25-g oyster, 8 densities.

ปริมาณในไตรท์ค่อยๆ เพิ่มขึ้นตามระยะเวลาการทดลอง และในช่วงวันที่ 8-10 ปริมาณในไตรท์ในทุกชุดการทดลอง มีค่าเพิ่มขึ้นอย่างรวดเร็ว หลังจากนั้นชุดการทดลองที่ใช้หอยหนาแน่น 70 กรัม/ลิตร มีปริมาณในไตรท์เพิ่มมากที่สุด ส่วนชุดการทดลองอื่นมีปริมาณในไตรท์ลดลง (Figure 4)

สัมประสิทธิ์สหสัมพันธ์ระหว่างความหนาแน่นของหอยกับปริมาณในไตรท์ ตลอดระยะเวลาการทดลองเป็นไปในลักษณะแปรตาม และมีนัยสำคัญยิ่งทางสถิติ ($P < 0.01$) โดยหลังการทดลอง 6 วัน มีค่าความสัมพันธ์กัน

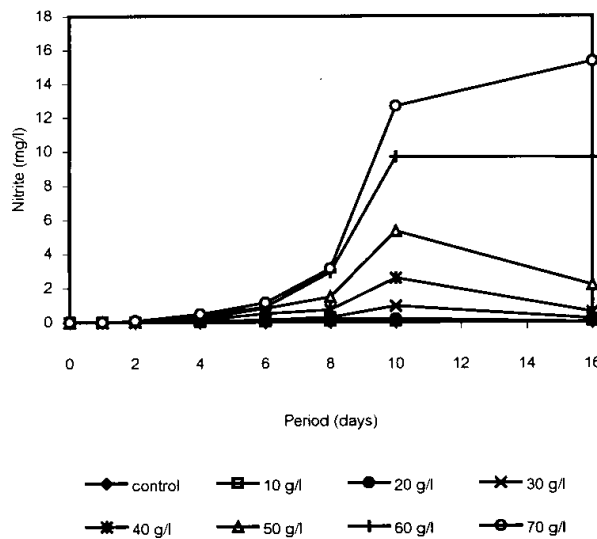


Figure 4. Mean nitrite concentrations in the effluent from intensive culture of black tiger shrimp treated with 25-g oyster, 8 densities.

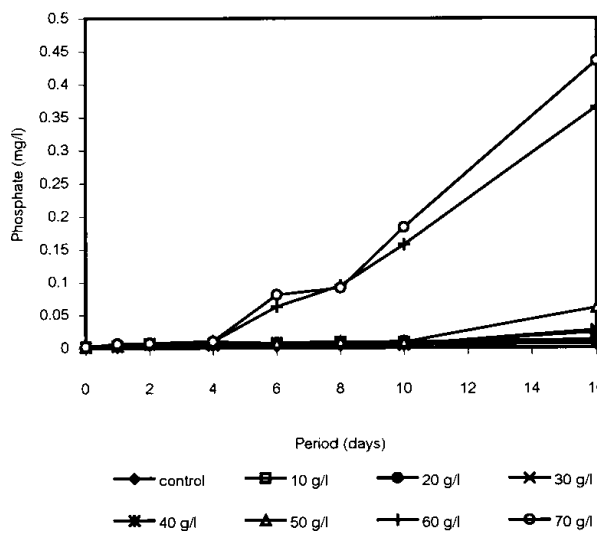


Figure 5. Mean phosphate concentrations in the effluent from intensive culture of black tiger shrimp treated with 25-g oyster, 8 densities.

มากที่สุด ($r=0.905$) (Table 1)

1.5 ฟอสเฟต

ในช่วง 10 วันแรก เกือบทุกชุดการทดลองมีปริมาณฟอสเฟตเปลี่ยนแปลงเล็กน้อย หลังจากนั้นทุกชุดการ

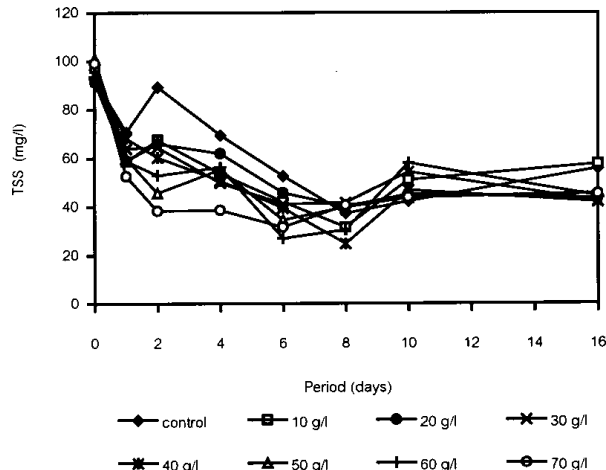


Figure 6. Mean total suspended solids (TSS) concentrations in the effluent from intensive culture of black tiger shrimp treated with 25-g oyster, 8 densities.

ทดลองมีปริมาณฟอสเฟตเพิ่มขึ้น โดยเฉพาะชุดการทดลองที่ใช้หอยหนาแน่น 60 และ 70 กรัม/ลิตร มีปริมาณฟอสเฟตเพิ่มมากกว่าชุดการทดลองอื่น (Figure 5)

สัมประสิทธิ์สหสัมพันธ์ระหว่างความหนาแน่นของหอยกับปริมาณฟอสเฟต เป็นไปในลักษณะเปรียบเทียบตลอดระยะเวลาการทดลอง และมีนัยสำคัญทางสถิติ ($P<0.01$) โดยหลังการทดลอง 16 วัน มีค่าความสัมพันธ์กันมากที่สุด ($r = 0.592$) (Table 1)

1.6 ของแข็งแขวนลอยทั้งหมด

ในช่วงระยะเวลาเริ่มต้นการทดลองถึง 8 วัน ทุกชุดการทดลองมีปริมาณของแข็งแขวนลอยทั้งหมดลดลงจากเริ่มต้นการทดลอง โดยเฉพาะหลังการทดลอง 1, 2 และ 4 วัน ชุดการทดลองที่ใช้หอยหนาแน่น 70 กรัม/ลิตร ลดลงมากกว่าชุดการทดลองอื่น หลังการทดลอง 8 วัน ปริมาณของแข็งแขวนลอยทั้งหมดเพิ่มสูงขึ้น และลดลงอีกครั้งหลังการทดลอง 10 วัน ยกเว้นชุดควบคุมและชุดการทดลองที่ใช้หอยหนาแน่น 10 กรัม/ลิตร มีค่าเพิ่มสูงขึ้นกว่าชุดการทดลองอื่น (Figure 6)

สัมประสิทธิ์สหสัมพันธ์ระหว่างความหนาแน่นของหอยกับปริมาณของแข็งแขวนลอยทั้งหมดเป็นไปในลักษณะเปรียบเทียบ กันเว้นหลังการทดลอง 10 วัน และพบว่าหลังการทดลอง 2, 4 และ 6 วัน มีความสัมพันธ์กันอย่าง

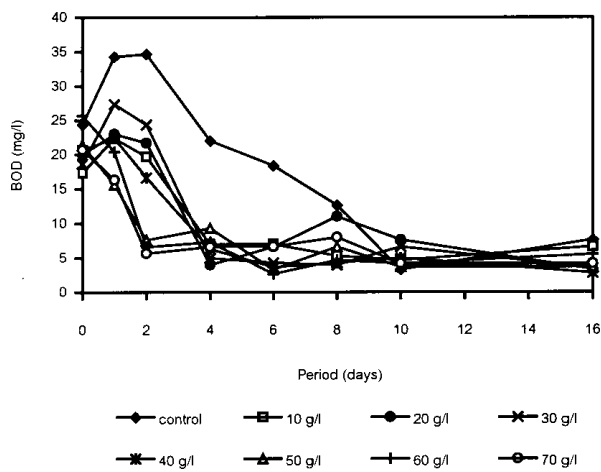


Figure 7. Mean BOD concentrations in the effluent from intensive culture of black tiger shrimp treated with 25-g oyster, 8 densities.

มีนัยสำคัญยิ่งทางสถิติ ($P<0.01$) โดยหลังการทดลอง 2 วัน มีความสัมพันธ์กันมากที่สุด ($r = -0.785$) (Table 1)

1.7 บีโอดี

ปริมาณบีโอดีในชุดควบคุมมีค่าสูงกว่าชุดการทดลอง อื่นๆ เกือบทดลองระยะเวลาการทดลอง โดยเพิ่มสูงสุดในวันที่ 2 และจึงลดลงเรื่อยๆ จนมีค่าต่ำสุดในวันที่ 10 และกลับเพิ่มขึ้นอีกในวันที่ 16 ส่วนชุดการทดลองที่ใช้หอยค่าความเข้มข้นเฉลี่ยของบีโอดีมีแนวโน้มลดลงต่ำกว่าชุดควบคุม โดยในช่วงระยะเวลา 1-2 วัน มีค่าความเข้มข้นของบีโอดีเพิ่มสูงสุด ยกเว้นชุดการทดลองที่ใช้หอยหนาแน่น ตั้งแต่ 50 กรัม/ลิตร ขึ้นไป มีค่าลดลงในวันที่ 1-2 และเพิ่มขึ้นหลังวันที่ 4 ส่วนชุดการทดลองอื่นๆ มีค่าลดลงอย่างรวดเร็วหลังวันที่ 4 หลังจากนั้นค่าความเข้มข้นของบีโอดีเปลี่ยนแปลงไม่มากนัก (Figure 7)

สัมประสิทธิ์สัมพันธ์ระหว่างความหนาแน่นของหอยกับค่าบีโอดีเป็นไปในลักษณะแปรกลับกัน และพบว่าหลังการทดลอง 1, 2 และ 6 วัน มีความสัมพันธ์กันอย่างมีนัยสำคัญยิ่งทางสถิติ ($P<0.01$) โดยหลังการทดลอง 2 วัน มีความสัมพันธ์กันมากที่สุด ($r = -0.748$) (Table 1)

ในระหว่างการทดลอง ความเค็มและอุณหภูมิของน้ำในทุกชุดการทดลองไม่แตกต่างกัน ($P>0.05$) โดยความเค็มเริ่มต้นที่ 14 ppt และค่อยๆ เพิ่มขึ้นจนถึง 22 ppt

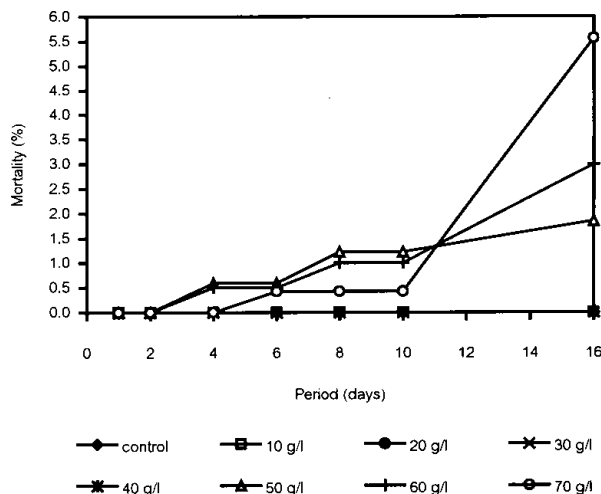


Figure 8. Mortality rate from 8 densities of 25-g oysters used to treat effluent from intensive culture of black tiger shrimp.

เมื่อสิ้นสุดการทดลอง ส่วนอุณหภูมิของน้ำอุ่นในช่วง 28.6-32.4 °C

2. อัตราการตายของหอยตะโกรดกรมขาว

จากการทดลองปรากฏว่าหลังการทดลอง 16 วัน มีค่าเฉลี่ยอัตราการตายสะสมของหอยอยู่ในช่วง 0-5.56% โดยชุดการทดลองที่ใช้หอยหนาแน่น 10, 20, 30 และ 40 กรัม/ลิตร ไม่มีหอยตาย ส่วนชุดการทดลองที่ใช้หอยหนาแน่น 70 กรัม/ลิตร มีค่าเฉลี่ยอัตราการตายสะสมมากที่สุดเท่ากับ 5.56% (อยู่ในช่วง 0-15.38%) รองลงมาคือชุดการทดลองที่ใช้หอยหนาแน่น 60 และ 50 กรัม/ลิตร มีค่าเฉลี่ยอัตราการตายสะสม 2.99% และ 1.85% ตามลำดับ (Figure 8) จึงยุติการทดลอง

สรุปและวิจารณ์

หอยตะโกรดกรมขาวสามารถบำบัดน้ำทั้งจากการเลี้ยงกุ้งกุลาดำแบบพัฒนาได้อย่างมีประสิทธิภาพ สามารถทำให้ปริมาณคลอโรฟิลล์ เอ ของเชิงแขวนลอยทั้งหมดและบีโอดี ลดลง โดยกลไกสำคัญที่ช่วยให้การบำบัดน้ำทั้งจากการเลี้ยงกุ้งกุลาดำแบบพัฒนาด้วยหอยตะโกรดกรมขาวในระบบนี้มีประสิทธิภาพ คือ 1) การกรองกินอาหาร

ของหอย และ 2) ความหนาแน่นของหอยและระยะเวลา การทดลอง โดยความสัมพันธ์ระหว่างความหนาแน่นของหอยกับปริมาณคลอโรฟิลล์ เอ เป็นไปในลักษณะแปรกลับกัน กล่าวคือเมื่อหอยมีความหนาแน่นมากขึ้นก็มีการกรองกินแพลงก์ตอนพืชมากขึ้น นอกจากนี้ปริมาณคลอโรฟิลล์ เอ ยังลดลงตามระยะเวลาที่เพิ่มขึ้น สอดคล้องกับการทดลองของคณิตและดุสิต (2535) ซึ่งพบว่าจากการใช้หอยแมลงภู่น้ำหนัก 400 กรัม/น้ำ 200 ลิตร นำบัดน้ำทึ้งจากการเลี้ยงกุ้งกุลาดำ สามารถลดปริมาณความเสื่อมขั้นของคลอโรฟิลล์ เอ ได้ 30.50%, 73.10%, 87.78% และ 98.73% ที่ระยะเวลาการทดลอง 6, 12, 24 และ 48 ชั่วโมง ตามลำดับ และความสัมพันธ์ระหว่างอัตราความหนาแน่นของหอยกับปริมาณของแข็งแขวนลอยทั้งหมดในน้ำก็เป็นไปในลักษณะแปรกลับกัน สอดคล้องกับการทดลองของคณิตและดุสิต (2535) และ ธนิษฐา (2537) ที่ใช้หอยแมลงภู่นำบัดน้ำทึ้งจากป่าเลี้ยงกุ้งกุลาดำ

อัตราความหนาแน่นของหอยตะโกรดกรรมข้าวที่เหมาะสมในการนำบัดน้ำระบบนี้ คือ 30 กรัม/ลิตร และ ความมีการเปลี่ยนถ่ายน้ำทุก 4 วัน เนื่องจากคุณภาพน้ำทึ้งจากการนำบัดด้วยหอยตะโกรดกรรมข้าวในช่วงระยะเวลาดังกล่าวลดลงอยู่ในระดับที่เหมาะสมและไม่เกินเกณฑ์มาตรฐานที่กำหนด โดยเฉพาะปริมาณของแข็งแขวนลอยทั้งหมดในน้ำลดลงเหลือ 50.00 มก./ล. และปีโอดีลดลงเหลือ 3.83 มก./ล. ซึ่งเกณฑ์ที่เหมาะสมต่อสัตว์น้ำคือปริมาณของแข็งแขวนลอยทั้งหมดอยู่ในช่วง 25-80 มก./ล. และปีโอดีไม่เกิน 4 มก./ล. (คณิต และยงยุทธ, 2537) ซึ่งชุดการทดลองดังกล่าว หอยไม่ตายตลอดระยะเวลาการทดลอง หลังการทดลอง 16 วัน ชุดการทดลองที่ใช้หอยหนาแน่น 70 กรัม/ลิตร มีอัตราการตายสะสมเฉลี่ยมากที่สุดเท่ากับ 5.56% ปริมาณคลอโรฟิลล์ เอ ลดลง 99.21% และปริมาณในไตรท์เพิ่มขึ้น 1,696,525.71% (จาก 0.0009 มก./ล. เป็น 15.3278 มก./ล.) ปริมาณในไตรท์ที่เพิ่มมากขึ้น อาจเนื่องจากหอยหนาแน่นที่สุด จึงขับถ่ายแอมโมเนียออกมามาก เหลือแพลงก์ตอนพืชที่จะดูดซับแอมโมเนียน้อย แอมโมเนียจึงอาจถูกแบคทีเรียเปลี่ยนรูปเป็นในไตรท์ จนทำให้ในไตรท์ในตู้ทดลองเพิ่มมากขึ้น ทั้งนี้ในไตรท์เป็นพิษต่อสัตว์น้ำ (Wetzel, 1975) ทำให้หอยตายได้ ซึ่งจากการทดลองของสุวรรณ์และคณะ (2541)

รายงานว่าการเลี้ยงหอยตะโกรดกรรมข้าวขนาดความยาวเปลือก 3.47 ซม. ในระบบทะโนด 1×1 ตร.ม. ในแหล่งน้ำธรรมชาติที่มีการหมุนเวียนของน้ำตลอดเวลา โดยทำการสะอาดหอยเดือนละครั้ง ปรากฏว่าที่ความหนาแน่น 25 ตัว/ตร.ม. มีอัตราอุดตาย 85.6% และเมื่ออัตราความหนาแน่นเพิ่มขึ้นเป็น 200 ตัว/ตร.ม. มีอัตราอุดตาย 68.6% แสดงให้เห็นว่าอัตราความหนาแน่นที่มากขึ้นทำให้อัตราอุดตายต่ำลง

เบรี่ยนเทียนประสิทธิภพการใช้หอยตะโกรดกรรมข้าว กับหอยชนิดอื่น ในอัตราที่ใกล้เคียงกัน โดยเฉพาะการใช้หอยแมลงภู่ (*Elliptio complanata*) นำบัดน้ำทึ้งจากชุมชนที่ประเทศไทยและอเมริกา หอยขนาดน้ำหนักตัวละ 123 กรัม ในอัตราความหนาแน่น 0.6 ตัว/ลิตร (หรือ 74 กรัม/ลิตร) ที่ระยะเวลาการทดลอง 1 วัน สามารถลดปริมาณของแข็งแขวนลอยในน้ำได้ 37% (Helfrich et al., 1995) ซึ่งประสิทธิภพการกรองด้วยกัวหอยตะโกรดกรรมข้าวที่อัตราความหนาแน่นใกล้เคียงกัน กล่าวคือการใช้หอยตะโกรดกรรมข้าวขนาดน้ำหนักตัวละ 25 กรัม อัตราความหนาแน่น 70 กรัม/ลิตร ที่ระยะเวลาการทดลอง 1 วัน สามารถลดปริมาณของแข็งแขวนลอยทั้งหมดได้ 46.47% และการใช้หอยแมลงภู่ (*Perna* sp.) ขนาดน้ำหนักตัวละ 20 กรัม อัตราความหนาแน่น 7 กรัม/ลิตร นำบัดน้ำทึ้งจากการเลี้ยงกุ้งกุลาดำในระบบน้ำนีง ระยะเวลาการทดลอง 10 วัน สามารถลดปริมาณคลอโรฟิลล์ เอ และของแข็งแขวนลอยทั้งหมดได้ 83.40% และ 27.49% ตามลำดับ (ธนิษฐา, 2537) ประสิทธิภพการนำบัดน้ำทึ้งของหอยแมลงภู่ (*Perna* sp.) ด้วยกัวหอยตะโกรดกรรมข้าว ซึ่งที่อัตราความหนาแน่น 10 กรัม/ลิตร หลังการทดลอง 10 วัน สามารถลดปริมาณคลอโรฟิลล์ เอ และของแข็งแขวนลอยทั้งหมดได้ 95.06% และ 46.86% ตามลำดับ ส่วนการใช้หอยแมลงภู่ (*Mytilus* sp.) นำบัดน้ำทึ้งจากการนำเลี้ยงกุ้งกุลาดำในระบบน้ำนีง อัตราความหนาแน่น 400 กรัม/น้ำ 200 ลิตร (หรือ 2 กรัม/ลิตร) ที่ระยะเวลาการทดลอง 2 วัน สามารถลดปริมาณคลอโรฟิลล์ เอ ได้ 98.73% (คณิตและดุสิต, 2535) มีประสิทธิภพดีกว่าการใช้หอยตะโกรดกรรมข้าวซึ่งที่อัตราความหนาแน่น 10 กรัม/ลิตร หลังการทดลอง 2 วัน สามารถลดปริมาณคลอโรฟิลล์ เอ ได้ 36.11% สาเหตุนอกจากความแตกต่างของแหล่ง

ขนาดและความหนาแน่นของหอยที่ต่างกันแล้ว
อาจเนื่องจากประสิทธิภาพการกรองอนุภาคอาหารของ
หอยแต่ละชนิดแตกต่างกัน โดยหอยตะโภรกรรมอาหาร
สามารถกรองกินอนุภาคอาหารที่มีขนาด 6-12 ไมโครเมตร
ได้ดี (Hawkins *et al.*, 1998) ในขณะที่หอยแมลงภู่
(Dreissena polymorpha) สามารถกรองอนุภาคอาหาร
ขนาด 1.5 ไมโครเมตร ได้ดีที่สุด (Lei *et al.*, 1996) และ
หอยสองฝ่า (*Mercenaria mercenaria*) สามารถกรอง
อนุภาคอาหารขนาด 3.5 ไมโครเมตร ได้ดีที่สุด (Jogen-
son, 1990)

การพัฒนาประสิทธิภาพการใช้หอยตระกูลกรรมการ
ขาวนำบังคับน้ำทึ้ง สามารถทำได้โดย

1) ใช้หอยตระกูลมาร์บะน่าทั้งจากป่าเลี้ยงกุ้งมีอนุภาคของอาหารหล่ายขนาด
เพรำะหอยแต่ละขนาดด้วย้อมกรองกินอาหารที่ขนาดแตกต่าง
กัน ซึ่ง Sphigel และคณะ (1997) ใช้หอยนางรม (*Cras-
sostrea gigas*) นำบัดน้ำทั้งจากการเลี้ยงปลาเกล็ทฯ เขด
ซีบรีม (*Sparus auratus*) ปราฏว่าหอยขนาดน้ำหนักตัว
ละ 22 กรัม ลดความชุ่มในได้น้อยที่สุด (52%) หอยขนาด
น้ำหนักตัวละ 7 กรัม ลดความชุ่มได้ 64% ส่วนการผสม
หอยทั้ง 2 ขนาด ในอัตราส่วนที่เท่ากัน สามารถลดความ
ชุ่มได้มากที่สุดถึง 66%

2) ใช้การนำบัดน้ำทึบแบบผสมผสาน เพราะว่าหอยตัวโปรแกรมขาวสามารถนำบัดน้ำบางพารามิเตอร์เท่านั้นโดยเฉพาะของเชิงแขวนลอย จึงควรรีบปล่อยพักน้ำเพื่อให้ของแขวนแขวนลอยบางส่วนตกตะกอน เนื่องจากปริมาณของแขวนแขวนลอยทั้งหมดที่ถูกปล่อยออกจากบ่อเลี้ยงกุ้งกุ้ลามีขนาดแตกต่างกัน โดยเฉพาะบริเวณของแขวนแขวนลอยทั้งหมดที่มีขนาดใหญ่และหอยตัวโปรแกรมขาวกรองกินไม่ได้จะตกตะกอนในบ่อเนี้ย แล้วนำน้ำผ่านมายังระบบนำบัดสารมลพิษต่างๆ ที่ลະลายน้ำ เช่น ใช้สาหร่ายผอนาง ช่วยลดปริมาณแอมโมเนีย ในตerek ในไตรก และฟอสฟอรัส ได้ (อภิรักษ์, 2536) งานนี้จึงนำน้ำผ่านมายังบ่อนำบัดด้วยหอยตัวโปรแกรมขาว ซึ่งสามารถลดปริมาณของคลอร็อกฟิลล์ อี ของแขวนแขวนลอยทั้งหมดในน้ำ และปี奥地 ได้เป็นอย่างดี

กิตติกรรมประกาศ

ขอขอบคุณทีมวิทยาลัย มหาวิทยาลัยสงขลา-นครินทร์ ที่ให้ทุนอุดหนุนการวิจัย ดร.จิราพร เกษรจันทร์ ผู้อำนวยการศูนย์วิจัยและพัฒนาการเลี้ยงกุ้งทะเลฝั่งอ่าวไทย จ.สงขลา ที่ให้ความอนุเคราะห์สถานที่และอุปกรณ์ในการทำวิจัย รวมทั้งนักวิชาการของศูนย์ฯ คือ คุณพิษณุนาอนันต์ คุณอุษณี เอกปันธุ์วนพงศ์ และ ดร.พุทธ ส่องแสงจันดา ที่ให้คำแนะนำและช่วยเหลือเป็นอย่างดี และ David Patterson อาจารย์พิเศษ ภาควิชาภาษาและภาษาศาสตร์ คณะศิลปศาสตร์ มหาวิทยาลัยสงขลานครินทร์ ที่ช่วยตรวจสอบแก้ภาษาอังกฤษ

เอกสารอ้างอิง

คณิต ไทยคำ และ ดุสิต ตันวิไลย. 2535. การทดลองใช้หอย
แมลงภัยและสาหร่ายผ่านงานน้ำดันน้ำทั้งทางชีวภาพจาก
ป่าเลี้ยงกุ้งกุลาดำแบบพัฒนา. เอกสารวิชาการฉบับที่
6/2535. สงขลา : สถาบันวิจัยการเพาะเลี้ยงสัตว์น้ำ
ชายฝั่ง กรมประมง กระทรวงเกษตรและสหกรณ์

คณิต ไทยคำ และ ยงยุทธ บรีด้าลัมปะบุตร. 2537. แนวทาง
การป้องกันเพื่อลดผลกระทบที่มีต่อสิ่งแวดล้อมจากการ
พัฒนาการเลี้ยงกุ้งกุลาดำแบบพัฒนา. สงขลา : สถาบัน
วิจัยการเพาะเลี้ยงสัตว์น้ำชายฝั่ง กรมประมง กระทรวง
เกษตรและสหกรณ์

คณิต ใช้ยาคำ พุทธ ส่องแสงเจิด และ ดุสิต ตันวิไลย. 2535.
การเปลี่ยนแปลงคุณภาพน้ำและแพลงก์ตอนพืชในบ่อ
เลี้ยงกุ้งกุลาแบบพัฒนา อำเภอโนน จังหวัดสงขลา.
เอกสารวิชาการฉบับที่ 4/2535. สงขลา : สถาบันวิจัย
การเพาะเลี้ยงสัตว์น้ำชายฝั่ง กรมประมง กระทรวง
เกษตรและสหกรณ์

ชนิษฐา บริรักษ์พันธ์. 2537. การทดลองการใช้หอยแมลงภู่เพื่อปรับปรุงคุณภาพน้ำทึ้งจากน้ำเสียของกุ้งกุ้ลตามแบบพัฒนา. วิทยานิพนธ์วิทยาศาสตร์มหาบัณฑิต มหาวิทยาลัยเทคโนโลยีดิจิทัล สุวรรณ ธนาธุภาพิเศษ. สอรัช มากบุญ และ รัชฎา ขาวหนูนา. 2541. เปรียบเทียบการเจริญเติบโตของหอยตะโกรม (*Crassostrea belcheri*) ด้วยการเลี้ยงแบบต่างๆ. รายงานการวิจัยปี 2541. สุราษฎร์ธานี : ศูนย์พัฒนาการเพาะเลี้ยงสัตว์น้ำชายฝั่งสุราษฎร์ธานี กรมประมง กระทรวงเกษตรและสหกรณ์

อภิรักษ์ จันทวงศ์. 2536. การบำบัดน้ำทึ่งจากการเลี้ยงกุ้ง
กุลาดำ (*Penaeus monodon*) แบบพัฒนาโดยใช้ชีว
สาหร่ายผมนาง. วิทยานิพนธ์วิทยาศาสตรมหาบัณฑิต
มหาวิทยาลัยสงขลานครินทร์

- APHA (American Public Health Association), American Water Works Association and Water Pollution Control Federation. 1995. Standard Methods for the Examination of Water and Wastewater. 19th edition. Washington, D.C. : American Public Health Association.
- Briggs, M.R.P. and Funge-Smith, S.J. 1994. A nutrient budget of some intensive marine shrimp ponds in Thailand. Aquaculture and Fisheries Management 25 : 789-811.
- Hawkins, A.J.S., Smith, R.F.M., Tan, S.H. and Yasin, Z.B. 1998. Suspension feeding behaviour in tropical bivalve molluscs : *Perna viridis*, *Crassostrea belcheri*, *Crassostrea iradelei*, *Saccostrea cucullata* and *Pinctada margarifera*. Marine Ecology Progress Series 166 : 173-185.
- Helfrich, L.A., Zimmerman, M. and Weigmann, D.L. 1995. Control of suspended solids and phytoplankton with fishes and a mussel. Water Resources Bulletin 31 : 307-316.
- Huner, J.V. and Brown, E.E. 1985. Crustacean and Mollusk Aquaculture in the United States. Louisiana : Avi Publishing Company Inc.
- Joergensen, C.B. 1990. Bivalve Filter Feeding : Hydro-dynamics, Bioenergetics, Physiology and Ecology. Fredensborg : Olsen and Olsen.
- Lei, J., Payne, B.S. and Wang, S.Y. 1996. Filtration dynamics of the zebra mussel, *Dreissena polymorpha*. Canadian Journal of Fisheries and Aquatic Science 53 : 29-37.
- MacLean, J.L. 1991. Red tides and Asian seafarming. Report on a Regional Study and Workshop on Fish Disease and Fish Health Management. Asian Development Bank, Manila, Philippines. No. 1. pp. 601-605.
- Phillips, M.J. 1995. Shrimp culture and environment. In Towards Sustainable Aquaculture in Southeast Asia and Japan. (eds. T.U. Bagarinao and E.E.C. Flores). pp. 37-62. Iloilo : SEAFDEC Aquaculture Development.
- Primavera, J.H., Lavilla-Pitogo, C.R., Ladja, J.M. and Pena, M.R.D. 1993. A survey of chemical and biological products used in intensive prawn farms in the Philippines. Marine Pollution Bulletin 26 : 35-40.
- Saleuddin, A.S.M. and Wilbur, K.M. 1983. The Molusca. Vol. 5. New York : Academic Press Inc.
- Shpigel, M., Gasith, A. and Kimmel, E. 1997. A biomechanical filter for treating fish-pond effluents. Aquaculture 152 : 103-117.
- Strickland, J.D.H. and Parsons, T.R. 1972. A Practical Handbook of Seawater Analysis. 2nd edition. Ottawa : Fisheries Research Board of Canada.
- Wetzel, R.G. 1975. Limnology. Philadelphia : W.B. Saunders Company.

ORIGINAL ARTICLE

Chronic toxicity study of curcuminoids in rats

**Pranee Chavalittumrong¹, Songphol Chivapat²,
Sadudee Rattanajarasroj³, Somkiat Punyamong⁴,
Anchalee Chuthaputti⁵, and Chada Phisalaphong⁶**

Abstract

**Chavalittumrong, P., Chivapat, S., Rattanajarasroj, S., Punyamong, S.,
Chuthaputti, A., and Phisalaphong C.**

Chronic toxicity study of curcuminoids in rats

Songklanakarin J. Sci. Technol., 2002, 24(4) : 633-647

A six-month chronic toxicity study of curcuminoids extracted from the powdered dried rhizome of *Curcuma longa* L. was performed in six groups of 15 Wistar rats of each sex. Water control group received 5 ml of water/kg BW/day, while tragacanth control group received 5 ml of 0.5% tragacanth suspension/kg BW/day orally. Three treatment groups were given the suspension of curcuminoids powder at the doses of 10, 50 and 250 mg/kg BW/day, which were 1, 5 and 25 times of the proposed therapeutic dose. The fourth treatment group, or the recovery group, also received 250 mg/kg BW/day of curcuminoids for six months, but two weeks of no curcuminoids treatment elapsed before the time of sacrifice. It was found that the growth rate of male rats receiving curcuminoids 50 mg/kg BW/day was significantly higher than that of the tragacanth control group. Curcuminoids did not produce any significant dose-related changes of hematological parameters. In the group of male animals receiving 250 mg/kg BW/day of curcuminoids, actual and relative liver weights and the level of alkaline phosphatase (ALP) were significantly higher than those of the two controls, but the ALP level was still within a normal range. There appeared to be a higher incidence of mild

¹M.S. (Phytochemistry), ²M.S. (Pathology), ³M.S. (Pharmacology), ⁴Cert. in Medical Science Technology,
⁵Ph.D. (Pharmacology), ⁶Ph.D. (Phytochemistry), Medicinal Plant Research Institute, Department of Medical Sciences, Ministry of Public Health, Tiwanond Rd., Muang, Nonthaburi 11000 Thailand.

Corresponding e-mail : praneec@dmst.moph.go.th

Received, 22 April 2002

Accepted, 27 June 2002

degree of liver fatty degeneration and adrenocortical fatty degeneration in this group of animals; however, the incidence was not significantly different from that of the two controls. The results indicated that long-term administration of curcuminoids at therapeutic dose (10 mg/kg BW/day) did not produce any toxicity in rats. However, at higher doses, it may affect the function and morphology of the liver in a reversible manner.

Key words : curcuminoids, toxicity

บทคัดย่อ

ประณี ชวลดิษฐ์รัง ทรงพล ชีวะพัฒน์ สุดี รัตนจรัสโรจน์ สมเกียรติ ปัญญาวงศ์ อัญชลี จุฬาพุทธิ และ ชฎา พิศาลพงศ์

การศึกษาพิมเรื่อรังของเครื่องคิวมินอยด์ในหนูขาว

ว. สงขลานครินทร์ วทก. 2545 24(4) : 633-647

ผู้วิจัยได้ศึกษาพิมเรื่อรังนาน 6 เดือนของเครื่องคิวมินอยด์ในหนูขาวพันธุ์วิสตาร์ 6 กลุ่ม ๆ ละ 15 ตัวต่อเพศ หนูกลุ่มควบคุมกลุ่มแรกได้รับน้ำ 5 มล./น้ำหนักตัว 1 กก./วัน (มล./กг./วัน) ทางปาก ส่วนกลุ่มควบคุมกลุ่มที่สองได้รับยาต้าน 5 มล./กг./วัน หนูกลุ่มทดลอง 3 กลุ่มแรกได้รับน้ำยาแขวนตะกรอนของเครื่องคิวมินอยด์ในทาราก้าน ในขนาด 10, 50 และ 250 มก./น้ำหนักตัว 1 กก./วัน (มก./กг./วัน) หรือเทียบเท่ากัน 1, 5 และ 25 เท่าของขนาดใช้ในคนต่อวัน ส่วนหนูกลุ่มทดลองกลุ่มที่ 4 เป็นกลุ่มที่ใช้ศึกษาว่าอาการพิมที่เกิดจากเครื่องคิวมินอยด์สามารถถอยเป็นปกติได้หรือไม่หากไม่ได้รับสารนั้นแล้ว หนูกลุ่มนี้ได้รับเครื่องคิวมินอยด์ 250 มก./กг./วัน เท่านั้น แต่หลังจากได้รับสารครบ 6 เดือน ได้หยุดให้สารเป็นเวลา 2 สัปดาห์ก่อนทำการผ่าตัด พบว่าอัตราการเจริญเติบโตของหนูเพศผู้ที่ได้รับเครื่องคิวมินอยด์ 50 มก./กг./วัน สูงกว่ากลุ่มควบคุมที่ได้รับยาต้านอย่างมีนัยสำคัญ เครื่องคิวมินอยด์ไม่ทำให้เกิดการเปลี่ยนแปลงของค่าทางโลหิตวิทยาใด ๆ ที่มีความสัมพันธ์กับขนาดของสารที่ให้ ในหนูเพศผู้ที่ได้รับเครื่องคิวมินอยด์ 250 มก./กг./วัน พบว่าน้ำหนักจริงและน้ำหนักสัมพัทธ์ของตับ และระดับของอัลคาไลน์ ฟอสฟ่าเตส สูงกว่ากลุ่มควบคุมทั้งสองกลุ่ม แต่ระดับของอัลคาไลน์ ฟอสฟ่าเตสยังอยู่ในช่วงของค่าปกติ แม้ว่าหนูกลุ่มนี้ดูเหมือนจะมีอุบัติการณ์ของไขมันสะสมในตับและชั้นคอร์ทิกอซึ่งต่อมหมวกไตสูง แต่อุบัติการณ์ดังกล่าวก็ไม่ได้แตกต่างจากกลุ่มควบคุมทั้งสองอย่างมีนัยสำคัญ ผลการศึกษาทั้งหมดดังนี้ให้เห็นว่าการให้เครื่องคิวมินอยด์ในขนาดที่ใช้ในคน (10 มก./กг./วัน) ติดต่อ กันเป็นเวลานาน ไม่ทำให้เกิดความเป็นพิมในหนูขาว อย่างไรก็ตาม เครื่องคิวมินอยด์ในขนาดสูงอาจมีผลต่อการทำงานและโครงสร้างของตับได้ แต่เป็นการเปลี่ยนแปลงที่กลับเป็นปกติใหม่ได้เมื่อยุดใช้เครื่องคิวมินอยด์

สถาบันวิจัยสมุนไพร กรมวิทยาศาสตร์การแพทย์ กระทรวงสาธารณสุข ถนนติวนันท์ อำเภอเมือง จังหวัดนนทบุรี 11000

Turmeric is the dried rhizome of *Curcuma longa* L. of the family Zingiberaceae. It has long been used as a food-coloring agent and spice all over the world, especially in Asia. Based on the clinical study conducted in Thailand, turmeric is recommended by WHO and Thailand's Essential Drug List as an herbal medicine for the treatment of dyspepsia (Thamlikitkul, et al., 1989, World Health Organization, 1999, National Drug Committee, 2000).

Chemically, turmeric contains curcuminoids, volatile oil, starch and resin. Curcuminoids refer to a group of compounds present in turmeric, which are chemically related to its principal constituent, curcumin (diferuloylmethane). Three main curcuminoids that can be isolated from turmeric are curcumin, desmethoxycurcumin and bisdemethoxycurcumin. These curcuminoids are responsible for the yellow color of the herb (Department of Medical Sciences, 1998).

There are many reports on pharmacological and clinical studies of curcuminoids and the doses of curcuminoids used in those clinical studies varied from 500 mg to 1.2 g per day (Majeed, et al., 1995, Soni and Kuttan, 1992). Recently it has been discovered that curcuminoids are potent antioxidant and possess chemopreventive activity (Selvam, et al., 1995, Grinberg, 1996, Ramsewak, et al., 2000, Huang, et al., 1994, Limtrakul, et al., 1997, Limtrakul, et al., 2001). However, there appears to be only a few published articles on the toxicity of turmeric but none on the toxicity of curcuminoids (Bhavani, et al., 1980, Sittisomwong, et al., 1990, Qureshi, et al., 1992). The present study was therefore conducted to determine toxicity of curcuminoids extract in rats in order to obtain scientific evidence about the safety of this group of compounds upon long-term consumption. The result of this study can be used to promote the safe use of curcuminoids in Thailand.

Materials and Methods

Preparation of curcuminoids

Dried rhizomes of *Curcuma longa* L. were collected from local market and ground into powder. The turmeric powder was extracted with ethanol and then evaporated at low pressure to obtain ethanolic extract in the form of semisolid residue containing oil and curcuminoids. The oil part was then removed to give curcuminoid extract. The curcuminoid contents of the extract used in the experiment were 58-67% and the ratio of curcumin : demethoxycurcumin : bisdemethoxycurcumin was 1 : 0.4-0.5 : 0.2-0.3. The curcuminoid extract was suspended to the desired concentrations with 0.5% tragacanth suspension.

Treatment of the animals

Ninety male Wistar rats weighing 290-320 g and 90 female rats weighing 200-230 g from the National Laboratory Animal Center, Mahidol University, Nakhon Pathom province, were used. The animals were housed in the animal facility of the Department of Medical Sciences.

The temperature in the animal room was kept at 25 ± 1 °C with 60% relative humidity. The animals were allowed to have free access to food and clean water.

Six-months toxicity study

Ninety Wistar rats of each sex were randomly divided into 6 groups of 15 animals per sex. Group 1 (water control) received water 5 ml/kg BW/day orally and Group 2 (tragacanth control) received 0.5% tragacanth suspension 5 ml/kg BW/day. Groups 3-6 were given the curcuminoids suspended in 0.5% tragacanth suspension at the doses of 10, 50, 250 or 250 mg/kg BW/day, respectively. Body weight and food intake was measured weekly and the animals were observed for signs of abnormalities throughout the study. At the end of 6-month treatment period, the 1st-5th groups of rats were fasted for 18 hours, then anesthetized with ether and sacrificed by drawing blood samples from the inferior vena cava for hematological and biochemical examinations. The 6th group of rats, the recovery group, was allowed to have free access to food and water without curcuminoids administration for another 14 days before being sacrificed.

Hematological analysis was performed using an automatic hematological analyzer (Cell dyne 3500, Abbott). Hematological parameters measured were white blood cell (WBC), %neutrophil, %lymphocyte, %monocyte, %basophil, %eosinophil, red blood cell (RBC), hemoglobin, hematocrit (Hct), platelet, plateletcrit (PCT), %reticulocyte, and reticulocyte.

Biochemical analysis of serum samples was performed using an automatic chemistry analyzer (Hitachi model 912). Biochemical parameters measured were aspartate aminotransferase (AST), alanine aminotransferase (ALT), alkaline phosphatase (ALP), p-amylase, bilirubin, creatinine, blood urea nitrogen (BUN), cholesterol, triglyceride, total protein, albumin, uric acid, glucose, sodium, potassium, and chloride.

The positions, shapes, sizes and colors of internal organs, namely, brain, heart, both kidneys and lungs, trachea, esophagus, stomach, liver,

pancreas, intestine, spleen, bladder, and testis in male rats or ovary and uterus in female rats were visually observed for any signs of gross lesions. These organs were then collected, weighed to determine actual and relative organ weights, and preserved in 10% buffered formalin solution. Tissue slides were later prepared and stained with hematoxylin and eosin, and histopathological examinations were performed by a veterinary pathologist.

Statistical analysis

Data were statistically analyzed using SPSS/PC program and statistically significant difference was set at $p < 0.05$. Food consumption, body weight, hematology, serum biochemistry and organ weight (absolute and relative) data analyzed by one-way ANOVA followed by Bonferroni's test or Tamhane's test. Histopathological results were evaluated by Fisher exact test at $p < 0.05$.

Results

Effects of the curcuminoids on body weight and food intake

The body weights of male rats receiving 50 mg/kg/day of curcuminoids were significantly

higher than those of the tragacanth control group from the first week until the end of the study (Figure 1). The body weights of male rats receiving curcuminoids 10 mg/kg/day were significantly higher than those of the tragacanth control during the 3rd-5th weeks.

In female rats, the body weights of the group receiving curcuminoids 50 mg/kg/day were significantly higher than those of the water control during the 5th until the 8th weeks. The body weights of the group receiving curcuminoids 250 mg/kg/day were significantly higher than those of the water control between the 1st and 16th weeks. The body weights of tragacanth group were significantly higher than those of the water control group during the 1st-8th weeks (Figure 1).

The food intakes of both male and female rats receiving curcuminoids were significantly higher than those of the tragacanth controls on some weeks during the study (Figure 2).

Effect of curcuminoids on actual organ weight and relative organ weight

Male rats treated with curcuminoids at the dose of 250 mg/kg/day had a higher actual weight and relative weight of the liver than the water and tragacanth control groups, and had a higher actual weight of the left kidneys than the tragacanth

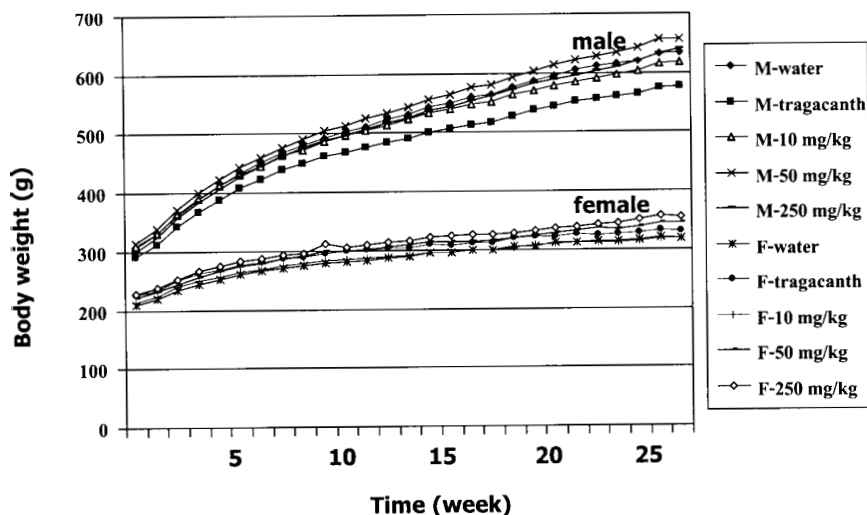


Figure 1. Growth curves of male and female rats receiving curcuminoids for 6 months.

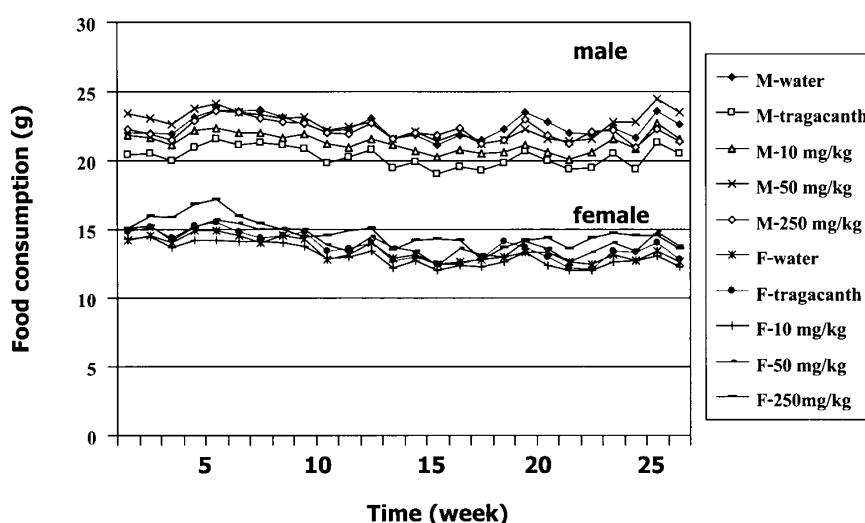


Figure 2. Food consumption of male and female rats receiving curcuminoids for 6 months.

control group. Male rats treated with curcuminoids at the dose of 50 mg/kg/day had a higher weight of the liver but a lower relative weight of the brain than the tragacanth control group. (Table 1 and Table 3).

Female rats treated with curcuminoids at the dose of 250 mg/kg had a higher actual weight of the liver than the water and tragacanth control groups. Female rats treated with curcuminoids at the dose of 50 mg/kg had a higher actual weight of the brain than the water control group. (Table 2).

Effect of curcuminoids on hematological parameters

Tables 5 and 6 showed that there was no difference of the number of white blood cells, %neutrophil, %lymphocyte, % monocyte, %basophil, %eosinophil, the number of red blood cells, hematocrit, platelet, PCT, or the number of reticulocytes between curcuminoids-treated groups and those of the water and tragacanth control groups of both male and female rats. The group of male rats receiving curcuminoids at the dose of 250 mg/kg/day had significantly lower hemoglobin level than the water control group. In the recovery group of male rats, the number of reticulocytes was significantly lower than that of

the water control group, while %hematocrit was significantly lower than those of the two control groups.

Effect of the curcuminoids on blood chemistry

In male and female rats, no difference in the serum levels of AST, ALT, P-amylase, bilirubin, creatinine, BUN, triglyceride, total protein, uric acid, glucose, sodium, potassium or chloride was found between all curcuminoids-treated groups and the water and tragacanth control groups. The group of male rats receiving curcuminoids at the dose of 250 mg/kg/day had significantly higher ALP than the tragacanth control group and had significantly higher albumin than the water and tragacanth control groups. The group of female rats receiving curcuminoids at the dose of 250 mg/kg/day had significantly higher cholesterol than the tragacanth control (Table 7-8).

Effect of curcuminoids on histopathology of internal organs

Upon gross examinations of internal organs, no abnormal signs were observed. Histopathological results indicated that some lesions were found in some groups or all groups of animals in the lung, heart, liver, kidney, spleen, intestine,

Table 1. Actual organ weight and body weight of male rats given curcuminoids orally for 6 months.

Male	Group of animals					
	water	tragacanth	10 mg/kg/day	50 mg/kg/day	250 mg/kg/day	250-R mg/kg/day
	N=15	N=15	N=15	N=14	N=15	N=15
Initial body weight	306±18	292±17	309±12	315±5**	300±15	301±24
Final body weight	635±63	576±48	618±53	657±44**	640±76	670±68**
Weight gain	329±51	285±35	309±51	342±42	340±67	368±59**
Brain	2.08±0.075	2.10±0.063	2.11±0.067	2.11±0.070	2.14±0.120	2.14±0.043
Heart	1.50±0.16	1.47±0.14	1.45±0.13	1.54±0.094	1.54±0.24	1.58±0.17
Right kidney	1.37±0.11	1.31±0.10	1.31±0.11	1.40±0.12	1.60±0.60	1.49±0.17
Left kidney	1.33±0.11	1.24±0.13	1.24±0.15	1.34±0.11	1.39±0.12**	1.42±0.18**
Urinary bladder	0.143±0.032	0.143±0.021	0.153±0.022	0.169±0.030	0.145±0.034	0.148±0.031
Liver	14.66±1.97	13.10±1.30	14.17±1.20	15.39±1.55**	17.05±2.03*,**	15.77±2.08**
Spleen	1.10±0.13	1.04±0.15	1.14±0.15	1.12±0.14	1.15±0.17	1.11±0.16
Stomach	2.19±0.20	2.04±0.22	2.18±0.20	2.23±0.17	2.23±0.21	2.29±0.25**
Lung	1.87±0.28	1.70±0.18	1.87±0.22	1.72±0.14	1.83±0.13	1.92±0.18**
R adrenal	0.035±0.066	0.033±0.054	0.030±0.051	0.036±0.055	0.034±0.068	0.034±0.055
L adrenal	0.040±0.071	0.037±0.047	0.035±0.055	0.039±0.061	0.039±0.067	0.038±0.054
Right testis	3.16±0.55	3.10±0.37	3.24±0.26	3.23±0.25	3.23±0.44	3.21±0.23
Left testis	3.09±0.38	3.15±0.42	3.24±0.31	3.54±1.08	3.22±0.41	3.20±0.25

Each value represents mean±SD.

* Significantly different from water control group ($p < 0.05$).

** Significantly different from tragacanth control group ($p < 0.05$).

thyroid gland, and testis (in male rats), or uterus and mammary gland (in female rats) (Table 9-10). Meanwhile, no lesion was found in the brain, pancreas, esophagus, and salivary gland in all groups of animals. The lesions found in all or some groups of both male and female animals were lymphoid proliferated peribronchioles, fatty degeneration of the liver, tubular cyst of the kidney, lymphoid hyperplasia of the spleen, and lymphoid aggregation in the submucosal layer of the intestine. However, the incidence of those changes

in the controls and curcuminoids-treated groups was not significantly different (Table 9-10).

Other histopathological findings in some groups of male rats treated with curcuminoids were focal myocarditis, testicular atrophy, follicular hyperplasia of the thyroid gland. The incidence of those abnormalities was, however, neither dose-related nor significantly different from that of the controls (Table 9). Adrenocortical fatty degeneration were found in all groups of male rats with the highest incidence (10/15) in the

Table 2. Actual organ weight and body weight of female rats given curcuminoids orally for 6 months.

Female	Group of animals					
	water	tragacanth	10 mg/kg/day	50 mg/kg/day	250 mg/kg/day	250-R mg/kg/day
	N=15	N=15	N=15	N=15	N=15	N=15
Initial body weight	209±9	225±8*	214±14	221±11	227±17*	221±14
Final body weight	318±29	330±24	318±31	345±31	356±37	364±55*
Weight gain	110±25	105±19	104±24	124±27	130±31	143±47*,**
Brain	1.91±0.066	1.94±0.099	1.94±0.088	1.99±0.066*	1.96±0.055	1.93±0.071
Heart	0.91±0.090	0.95±0.099	0.91±0.049	0.97±0.059	1.00±0.095	0.98±0.117
Right kidney	0.82±0.082	0.81±0.043	0.80±0.106	0.87±0.217	0.89±0.112	0.81±0.241
Left kidney	0.78±0.072	0.78±0.058	0.76±0.092	0.76±0.119	0.85±0.087	0.80±0.092
Urinary bladder	0.078±0.011	0.086±0.012	0.082±0.095	0.086±0.011	0.085±0.012	0.080±0.096
Liver	6.94±0.74	6.98±0.55	6.78±0.73	7.44±0.65	8.47±1.55*,**	7.80±1.15
Spleen	0.65±0.052	0.74±0.14	0.68±0.12	0.69±0.10	0.74±0.10	0.77±0.19
Stomach	1.57±0.17	1.59±0.18	1.57±0.23	1.59±0.20	1.59±0.17	1.63±0.20
Lung	1.33±0.11	1.33±0.13	1.28±0.11	1.32±0.11	1.34±0.11	1.33±0.098
R adrenal	0.039±0.064	0.038±0.081	0.039±0.049	0.038±0.055	0.041±0.079	0.040±0.068
L adrenal	0.043±0.058	0.040±0.080	0.039±0.055	0.043±0.044	0.042±0.089	0.041±0.065
R ovary	0.065±0.014	0.062±0.017	0.062±0.013	0.060±0.014	0.062±0.016	0.084±0.116
L ovary	0.063±0.017	0.064±0.097	0.068±0.019	0.067±0.014	0.068±0.019	0.058±0.011
uterus	0.63±0.26	0.80±0.30	0.67±0.14	0.71±0.23	0.81±0.17	0.72±0.23

Each value represents mean±SD.

* Significantly different from water control group ($p < 0.05$).

** Significantly different from tragacanth control group ($p < 0.05$).

group treated with curcuminoids 250 mg/kg, yet the incidence was not significantly different from controls (Table 9). An isolated case of renal cell carcinoma was detected in one male rat receiving curcuminoids 250 mg/kg

In female rats, tubular cast was found in the kidneys of all groups of animals and glandular hyperplasia of the mammary glands was found in some groups of animals, but the incidence was not dose-related or significantly different between

groups (Table 10). Glandular hyperplasia of the uterus and cervix was found in only one animal treated with 50 mg/kg curcuminoids, while congestion of the adrenal gland was found in only one animal in the water control group.

Discussion

Even though it was found that the body weights of some groups of curcuminoids-treated

Table 3. Organ weight relative to body weight^a (g/kg BW) of male rats given curcuminoids orally for 6 months.

Male	Group of animals					
	water	tragacanth	10 mg/kg/day	50 mg/kg/day	250 mg/kg/day	250-R mg/kg/day
	N= 15	N=15	N=15	N=14	N=15	N=15
Final body weight	635±63	576±48	618±53	657±44**	640±76	670±68**
Brain	3.36±0.27	3.72±0.30*	3.51±0.32	3.28±0.21**	3.49±0.52	3.24±0.33**
Heart	2.42±0.24	2.60±0.24	2.40±0.19	2.39±0.17	2.49±0.29	2.38±0.18
Right kidney	2.20±0.18	2.33±0.23	2.16±0.15	2.18±0.24	2.56±0.81	2.25±0.18
Left kidney	2.14±0.16	2.20±0.24	2.05±0.19	2.08±0.22	2.26±0.21	2.13±0.18
Urinary bladder	0.23±0.054	0.26±0.032	0.25±0.048	0.26±0.050	0.24±0.049	0.22±0.048
Liver	23.45±1.67	23.14±1.79	23.38±1.30	23.82±1.86	27.54±3.14*,**	23.66±1.76
Spleen	1.76±0.17	1.83±0.24	1.88±0.20	1.74±0.23	1.86±0.26	1.68±0.21
Stomach	3.53±0.32	3.60±0.26	3.60±0.33	3.46±0.33	3.61±0.44	3.46±0.34
Lung	3.00±0.31	3.01±0.25	3.09±0.41	2.67±0.23	2.97±0.39	2.90±0.32
Right adrenal	0.059±0.092	0.059±0.098	0.054±0.085	0.056±0.098	0.058±0.016	0.052±0.010
Left adrenal	0.064±0.091	0.067±0.013	0.059±0.010	0.062±0.011	0.066±0.020	0.056±0.071
Right testis	5.08±0.87	5.48±0.56	5.38±0.66	5.04±0.59	5.26±0.97	4.86±0.52
Left testis	5.00±0.74	5.56±0.67	5.37±0.68	5.53±1.90	5.23±0.88	4.84±0.48

^a Organ weight relative to body weight is expressed as (g organ weight/g body weight) × 1000
Each value represents mean ± SD.

* Significantly different from water control group ($p < 0.05$).

** Significantly different from tragacanth control group ($p < 0.05$).

rats were significantly higher than those of the controls on some weeks during the experimental period, this may in part be due to the initial body weights which were significantly higher than those of the controls from the beginning of the study. There was no difference of the hematological parameters between curcuminoids-treated groups and those of the control groups, except for male rats treated with high dose of curcuminoids that had significantly lower hemoglobin level than the water control group, but the higher hemoglobin level was still within the normal range (Gad, 1992)

Biochemical examinations of the serum showed that male rats receiving high dose of curcuminoids had a significantly higher ALP level than the tragacanth control, and a significantly higher albumin level than the two control groups (Table 7). However, both the ALP and albumin levels of this group of animals were still within the normal range (Gad 1992). In addition, these changes appeared to be reversible since the levels of both ALP and albumin in the recovery group were not different from those of the two controls. Female rats receiving high dose of cur-

Table 4. Organ weight relative to body weight ^a (g/kg BW) of female rats given curcuminoids orally for 6 months.

Female	Group of animals					
	water	tragacanth	10 mg/kg/day	50 mg/kg/day	250 mg/kg/day	250-R mg/kg/day
	N=15	N=15	N=15	N=15	N=15	N=15
Final body weight	318±29	330±24	318±31	345±31	356±37	364±55*
Brain	6.14±0.53	6.03±0.51	6.25±0.45	5.94±0.55	5.65±0.53	5.48±0.79*
Heart	2.94±0.28	2.96±0.32	2.92±0.16	2.87±0.20	2.88±0.23	2.75±0.34
Right kidney	2.62±0.31	2.53±0.25	2.59±0.28	2.60±0.74	2.55±0.34	2.27±0.69
Left kidney	2.50±0.29	2.44±0.27	2.45±0.22	2.26±0.35	2.45±0.26	2.25±0.30
Urinary bladder	0.25±0.032	0.27±0.040	0.27±0.028	0.26±0.034	0.24±0.047	0.23±0.041**
Liver	22.35±3.10	21.61±1.30	21.85±2.25	22.09±2.16	24.23±3.54	21.73±2.04
Spleen	2.11±0.29	2.30±0.44	2.18±0.31	2.05±0.35	2.13±0.27	2.14±0.44
Stomach	5.07±0.80	4.94±0.59	5.06±0.85	4.73±0.67	4.57±0.60	4.60±0.77
Lung	4.27±0.49	4.12±0.52	4.12±0.33	3.94±0.50	3.87±0.45	3.76±0.52
Right adrenal	0.13±0.019	0.12±0.029	0.13±0.020	0.12±0.017	0.12±0.020	0.11±0.016
Left adrenal	0.14±0.028	0.12±0.026	0.13±0.020	0.13±0.016	0.12±0.023	0.12±0.024
Right ovary	0.21±0.048	0.19±0.057	0.20±0.039	0.18±0.043	0.18±0.052	0.25±0.37
Left ovary	0.20±0.052	0.20±0.032	0.22±0.054	0.20±0.033	0.20±0.051	0.17±0.041
Uterus	2.01±0.81	2.50±0.92	2.19±0.55	2.13±0.70	2.35±0.58	2.04±0.73

^a Organ weight relative to body weight is expressed as (g organ weight/g body weight) × 1000

Each value represents mean ± SD.

* Significantly different from water control group ($p < 0.05$).

** Significantly different from tragacanth control group ($p < 0.05$).

cuminoids had significantly higher cholesterol level than the tragacanth control; however, it appeared to be a reversible change because cholesterol level of the recovery group was not different from that of the tragacanth control (Table 8).

Histopathological examination of the internal organs of male rats receiving high dose of curcuminoids showed an apparently dose-related incidence of mild degree of fatty degeneration in the liver and adrenocortical fatty degeneration than that of the two controls. The incidence of

both histopathological findings in the recovery group, however, appeared to be lower than that of the high dose group and not significantly different from that of the controls suggesting that these observed pathological changes were reversible. Since there were no change of serum triglyceride or glucose levels in curcuminoids-treated male rats, the fatty degeneration of the two organs was not likely due to an increase of serum triglyceride or glucose levels. The reason for the fatty change in the two organs was not known.

Table 5. Hematological examination results of male rats given curcuminoids orally for 6 months.

Male	Group of animals					
	water	tragacanth	10 mg/kg/day	50 mg/kg/day	250 mg/kg/day	250-R mg/kg/day
	N= 15	N=15	N=15	N=14	N=15	N=15
WBC (K/uL)	6.73±2.14	5.33±1.27	5.76±1.32	5.92±1.27	5.20±1.51	6.37±1.26
%Neutrophil	17.88±5.76	17.46±5.66	18.70±4.89	18.56±5.34	15.75±4.36	16.78±3.85
%Lymphocyte	78.69±5.19	79.32±6.18	77.98±5.21	77.96±5.47	80.28±5.72	79.80±4.14
%Monocyte	1.32±1.43	1.22±1.66	1.04±1.27	1.06±1.07	1.78±1.91	0.99±0.89
%Basophil	0.64±0.24	0.55±0.26	0.56±0.29	0.64±0.47	0.66±0.27	0.70±0.31
%Eosinophil	1.48±0.29	1.44±0.49	1.71±0.65	1.79±0.53	1.52±0.33	1.73±0.73
RBC(x10⁶/uL)	9.01±0.39	8.79±0.32	8.77±0.39	8.90±0.39	8.74±0.45	8.43±0.74*
Hemoglobin (g/dL)	16.22±0.57	15.78±0.46	15.73±0.43	15.76±0.41	15.56±0.48*	15.87±0.55
%Hematocrit	46.65±2.11	45.58±1.90	44.47±2.69	45.55±1.29	44.65±1.99	42.69±4.38*,**
Platelet (K/uL)	929.87±111.73	869.10±115.16	908.23±58.07	905.07±73.06	900.43±103.50	906.80±125.08
PCT (%)	0.92±0.14	0.84±0.15	0.89±0.13	0.86±0.081	0.86±0.099	0.92±0.17
%Reticulocyte	18.48±6.51	13.19±6.06	14.38±2.57	13.82±5.14	14.93±5.58	13.73±5.07
Reticulocyte (K/uL)	1676.53± 579.59	1158.93± 569.99	1260.00± 270.40	1223.21± 457.83	1312.86± 510.37	1133.07± 429.57*

Each value represents mean ± SD.

* Significantly different from water control group ($p < 0.05$).

** Significantly different from tragacanth control group ($p < 0.05$).

Therefore, if curcuminoids will be taken at a high dose for a long period of time, patients should be advised to observe themselves for any possible sign of liver toxicity, i.e. jaundice or yellowing of the skin or the eye, brown urine, nausea, vomiting, abdominal pain, light-colored stool, unusual tiredness, and loss of appetite. In addition, liver function test should also be performed periodically.

Conclusion

Six-month chronic toxicity study of curcuminoids in Wistar rats indicated that curcuminoids at the doses of 10 and 50 mg/kg/day did not

produce any significant dose-related changes of organ weights, hematological parameters, serum chemistry, or pathology of the internal organs. Both male and female rats receiving curcuminoids 250 mg/kg/day had higher actual weights of the liver than those of the two control groups. Fatty degeneration of the liver occurred in a dose-dependent manner in male rats, while it was observed in 2 out of 15 female rats receiving the highest dose of curcuminoids. In addition, a dose-related adrenocortical fatty degeneration was also observed in curcuminoids-treated male rats but not in female rats. However, the incidence of these pathological changes was not significantly different between curcuminoids-

Table 6. Hematological examination results of female rats given curcuminoids orally for 6 months

Female	Group of animals					
	water	tragacanth	10 mg/kg/day	50 mg/kg/day	250 mg/kg/day	250-R mg/kg/day
	N=15	N=15	N=15	N=15	N=15	N=15
WBC (K/uL)	3.16±1.51	2.83±1.18	2.40±0.67	2.65±1.13	2.69±0.92	2.36±0.96
%Neutrophil	19.91±8.37	21.36±11.16	22.06±6.65	23.19±4.60	21.33±5.71	21.93±6.80
%Lymphocyte	75.56±9.62	75.49±11.12	73.54±7.70	72.31±5.55	73.40±6.31	73.22±8.05
%Monocyte	2.05±1.84	0.90±0.44	1.47±1.42	1.54±1.68	2.26±2.48	2.09±2.19
%Basophil	0.51±0.54	0.48±0.31	0.55±0.49	0.50±0.24	0.73±0.49	0.57±0.32
%Eosinophil	3.10±4.28	1.77±0.61	2.37±0.92	2.46±1.11	2.29±0.62	2.19±0.84
RBC(x 10⁶/uL)	8.00±0.48	7.77±0.56	7.86±0.50	7.82±0.49	7.75±0.40	7.63±0.49
Hemoglobin (g/dL)	15.54±0.49	15.18±0.75	15.31±0.55	15.31±0.74	15.20±0.46	15.10±0.46
%Hematocrit	44.38±2.59	43.16±1.75	43.74±2.62	43.79±2.26	43.24±1.93	42.40±2.10
Platelet (K/uL)	855.07±100.51	803.20±84.62	848.00±98.19	843.37±100.51	814.03±87.63	812.30±99.91
PCT (%)	0.84±0.12	0.76±0.073	0.80±0.11	0.81±0.11	0.76±0.069	0.78±0.09
%Reticulocyte	16.72±6.57	17.49±5.13	15.47±5.70	12.81±5.85	15.81±4.72	16.59±5.36
Reticulocyte (K/uL)	1340.07±535.38	1343.80±337.44	1234.50±493.81	983.73±423.91	1223.07±400.45	1268.14±444.68

Each value represents mean ± SD.

* Significantly different from water control group ($p < 0.05$).

** Significantly different from tragacanth control group ($p < 0.05$).

treated animals and the two controls, and was lower in the recovery group suggesting a reversible nature of these changes. Taken together, the results suggested that long term administration of curcuminoids at a high dose might affect the liver of the rat morphologically and functionally in a reversible manner.

Acknowledgments

The authors are grateful to Asst. Prof. Dr. Anuthep Rungseepipat of the Department of Veterinary Pathology, Faculty of Veterinary Science, Chulalongkorn University, for histopathological examinations of tissue samples. We also

thank Dr. Reywadee Butraporn and the staffs of the Animal Facility of the Department of Medical Sciences for the animal care.

References

- Bhavani Shankar, T.N., Shantha, N.V., Ramesh, H.P., Murthy, I.A.S., and Murthy, V.S. 1980. Toxicity studies on turmeric (*Curcuma longa*) : Acute toxicity studies in rats, guineapigs & monkeys. Indian J. Exp. Biol. 18: 73-75.
- Department of Medical Sciences, 1998. Khamin Chan. In Thai Herbal Pharmacopoeia. Volume 1., Bangkok. p. 38-44.
- Gad, S.C. 1992. The Rat: Pathology. In Animal Models in Toxicology (Eds. S.C. Gad and C.P. Chengellis), Marcel Dekker, New York. p. 81.

Table 7. Blood chemistry results of male rats given curcuminoids orally for 6 months

Male	Group of animals					
	water	tragacanth	10 mg/kg/day	50 mg/kg/day	250 mg/kg/day	250-R mg/kg/day
	N=15	N=15	N=15	N=14	N=15	N=15
AST (U/L)	70.47±8.55	68.67±6.91	71.93±10.09	73.86±14.42	67.07±6.58	71.13±15.09
ALT (U/L)	39.60±9.17	36.20±4.89	35.60±6.95	39.07±10.48	35.73±7.98	42.13±16.01
ALP (U/L)	67.47±9.16	62.73±9.74	69.07±16.37	74.21±12.74	79.40±13.39**	68.13±12.67
p-amylase	1960.87± 260.43	1833.73± 139.52	1884.60± 205.10	2099.36± 207.49	1992.73± 311.97	2063.60± 271.07
Bilirubin (mg/dL)	0.066±0.039	0.073±0.037	0.070±0.028	0.080±0.025	0.069±0.042	0.052±0.036
Creatinine (mg/dL)	0.67±0.062	0.68±0.045	0.65±0.061	0.65±0.041	0.65±0.063	0.67±0.041
BUN (mg/dL)	18.64±1.55	19.19±3.16	18.28±2.38	17.64±2.05	17.80±2.04	17.63±1.83
Cholesterol (mg/dL)	89.31± 19.55	85.75± 16.37	91.71± 18.77	81.68± 15.80	104.47± 22.79	118.40± 24.20*,**
Triglyceride (mg/dL)	183.42± 72.53	139.42± 33.75	155.20± 30.13	149.90± 38.95	152.12± 54.28	253.94± 88.26**
Total protein (g/dL)	6.95±0.31	6.83±0.19	6.91±0.29	6.94±0.23	6.94±0.29	7.15±0.31**
Albumin (g/dL)	4.27±0.14	4.23±0.09	4.25±0.14	4.36±0.13	4.44±0.19*,**	4.24±0.17
Uric acid (mg/dL)	2.71±1.34	1.51±0.59	1.90±1.03	1.84±0.87	2.01±0.89	1.87±0.87
Glucose (mg/dL)	185.57±30.78	154.04±17.72*	165.93±21.81	169.66±22.36	171.07±28.88	172.28±19.04
Sodium (mmol/L)	146.47±2.26	146.80±1.82	147.33±1.84	147.86±1.66	148.20±1.90	147.13±1.25
Potassium (mmol/L)	6.54±1.37	5.69±0.81	5.65±0.37	5.44±0.48	5.65±0.43	5.93±0.75
Chloride (mmol/L)	109.80±2.43	111.27±1.87	111.40±1.55	111.57±1.83	111.87±2.26	112.73±2.31*

Each value represents mean±SD.

* Significantly different from water control group ($p < 0.05$).** Significantly different from tragacanth control group ($p < 0.05$).

Table 8. Blood chemistry results of female rats given curcuminoids orally for 6 months

Female	Group of animals					
	water	tragacanth	10 mg/kg/day	50 mg/kg/day	250 mg/kg/day	250-R mg/kg/day
	N= 15	N=15	N=15	N=15	N=15	N=15
AST (U/L)	86.87±29.15	93.07±24.86	102.80±41.78	97.40±36.66	73.80±12.39	74.07±11.75
ALT (U/L)	43.60±17.44	40.93±19.58	47.33±17.77	47.00±18.35	36.80±11.10	35.40±9.83
ALP (U/L)	22.67±4.12	23.27±7.27	20.73±3.20	23.60±6.43	23.60±4.61	22.67±4.29
p-amylase	1217.53± 299.96	1143.27± 170.25	1146.67± 178.65	1082.53± 212.42	1230.60± 167.27	1298.60± 238.92
Bilirubin (mg/dL)	0.097±0.037	0.096±0.051	0.099±0.040	0.080±0.052	0.112±0.059	0.074±0.035
Creatinine (mg/dL)	0.75±0.079	0.76±0.084	0.76±0.070	0.77±0.090	0.75±0.065	0.74±0.061
BUN (mg/dL)	21.45±3.45	21.95±3.72	22.34±2.70	21.50±2.60	19.99±3.22	19.05±3.13
Cholesterol (mg/dL)	71.59±14.39	65.02±10.76	74.24±9.83	79.05±16.66	83.46±18.86**	72.53±16.38
Triglyceride (mg/dL)	109.93±30.98	112.82±40.87	122.29±39.66	127.74±39.82	134.81±41.25	143.35±71.07
Total protein (g/dL)	7.27±0.49	7.28±0.36	7.31±0.27	7.40±0.36	7.56±0.29	7.33±0.44
Albumin (g/dL)	5.00±0.31	5.00±0.35	5.09±0.21	5.12±0.25	5.28±0.22	5.05±0.27
Uric acid (mg/dL)	1.77±0.86	1.43±0.91	1.94±1.21	1.47±0.68	1.58±0.82	1.48±0.55
Glucose (mg/dL)	141.07±22.46	133.45±19.19	144.32±33.92	139.75±23.68	143.33±15.77	153.70±23.05
Sodium (mmol/L)	147.13±1.60	147.67±1.76	147.67±1.68	148.07±1.44	148.20±1.57	148.47±0.92
Potassium (mmol/L)	5.42±0.94	4.69±0.96	5.15±1.06	4.88±0.95	5.05±0.95	4.63±0.67
Chloride (mmol/L)	113.20±1.66	113.07±1.58	113.40±1.40	113.33±1.84	113.73±1.94	116.93± 1.87*,**

Each value represents mean±SD.

* Significantly different from water control group ($p < 0.05$).** Significantly different from tragacanth control group ($p < 0.05$).

Table 9. Histopathological results of visceral organs in male rats given curcuminoids orally for 6 months

Organs	Microscopic findings	Group of animals				
		water	tragacanth	10 mg/kg/day	50 mg/kg/day	250 mg/kg/day
Lung	Lymphoid proliferated peribronchioles	4/14	6/14	8/15	4/14	3/15
Heart	Focal myocardiosis	3/14	1/14	1/15	1/14	0/15
Liver	Fatty degeneration	4/14	3/14	2/15	5/14	8/15
Kidney	Tubular cyst	2/14	2/14	0/15	2/14	0/15
	Renal cell carcinoma	0/14	0/14	0/15	0/14	1/15
Spleen	Lymphoid hyperplasia	0/14	0/14	0/15	1/14	0/15
Intestine	Lymphoid aggregated submucosal layer	2/14	2/14	4/15	2/14	0/15
Testis	Atrophy	1/14	2/14	0/15	0/15	1/15
Adrenal gland	Cortical fatty degeneration	5/14	5/14	2/15	5/14	10/15
Thyroid gland	Follicular hyperplasia	0/14	0/14	0/15	2/14	0/15

The results were expressed as the number of rats with pathological findings per total number of rats treated

Table 10. Histopathological results of visceral organs in female rats given curcuminoids orally for 6 months

Organs	Microscopic findings	Group of animals				
		water	tragacanth	10 mg/kg/day	50 mg/kg/day	250 mg/kg/day
Lung	Lymphoid proliferated peribronchioles	4/15	5/14	6/14	2/15	2/15
Heart	Myocardial calcification	1/15	0/14	0/14	0/15	0/15
Liver	Fatty degeneration	0/15	0/14	0/15	0/14	2/15
Kidney	Tubular cast	5/15	3/14	4/14	7/15	6/15
	Tubular cyst	0/15	0/14	0/14	1/15	0/15
Spleen	Lymphoid hyperplasia	0/14	0/14	0/15	1/14	0/15
Intestine	Lymphoid aggregated submucosal layer	2/15	2/14	1/14	0/15	0/15
Uterus and cervix	Glandular hyperplasia	0/15	0/14	0/14	1/15	0/15
Mammary gland	Glandular hyperplasia	0/15	2/14	2/14	0/15	0/15
Adrenal gland	Congestion	1/15	0/14	0/14	0/15	0/15

The results were expressed as the number of rats with pathological findings per total number of rats treated

- Grinberg, L.N., Shalev, O., Tonnesen H.H., and Rachmilewitz, E.A. 1996. Studies on curcumin and curcuminoids: XXVI. Antioxidant effects of curcumin on the red blood cell membrane. *Int. J. Pharmaceutics* 132: 251-257.
- Haung, M.T., Lou, Y.R., Ma, W., Newmark, H.L., Reuhl, K.R., and Conney, A.H. 1994. Inhibitory effects of dietary curcumin on forestomach, duodenal, and colon carcinogenesis in mice. *Cancer Res.* 54: 5841-5847.
- Limtrakul, P., Lipigorngson, S., Namwong, O., Apisariyakul, A., and Dunn, F.W. 1997. Inhibitory effect of dietary curcumin on skin carcinogenesis in mice. *Cancer Lett.* 116: 197-203.
- Limtrakul, P., Anuchapreeda, S., Lipigorngson, S., and Dunn F.W. 2001. Inhibition of carcinogen-induced c-Ha-ras and c-fos proto-oncogenes expression by dietary curcumin. *BMC Cancer* 1: 1.
- Majeed, M., Badmaev, V., and Murray, F. 1995. Turmeric and the healing curcuminoids. Keats Publishing, New Canaan, Connecticut. p. 26-27.
- National Drug Committee. 2000. Khamin Chan. In National List of Essential Drug A.D. 1999. (List of Herbal Medicine Products). Association of Thailand Agricultural Co-op Printing, Bangkok. p. 16-23.
- Qureshi, S., Shah, A.H., and Ageel, A.M. 1992. Toxicity Studies on *Alpinia galanga* and *Curcuma longa*. *Planta. Med.* 58: 124-127.
- Ramsewak, R.S., De Witt, D.L. and Nair, M.G. 2000. Cytotoxicity, antioxidant and anti-inflammatory activities of curcuminoids from *Curcuma longa*. *Phytomedicine* 7: 303-308.
- Selvam, R., Subramanian, M., Gayathri, R., and Anganyakanni, N. 1995. The anti-oxidant activity of turmeric (*Curcuma longa*). *J. Ethnopharmacol.* 47: 59-67.
- Sittisomwong, N., Leelasangaluk, V., Chivapat, S., Wangmad, A., Ragsaman, P. and Chuntarachaya, C. 1990. Acute and subchronic toxicity of turmeric. *Bull. Dept. Med. Sci.* 32(3): 101-111.
- Soni, K.B. and Kuttan, R. 1992. Effect of oral curcumin administration on serum peroxides and cholesterol levels in human volunteers. *Indian J. Physiol Pharmacol* 36(4): 273-275.
- Smith, J.E., 1995. Comparative hematology. In Williams Hematology 5th Edition (Eds. E. Beutler, M.A. Lichtman, B.S. Coller and T.J. Kipps) McGraw-Hill, New York, p.77-85.
- Thamlikitkul, V., Bunyaphraphatsara, N., Dechatiwongse, T., Theerapong, S., Chantrakul, C., Thanaveerasuwan, T., Nimitnon, S., Boonroj, P., Punkrut, W., Gingsungneon, V., et al. 1989. Randomized double blind study of *Curcuma domestica* Val. for dyspepsia. *J. Med. Assoc. Thai.* 72: 613-620.
- World Health Organization. 1999. Rhizoma Curcumae Longae. In WHO monographs on selected medicinal plants. Vol. I. Malta. p. 115-124.

ORIGINAL ARTICLE

Long-term consumption of polysaccharide gel from durian fruit-hulls in mice

Sunanta Pongsamart¹, Achara Tawatsin³, and Suchada Sukrong²

Abstract

Pongsamart, S., Tawatsin, A. and Sukrong, S.

Long-term consumption of polysaccharide gel from durian fruit-hulls in mice

Songklanakarin J. Sci. Technol., 2002, 24(4) : 649-661

Consumptive safety studies of durian polysaccharide gel were performed in mice. The polysaccharide gel, DF_{II} and DF_I, were given orally for 60 and 100 days to male and female groups, respectively. The oral doses of 0.25 g/kg/d of DF_{II} or DF_I or standard polysaccharide pectin or a high dose of 0.5 g/kg/d of DF_{II}, were given to test groups. Food and water were given *ad libitum*. The results indicated that no toxic effect was induced in treated mice. Relative body weight gain profile in treated mice was not different ($p>0.05$) from its control. However, the lowest mean values of relative weight gain were obtained at finale in male and female groups treated with 0.5 g/kg/d of DF_{II}. Other pathological effects were examined by clinical analysis of animal blood and serum. Normal hematologic results and clinical data of glucose, cholesterol, creatinine and BUN in treated groups were found and was not significantly different ($p>0.05$) from those of control and/or standard groups. However, mean values of serum cholesterol in DF_{II}- and DF_I-treated groups were rather low in comparison to their control and standard. The serum enzymes ALP, AST (SGOT) and ALT (SGPT) were examined for detection of any pathological changes of the liver. No significant elevation of these enzymes ($p>0.05$) in DF_{II}- and DF_I-treated groups was observed in comparison

¹Ph.D. (Medicinal Chemistry), Assoc. Prof., ²M.Sc. (Pharmacognosy), Department of Biochemistry, Faculty of Pharmaceutical Sciences, ³M.S. (Microbiology), Asst. Prof., Department of Veterinary Medicine, Faculty of Veterinary Sciences, Chulalongkorn University, Phaya Thai, Bangkok 10330 Thailand.

Corresponding e-mail : sunanta.Po@chula.ac.th

Received, 28 April 2001 Accepted, 21 May 2002

to those of standard and control groups. This finding suggests that liver injury did not occur in treated mice. The relative liver weights of treated mice were not different ($p>0.05$) from those of control male mice, while lower relative liver weights ($p\leq 0.05$) were obtained in female treated and standard groups when compared to their control. Normal number and growth rate of offspring were obtained in DF_{II}- and DF_I- treated and control female groups. Subchronic toxicity in this study suggests that polysaccharide gel from fruit-hulls of durian at oral doses of 0.25 and 0.5 g/kg/d could be consumed safely for a long period of 60-100 days in male and female mice.

Key words : consumptive safety, toxic effects, durian polysaccharide gel, *Durio zibethinus*

บทคัดย่อ

สุนันท์ พงษ์สารารถ¹ อัจรา ชัยสิน² และ สุชาดา สุขหร่อ¹

การบริโภคเป็นเวลานานของโพลีแซคคาไรด์เจล skłัดจากเปลือกผลทุเรียนในหนูถีบจักร

ว. สงขลานครินทร์ วทท. 2545 24(4) : 649-661

การศึกษาความปลอดภัยในการบริโภคสารโพลีแซคคาไรด์เจลจากเปลือกทุเรียนกับหนูถีบจักรเพศผู้และเพศเมียโดยให้โพลีแซคคาไรด์เจล DF_{II} และ DF_I ป้อนทางปากเป็นเวลา 60 และ 100 วัน กับหนูถีบจักรเพศผู้และเพศเมียตามลำดับ ให้ขนาดของ DF_{II} DF_I หรือสารมาตรฐานโพลีแซคคาไรด์เพคติน 0.25 กรัม/กг./วัน และให้ขนาดสูงของ DF_{II} 0.5 กรัม/กг./วัน กับแต่ละกลุ่มทดลอง ให้อาหารและน้ำกินได้ตลอดเวลา ผลการทดลองแสดงให้เห็นว่า ไม่มีพิษเกิดขึ้นกับหนูถีบจักรที่ทดลอง ค่าของน้ำหนักเพิ่มสัมพัทธ์ในกลุ่มทดลองของหนูถีบจักรไม่มีความแตกต่างอย่างมีนัยสำคัญทางสถิติ ($p>0.05$) เทียบกับกลุ่มควบคุม อย่างไรก็ได้ในกลุ่มทั้งเพศผู้และเพศเมียที่ให้กิน DF_{II} ขนาด 0.5 กรัม/กг./วัน พนบค่าเฉลี่ยของน้ำหนักเพิ่มสัมพัทธ์อยู่ในระดับต่ำสุดกว่ากลุ่มอื่นเมื่อให้กินระยะยาว ผลทางพยาธิสภาพอื่น ๆ ทดสอบโดยการตรวจวิเคราะห์ทางคลินิกในเลือดและซีรั่มของสัตว์ทดลอง พนค่าปกติต่าง ๆ ทางโลหิตวิทยา และการตรวจวิเคราะห์ทางคลินิกของกลูโคส โคลเลสเตอรอล ครอตติน และ บีญอีน ของกลุ่มทดลองและไม่แตกต่างอย่างมีนัยสำคัญทางสถิติ ($p>0.05$) เทียบกับกลุ่มควบคุมและ/หรือกลุ่มมาตรฐาน อย่างไรก็ได้ค่าเฉลี่ยของระดับโคลเลสเทอรอล ของกลุ่มที่ให้กิน DF_{II} และ DF_I จะค่อนข้างต่ำเมื่อเทียบกับกลุ่มควบคุมและกลุ่มมาตรฐาน การตรวจสอบระดับเอนไซม์ในซีรั่มของตัวค่าไอล์ฟอสฟอเรส (ALP) และฟ้าเตตอมิโนทรานสเฟอเรส (AST หรือ SGOT) และอลาเน็นออมิโนทรานสเฟอเรส (ALT หรือ SGPT) เพื่อตรวจสอบการเปลี่ยนแปลงการเกิดพยาธิสภาพของตับ ไม่พบมีการเพิ่มระดับอย่างมีนัยสำคัญทางสถิติ ($p>0.05$) ของเอนไซม์เหล่านี้ของกลุ่มที่ให้กิน DF_{II} และ DF_I เปรียบเทียบกับกลุ่มมาตรฐานและกลุ่มควบคุม การพนบค่าเฉลี่ยของตับไม่มีการทำลายตับเกิดขึ้นในหนูถีบจักรที่ทดลอง ยังพบว่า ค่าน้ำหนักสัมพัทธ์ของตับไม่มีความแตกต่าง ($p>0.05$) จากกลุ่มทดลองและกลุ่มควบคุมในหนูถีบจักรเพศผู้ ขณะที่กลุ่มทดลองในหนูถีบจักรเพศเมียและกลุ่มมาตรฐานที่ให้กินเพคตินมีค่าน้ำหนักสัมพัทธ์ของตับที่ต่ำกว่า ($p\leq 0.05$) กลุ่มควบคุม ได้ผลค่าปกติของจำนวนลูกที่เกิดและอัตราการโตของลูกในกลุ่มทดลองหนูเพศเมียที่ให้กิน DF_{II} และ DF_I และกลุ่มควบคุม การทดลองการเกิดพิษกึ่งเรื้อรังในการศึกษารังน้ำให้ข้อเสนอแนะได้ว่า สารโพลีแซคคาไรด์เจลจากเปลือกของผลทุเรียนสามารถให้บริโภคขนาด 0.25 และ 0.5 กรัม/กг./วัน ระยะยาวในช่วง 60-100 วัน ได้ปลอดภัยในหนูถีบจักรทั้งเพศผู้และเพศเมีย

¹ ภาควิชาชีวเคมี คณะเภสัชศาสตร์ ² ภาควิชาอาชีวศาสตร์ คณะสัตวแพทยศาสตร์ จุฬาลงกรณ์มหาวิทยาลัย พญาไท กรุงเทพมหานคร 10330

Polysaccharide gel isolated from fruit-hulls of durian (*Durio zibethinus* L.) has been found to be useful in preparation of jellies and jams, (Pongsamart *et al.*, 1989 a), and as excipient in pharmaceutical preparations such as tablet, suspension and emulsion (Umprayn *et al.*, 1990 abc; Pongsamart, 1989). The chemical composition and sugar components of polysaccharides in form of DF_I (crude) and DF_{II} (partially purified) were previously described (Pongsamart and Panmaung, 1998). Toxic effects of a high oral dose of polysaccharide gel were also investigated in mice and rats, with the results indicating that polysaccharide gel did not induce acute toxicity in mice and rats (Pongsamart *et al.*, 2001). Toxic effects did not occur in subacute treatment at doses of 0.125, 0.25 and 0.5 g/kg/day for 10 days when compared with water and pectin which were used as a control and a standard polysaccharide, respectively (Pongsamart *et al.*, 1989 b). The purpose of this study was to determine in more detail the consumptive safety after long-term treatment in male and female mice with a dose of 0.25g/kg/day of DF_I, DF_{II} and pectin (a standard polysaccharide) as well as with a high dose of 0.5 g/kg/d of DF_{II}. The pathological changes were characterized by observing the increment of the relative weight of internal organs especially liver weight and high levels of biochemical compositions in blood. The sign of liver damage was also characterized by the high levels of some enzymes in serum such as alkaline phosphatase (ALP) aspartate aminotransferase (AST; SGOT) and alanine aminotransferase (ALT; SGPT) (Fauci *et al.*, 1998).

Materials and Methods

Animals

Female and male Swiss Albino mice, age 30-35 days (20-25 g) were obtained from the National Laboratory Animal Center, Mahidol University at Salaya. All animals were weighed and placed in individual stainless steel cages (8 × 10 in.). The animals were acclimatized for at least 3 days prior to the initiation of experiments

in an experimental room with a controlled temperature (25±1°C) and 50-60 % humidity. Animals were maintained on a commercial pellet diet (from F.E. Zuellig Co.) and tap water *ad libitum*. Animal weights were recorded every morning at 8-10 am. throughout the experimental period.

Polysaccharide gel extracts

The polysaccharide gel isolated from fruit-hulls of durian includes DF_I, a crude extract, and DF_{II}, a partially purified form of DF_I. The method of isolation of DF_I and DF_{II}, and its properties were previously described (Pongsamart and Panmaung, 1998). A 5% polysaccharide gel in water was freshly prepared before use. Oral feeding with stainless steel stomach needle was performed at a volume of 10 ml/kg body weight. The dose of 0.25 g/kg of DF_I and DF_{II} was given in test groups. A high dose of 0.5 g/kg of DF_{II} was also performed in test groups of female and male mice.

Experimental protocol

Mice were housed singly in stainless steel cages, and given food and water *ad libitum*. Initial body weight of animals was recorded at day 0, the day on which experiment started. Two preparations of polysaccharide gel, DF_I and DF_{II} (0.25 g/kg/d) were given to the treated groups whereas pectin (0.25 g/kg/d) and water (10 ml/kg/d) were given to the standard and control groups, respectively. A high dose of DF_{II} (0.5g/kg/d) was also given to female and male test groups. Each group of 14-15 male or 8 female mice received polysaccharide gel and pectin everyday for 60 and 100 days, respectively. Each animal was weighed before feeding every morning, food and water intake was also observed through out the experimental period. After 4 weeks of treatment, the treated females were housed with normal untreated male for mating. The pregnancy rate, litter size, number of offspring, offspring growth rate and animal weight were determined for the following 70 days of treatment. Offspring weight was recorded every

day after birth for 4 weeks.

On the final day of treatment, treated animals were weighed and then anesthetized with diethyl ether, and blood withdrawn immediately from the inferior vena cava using a heparinized hematocrit tube and syringe. Serum was obtained following centrifugation at $3,000 \times g$, 5 min, and used for biochemical and clinical analyses. Immediately following collection of the blood sample, liver, heart, lung and kidneys were rapidly removed and weighed. The internal organs were examined grossly.

Assessment of clinical parameters

Hematological parameters of blood samples were analyzed for hematocrit and hemoglobin. Blood count of red blood cells, white blood cells and lymphocytes were examined (Dacie and Lewis, 1975). Clinical pathology was assessed according to biochemical analysis, i.e. the increment of serum concentrations of glucose, cholesterol, creatinine and blood urea nitrogen (BUN) by using spectrophotometric assay. The elevation of enzyme levels of alkaline phosphatase (ALP), aspartate aminotransferase (AST or SGOT), and alanine aminotransferase (ALT or SGPT) was determined to assess toxic liver injury and biological toxicity.

Statistical method

Results are expressed as group mean values \pm SD in tables; graphs were constructed using SigmaPlot Scientific Graphing Software for Windows, symbols and bars on graphs represent mean \pm SD. Means not having superscripts incommon are statistically different ($p \leq 0.05$). Multiple means of the treatment, standard and control groups were examined by using SPSS for MS Windows program, and analysis undertaken using analysis of variance followed by Duncan's multiple range test or/and Post Hoc Tests to evaluate significant differences between groups. The limit for statistical significance (α) was set up at 0.05. Relative weight gain mean values were compared cross groups treated with different amounts and types of food at 10-day

intervals for 60 and 100 days in male and female groups, respectively, and at 7-day intervals for 30 days in groups of offspring.

Results and Discussion

In a previous study, investigation of a high oral single dose (2 g/kg) of polysaccharide gel from fruit-hulls of durian indicated that no acute toxic effect was induced in mice and rats. Long-term treatment in mice with an oral dose of 0.25 g/kg/d of DF_I and DF_{II} was performed in this study; pectin and water were used as a standard polysaccharide and control, respectively. A high dose of DF_{II} (0.5 g/kg/d) was also assessed. These doses were about 5-10 times or more than 20 times which would be consumed in the recipe of food or drug formula, respectively. Normal behavior of animals was observed. Food and water were taken normally in treated groups as well as in the control group. Soft feces were excreted normally in treated group as well as in the groups of control and standard. However, at the first 1-2 weeks of treatment, some animals of the treated groups excreted very soft feces. This result may suggest a mild laxative property of polysaccharide fiber (Spiller, et al., 1979).

Effect of polysaccharide gel on body weight and internal organ weight

Initial body weight and relative weight gain in test male and female mice are illustrated in Figure 1 and Figure 2, respectively. Final body weights in test male and female are demonstrated in Table 1 and 2, respectively. Average body weights (Table 1) and the average weight gain profile in male groups (Figure 1) were not significantly different ($p > 0.05$) from that of their control. However, the DF_{II} at 0.5 g/kg/d treated group at final period of experiment showed the lowest average body weight. Figure 2 shows the profile of relative weight gain in female mice. The average weight gains of treated and control groups were not significantly different ($p > 0.05$) at day 10 to 30 of treatment before mating period and at day 80 to 100 of treatment after lactation

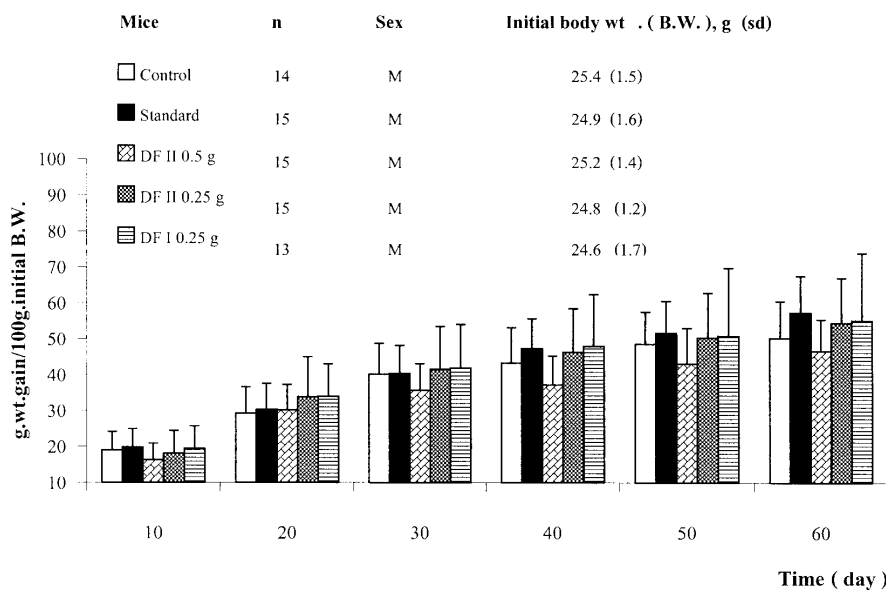


Figure 1. Relative weight gain in male mice during 60 days treatment with DF_I and DF_{II}. Each bar represents mean (sd). Mean values of treated groups at time illustrated are not significantly different from that of control (p> 0.05). Control male mice were fed with water 10 ml/kg/d. Standard male mice were fed with pectin 0.25 g/kg/d, M = male, n = number of mice

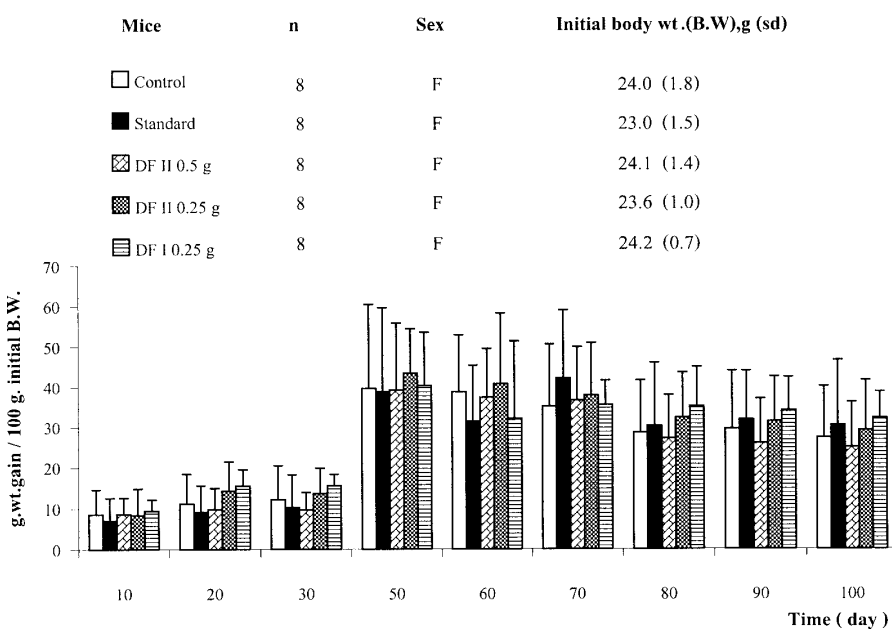


Figure 2. Relative weight gain in female mice during 100 days treatment with DF_I and DF_{II}. Each bar represents mean (sd). Mean values of treated groups at time illustrated are not significantly different from control (p> 0.05). Control female mice were fed with water 10 ml/kg/d. Standard female mice were fed with pectin 0.25g/kg/d, F = treated female, n = number of mice.

Table 1. Relative internal organ weight in test male mice after 60 days treatment with DF_I and DF_{II}. NS = no significant difference between groups ($p > 0.05$), a, b = significant difference between groups ($p \leq 0.05$), M = male, n = number of mice.

Test animals (mice)	n, Sex	Weight (g) Mean ± SD	Internal organ wt. (g)/100 g. body wt. Mean ± SD				
			Kidney			Right NS	Left
			Liver NS	Heart NS	Lung		
Control group water 10 ml/kg/d	14,M	37.4±2.9	5.07±0.52	0.45±0.04	0.62±0.05	0.95±0.30	0.86±0.09
Standard group pectin 0.25g/kg/d	15,M	38.4±2.9	4.72±0.31	0.45±0.81	0.66±0.10	0.91±0.15	0.82±0.10
Test group DF _{II} DF _{II} 0.5g/kg/d	15,M	36.6±1.8	4.39±0.21	0.46±0.05	0.67±0.10	0.93±0.19	0.83±0.06
Test group DF _{II} DF _{II} 0.25g/kg/d	14,M	38.2±3.1	4.89±0.76	0.40±0.13	0.73±0.09	0.94±0.18	0.78±0.10
Test group DF _I DF _I 0.25g/kg/d	13,M	38.8±2.8	5.15±0.45	0.44±0.06	0.73±0.09	0.88±0.10	0.81±0.09

Table 2. Relative internal organ weight in test female mice after 100 days treatment with DF_I and DF_{II}. NS = no significant difference between groups ($p > 0.05$), a, b = significant difference between groups ($p \leq 0.05$), F = female, n = number of mice.

Test animals (mice)	n, Sex	Weight (g) Mean ± SD	Internal organ wt. (g)/100 g. body wt. Mean ± SD				
			Kidney			Right NS	Left NS
			Liver NS	Heart NS	Lung NS		
Control group water 10 ml/kg/d	8,F	31.4±2.7	a	5.99±0.70	0.57±0.12	0.78±0.12	ab 0.71±0.08
Standard group pectin 0.25g/kg/d	8,F	29.7±2.8	abc	5.73±0.49	0.52±0.07	0.88±0.11	a 0.72±0.05
Test group DF _{II} DF _{II} 0.5g/kg/d	8,F	29.7±5.6	cd	5.29±0.58	0.62±0.02	0.83±0.14	a 0.73±0.05
Test group DF _{II} DF _{II} 0.25g/kg/d	8,F	31.1±2.6	bcd	5.31±0.41	0.53±0.09	0.85±0.13	a 0.71±0.07
Test group DF _I DF _I 0.25g/kg/d	8,F	33.3±1.6	d	5.09±0.48	0.52±0.12	0.83±0.12	b 0.65±0.03

ended. In this experiment, normal untreated male mice was housed with test females on day 28-42 (14 days). The average relative weight gain

during pregnancy period is not shown. Most of test female mice in treated and control groups became pregnant and gave birth by day 50-56.

The high relative weight gain profile on day 50-70 as shown in Figure 2 was observed during the lactation period. However, the average relative weight gain appeared to be the lowest in the DF_{II} (0.5 g/kg/d) treated female group (Figure 2) on days 80-100 towards the end of the experiment and the lowest final body weight was also appeared in the DF_{II} (0.5 g/kg) treated group as well as standard group (Table 2). These results suggest that long term feeding of DF_{II} at an oral dose of 0.5 g/kg/d has potential to reduce weight gain in male and female mice.

The relative weights of liver, heart, lung and kidneys was determined at the end of the experiment in male and female mice. The results are shown in Table 1 and 2, respectively. Final body weight of the animals is also demonstrated. In the male groups (Table 1) the relative weights of internal organs were not significantly different ($p>0.05$) from those of control groups, except for the lung and the left kidney; but these relative weights were not different ($p>0.05$) from that of the standard group. Among females (Table 2) the relative weight of liver in treated groups was lower ($p\leq 0.05$) than that of the control group; but not significantly different ($p>0.05$) from that of

the standard group. Enlargement of liver was not observed in treated groups.

Effect of polysaccharide gel on pregnancy and growth of offspring

The polysaccharide gel from fruit-hulls of durian did not affect pregnancy and offspring in treated female mice. The results are shown in Table 3 and Figure 3. Every female mouse in treated groups became pregnant normally after being housed with an untreated male mouse (within 14 days). Most females gave birth 22-28 days later. Table 3 shows that the number of offspring which was 10-11, the ratio of male : female of offspring was 1 : 1. The average weight at birth (day 1) of offsprings in treated groups was not different from that of control group. The average weight of offspring during 1-4 weeks is also demonstrated in Table 3. The relative weight gain profile of offspring is illustrated in Figure 3. The average relative weight gain of offspring was determined every week during the suckling period (about 3 weeks), and also the following week. Figure 3 shows that the relative weight gain of offspring from treated mother was not significantly different ($p>0.05$) from their

Table 3. Body weight, sex and number of offspring from test female mice treated with DF_I and DF_{II}.
Mean values of treated groups are not significantly different from control ($p> 0.05$). F = female, M = male , n = number of test female mice.

Test animals (Mice)	n, Sex	No. of offspring Mean ± SD	F/M	Offspring average body weight (g),					Mean ± SD	
				Day 1	Day 7	Day 14	Day 21	Day 28		
Control group water 10 ml/kg/d	8,F	10±1	4±1 6±1	1.76±0.20	4.47±0.59	6.88±1.13	10.71±1.22	19.30±2.94		
Standard group pectin 0.25g/kg/d	8,F	11±1	4±1 7±1	1.66±0.07	4.07±0.49	6.31±0.71	9.07±1.05	17.08±1.78		
Test group DF _{II} DF _{II} 0.5g/kg/d	8,F	10±1	5±1 5±1	1.69±0.17	4.61±0.31	7.00±0.72	10.95±1.18	19.81±1.71		
Test group DF _{II} DF _{II} 0.25g/kg/d	8,F	11±1	5±1 6±1	1.63±0.11	4.06±0.93	6.57±1.13	9.44±2.39	18.16±2.11		
Test group DF _I DF _I 0.25g/kg/d	8,F	10±1	5±2 5±1	1.54±0.22	4.32±1.01	6.71±1.59	9.82±3.51	16.99±3.27		

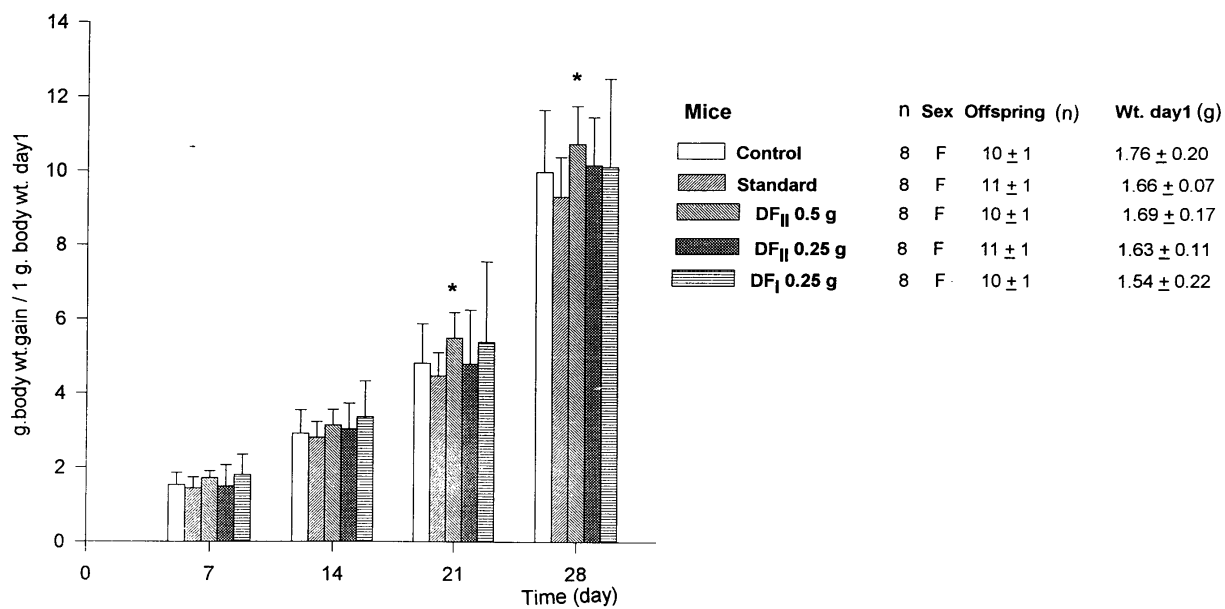


Figure 3. Relative weight gain of offspring during 4 weeks after birth from mother treated with DF_I and DF_{II} for 4 weeks before mating and during lactation. Each bar represents mean \pm SD * = significantly different from control ($p \leq 0.05$). Control = offspring from mother receiving water 10 ml/kg/d. Standard = offspring from mother receiving pectin 0.25 g/kg/d. F = treated female mice. n = number of mice.

control and standard groups, except that of offspring at day 21 and day 28 in group of DF_{II} (0.5 g/kg/d) treated mother, which showed higher relative weight gain profile ($p < 0.05$) than that of offspring from control group. The hematological data of offspring of treated and control groups (Table 4) showed normal hematological parameters. These results suggest that polysaccharide gel did not affect the pregnancy and growth of offspring in mice. The growth rate of offspring from treated mothers was not low in comparison to controls.

Biochemical and clinical analyses

Hematological data in Tables 5 and 6 demonstrate normal hematological parameters in treated male and female mice. The percentages of hematocrit, hemoglobin, lymphocytes, red blood cells and white blood cells count between treated and control male and female mice were not significantly different ($p > 0.05$). However, white blood cells count in DF_I and DF_{II} treated (at a

dose 0.25 g/kg/d) male mice was significantly higher ($p < 0.05$) than their controls but was not significantly different ($p > 0.05$) from that of their standard group. The results indicate that polysaccharide gel DF_I and DF_{II} at an oral dose of 0.25 g/kg/d and DF_{II} at a high dose of 0.5 g/kg/d did not induce hematological changes in treated male and female mice. However, WBC count in treated male (Table 5) was higher than its control ($p \leq 0.05$) but not significantly different ($p > 0.05$) from standard group.

Serum concentrations of glucose, cholesterol, creatinine and blood urea nitrogen (BUN) in male and female mice are shown in Figures 4 and 6, respectively. The results of serum glucose, cholesterol, creatinine and BUN in treated male and female mice were not significantly different ($p > 0.05$) from those of their standard and control groups. Data were compared among the test, standard and control groups by test for homogeneity of variance (Levene test) using ANOVA followed by Duncan's multiple range test, with

Table 4. Hematological parameters in offspring from test female mice treated with DF_I and DF_{II}. Data are expressed as mean \pm SD, M = male, F = female, n = number of test female mice

Test animals (Mice)	n, Sex	No. of offspring Mean \pm SD F/M	Hct (%)			Hb (%)			RBC (c \times 10 ⁶ /mm ³)			WBC (c \times 10 ³ /mm ³)		
			F	M	F	M	F	M	F	M	F	F	M	M
Control group water 10 ml/kg/d	8,F	10 \pm 1	4 \pm 1 <u>6\pm1</u>	45.9 \pm 2.2	43.6 \pm 2.6	13.5 \pm 1.0	12.8 \pm 1.0	7.9 \pm 0.5	7.6 \pm 0.6	2.6 \pm 1.1	2.3 \pm 0.8			
Standard group pectin 0.25g/kg/d	8,F	11 \pm 1	4 \pm 1 <u>7\pm1</u>	43.7 \pm 2.1	44.1 \pm 1.9	13.1 \pm 1.0	13.0 \pm 1.2	7.6 \pm 0.6	7.6 \pm 0.7	2.2 \pm 0.9	2.2 \pm 1.3			
Test group DF _{II} DF _{II} 0.5g/kg/d	8,F	10 \pm 1	5 \pm 1 <u>5\pm1</u>	45.4 \pm 2.8	44.3 \pm 1.5	13.1 \pm 1.2	12.7 \pm 1.3	7.8 \pm 0.7	7.4 \pm 0.9	3.8 \pm 1.6	3.5 \pm 1.1			
Test group DF _{II} DF _{II} 0.25g/kg/d	8,F	11 \pm 1	5 \pm 1 <u>6\pm1</u>	44.8 \pm 2.5	44.3 \pm 2.6	13.2 \pm 0.9	12.9 \pm 1.1	7.9 \pm 0.6	7.6 \pm 0.6	2.9 \pm 0.9	3.4 \pm 1.5			
Test group DF _I DF _I 0.25g/kg/d	8,F	10 \pm 1	5 \pm 2 <u>5\pm1</u>	44.3 \pm 3.5	44.4 \pm 1.8	13.2 \pm 1.4	13.1 \pm 1.1	7.8 \pm 0.8	7.7 \pm 0.7	2.5 \pm 1.1	2.4 \pm 1.0			

Table 5. Hematological parameters in male mice after 60 days treatment with DF_I and DF_{II}. Data are expressed as mean \pm SD, NS = no significant difference between groups (p > 0.05), a, b = significant difference between groups (p \leq 0.05), M = male, n = number of mice.

Test animals (mice)	n, Sex	Weight (g) Mean \pm SD	Hct % NS	Hb % NS	RBC C \times 10 ⁶ /mm ³ NS	WBC C \times 10 ³ /mm ³ NS	PMN % NS	Band % NS	Lymph % NS	Mon % NS	Eos % NS	Baso % NS
Control group water 10 ml/kg/d	14,M	37.4 \pm 2.9	43.6 \pm 5.3	14.2 \pm 1.9	9.1 \pm 1.1	1.9 \pm 1.2	20 \pm 12	-	-	79 \pm 11	0-1	0-1
Standard group pectin 0.25 g/kg/d	15,M	38.4 \pm 2.9	41.8 \pm 1.5	14.7 \pm 0.6	9.1 \pm 0.2	2.9 \pm 1.8	28 \pm 10	-	-	70 \pm 10	0-1	0-2
Test group DF _{II} DF _{II} 0.5 g/kg/d	15,M	36.6 \pm 1.8	44.2 \pm 1.3	15.7 \pm 1.5	10.1 \pm 1.2	3.5 \pm 1.3	36 \pm 15	-	-	62 \pm 16	0-2	-
Test group DF _{II} DF _{II} 0.25 g/kg/d	14,M	38.2 \pm 3.1	45.4 \pm 4.2	15.2 \pm 1.4	9.4 \pm 0.7	4.7 \pm 1.1	25 \pm 4	-	-	74 \pm 4	0-1	0-1
Test group DF _I DF _I 0.25 g/kg/d	13,M	38.8 \pm 2.8	44.0 \pm 4.1	14.6 \pm 1.2	9.5 \pm 0.8	4.3 \pm 1.8	23 \pm 5	-	-	76 \pm 6	0-1	0-2

Table 6. Hematological parameters in female mice after 100 days treatment with DF_I and DF_{II}. Data are expressed as mean \pm SD, NS = no significant difference between groups ($p > 0.05$), a, b = significant difference between groups ($p \leq 0.05$), F = female, n = number of mice.

Test animals (mice)	n, Sex	Weight (g)	Hct %	Hb %	RBC C $\times 10^6/\text{mm}^3$	WBC NS, C $\times 10^6/\text{mm}^3$	PMN %	Band %	Lymph %	Mon %	Eos %	Baso %
Control group water 10 ml/kg/d	8,F	31.4 \pm 2.7	45.2 \pm 2.4	13.9 \pm 1.6	8.8 \pm 0.9	2.0 \pm 0.9	12.5 \pm 3.9	-	86.2 \pm 4.6	0-1	0-2	-
Standard group pectin 0.25 g/kg/d	8,F	29.7 \pm 2.8	42.8 \pm 4.5	13.5 \pm 2.1	8.4 \pm 1.4	1.5 \pm 0.9	13.0 \pm 6.0	-	86.2 \pm 5.9	0-1	0-2	-
Test group DF _{II} DF _{II} 0.5 g/kg/d	8,F	29.7 \pm 5.6	43.2 \pm 5.2	11.3 \pm 2.9	7.2 \pm 1.7	1.3 \pm 0.8	11.2 \pm 3.9	-	88.2 \pm 4.0	-	0-2	-
Test group DF _{II} DF _{II} 0.25 g/kg/d	8,F	31.1 \pm 2.6	43.8 \pm 4.8	14.2 \pm 4.2	7.8 \pm 0.9	1.8 \pm 1.3	8.7 \pm 4.9	-	90.6 \pm 4.7	-	0-1	-
Test group DF _I DF _I 0.25 g/kg/d	8,F	33.3 \pm 1.6	46.0 \pm 2.0	14.3 \pm 0.7	8.8 \pm 0.5	3.3 \pm 1.9	15.8 \pm 6.1	-	81.0 \pm 5.7	0-3	0-4	-

$p \leq 0.05$ as the level of significance. Interestingly, average serum levels of cholesterol in DF_{II} at 0.25 mg/kg/d treated male as well as female mice showed the lowest value in comparison to those of their control and standard groups (Figures 4 and 6). The results of normal values of BUN and creatinine obtained seem to indicate that polysaccharide gel did not produce kidney damage in treated animals (Wildman, 1984).

The pathological change and toxic effects are characterized by an increase in liver and kidney weights, as well as the high levels of biochemical substances especially some specific enzymes in serum, such as alkaline phosphatase (ALP), aspartate aminotransferase (AST;SGOT) and alanine aminotransferase (ALT;SGPT) (Fauci *et al.*, 1998; Wildman, 1984). In the present study, the serum levels of these enzymes in treated male and female mice were not markedly increased in comparison to their controls as shown in Figures 5 and 7, respectively. It is illustrated in Figure 5 that serum levels of ALP in treated male groups were lower than in the control group. The serum levels of AST (SGOT) < 100 U/L and ALT (SGPT) < 20 U/L were not significantly different ($p > 0.05$) from those of their control group. The result of no increment of serum ALP in this study suggests that pathological changes of liver function had not occurred (Fauci *et al.*, 1998). The results of normal levels of AST (SGOT) and ALT (SGPT) in treated male mice also confirmed that pathological changes of liver, heart and muscle had not occurred (Fauci *et al.*, 1998). The serum levels of AST (SGOT) < 100 U/L and ALT (SGPT) < 35 U/L in treated female mice (Figure 7) were not markedly high and not significantly different ($p > 0.05$) from their control. The results clearly indicate that pathological changes of liver, heart and muscle function had not occurred (Fauci *et al.*, 1998). The serum levels of ALP in DF_{II} treated female group was not different ($p > 0.05$) from those of control group and the serum ALP in DF_I treated group was not different ($p > 0.05$) from that of standard group. ALP levels in treated and control mice (< 90 U/L) were not markedly

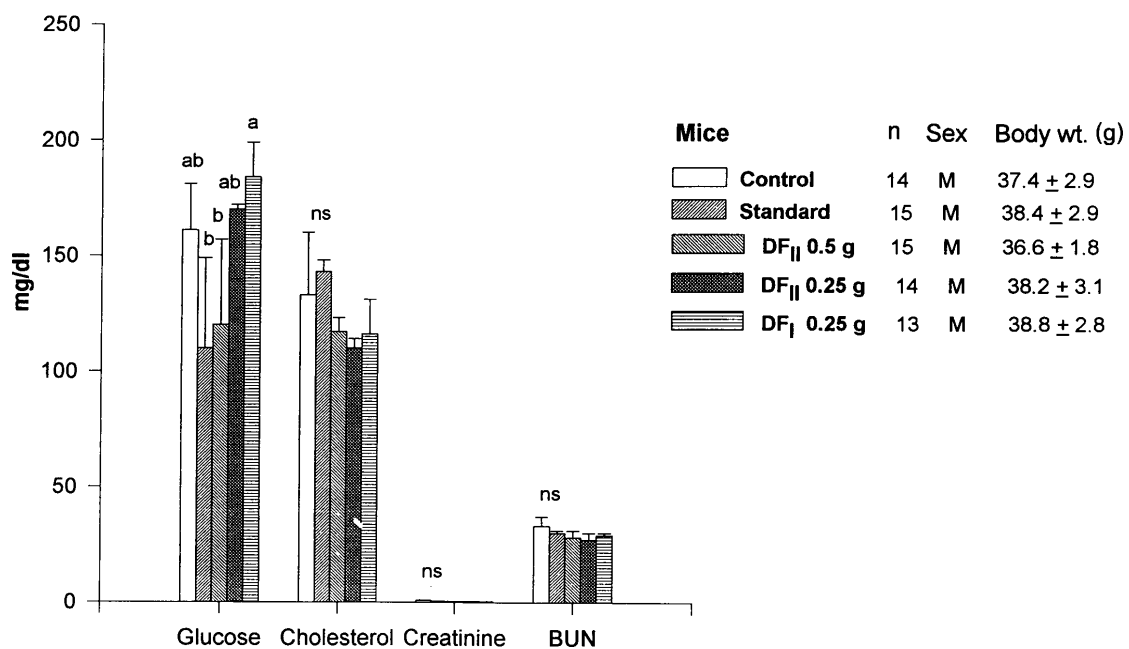


Figure 4. Biochemical analysis of serum in male mice after 60 days treatment with DF_I and DF_{II} . Each bar represents mean \pm SD, ns = no significant difference between groups ($p > 0.05$), a, b = significant difference between groups ($p \leq 0.05$). Control male mice were fed with water 10 ml/kg/d. Standard male mice were fed with pectin 0.25 g/kg/d. M = male, n = number of mice.

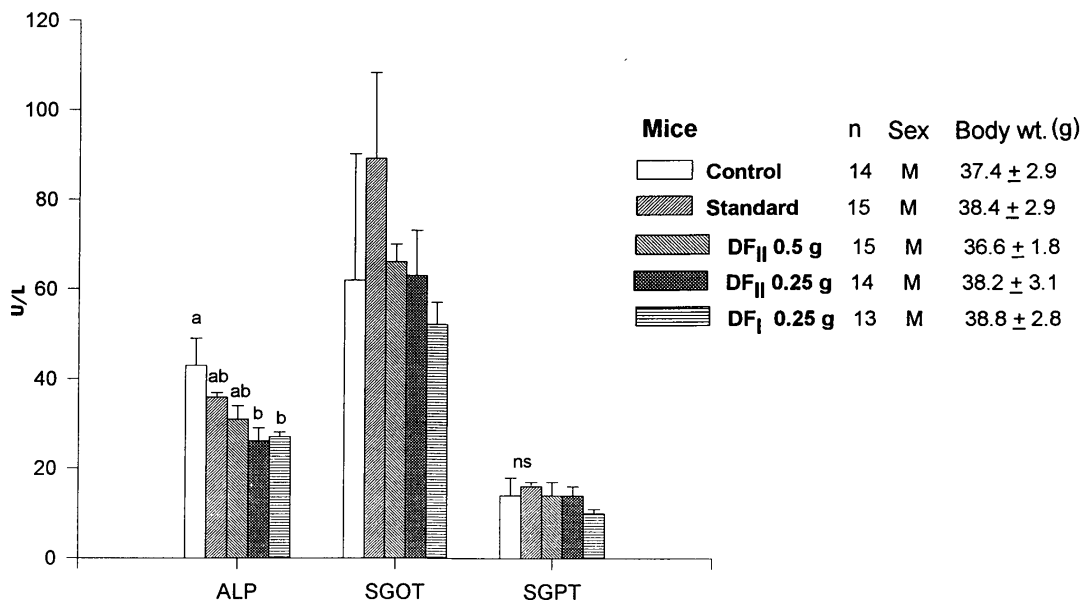


Figure 5. Levels of enzymes in serum in male mice after 60 days treatment with DF_I and DF_{II} . Each bar represents mean \pm SD, ns = no significant difference between groups ($p > 0.05$), a, b = significant difference between groups ($p \leq 0.05$). Control male mice were fed with water 10 ml/kg/d. Standard male mice were fed with pectin 0.25 g/kg/d. M = male, n = number of mice.

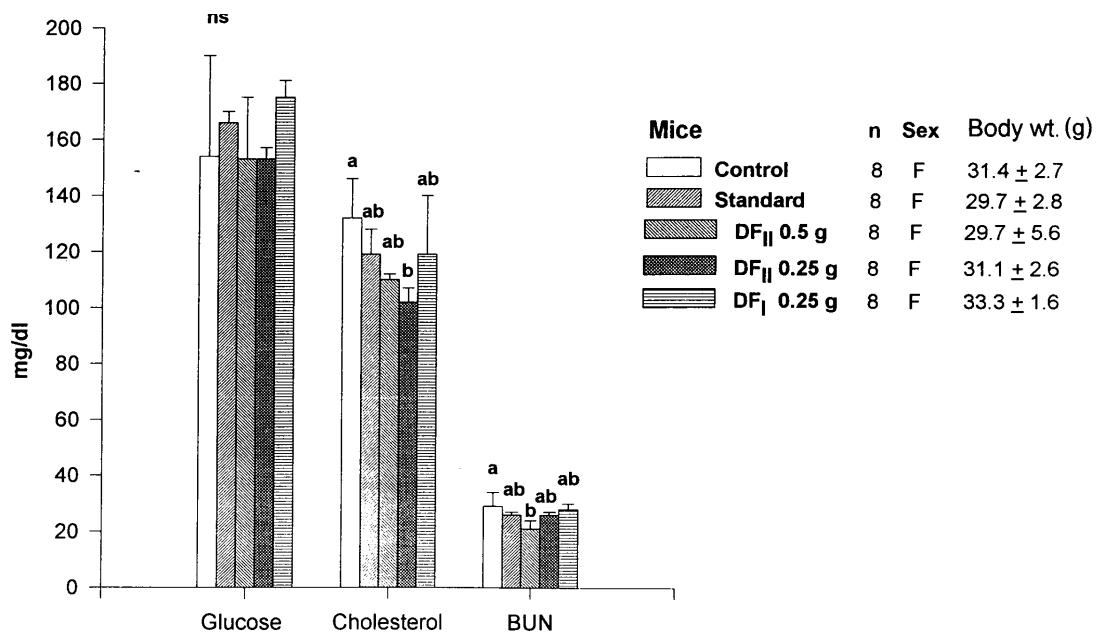


Figure 6. Biochemical analysis of serum in female mice after 100 days treatment with DF_I and DF_{II}. Each bar represents mean \pm SD, ns = no significant difference between groups ($p > 0.05$), a, b = significant difference between groups ($p \leq 0.05$). Control female mice were fed with water 10 ml/kg/d. Standard female mice were fed pectin 0.25 g/kg/d. F = female, n = number of mice.

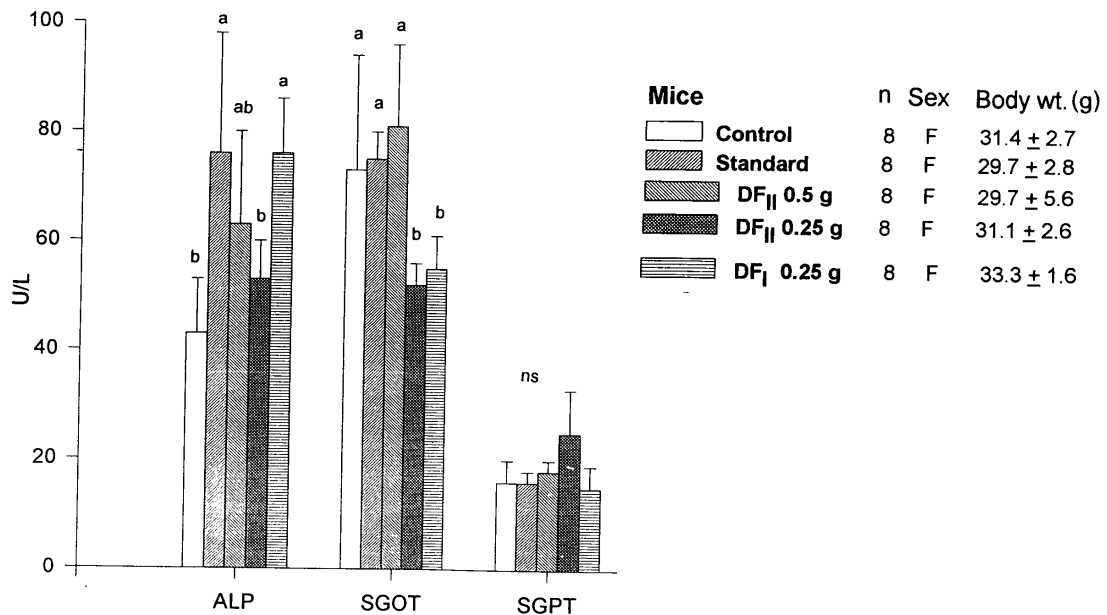


Figure 7. Levels of enzymes in serum in female mice after 100 days treatment with DF_I and DF_{II}. Each bar represents mean \pm SD, ns = no significant difference between groups ($p > 0.05$), a, b = significant difference between groups ($p \leq 0.05$). Control female mice were fed with water 10 ml/kg/d. Standard female mice were fed pectin 0.25 g/kg/d. F = female, n = number of mice.

higher than normal ALP level in female mice. The results of the present study suggest that polysaccharide gel, DF_I and DF_{II} at a dose 0.25g/kg/d and DF_{II} at a high dose of 0.5 g/kg/d, could be consumed safely for long periods of 60 and 100 days in male and female mice, respectively. Interestingly, at a high oral dose (0.5 g/kg/d), DF_{II} seems to induce low level of serum cholesterol and low body weight gain in male and female mice after long term treatment. These properties have also been observed with some other dietary fiber (Chandalia, et al., 2000; Vahouny, et al., 1988).

Acknowledgment

This work was supported in part by Rachadapiseksompoach Research Funds, Chulalongkorn University.

References

- Chandalia, M., Garg, A., Lutjohann, D., Bergmann, K. V., Grundy, S.M. and Brinkley, L.J. 2000. Beneficial effects of high dietary fiber intake in patients with type 2 diabetes mellitus. N. Engl. J. Med. 342(19) : 1392-1398.
- Dacie, J.V. and Lewis, S.M. 1975. Practical Hematology 4th ed., Churchill, Livingstone, London. pp 1-1180.
- Fauci, A.S., Braunwald, E., Isselbacher, K.J., Wilson, J.D., Martin, J.B., Kasper, D.L., Hauser, S.L., Longo, D.L. 1998. Harrison's Principles of Internal Medicine 14th ed., McGraw-Hill Co. pp 1660-1704.
- Pongsamart, S., Sukrong, S. and Tawatsin, A. 2001. The determination of toxic effects at a high oral dose of polysaccharide gel extracts from fruit-hulls of durian (*Durio zibethinus* L.) in mice and rats. Songklanakarin J. Sci. Technol. 23(1) : 55-62.
- Pongsamart, S. and Panmaung, T. 1998. Isolation of polysaccharides from fruit- hulls of durian (*Durio zibethinus* Linn.). Songklanakarin J. Sci. Technol. 20(3) : 323-332.
- Pongsamart, S., Dhumma-upakorn, R. and Panmaung, T. 1989 a. The studies of carbohydrate from durian rind for pharmaceutical and food preparations. Research Report, Rachadapiseksompoach Research Funds, Chulalongkorn University.
- Pongsamart, S. Jesadanont, S.N. and Markman, N. 1989 b. The studies on safety and toxicity of the consumption of pectin-like substance isolated from durian rinds. Research Report, Faculty of Pharmaceutical Sciences, Chulalongkorn University.
- Pongsamart, S. 1989. The studies of carbohydrate extracts from durian rinds to use as suspending agent. Research Report, Department of Biochemistry, Faculty of Pharmaceutical Sciences, Chulalongkorn University.
- Spiller, G.A., Shipley, E.A., Chernoff, M.C. and Cooper, W.C. 1979. Bulk laxative efficacy of a psyllium seed hydrocolloid and of a mixture of cellulose and pectin. J. Clin. Pharmacol 19 : 313
- Umprayn, K., Kaitmonkong, R., and Pongsamart, S. 1990 a. Evaluation of tablet disintegrating properties of durian rind extracts. NUS-JSPS Seminar, CHBA, JAPAN. Oct. 23-26, 1990.
- Umprayn, K., Chanpaparp, K. and Pongsamart, S. 1990 b. The studies of durian rind extracts as an aqueous binder : Evaluation of granule properties. Th. J. Pharm. Sci. 15(2) : 95-115.
- Umprayn, K., Chanpaparp, K. and Pongsamarts, S. 1990 c. The studies of durian rind extracts as an aqueous binder I : Evaluation of Tablets Properties. Th. J. Pharm. Sci. 15(3) : 173-186.
- Vahouny, G. V., Satchithanandam, S., Chen, I., Tepper, S.A., Kritchevsky, D., Lightfoot, F.G. and Cassidy, M.M. 1988. Dietary fiber and intestinal adaptation : effects on lipid absorption and lymphatic transport in the rat. Am. J. Clin. Nutr. 47 : 201-6
- Wildmann, F.K. 1984. Clinical interpretation of Laboratory Tests. 9th ed., F.A. Davis Co., P.G. Asian Economy Edition, P. G. Publishing Pte. Ltd. Singapore. pp. 246-250.

ORIGINAL ARTICLE

Comparison of breaker height formulas using large-scale wave tanks

Winyu Rattanapitikon¹ and Thirapat Vivattanasirisak²

Abstract

Rattanapitikon, W., and Vivattanasirisak, T.

Comparison of breaker height formulas using large-scale wave tanks

Songklanakarin J. Sci. Technol., 2002, 24(4) : 663-674

The breaker height is an essential requirement for design of coastal structures, as well as for the prediction of wave height transformation and beach deformation. Many formulas have been proposed to compute the breaker height. However, most of the existing breaker height formulas were developed based primarily on measured data from small-scale experiments. It is doubtful that those formulas are applicable in large-scale experimental conditions, which are more representatives of natural conditions. In this study, the predictive capability of 29 existing breaker height formulas is examined by comparison against measured data from the large-scale experiments of CRIEPI (1983) and SUPERTANK (1994). The comparison shows that the errors of the selected formulas vary from 8.7% to 69.4%. Overall, the formulas that give very good predictions are those by Ostendorf and Madsen (1979), Larson and Kraus (1989), Gourlay (1992), and Rattanapitikon and Shibayama (2000).

Key words : breaking index, breaking wave height, breaker height

¹D.Eng. (Coastal Eng.), Assoc. Prof., ²Master Student, Civil Engineering Program, Sirindhorn International Institute of Technology, Thammasat University, Pathum Thani 12121 Thailand.

Corresponding e-mail : winyu@siit.tu.ac.th

Received, 18 March 2002 Accepted, 13 June 2002

บทคัดย่อ

วิญญาณ รัตนปิติกร์ และ ชีรพัฒน์ วิรัตันคริศก็ด
การเปรียบเทียบสูตรคำนวณความสูงที่คลื่นแตกโดยใช้ข้อมูลจากการวัดคลื่นขนาดใหญ่
ว. สงขลานครินทร์ วทท. 2545 24(4) : 663-674

ความสูงที่คลื่นแตกตัวเป็นข้อมูลที่จำเป็นต่อการออกแบบสิ่งก่อสร้างในทะเล และใช้ในการคำนวณการเปลี่ยนแปลงของคลื่นและชายหาด ในปัจจุบัน มีสูตรสำหรับคำนวณความสูงที่คลื่นแตกโดยอุปกรณ์มาหลายอย่าง แต่สูตรเหล่านี้ส่วนใหญ่ได้ถูกพัฒนามาจากผลการทดลองในการทดลองขนาดเล็ก จึงเป็นที่น่าสงสัยว่าสูตรเหล่านี้จะสามารถใช้ได้หรือไม่ สำหรับเงื่อนไขการทดลองขนาดใหญ่ซึ่งมีสภาพใกล้เคียงกับสภาพจริงตามธรรมชาติมากกว่าการทดลองขนาดเล็ก ในกรณีของคลื่นน้ำ ได้ทำการเปรียบเทียบสูตรสำหรับคำนวณความสูงที่คลื่นแตกที่มีอยู่แล้ว 29 สูตร ข้อมูลผลการทดลองที่ใช้ในการเปรียบเทียบได้จากข้อมูลคลื่นจากการวัดคลื่นขนาดใหญ่ของ CRIEPI (1983) และ SUPERTANK (1994) จากการเปรียบเทียบพบว่า ค่าความผิดพลาดของสูตรที่ใช้มีค่าตั้งแต่ 8.7% ถึง 69.4% และสูตรที่ทำนายได้มากสำหรับกรณีทั่วไป คือ สูตรของ Ostendorf and Madsen (1979), Larson and Kraus (1989), Gourlay (1992) และ Rattanapitikon and Shibayama (2000)

สาขาวิชาศึกษาภูมิศาสตร์ สถาบันเทคโนโลยีชีนาหราติสิรินธร มหาวิทยาลัยธรรมศาสตร์ ศูนย์รังสิต อำเภอคลองหลวง จังหวัดปทุมธานี 12121

The initiation of breaking wave height (or breaker height) has been a subject of study for a century due to its importance in design of coastal structures, as well as for the prediction of wave height transformation and beach deformation. During the past century, a number of studies and experiments have been carried out to develop the breaker height formulas. Owing to the complexity of wave breaking mechanism, any type of breaker height formula has to be based on empirical or semi-empirical formula calibrated with the experimental results. Therefore the validity of breaker height formulas may be restricted to the experimental conditions used in the calibration or verification. In order to confirm the validity of the formula, a wide range of experimental conditions should be used in the calibration or verification of the formula. As it is very difficult to measure the breaker height of each individual wave in the field, small-scale and large-scale experiments are the sources of quantitative information for verifying the breaker height formula.

Since most of the existing formulas were developed based on only the measured data from

small-scale experiments, it is doubtful whether those formulas are applicable in the large-scale experimental conditions, which are more representative of natural conditions. In spite of the great number of studies in the initiation of breaking, few have evaluated the validity of the existing formulas. Moreover, the few available comparisons are not based on the large-scale experiments. The aim of this study is to compare and find out proper breaker height formulas that predict well for large-scale experimental conditions.

This paper is divided into three main parts. The first part presents the existing breaker height formulas. The second part is a brief review of collected experiments used to examine the existing formulas. The third part is the examination of all formulas for identifying the proper ones.

Existing breaker height formulas

Many different formulas for computing breaker heights have been proposed during the past century. Among the existing formulas, the breaker height formulas of Miche (1944) and Goda (1970) are widely mentioned. The majority of the existing formulas represent a relationship

between the breaker height (H_b) and the variables at the breaking or deepwater conditions, i.e., still water depth at breaking (h_b), wavelength at breaking (L_b), local bottom slope (m), deepwater wavelength (L_o), and deepwater wave height (H_o). From preceding studies, the following formulas have been suggested to compute the breaker height.

a) McCowan (1894), hereafter referred to as MC94, derived a limit of breaking wave in water of constant depth based on solitary wave theory and proposed that the breaking will occur when

$$H_b = 0.78h_b \quad (1)$$

b) Miche (1944), hereafter referred to as MI44, developed a semi-empirical breaking criterion for periodic waves in finite water depth and proposed the limiting wave steepness as a function of water depth to wavelength ratio.

$$H_b = 0.142L_b \tanh\left(\frac{2\pi h_b}{L_b}\right) \quad (2)$$

Danel (1952) suggested changing the coefficient from 0.142 to be 0.12 when applying to the horizontal bottom.

c) Munk (1949), hereafter referred to as MU49, derived a breaker height formula based on the solitary wave theory. The formula was proposed to be

$$H_b = 0.3H_o \left(\frac{H_o}{L_o}\right)^{-1/3} \quad (3)$$

d) Le Mehaute and Koh (1967), hereafter referred to as MK67, proposed an empirical formula based on three sources of the experimental data (Suquet, 1950; Iversen, 1952; and Hamada, 1963). The experiments cover a range of $1/50 < m < 1/5$ and $0.002 < H_o / L_o < 0.093$.

$$H_b = 0.76H_o \left(\frac{H_o}{L_o}\right)^{-1/4} m^{1/7} \quad (4)$$

e) Galvin (1969), hereafter referred to as GA69, performed laboratory experiments with regular wave on plane beach and combined his data with the data of Iversen (1952) and McCowan (1894). The breaking criterion was developed by fitting empirical relationship between h_b/H_b and m .

$$H_b = h_b \frac{1}{1.40 - 6.85m} \text{ for } m \leq 0.07 \quad (5.1)$$

$$H_b = \frac{h_b}{0.92} \text{ for } m > 0.07 \quad (5.2)$$

f) Collins and Weir (1969), hereafter referred to as CW69, derived a breaking height formula from linear wave theory and empirically included the slope effect into the formula. The experimental data from three sources (Suquet, 1950; Iversen, 1952; and Hamada, 1963) were used to fit the formula.

$$H_b = h_b(0.72 + 5.6m) \quad (6)$$

g) Goda (1970), hereafter referred to as GO70, analyzed several sets of laboratory data on breaking waves on slopes obtained by several researchers (Iversen, 1952; Mitsuyasu, 1962; and Goda, 1964) and proposed a diagram presented criterion for predicting breaker height. Then Goda (1974) gave an approximate expression for the diagram as

$$H_b = 0.17L_o \left\{ 1 - \exp\left[-1.5 \frac{\pi h_b}{L_o} (1 + 15m^{4/3}) \right] \right\} \quad (7)$$

h) Weggel (1972), hereafter referred to as WE72, proposed an empirical formula for computing breaker height from five sources of the laboratory data (Iversen, 1952; Galvin, 1969; Jen and Lin, 1970; Weggel and Maxwell, 1970; and Reid and Bretschneider, 1953). The experiments cover a range of $1/50 < m < 1/5$.

$$H_b = \frac{h_b g T^2 1.56 / [1 + \exp(-19.5m)]}{g T^2 + h_b 43.75 [1 - \exp(-19m)]} \quad (8)$$

i) Komar and Gaughan (1972), hereafter referred to as KG72, used linear wave theory to derive a breaker height formula from energy flux conservation and assumed a constant H_b/h_b . After calibrating the formula to the laboratory data of Iversen (1952), Galvin (1969), and unpublished data of Komar and Simons (1968), and the field data of Munk (1949), the formula was proposed to be

$$H_b = 0.56 H_o \left(\frac{H_o}{L_o} \right)^{-1/5} \quad (9)$$

j) Sunamura and Horikawa (1974), hereafter referred to as SH74, used the same data set as Goda (1970) to plot the relationship between H_b / H_o , H_o / L_o and m . After fitting the curve the following formula was proposed.

$$H_b = H_o m^{0.2} \left(\frac{H_o}{L_o} \right)^{-0.25} \quad (10)$$

k) Madsen (1976), hereafter referred to as MA76, combined the formulas of Galvin (1969) and Collins (1970) to be

$$H_b = 0.72 h_b (1 + 6.4m) \text{ for } m < 0.10 \quad (11)$$

Black and Rosenberg (1992) found that the formula of Madsen (1976) gives good predictions for individual breaker height in laboratory and field experiments.

l) Battjes and Janssen (1978), hereafter referred to as BJ78, modified Miche (1944)'s criterion by including an adjustable coefficient γ /0.88 into the formula. The formula calibration indicated that the coefficient $\gamma=0.8$ gave the best prediction.

$$H_b = 0.142 L_b \tanh \left(\frac{0.8}{0.88} \frac{2\pi h_b}{L_b} \right) \quad (12)$$

m) Ostendorf and Madsen (1979), hereafter referred to as OM79, modified the formula of Miche (1944) by including the beach slope in to the formula. After calibrating to the laboratory

data, the Miche (1944)'s formula was modified to be

$$H_b = 0.14 L_b \tanh \left[(0.8 + 5m) \frac{2\pi h_b}{L_b} \right] \text{ for } m \leq 0.1 \quad (13.1)$$

$$H_b = 0.14 L_b \tanh \left[(0.8 + 5(0.1)) \frac{2\pi h_b}{L_b} \right] \text{ for } m > 0.1 \quad (13.2)$$

n) Sunamura (1980), hereafter referred to as SU80, conducted an empirical formula based on an analysis of various laboratory data (Iversen, 1952; Bowen *et al.*, 1968; Goda, 1970; and Sunamura, 1980) and obtained the following formula.

$$H_b = 1.1 h_b \left(\frac{m}{\sqrt{H_o / L_o}} \right)^{1/6} \quad (14)$$

o) Singamsetti and Wind (1980), hereafter referred to as SW80, conducted a laboratory experiment. The experiments cover a range of $1/40 < m < 1/5$ and $0.02 < H_o / L_o < 0.065$. They proposed two empirical formulas based on their own data. The first formula is

$$H_b = 0.575 H_o m^{0.031} \left(\frac{H_o}{L_o} \right)^{-0.254} \quad (15)$$

Equation (15) is referred to as SW80a hereafter. The second formula is

$$H_b = 0.937 h_b m^{0.155} \left(\frac{H_o}{L_o} \right)^{-0.13} \quad (16)$$

Equation (16) is referred to as SW80b hereafter.

p) Ogawa and Shuto (1984), hereafter referred to as OS84, obtained the following formula from the same data sets as Goda (1970). The formula is limited to use for the range of $1/100 < m < 1/10$ and $0.003 < H_o / L_o < 0.065$.

$$H_b = 0.68 H_o m^{0.09} \left(\frac{H_o}{L_o} \right)^{-0.25} \quad (17)$$

q) Battjes and Stive (1985), hereafter referred to as BS85, modified the formula of Battjes and Janssen (1978) by relating the coefficient γ with H_o / L_o as

$$H_b = 0.142L_b \tanh \left\{ \left[0.5 + 0.4 \tanh \left(33 \frac{H_o}{L_o} \right) \right] \frac{2\pi h_b}{0.88L_b} \right\} \quad (18)$$

r) Seyama and Kimura (1988), hereafter referred to as SK88, measured wave height deformation of individual wave of the irregular wave experiments and investigated the wave height to water depth ratio at wave breaking. The formula of Goda (1970) was modified to compute the individual wave breaking in irregular wave trains as

$$H_b = h_b \left\{ 0.16 \frac{L_o}{h_o} \left\{ 1 - \exp \left[-0.8\pi \frac{h_b}{L_o} (1 + 15m^{4/3}) \right] \right\} - 0.96m + 0.2 \right\} \quad (19)$$

They also found that the individual waves of irregular waves tend to break before satisfying the breaking criterion for regular waves. The reduction of the wave height to water depth ratio at the breaking point was found to be about 20%. Therefore the coefficient of (19) when applying to regular wave breaking should be changed to be 1.25 as

$$H_b = 1.25h_b \left\{ 0.16 \frac{L_o}{h_o} \left\{ 1 - \exp \left[-0.8\pi \frac{h_b}{L_o} (1 + 15m^{4/3}) \right] \right\} - 0.96m + 0.2 \right\} \quad (20)$$

s) Larson and Kraus (1989), hereafter referred to as LK89, developed a breaking criterion based on the large wave tank data of Kajima *et al.* (1983). The breaking height index H_b / h_b was related to the surf similarity parameter. $m / \sqrt{H_o / L_o}$. By using regression analysis, the breaker height formula was proposed to be

$$H_b = 1.14h_b \left(\frac{m}{\sqrt{H_o / L_o}} \right)^{0.21} \quad (21)$$

The correlation coefficient of Eq. (21) is 55%. Equation (21) is referred to be LK89a hereafter.

They also related the term H_b / H_o with the deepwater wave steepness (H_o / L_o) . The regression analysis was used to obtain the equation. The regression equation obtained is

$$H_b = 0.53H_o \left(\frac{H_o}{L_o} \right)^{-0.24} \quad (22)$$

The correlation coefficient of Eq. (22) is 80%. Equation (22) is referred to as LK89b hereafter.

t) Hansen (1990), hereafter referred to as HA90, used the laboratory data from Van Dorn (1978) and unpublished data of ISVA to plot the relationship between H_b / h_b and mL_b / h_b and proposed the following empirical formula.

$$H_b = 1.05h_b \left(m \frac{L_b}{h_b} \right)^{0.2} \quad (23)$$

u) Smith and Kraus (1990), hereafter referred to as SK90, proposed 2 empirical formulas based on the analysis of 11 sources of laboratory data performed on plane beach conditions. The experiments cover a range of $1/80 < m < 1/10$ and $0.001 < H_o / L_o < 0.092$. The first formula is

$$H_b = h_b \left\{ \frac{1.12}{1 + \exp(-60m)} - 5.0[1 - \exp(-43m)] \frac{H_o}{L_o} \right\} \quad (24)$$

Equation (24) is referred to as SK90a hereafter. The second formula is

$$H_b = H_o (0.34 + 2.47m) \left(\frac{H_o}{L_o} \right)^{-0.30+0.88m} \quad (25)$$

Equation (25) is referred to as SK90b hereafter.

v) Kamphuis (1991), hereafter referred to as KA91, modified Miche (1944)'s formula by introducing the exponential form of the bottom slope into the formula and applied to compute the significant wave height of the irregular wave breaking. After calibrating to his irregular breaking wave data, the formula becomes

$$H_b = 0.095 \exp(4m) L_b \tanh \left(\frac{2\pi h_b}{L_b} \right) \quad (26)$$

He also found that the regular breaking height formula can be used for irregular wave to compute the significant wave height at the breaking but the coefficient have to be reduced to be about 0.75 of the proposed coefficient. Therefore the coefficient in Eq. (26) should be changed from 0.095 to be 0.127 when applying to the regular breaking waves as

$$H_b = 0.127 \exp(4m) L_b \tanh \left(\frac{2\pi h_b}{L_b} \right) \quad (27)$$

w) Gourlay (1992), hereafter referred to as GL92, proposed an empirical formula based on seven sources of laboratory data (Bowen *et al.*, 1968; Smith, 1974; Visser, 1977; Gourlay, 1978; Van Dorn, 1978; Stive, 1984; and Hansen and Svendsen, 1979). The experiments cover a range of $1/45 < m < 1/10$ and $0.001 < H_o / L_o < 0.066$. The data was used to plot the relationship between H_b / H_o and H_o / L_o , the curve fitting yields

$$H_b = 0.478 H_o \left(\frac{H_o}{L_o} \right)^{-0.28} \quad (28)$$

x) Rattanapitikon and Shibayama (2000), hereafter referred to as RS00, proposed 3 empirical formulas based on the re-analysis of existing breaker height formulas. The published experimental data from 24 sources were used to calibrate the formulas. The experiments cover a range of $0 < m < 0.44$ and $0.001 < H_o / L_o < 0.10$. The first formula is

$$H_b = (-2.06m^2 + 0.67m + 0.46)L_o \left(\frac{H_o}{L_o} \right)^{0.75} \quad (29)$$

Equation (29) is referred to as RS00a hereafter. The second formula is

$$H_b = 0.17 L_o \left\{ 1 - \exp \left[\frac{\pi h_b}{L_o} (16.21m^2 - 7.07m - 1.55) \right] \right\} \quad (30)$$

Equation (30) is referred to as RS00b hereafter. The third formula is

$$H_b =$$

$$0.1L_o \tanh \left[(-81.07m^2 + 35.27m + 7.88) \frac{h_b}{L_o} \right] \quad (31)$$

Equation (31) is referred to as RS00c hereafter.

Experimental data

Two sources of large-scale experiments have been collected to examine the existing breaker height formulas, i.e., experiments of CRIEPI (Kajima *et al.*, 1983) and SUPERTANK (Kraus and Smith, 1994). The collected experiments were performed over the movable bed conditions. The experiments cover a wide range of wave and bottom conditions ($0.003 \leq H_o / L_o \leq 0.112$, and $0 \leq m \leq 0.29$). A total of 112 cases of

breaker height data are obtained from the experiments. Brief summary of each experiment is given below.

The experiment of CRIEPI was performed by Kajima *et al.* (1983) at Central Research Institute of Electric Power Industry (CRIEPI). The experiments were performed under the condition of regular wave and movable bed in a large wave flume (205 m long, 3.4 m wide and 6 m deep). Coarse sand ($D_{s0} = 0.47$ mm) and fine sand ($D_{s0} = 0.27$ mm) were used in the experiments. The wave heights were measured at various sections along the flume, covering both offshore and surf zone. Table 1 shows the CRIEPI experimental conditions that were used in this study. Run number in Table 1 is kept to be the same as the original.

The experiment of SUPERTANK Laboratory Data Collection Project (Kraus and Smith, 1994) was conducted to investigate cross-shore hydrodynamic and sediment transport processes,

Table 1. Summary of collected experimental data used to examine the formulas.

Sources	Run No.	No. of cases	H_o / L_o	m
CRIEPI (Kajima <i>et al.</i> , 1983)	2.1	6	0.028-0.030	0.06-0.21
	2.2	7	0.006-0.007	0.00-0.09
	2.3	6	0.046-0.052	0.00-0.03
	3.1	5	0.007-0.011	0.08-0.23
	3.2	7	0.017-0.022	0.06-0.18
	3.3	8	0.003	0.06-0.16
	3.4	9	0.105-0.111	0.05-0.29
	4.1	5	0.016-0.020	0.02-0.03
	4.2	7	0.031-0.039	0.03-0.17
	4.3	9	0.103-0.112	0.00-0.28
	5.1	5	0.006	0.00-0.02
	5.2	10	0.052-0.058	0.00-0.18
	6.1	6	0.043-0.045	0.15-0.21
	6.2	2	0.013-0.014	0.10-0.11
SUPERTANK (Kraus and Smith, 1994)	STG0	5	0.046-0.064	0.08-0.12
	STH0	4	0.013-0.063	0.10-0.13
	STI0	11	0.004-0.008	0.08-0.11
Total		112	0.003-0.112	0.00-0.29

during the period of August 5 to September 13, 1992, at Oregon State University, Corvallis, Oregon, USA. A 76-m-long sandy beach was constructed in a large wave tank of 104 m long, 3.7 m wide and 4.6 m deep. The 20 major tests were performed and each major test consisted of several cases. Most of the major tests were performed under the irregular wave actions. However, 3 major tests were performed under regular wave actions, i.e., test No. STGO, STHO and STIO. The wave heights were measured at various sections along the flume, covering both offshore and surf zone. Table 1 shows the SUPERTANK experimental conditions that were used in this study. Run number in Table 1 is kept to be the same as the original.

The breaking point is determined from wave height profile. The breaking point is defined as the point where the wave height is maximum. The breaker height (H_b) and depth (h_b) are the wave height and still water depth at the breaking point. The local bottom slope (m) is defined as the local slope measured seaward of the breaking point. If the bottom slope is adverse slope (negative value), it will be set to be zero.

Formulas examinations

The objective of this section is to examine the accuracy of the 29 breaker height formulas mentioned in the first section. A straightforward way to examine a formula is to compare the computed breaker height with the measured data. In order to evaluate the accuracy of the computation, the examination results are presented in terms of root mean square (*rms*) relative error, ER , which is defined as

$$ER = 100 \sqrt{\frac{\sum_{i=1}^n (H_{bci} - H_{bmi})^2}{\sum_{i=1}^n H_{bmi}^2}} \quad (32)$$

where i is the wave height number, H_{bci} is the computed breaker height of number i , H_{bmi} is the measured breaker height of number i , and n is the total number of measured breaker height. Smaller values of ER correspond to a better

prediction.

According to the bottom slope conditions in Eq. (5) and Eq. (13), the group of bottom slope may be classified to be $m \leq 0.07$, $0.07 < m \leq 0.10$, and $m > 0.10$. However some formulas (e.g., MK67, SH74, and SU80) are not valid for the bottom slope $m = 0$. Therefore, in this study, the bottom slope is classified into 4 groups, i.e., horizontal ($m = 0$), gentle ($0 < m \leq 0.07$), intermediate ($0.07 < m \leq 0.10$), and steep ($m > 0.10$). The total number of cases of the collected data for $m = 0$, $0 < m \leq 0.07$, $0.07 < m \leq 0.10$ and $m > 0.10$ are 4, 40, 24 and 44, respectively.

The computations of the breaker height formulas are carried out with 2 sources of collected data (see Table 1). Table 2 shows the *rms* relative error (ER) of each formula for 4 groups of bottom slope and all cases. The examination results from Table 2 can be summarized as follows:

1) The errors ER shown in Table 2 vary from 7.6 to 84.0. The formula of RS00c gives the best prediction ($ER = 7.6$) for the breaking wave on the bottom slope of $0.07 < m \leq 0.10$ while the formula of CW69 gives the worst prediction ($ER = 84.0$) for the breaking wave on the bottom slope of $m > 0.10$.

2) Some formulas are not valid for the horizontal slope ($m = 0$), i.e., the formulas of MK67, SH74, SU80, SW80a, SW80b, OS84, LK89a, and HA90. The formulas that give very good prediction ($ER < 12$) for the breaking wave on the horizontal slope are the formulas of MI44, GA69, CW69, MA76, SK88, LK89b and GL92.

3) The formulas that give very good prediction ($ER < 12$) for the breaking wave on the gentle slope ($0 < m \leq 0.07$) are the formulas of MI44, GO70, OM79, SW80a, LK89b, KA91, GL92, RS00b, and RS00c.

4) The formulas that give very good prediction ($ER < 12$) for the breaking wave on the intermediate slope ($0.07 < m \leq 0.10$) are the formulas of MK67, OM79, SW80a, OS84, LK89b, SK90a, SK90b, GL92, RS00a, RS00b, and RS00c.

5) Most of existing formulas seem to give unsatisfactory predictions for the breaking waves

Table 2. The root mean square relative error (*ER*) of each formula for four groups of bottom slope and all cases.

Formulas	$m = 0$	$0 < m \leq 0.07$	$0.07 < m \leq 0.10$	$m > 0.10$	All 112 cases
MC94 (Eq. 1)	13.1	31.2	29.2	30.3	30.1
MI44 (Eq. 2)	9.6	10.2	18.8	25.8	20.7
MU49 (Eq. 3)	34.5	28.6	24.7	21.4	24.7
MK67 (Eq. 4)	N.A.*	19.8	8.2	19.2	17.9**
GA69 (Eq. 5)	9.9	46.0	41.7	20.7	34.1
CW69 (Eq. 6)	9.9	52.1	52.3	84.0	69.4
GO70 (Eq. 7)	16.3	10.7	12.6	46.2	33.7
WE72 (Eq. 8)	13.1	13.8	12.2	13.7	13.5
KG72 (Eq. 9)	16.0	17.3	15.6	9.6	13.6
SH74 (Eq. 10)	N.A.*	18.1	16.9	40.8	31.6**
MA76 (Eq. 11)	9.9	46.6	44.4	66.5	56.7
BJ78 (Eq. 12)	12.9	13.6	24.5	31.3	25.6
OM79 (Eq. 13)	20.2	11.6	8.4	11.6	11.4
SU80 (Eq. 14)	N.A.*	31.3	25.1	19.3	24.6**
SW80a (Eq. 15)	N.A.*	8.8	9.1	13.2	11.3**
SW80b (Eq. 16)	N.A.*	29.9	25.5	19.9	24.4**
OS84 (Eq. 17)	N.A.*	13.8	8.7	17.5	15.1**
BS85 (Eq. 18)	16.4	25.4	37.3	36.8	33.5
SK88 (Eq. 20)	9.3	19.1	18.0	14.8	16.7
LK89a (Eq. 21)	N.A.*	28.3	24.1	21.4	24.2**
LK89b (Eq. 22)	11.2	10.0	9.0	7.9	8.8
HA90 (Eq. 23)	N.A.*	29.3	25.9	24.6	26.3**
SK90a (Eq. 24)	24.0	15.0	8.5	17.0	15.4
SK90b (Eq. 25)	32.3	18.1	9.5	11.2	14.2
KA91 (Eq. 27)	17.1	11.8	13.6	55.4	40.1
GL92 (Eq. 28)	10.9	7.9	11.6	12.3	11.0
RS00a (Eq. 29)	17.5	14.4	8.9	8.3	10.9
RS00b (Eq. 30)	14.5	9.7	8.7	8.9	9.2
RS00c (Eq. 31)	13.9	9.2	7.6	8.4	8.7

* N.A. = Not Applicable

** Exclude $m = 0$

on the steep slope ($m > 0.1$). The formulas that give very good prediction ($ER < 12$) for the breaking wave on the steep slope are the formulas of KG72, OM79, LK89b, SK90b, RS00a, RS00b, and RS00c.

6) The formula that gives very good prediction ($ER < 12$) for the four groups of bottom slope is the formula of LK89b.

7) The formulas that give very good prediction ($ER < 12$) for all cases are the formulas of OM79, LK89b, GL92, RS00a, RS00b, and

RS00c. The formula of SW80a gives very good prediction for the breaking wave on the slope $m > 0$.

8) The formula of RS00c gives the best prediction ($ER = 8.7\%$) over a wide range of experiments. However higher overall accuracy rating of a formula does not guarantee that the formula is superior to others under all conditions. The accuracy rating of a formula may vary depending on the bottom slope conditions. The best formulas for predicting the breaker heights on

the bottom slopes of $m = 0$, $0 < m \leq 0.07$, $0.07 < m \leq 0.1$, and $m > 0.10$ are the formulas of SK88, GL92, RS00c, and LK89b, respectively.

The comparison between measured and computed breaker height from the RS00c formula is shown in Figure 1. The solid line in the figure is the line of perfect agreement.

Conclusions

A total of 112 cases from 2 sources of large-scale experimental results were used to examine 29 existing breaker height formulas. The experimental data cover a wide range of wave and bottom conditions ($0.003 \leq H_o / L_o \leq 0.112$, and $0 \leq m \leq 0.29$). The examination results were presented in terms of root mean square relative error (ER). It was found that most previous formulas give a fair prediction for the breaking waves on the steep slope ($m > 0.1$). Overall, the formulas that give very good predictions are those by OM79, LK89b, GL92, and RS00. The formula of RS00c gives the best prediction ($ER = 8.7\%$) over a wide range of experiments. However higher overall accuracy rating

of a formula does not guarantee that the formula is superior to others under all conditions. The accuracy rating of a formula may vary depending on the bottom slope conditions. The best formulas for predicting the breaker heights on the bottom slopes of $m = 0$, $0 < m \leq 0.07$, $0.07 < m \leq 0.1$, and $m > 0.10$ are the formulas of SK88, GL92, RS00c, and LK89b, respectively.

References

- Battjes, J.A. and Janssen, J.P.F.M. 1978. Energy loss and set-up due to breaking of random waves, Proc. 16th Coastal Engineering Conf., ASCE: 569-587.
- Battjes, J.A. and Stive, M.J.F. 1985. Calibration and verification of a dissipation model for random breaking waves, J. Geophysical Research, 90: 9159-9167.
- Black, K.P. and Rosenberg, M.A. 1992. Semi-empirical treatment of wave transformation outside and inside the breaker line, Coastal Engineering, 16: 313-345.
- Bowen, A.J., Inman, D.L. and Simmons, V.P. 1968. Wave set-down and set-up, J. Geophysical Research, 73: 2569-2577.
- Collins, J.I. and Weir, W. 1969. Probabilities of wave characteristics in the surf zone, Tetra Tech. Report, TC-149, Pasadena, California, USA.
- Collins, J.I. 1970. Probabilities of breaking wave characteristics, Proc. 12nd Coastal Engineering Conf., ASCE: 399-414.
- Daniel, P. 1952. On the limiting clapotis, Gravity Waves, U.S. Dept. of Commerce, National Bureau of Standards, Circular 521: 35-45.
- Galvin, C.J. 1969. Breaker travel and choice of design wave height, J. Waterways and Harbors Division, ASCE, 95:175-200.
- Goda, Y. 1964. Wave force on a vertical circular cylinder: Experiments and a proposed method of wave force computation, Rept. Port and Harbor Res. Inst., No. 8.
- Goda, Y. 1970. A synthesis of breaker indices, Trans. JSCE, 2: 227-230.
- Goda, Y. 1974. New wave pressure formula for composite breakwater, Proc. 14th Coastal Engineering Conf., ASCE: 1702-1720.
- Gourlay, M.R. 1978. Wave Generated Currents, Ph.D. Thesis, Dept. of Civil Eng., University of Queensland.

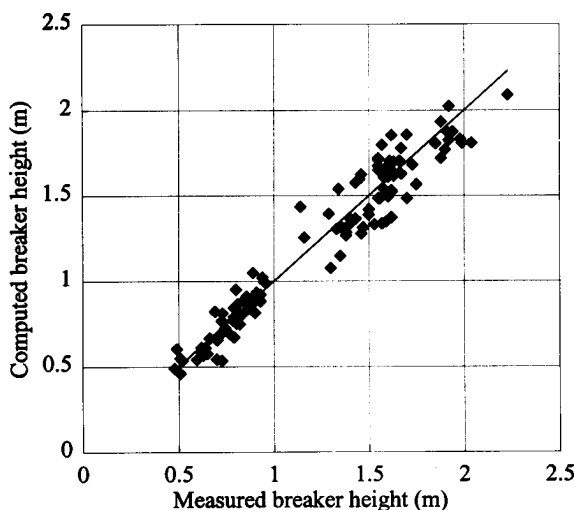


Figure 1. Comparison between measured and computed breaker heights from the RS00c formula (measured data from CRIEPI, 1983 and SUPERTANK, 1994).

- Gourlay, M.R. 1992. Wave set-up, wave run-up and beach water table: Interaction between surf zone hydraulics and groundwater hydraulics, *Coastal Engineering*, 17: 93-144.
- Hamada, T. 1963. Breakers and beach erosion, Port and Harbor Research Institute, Ministry of Transportation, Japan.
- Hansen, J.B. 1990. Periodic waves in the surf zone: Analysis of experimental data, *Coastal Eng.*, 14: 19-41.
- Hansen, J.B. and Svendsen, I.A. 1979. Regular waves in shoaling water experimental data, Series paper No. 21, Institute of Hydrodynamics and Hydraulic Eng., Technical University of Denmark, Denmark.
- Iversen, H.W. 1952. Laboratory study of breakers, *Gravity Waves*, Circular 52, US Bureau of Standards: 9-32.
- Jen, Y. and Lin, P.M. 1970. Plunging wave pressures on a semi-cylindrical tube, *Proc. 12nd Coastal Engineering Conf.*, ASCE: 1469-1490.
- Kajima, R., Shimizu, T., Maruyama, K. and Saito, S. 1983. On-offshore sediment transport experiment by using large scale wave flume, Collected data No. 1-8, Central Research Institute of Electric Power Industry, Japan (in Japanese).
- Kamphuis, J.W. 1991. Incipient wave breaking, *Coastal Engineering*, 15: 185-203.
- Komar, P.D. and Gaughan, M.K. 1972. Airy wave theory and breaker height prediction, *Proc. 13rd Coastal Eng. Conf.*, ASCE: 405-418.
- Kraus, N.C., and Smith, J.M. 1994. SUPERTANK Laboratory Data Collection Project, Technical Report CERC-94-3, U.S. Army Corps of Engineers, Waterways Experiment Station.
- Larson, M. and Kraus, N.C. 1989. SBEACH: Numerical model for simulating storm-induced beach change, Report 1, Tech. Report CERC-89-9, Waterways Experiment Station, US Army Corps of Engineers.
- Le Mehaute, B. and Koh, R.C.Y. 1967. On the breaking of waves arriving at an angle to the shore, *J. Hydraulic Research*, 5: 67-88.
- Madsen, O.S. 1976. Wave climate of the continental margin: Elements of its mathematical description, D.J. Stanley and D.J.P. Swift (Editors), *Marine Sediment Transport in Environmental Management*. Wiley, New York: 65-87.
- McCowan, J. 1894. On the highest waves of a permanent type, *Philosophical Magazine*, Edinburgh, Ser. 5, 38: 351-358.
- Miche, R. 1944. Mouvements ondulatoires des mers en profondeur constante on décroissante, *Ann. des Ponts et Chaussees*, Ch.114: 131-164, 270-292, and 369-406.
- Mitsuyasu, H. 1962. Experimental study on wave force against a wall, *Report of the Transportation Technical Res. Inst.*, No. 47 (in Japanese).
- Munk, W.H. 1949. The solitary wave theory and its application to surf problems, *Annals of the New York Academy of Sciences*, No. 51.
- Ogawa, Y. and Shuto, N. 1984. Run-up of periodic waves on beaches of non-uniform slope, *Proc. 19th Coastal Eng. Conf.*, ASCE: 328-344.
- Ostendorf, D.W. and Madsen, O.S. 1979. An analysis of longshore current and associated sediment transport in the surf zone, Report No. 241, Dept. of Civil Eng., MIT.
- Rattanapitikon, W. and Shibayama T. 2000. Verification and modification of breaker height formulas, *Coastal Eng. Journal*, JSCE, 2: 389-406.
- Reid, R.O. and Bretschneider, C.L. 1953. Surface waves and offshore structures, Technical Report No. 53-10, Texas A&M University.
- Seyama, A. and Kimura, A. 1988. The measured properties of irregular wave breaking and wave height change after breaking on slope, *Proc. 21st Coastal Engineering Conf.*, ASCE: 419-432.
- Singamsetti, S.R. and Wind, H.G. 1980. Characteristics of breaking and shoaling periodic waves normally incident on to plane beaches of constant slope, Report M1371, Delft Hydraulic Lab., Delft, The Netherlands.
- Smith, D.A. 1974. Radiation stress effects on wave set-up in the surf zone, M.Sc. Thesis, Dept. of Civil Eng., University of London, Imperial College.
- Smith, J.M. and Kraus, N.C. 1990. Laboratory study on macro-features of wave breaking over bars and artificial reefs, Technical Report CERC-90-12, WES, U.S. Army Corps of Engineers.
- Stive, M.J.F. 1984. Energy dissipation in wave breaking on gentle slopes, *Coastal Engineering*, 8: 99-127.
- Sunamura, T. 1980. A laboratory study of offshore transport of sediment and a model for eroding beaches, *Proc. 17th Coastal Eng. Conf.*, ASCE: 1051-1070.
- Sunamura, T. and Horikawa, K. 1974. Two-dimensional beach transformation due to waves, *Proc. 14th Coastal Eng. Conf.*, ASCE: 920-938.

-
- Suquet, F. 1950. Experimental study on the breaking of waves, *La Houille Blanche*, No. 3, May to June.
- Van Dorn, W.G. 1978. Breaking invariance in shoaling waves, *J. Geophysical Research*, 83: 2981-2988.
- Visser, P.J. 1977. Wave set-up: experimental investigation on normally incident waves, Report No. 77-1, Laboratory of Fluid Mech., Dept. of Civil Eng., Delft University of Tech., Delft, The Netherlands.
- Weggel J. R. 1972. Maximum breaker height, *J. Waterways, Harbors and Coastal Eng. Div.*, 98: 529-548.
- Weggel, J.R. and Maxwell, W.H.C. 1970. Experimental study of breaking wave pressures, Second Annual Offshore Technology Conference, Texas, OTC-1244.

นิพนธ์ต้นฉบับ

ศักยภาพแหล่งทรัพยากร่องสร้างในพื้นที่จังหวัดสงขลา

ดันพูล ตันโนยพาส¹ สมชัย ชัยเสน² และ กอลยาณี คุปตานนท์³

Abstract

Tonnayopas, D., Chaisen, S. and Kooptarnond, K.

Potential building sand deposits in Songkhla province area

Songklanakarin J. Sci. Technol., 2002, 24(4) : 675-700

An investigation of potential building sand deposits in Songkhla province area subdivided them into four regions according to their accumulation in various alluvial plains, meanders throughout alluvial deposits and residual soils. Four selected deposits, were Rattaphum-Khuan Niang, U-Taphao river, Na Mom, and Chana-Thepha regions. Information obtained from these deposits revealed a good correlation between the geomorphological features as interpreted from aerial photographs and those identified from vertical electrical resistivity sounding results. Sand samples were analysed for their physical and chemical properties. Petrographic studies were also undertaken to characterize the composition types,

Department of Mining and Materials Engineering, Faculty of Engineering, Prince of Songkla University, Hat Yai, Songkhla 90112 Thailand.

¹ Ph.D. (Applied Geology) รองศาสตราจารย์ ² ว.ศ.ม. (วิศวกรรมเหมืองแร่) ³ผู้ช่วยศาสตราจารย์ ภาควิชาวิศวกรรมเหมืองแร่และวัสดุ คณะวิศวกรรมศาสตร์ มหาวิทยาลัยสงขลานครินทร์ อําเภอหาดใหญ่ จังหวัดสงขลา 90112

Corresponding e-mail : tdanupon@ratree.psu.ac.th

รับต้นฉบับ 16 พฤษภาคม 2544

รับลงพิมพ์ 11 กรกฎาคม 2545

texture and shapes. An overview of the sand properties was used them to be within the acceptable limits for building sand. However, relatively high organic impurities and soundness were found in sand from Khuan Niang and Na Mom deposits. The result indicated a potential reconnaissance mineral resource of about 46 square kilometres.

A reserve evaluation for natural building sand was carried out by using Geographic Information System (GIS). Maps of the various parameters considered were constructed in digital database format with the aid of Arc/Info and ArcView software. Overlay mapping and buffer zone modules were performed to evaluate inferred resources of building sand. The key parameters of analysis included the distance from transportation, distance from streams, lithology and thickness of sand layers. The remaining inferred sand total was of about 386 million cubic metres or about 1,021 million metric tons was therefore estimated, of which 60 percent lies in the Rattaphum-Khuan Niang region and 40 percent in the other regions.

Key words : Engineering geology, sand deposit, Songkhla, GIS, geoelectric, buffer zone, overlay mapping

บทคัดย่อ

ศูนย์ต้นน้ำโภคภัย สมชัย ชัยเสน และ กัลยาณี คุปตานนท์
ศักยภาพแหล่งทรัพย์ก่อสร้างในพื้นที่จังหวัดสงขลา

ว. สงขลาฯ ครินทร์ วทท. 2545 24(4) : 675-700

การสำรวจศักยภาพแหล่งทรัพย์ก่อสร้างในพื้นที่จังหวัดสงขลา แบ่งได้เป็นสี่เขตตามลักษณะการสะสมตัวหิลาก
หล่ายในที่ราบต่ำตอนน้ำพ้า ทางน้ำโถงตัวดอนถึงแหล่งสะสมต่ำตอนน้ำพ้า และดินตกถ่าง พื้นที่แหล่งทรัพย์ที่ได้
เลือกไว้ เรียกว่า เขตต่ำภูมิ-ควนเนียง เขตคลองอู่ตะเภา เขตนาหมื่น และเขตจะนะ-เทพา นอกจากนี้สารสนเทศ
ของสภาพดินที่ทางธรณีวิทยาสัมฐานที่แปลงจากภูถ่ายทางอากาศและรูปพรรณสัณฐานจากการหยั่งด้วยความด้านท่าน
ไฟฟ้าแนวลึกได้แสดงถึงสหสัมพันธ์กันอย่างดี การตรวจสอบสมบัติทางกายภาพและทางเคมีของตัวอย่างทรัพย์ ทาง
ศิลปารณฑ์ได้ตรวจสอบถึงลักษณะรูปร่าง ผิวนื้อ และ ส่วนประกอบแร่ โดยภาพรวมสมบัติของทรัพย์ในเกณฑ์
มาตรฐานสำหรับทรัพย์ก่อสร้าง แม้ว่ามีปริมาณสารอินทรีย์เจือปนและค่าคงตัวที่พบในกลุ่มตัวอย่างจากแหล่งควนเนียง
และนาหมื่นมีค่าต่ำกว่าข้างสูงเกินความเหมาะสม ผลการศึกษาระบุว่าพื้นที่ศักยภาพปริมาณสำรองของทรัพย์สำรวจ
เนื้องต้นมีอยู่ประมาณ 46 ตร.กม.

การประเมินปริมาณสำรองแหล่งทรัพย์ก่อสร้างธรรมชาติด้วยการใช้ระบบสารสนเทศภูมิศาสตร์ ได้พิจารณา
แผนที่หลักชนิดที่มีปัจจัยต่างกัน นำมาสร้างขึ้นในรูปฐานข้อมูลเชิงตัวเลขด้วยโปรแกรม Arc/Info และ ArcView ด้วย
ชุดคำสั่งย่อยการทำแผนภาพเชิงช้อนและเขตถันชน ได้ประเมินถึงปริมาณสำรองอนุมาณของทรัพย์ก่อสร้าง ปัจจัย
สำคัญในการวิเคราะห์ประกอบด้วย ระยะห่างจากเส้นทางคมนาคม ระยะห่างจากทางน้ำ วิทยาพินและความหนาของ
แหล่งทรัพย์ อายุไรเก็ตตามทรัพย์ที่อนุமานไว้ทั้งหมดได้ประเมินคงเหลือประมาณ 386 ล้านลบ.เมตร หรือประมาณ
1,021 ล้านเมตรต่อตัน ซึ่ง 60% อยู่ในเขตต่ำภูมิ-ควนเนียง และ 40% อยู่ในเขตที่เหลือ

จากการสำรวจการใช้ทรัพย์คิดมาจากการอัตราส่วน การใช้ปูนซีเมนต์ของประเทศไทยในอดีต (กรมทรัพยากร
ธารณี 2538) พยากรณ์ว่าในช่วงปี พ.ศ. 2543-2546 มี
ความต้องการรายเพิ่มขึ้นถึง 26.11% หรือเฉลี่ยอัตรา

8%/ปี คิดเป็นน้ำหนักได้ประมาณ 60 ล้านตัน หรือ
ประมาณ 23 ล้านลบ.เมตร ซึ่งยังไม่รวมถึงทรัพย์ที่นำไป
ผสม แต่เมื่อเกิดวิกฤติการณ์ทางด้านเศรษฐกิจเป็นต้นมา
ปริมาณการก่อสร้างลดลงเป็นจำนวนมาก ส่งผลให้อุปสงค์

รายในเวลาต่อมากลดลงตามไปด้วย อายุร่วมกับการณ์ว่าเมื่อสถานการณ์ทางเศรษฐกิจพื้นตัวเข้ม ปริมาณความต้องการใช้ทรัพย์ก็จะคืนสู่เท่าเดิมหรือเพิ่มขึ้น

จังหวัดสงขลา เป็นศูนย์กลางทางด้านเศรษฐกิจที่สำคัญแห่งหนึ่งในภาคใต้ตอนล่าง โดยเฉพาะพื้นที่อำเภอหาดใหญ่ที่เป็นศูนย์กลางทางด้านการพาณิชย์และการท่องเที่ยวที่สำคัญ มีอุปสงค์ทรัพยากรทรัพยากรธรรมชาติในการก่อสร้างสาธารณูปการมากขึ้นทุกปี ซึ่งในพื้นที่นี้มีหลายหน่วยงานได้ดำเนินการสำรวจและเก็บข้อมูลทรัพย์อย่างเป็นระบบ (สมชัยและรัศมี 2537; วงศ์และไช 2540; อำเภอ 2541) แต่สำหรับข้อมูลแหล่งทรัพย์ก่อสร้างในสงขลา (สมชัย, 2540) ยังขาดแคลน กระฉัดกระจาย และจัดเก็บไม่เป็นระบบ จึงได้มีการศึกษาวิธีค้นหาอย่างเป็นระบบ นับตั้งแต่กลยุทธ์ค้นหา การสำรวจ การประเมิน ไปจนถึงขั้นตอน แยกทรัพย์ก่อสร้าง (building sand) โดยเน้นด้านธรณีวิทยาที่เกี่ยวข้องกับการทำเนิดและลักษณะการสะสมตัว ปริมาณสำรวจและพื้นที่แหล่งใหม่ ซึ่งต้องอาศัยเทคนิคหลายด้านบูรณาการเป็น สาขาวิชาการ (multidisciplinary) ได้แก่ การรับรู้จากระยะไกล (remote sensing) การสำรวจทางธรณีฟิสิกส์ การสำรวจทางธรณีสัณฐานวิทยาและธรณีวิทยาในภาคสนาม และ การวิเคราะห์คุณภาพ (กายภาพและทางเคมี) ของทรัพย์ เป็นต้น โดยมีจุดมุ่งหมายจัดแบ่งชนิดหรือกลุ่มของทรัพย์ตามความเหมาะสมต่อการนำไปใช้ประโยชน์ในภาคอุตสาหกรรม ก่อสร้างสูงสุด อันนำไปสู่การติดตั้งแผนที่ความคิด ในการวางแผนการจัดการทรัพยากรธรรมชาติทรัพย์อย่างยั่งยืน ในอนาคตและหาแนวทางจำกัดเขตพื้นที่ประกอบการให้มีผลกระทบทางด้านสิ่งแวดล้อมน้อยที่สุด โดยวิเคราะห์ภูมิสารสนเทศที่กล่าวมา ด้วยโปรแกรมระบบสารสนเทศภูมิศาสตร์ของ Arc/Info และ ArcView

วัสดุ อุปกรณ์ และวิธีการ

1. วัสดุอุปกรณ์

วัสดุอุปกรณ์หลักที่จำเป็นอย่างยิ่งต่อการดำเนินงานวิจัยครั้งนี้ประกอบไปด้วยดังนี้

1. รูปถ่ายทางอากาศ ขาวดำ มาตราส่วนประมาณ 1:50,000 ของกรมแผนที่ทหาร ที่ถ่ายใช้ในโครงการสำรวจการใช้ที่ดิน คลุมพื้นที่แอ่งสะสมตัวของทรัพย์ศึกษาทั้งหมด (Table 1)

2. กล้องมองภาพสามมิติแบบกระจก (mirror stereoscope) พร้อมด้วยอุปกรณ์เสริม

3. แผนที่ภูมิประเทคโนโลยีของกรมแผนที่ทหาร มาตราส่วน 1:50,000 ลำดับชุด L7017 จำนวน 4 ระหว่าง คือ ระหว่าง 5023 II (อ.รัตภูมิ) 5022 I (อ.หาดใหญ่) 5122 I (อ.เทพา) และ 5122 IV (อ.จะนะ) (Figure 1)

4. แผนที่ธรณีวิทยาประเทศไทย มาตราส่วน 1:250,000 ระหว่าง NB 47-8, 5 (จ.นราธิวาส และ อ.ตากใบ) ระหว่าง 47-3 (จ.สงขลา) และระหว่าง NB47-7 (จ.สตูล) ของกรมทรัพยากรธรณี (2528) และสำเนาชุดแผนที่ธรณีวิทยาไม่พิมพ์เผยแพร่ มาตราส่วน 1:50,000 ได้แก่ ระหว่าง 5122 IV อ.จะนะ (สมชายและสมชัย 2529) และระหว่าง 5122 I อ.เทพา (สมชายและคง 2531)

5. อุปกรณ์สำรวจทางธรณีและเก็บตัวอย่าง ได้แก่ เครื่องวัดความต้านทานไฟฟ้า (OYO) รุ่น McOHM Mark-2 Model-2115A พร้อมชุดอุปกรณ์เสริม และคอมพิวเตอร์พร้อมโปรแกรมสำเร็จรูปที่ใช้แปลความซึ่งชื่อ Resist version 1.0

7. อุปกรณ์หาพิกัดภูมิศาสตร์ด้วยดาวเทียม (Global

Table 1. The characteristics of the studied aerial photograph

Location	Run path	Number of photograph	Date of acquisition
Rattaphum-Khuan Niang	16 A	159-175	31 March 1995
	15 B	22-52	7 April 1995
U-Taphao	17 A	16-18	7 April 1995
Na Mom	19	212-216	11 April 1995
Chana-Thepha	22	90-102	9 April 1995

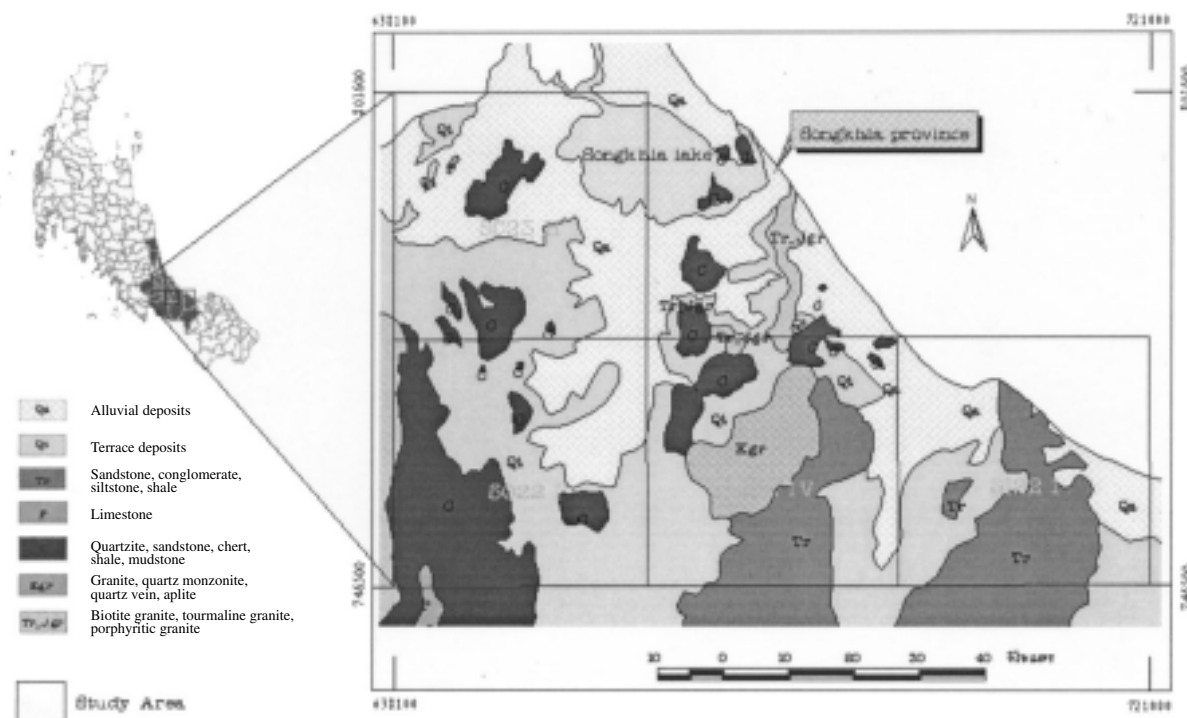


Figure 1. General geological map of study area

Positioning System- GPS) ยี่ห้อ Trimble Pathfinder รุ่น TDC1 พร้อมโปรแกรม Pathfinder Office version 1.10

8. กล้องขยายและกล้องจุลทรรศน์ ที่มีกำลังขยายต่างกัน พร้อมอุปกรณ์บันทึกภาพ

9. เครื่องคอมพิวเตอร์ส่วนบุคคล หน่วยความจำชั้กร้า 128 MB หน่วยความจำภายใน 40 GB

10. อุปกรณ์นำเข้าข้อมูล เช่น เครื่องกวาดภาพ (scanner) เครื่องอ่านพิกัด (digitizer)

11. อุปกรณ์แสดงผล จอภาพ 20 นิ้ว เครื่องพิมพ์และเครื่องวัดภาพ

12. โปรแกรมสำเร็จรูปที่ใช้ในการประมวลผล ได้แก่ Arc/Info รุ่น 3.5.2 และ ArcView รุ่น 3.1 โปรแกรม Pathfinder Community Base Station รุ่น 2.68I และ Pathfinder Office รุ่น 1.10 รวมทั้งโปรแกรมสนับสนุนการสร้างชั้นความหนา Surfer รุ่น 6.03

2. วิธีการ

การสำรวจศักยภาพแหล่งทรัพยากรหัศม์ในจังหวัดสงขลาดำเนินการครอบคลุมพื้นที่บางส่วนของอำเภอรัตนภูมิ ควนเนียง บางกล้ำ หาดใหญ่ นาหม่อง คลองหอยโ่ง นาทวี เพพา และ สะเดา พื้นที่รวมกันทั้งหมดประมาณ 3,054 ตร.กม. (Figure 1)

ด้วยขนาดพื้นที่สำรวจค่อนข้างกว้าง กับปรกับต้องการสำรวจคุณภาพและปริมาณทรัพยากรหัศม์ในงานก่อสร้าง ฉะนั้นเพื่อให้ได้สารสนเทศที่ต้องการ จึงได้เลือกวิธีการสำรวจทางธรณีวิศวกรรม (engineering geological investigation) อันเป็นการทดสอบความรู้ทั่งด้านธรณีวิทยาและวิศวกรรมโยธา (ดนุพล 2542) โดยใช้อุปกรณ์และเทคนิคสำรวจทางอากาศ บนพื้นดินและใต้ดิน เพื่อได้なるสารสนเทศดังกล่าวมาบูรณาการเกิดผลที่ถูกต้อง และทรงประสิทธิภาพสูงสุด ดังมีรายละเอียดวิธีการต่อไปนี้

2.1 การแปลงรูปวิทยาภาพถ่าย (photogeology - interpretation)

จากการลักษณะต่างๆ ที่ปรากฏบนรูปถ่ายอันเป็นเบื้องต้นในการแปลงรูปถ่าย (ดุนพลดและคณะ 2540) และได้ยึดถือแนวปฏิบัติแปลความสำรวจดิน (Campbell, 1978) เป็นเกณฑ์ในการค้นหาแหล่งทรัพย์ครั้งนี้ โดยแปลผ่านกล้องมองภาพสามมิติแบบกระจาดชนิดประจำสำนักงานทำการคัดลอกลงสู่ฐานข้อมูลใน GIS

2.2 การสำรวจด้านธรณีสัณฐานวิทยาและธรณีวิทยา

สำรวจภาคสนามเพื่อตรวจสอบข้อมูล ทางหลักฐานเพิ่มเติม และปรับปรุงแก้ไขงานแปลงรูปถ่ายทางอากาศ และข้อมูลแผนที่ธรณีวิทยาเดิม พิรุณหั้งวัดโครงสร้างธรณีวิทยาของหินดันกำเนิดรายและวางแผนกำหนดจุดสำรวจด้านธรณีไฟฟ้า เก็บตัวอย่างและบอกรายหั้งที่ยังทำอยู่และปล่อยร่องจากเครื่องกำหนดพิกัดด้วยดาวเทียม (GPS)

2.3 การสำรวจด้านธรณีไฟฟ้า (geoelectric prospecting)

สำรวจในพื้นที่แหล่งทรัพย์ที่สามารถเข้าถึง และหลายจุดไกลับบอกรายที่ประกอบการอยู่ในปัจจุบันและที่ปล่อยทึ้งร่างไว้ เพื่อเปรียบเทียบผลการแปลงขั้นความลึก กับสภาพชั้นทรายจริง ด้วยวิธีโครงแบบชั้นเบอร์เจร์ (Schlumberger configuration) วัดสภาพความด้านทานไฟฟ้าจำเพาะประภู (apparent resistivity) ของพื้นดินในแนวตั้ง (vertical electrical sounding-VES) ขยายระยะห่างของชั้นไฟฟ้าใกล้สุดข้างละ 100 เมตร มีสถานีวัดหั้งหมุด 47 จุด การแปลความลึกนั้น ได้นำเสนอโดย VES ที่ลงจุดความต้านทานจำเพาะกับระยะห่างชั้นไฟฟ้าในภาพลักษณะเปลี่ยนแปลงด้วยวิธีการจับคู่เส้นโดยบางส่วน (partial curve matching method) ด้วยโปรแกรมสำเร็จรูปชื่อ Resist version 1.0 ให้คำนวณจนเส้นโค้งคำนวนเข้าใกล้เส้นโค้งที่วัดจากภาคสนามมากที่สุด โดยพยายามให้มีค่าผิดพลาดรายยกกำลังสองเฉลี่ย (root mean square-RMS) ต่ำที่สุดเท่าที่เข้าคู่ได้ และในการแปลงความลึกของแหล่งทรัพย์ครั้งนี้ ได้ยึดถือว่าเส้นโค้งที่ความชันผิดแยกไปจากเดิมมาก ระยะถึงจุดที่เริ่มมีการเปลี่ยนแปลงของชนิดชั้นตะกอน

2.4 การตรวจสอบสมบัติทรัพย์และจำแนกทางวิศวกรรม

ตัวอย่างทรัพย์ที่เก็บมาในลักษณะเสียสภาพ (disturbed sample) และได้คัดขนาดหินนิ่งใหญ่ (boulder) ถึงกรวดเล็ก (granule) ออก เนื่องจากมีปริมาณไม่มากถึงขั้นเป็นตัวแทนกลุ่ม ตัวอย่างเก็บมาหั้งหมุด 18 แห่ง แห่งละ 2 ถุง แต่ละถุงหนัก 20-30 กก. นำมาตรวจสอบทางกายภาพและผลที่ได้เปรียบเทียบเกณฑ์มาตรฐานอเมริกัน (The American Standards of Testing Materials-ASTM) เป็นหลัก

การลดปริมาณตัวอย่างจากสนามให้เป็นตัวอย่างทดสอบ (ASTM C 702) ได้ใช้เครื่องแบ่งตัวอย่าง (riffle sample splitter) โดยมุ่งตรวจสอบบัติหลักของมวลรวมทรัพย์ที่ใช้งาน อันได้แก่ การคละขนาด (gradation) ของมวลรวม (ASTM C 136) ความถ่วงจำเพาะและการดูดซึมน้ำ (ASTM C 128) ปริมาณสารอินทรีย์ที่เจือปน (organic matter) (ASTM C 40) เพียบกับแผ่นแก้วสีมาตรฐาน (organic plate) ทดสอบการคงตัว (soundness) โดยใช้สารโซเดียมซัลเฟต (ASTM C 88) ตลอดจนตรวจสอบทางกายภาพของเม็ดทรัพย์ภายใต้กล้องขยายเช่น ผิวนีโอ รูปทรง (ASTM C 33) วัสดุองค์ประกอบหั้งแร่และเศษหิน (ASTM C 295) การจำแนกประเภทได้ยึดตามระบบการจำแนกตินเอกสาร (unified soil classification-USC) และระบบกรมทางหลวงอเมริกา (ASSHTO)

2.5 การวิเคราะห์ทางทางเคมี

วิเคราะห์ปริมาณส่วนประกอบออกไซต์ของซิลิกา (SiO_2) ในทรัพย์ (ASTM C 146) เพื่อคำนึงถึงคุณภาพของทรัพย์ว่ามีความเหมาะสมที่จะนำไปใช้ในงานอุตสาหกรรมประเภทใดมากที่สุด โดยยึดถือปริมาณซิลิกาที่น้อยกว่า 98.5% เป็นเกณฑ์ใช้ในอุตสาหกรรมก่อสร้างเนื่องจากสภาพแวดล้อมธรณีวิทยาของพื้นที่ศึกษา ไม่พบแร่เป็นต้นกำเนิดให้เกลือ ที่อาจก่อให้เกิดปริมาณเกลือและคลอไรด์ละลายน้ำ (ASTM C 1218) บนเนื้อน้อยในรายถึงขั้นมีผลต่อวัสดุก่อสร้าง จึงไม่ได้ทำการตรวจสอบวิเคราะห์

2.6 วิเคราะห์ภูมิสารสนเทศ (Geo-Information - Analysis)

จากข้อมูลการสำรวจศักยภาพแหล่งทรัพย์จังหวัดสงขลา เป็นการนำเข้าข้อมูลศักยภาพแหล่งทรัพย์ ใน

ลักษณะจุด (point) เส้น (arc) และพื้นที่ (polygon) ทุกชนิดแปลงเป็นข้อมูลเชิงตัวเลข เข้าสู่ระบบสารสนเทศภูมิศาสตร์ Arc/Info (Figure 2) โดยผ่านอุปกรณ์ก้าวภาพและเครื่องกำหนดพิกัด และถ่ายโอนลงบนแผนที่ชนิดต่างๆ ของพื้นที่สั่งขลา พร้อมด้วยการกระจายของหินตันกำเนิดที่เป็นไปได้ อาทิ เช่น หินแกรนิต หินทราย ที่ได้แก่ ไข่มากจากแผนที่ธรณีวิทยาระหว่างและมาตราส่วนต่างๆ สร้างและลงจุดพิกัดฐานข้อมูลใช้งานและภูมิสารสนเทศ แหล่งทราย ได้แก่ เมืองทรายห้องเลิกกิจกรรมและทำอยู่ในปัจจุบัน จุดเก็บตัวอย่าง จุดสำรวจความด้านท่านไฟฟ้า ลงบนแผนที่ชั้นข้อมูลต่างๆ ดำเนินการประมาณผลพื้นที่แหล่งทราย ด้วยวิธีเชิงซ้อน (overlay) จัดแบ่งออกเป็นหมวดเชื่อมพื้นที่ (spatial join) เขตพื้นที่กันชน (buffer zone) การแยกภาพลักษณ์ (feature extraction) การผนึกภาพลักษณ์ (feature merging) (ESRI, 1998) เมื่อนำข้อมูลถ่ายโอนมายังโปรแกรม ArcView ไปพิจารณา ร่วมกับผลข้อมูลสำรวจความด้านท่านไฟฟ้าทุกจุดที่ได้ประมาณผลความลึกของตะกอนแต่ละชั้น และหาความ

หนาชั้นทรายที่ระดับลึกไม่เกิน 50 เมตร นำเข้าประมาณในโปรแกรม Surfer สร้างชั้นความหนา (thickness of contour line) ด้วยการปรับระดับความหนาล่างสุดให้เริ่มศูนย์ กำหนดช่วงเส้นชั้นความหนาให้เหมาะสมกับความหนาของแหล่ง ก็จะได้แผนที่ชั้นความหนา (isopach map) ดังเช่น แหล่งทรายเขตต์ภูมิ-ควนเนียง และเขตจะนะนาทวี สำหรับกรณีจุดสำรวจไม่กระจายครอบคลุมพื้นที่ก็ใช้ค่าความหนาเฉลี่ยของแหล่งทราย โดยพิจารณาจากความหนาที่แปลความได้จากจุดสำรวจความด้านท่านไฟฟ้า ทั้งหมดในแต่ละแหล่งนั้น นำมาคำนวณค่าเฉลี่ย ได้แก่ เขตอุตรดева และ นาหม่อง ดังนั้นการประเมินปริมาณสำรองศักยภาพแหล่งทรายท่อนามานก์ได้ดังนี้

ปริมาตรแหล่งทรายทั้งหมด = พื้นที่แหล่งทราย ทั้งหมด × ความหนาเฉลี่ยของชั้นทราย

ปริมาตรทรายนอกพื้นที่กันชน = พื้นที่กันชน × ความหนาเฉลี่ยของชั้นทราย

ปริมาณสำรองศักยภาพแหล่งทราย = ปริมาตรแหล่งทรายทั้งหมด - ปริมาตรทรயในพื้นที่กันชน

2.6.1 ฐานข้อมูลภูมิสารสนเทศ (Geo-information database)

ประกอบด้วยข้อมูลสองชนิดคือ ข้อมูลปฐมภูมิ ได้แก่ ขอบเขตพื้นที่แหล่งทราย ได้จากการแปลรูปถ่ายทางอากาศ ตำแหน่งบ่อทรายห้องที่เลิกกิจกรรมและ/หรือประกอบการอยู่ ตำแหน่งจุดสำรวจความด้านท่านไฟฟ้า และเก็บตัวอย่าง ส่วนอีกชนิด คือ ข้อมูลทุติยภูมิ ได้แก่ แผนที่ภูมิประเทศครอบคลุมแหล่งทราย จัดแยกออกเป็นชั้นข้อมูลความสูง เส้นทางคมนาคม ทางน้ำ ขอบเขตชั้นลุ่มน้ำของกรมป่าไม้ ขอบเขตการปกคล้อง ที่ดังสาระะ (มัสยิด วัด สถานที่ราชการ) และขอบเขตชุดหินตามยุคจากแผนที่ธรณีวิทยา โดยข้อมูลดังกล่าวจัดทำอยู่ในแบบแผนที่เชิงตัวเลขของชั้นข้อมูล/ชั้นข้อมูลสีบ่ข่าว (layers/coverages) ที่ได้แยกเก็บไว้ในแต่ละประเภทแฟ้มข้อมูล (Figure 2)

2.6.2 การสร้างเขตกันชน (Buffer zone)

ปัจจัยที่พิจารณาสร้างเขตกันชนในการศึกษาครั้นนี้ ได้แก่ แหล่งน้ำสาธารณะ เส้นทางคมนาคม และพื้นที่สาธารณะชุมชนท้องถิ่น โดยยึดตามหลักเกณฑ์พระราชบัญญัติเร่ พ.ศ. 2510 แก้ไขปรับปรุง พ.ศ. 2537

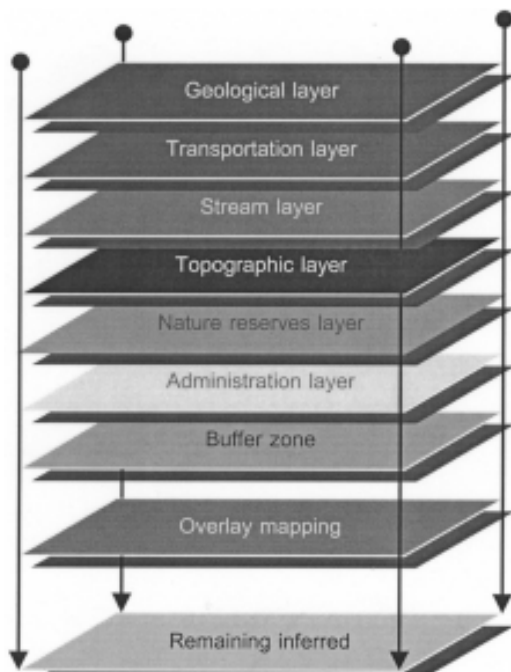


Figure 2. Flow chart of GIS processing data for potential sand deposit areas

เป็นหลัก (Table 6) แต่ผลสำรวจแหล่งทรายทุกแหล่งอยู่นอกเขตชุมชน จึงไม่นำมาพิจารณาและนำไปกำหนดค่าลงในคำสั่งการสร้างเขตกันชนในโปรแกรม Arc/Info

2.6.3 การทำแผนภาพเชิงช้อน (Overlay mapping)

จากขอบเขตของพื้นที่แหล่งทรายแต่ละแห่ง ได้สร้างเขตกันชนของแต่ละองค์ประกอบขึ้นไว้ในชั้นข้อมูลเขตกันชนจนครบทุกปัจจัยก่อน จึงนำไปรวมกับชั้นพื้นที่ประกอบด้วยเขตกันชนทุกปัจจัยไปถ่ายลงในชั้นข้อมูลแผนที่ของการปกคล้อง ผ่านคำสั่งสอบถาม (query) ในโปรแกรม ArcView จะได้พื้นที่ศักยภาพแหล่งทรายอนุมาน

2.6.4 ปริมาณสำรอง

การเผยแพร่ข้อมูลของพื้นที่แหล่งทรายทั้งสี่เขตนั้น ล้วนได้เก็บตัวอย่างตรวจสอบและจุดสำรวจต่างๆ ได้มาจากแผนที่ธรณีวิทยา รูปถ่ายทางอากาศข้าวต่ำ และสังเกตการณ์ภาคสนาม (ดุนพูลและคณะ 2544) ส่วนความหนาทรายก่อสร้างเฉลี่ยของแต่ละพื้นที่อยู่ ได้รับมาจากการเฉลี่ยค่าความหนาที่วัดในทรายโอล์ฟและในบ่อทรายและพิจารณารวมกับผลแปลความหนาจากการสำรวจทางธรณีไฟฟ้า (Table 2) ความหนาที่นำมาพิจารณาคำนวณในแต่ละพื้นที่อยู่แหล่งทรายจะไม่นำค่าความหนาหน้าดินมารวมด้วย เช่นเดียวกับชั้นทรายที่บางแหล่งความหนา

ไม่คุ้มในแห่งเศรษฐศาสตร์ (< 2.0 เมตร) และหากมีการเปลี่ยนแปลงลักษณะประกาย (facies changes) ในลักษณะการคัดขนาดคละทรายธารน้ำพา (fluvial sand grading) ไปสู่ทรายแป้ง (silt) และดินเหนียว ก็ไม่พิจารณา เช่นกัน

สำหรับข้อมูลความหนากระจาดเพียงพอ ได้สร้างแผนที่ชั้นความหนาของทราย และคำนวณตามวิธีนิยม มีสูตรคำนวณดังนี้

$$V = (A_1 + 2A_2 + 2A_3 + \dots + 2A_{n-1} + A_n) \times (L/2) \quad (1)$$

โดยที่ V = บริมาตร หน่วยเป็น ลบ.เมตร

A_n = พื้นที่หน้าตัดของระนาบเส้นชั้นความหนาที่ระดับ n หน่วยเป็น ตร.เมตร

L = ค่าความต่างของระนาบแต่ละชั้นความหนาหน่วยเป็น เมตร

ปริมาณสำรองคงดีเป็นปริมาตรหน่วยลบ.เมตร และน้ำหนักเป็นล้านเมตริกตัน ซึ่งความถ่วงจำเพาะของแหล่งทรายทุกแหล่งค่อนข้างคงตัว อยู่ระหว่าง 2.64-2.65 (Table 4)

ผลการศึกษา

ศักยภาพแหล่งทรายก่อสร้างในสงขลาสมอยู่ในลักษณะธรณีสัณฐานหลักหลาย อันเป็นผลมาจากการ

Table 2. Summary of potential building sand deposits in Songkhla province area

Feature of deposits	Rattaphum-Khuan Niang	U-Taphao	Na Mom	Chana-Thepha
Aerial appearance	light gray, fine texture	variable gray tones, smooth dendritic and parallel	light to medium gray dendritic	white to light gray, mottled dendritic
Drainage pattern	dendritic	old flood plain, oxbow lake	youth to maturity valley and hill	youth irregular hill and ridges
Stream stage	maturity to old hilly with granite knob	old	youth to maturity	youth
Topography	granite knob	flood plain, oxbow lake	valley and hill	irregular hill and ridges
Area, km ² .	21.02	8.42	2.78	13.86
Grain shape	angular to subrounded	well rounded	angular to round	very angular to subrounded
Source rocks	granite, sandstone	sandstone-shale	granite	granite, sandstone-shale

กระทำของตัวกลาง ซึ่งเป็นธารน้ำเป็นหลัก และคุณภาพ trajectory ขึ้นกับพินทันกำเนิด ซึ่งส่วนใหญ่ประกอบด้วย พินทรัพย์ พินดินดานและพินแกรนิต มีรายละเอียดดังนี้

1. การแปลสภาพธรณีวิทยา

การกระจายของแหล่งทรัพย์ในบริเวณพื้นที่ต่างๆ ของจังหวัดสงขลา (Figure 3-6) ได้ล้อมกรอบเน้นสำรวจ เฉพาะแหล่งทรัพย์น้ำจืด (fresh water sand deposits) หรือทรัพย์บก ไม่ว่าจะเป็นแหล่งทรัพย์ภาคพื้นสมุทร (marine sand deposits) ซึ่งต้องผ่านการล้างและไม่นิยมนำมาใช้ ก่อสร้าง อีกทั้งส่วนใหญ่อยู่ตามชายฝั่งในเขตหัวห้มตาม กุฎหมายด้านสิ่งแวดล้อมของประเทศไทย ลักษณะโดยเด่น ของแต่ละแหล่งทรัพย์ ซึ่งแปลความได้สรุปไว้ใน Table 2

ผลแปลสภาพธรณีวิทยาของแหล่งทรัพย์ในเขตตากลูม และควนเนียง พบว่ามีลักษณะเนื้อสภาพละเอียด-ปานกลาง วรรณะสี (tone) บริเวณที่รับและริมทางน้ำสีเทาอ่อน ส่วนบริเวณลานตะพัคลำน้ำสีเข้มและลักษณะยอดขุ่นระ และเรียบของเขานหินปูนและเขานหินทรัพย์และพินดินดาน สีเทาปานกลาง ปรากฏการประสานสายชั้ดเจน (Figure 3)

ส่วนในเขตคลองอู่ตะเภา วรรณะสีเทาเบปรบวน เรียบ ทางน้ำเหลืองก็ไม่และนาน ภูมิประเทศเป็นทางน้ำ โถงด้วด ทะเลสาบรูปแยกและที่รับน้ำท่ามถึง (Figure 4) ส่วนเขตนาหมื่อม เนื้อสภาพปานกลางถึงหยาบ จะมีวรรณะสีเข้มในบริเวณเป็นเขายอดแหลม ส่วนสีเทาลึกลับอ่อน บริเวณสะสมกรุดทรัพย์ (Figure 5) แหล่งทรัพย์เขตจะนะ-เทพา ในที่รับและที่ลุ่มน้ำเนื้อสภาพละเอียดถึงปานกลาง สีเทาอ่อนถึงขาว ส่วนบริเวณที่เป็นเขากลูมชัน มีเนื้อสภาพปานกลางถึงหยาบ วรรณะสีเทา ริ้วธรรมากมาย (Figure 6)

2. การกระจายของศักยภาพแหล่งทรัพย์ก่อสร้าง

ผลการสำรวจศักยภาพแหล่งทรัพย์แบ่งออกได้เป็น 8 พื้นที่ย่อย อยู่ใน 4 เขต คือ เขตตากลูม-ควนเนียง เขตคลองอู่ตะเภา เขตนาหมื่อม และ เขตจะนะ-เทพา ดัง รายละเอียดต่อไปนี้

2.1 เขตตากลูม-ควนเนียง

พื้นที่ส่วนใหญ่เป็นที่รับ ที่รับลุ่มริมฝั่งทะเลสาบสงขลา มีทั้งเนินเตี้ยและภูเขาที่ไม่สูงมากนัก กระจายอยู่ห่างกัน ส่วนพากตะวันตกของพื้นที่ มีทิออกเข้าหาด



Figure 3. Aerial photograph showing feature of braided drainage pattern deposits (B) including , natural levee deposits, flood plain deposits, part of an alluvial high terrace (HT) and surrounded by limestone and sandstone-shale rocks (S) in Rattaphum-Khuan Niang deposit.

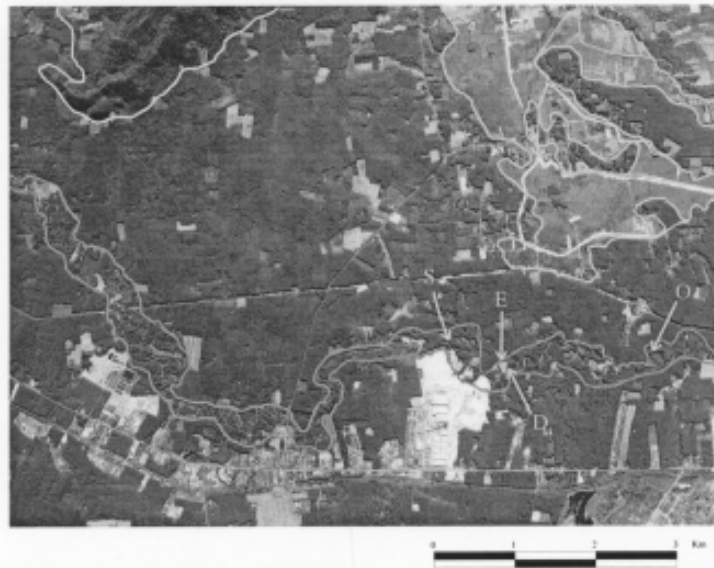


Figure 4. Aerial photograph showing features of a flood plain along U-Taphao. Erosion is taking place at (E) and deposition at (D). Meander scars and scrolls are seen at point (S). The oxbow lake at (O) is being filled by overflow sediments and by peat.

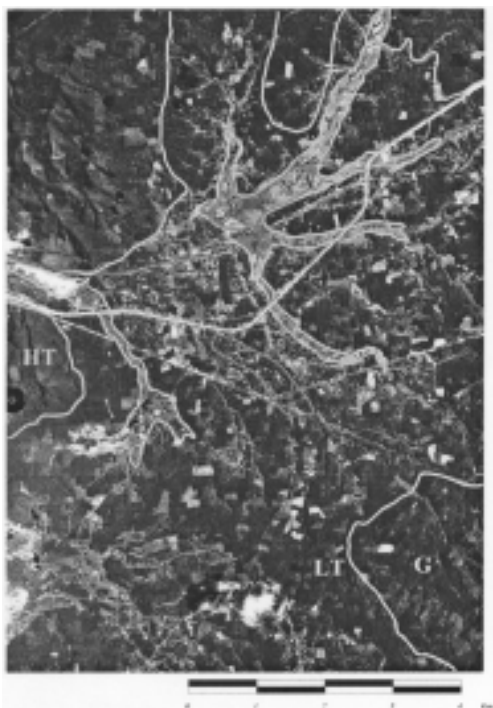


Figure 5. Aerial photograph showing view of alluvial plain (A) of Na Mom sand deposit. The small lower terraced fields (LT) are on the residual granite (G).

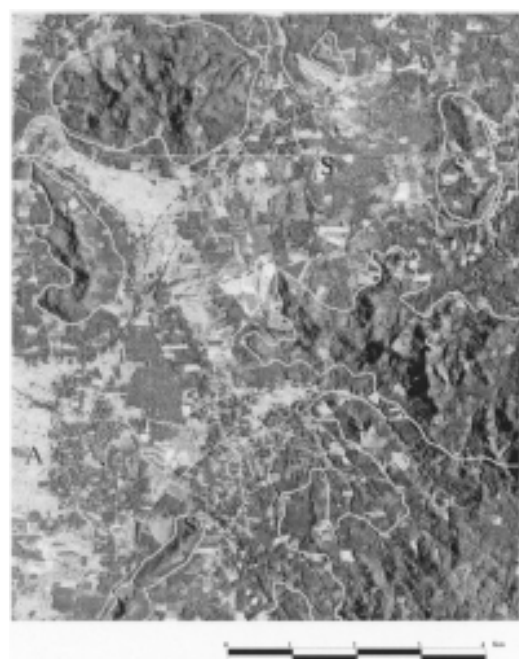


Figure 6. Aerial photograph showing view of an alluvial plain (A) and granite wash (GW) developed on the slope of mountain range of granite (G) and sandstone-shale (S) in Chana-Thepa deposit.

วางแผนที่อยู่ในแนวตะวันตกเฉียงเหนือ-ตะวันออกเฉียงใต้ และเป็นเขากhinบุนโดด อยู่บริเวณที่รับตะวันตกเฉียงเหนือของระว่างแผนที่

2.1.1 แบบรูปทางน้ำและลักษณะแองสะสม

ส่วนใหญ่เป็นพื้นที่รับและเนินเดี้ยง มีทางน้ำแบบรูปกิ่งไม้ (dendritic pattern) อยู่ในระยะมัชณิมวัยถึงปัจจุบันวัย มีทิศทางการไหลจากทิศตะวันตกไปยังทิศตะวันออกโดยประมาณ ลงสู่ทะเลสาบสงขลา ทางน้ำสายหลัก ได้แก่ คลองภูมิหรือคลองรัตภูมิ คลองเขาร้อน เป็นต้น

พื้นที่อำเภอรัตภูมิและอำเภอควนเนียง เป็นส่วนหนึ่งของขอบด้านทิศตะวันตกของแม่น้ำลุ่มน้ำทะเลสาบสงขลา (ดูนุพลดและคณ 2543) ดังนั้นตะกอนน้ำพามาจึงสะสมตัวน้อยทางตะวันตกและสะสมหนาขึ้นทางทิศตะวันออกของแหล่ง ซึ่งหินตันกำเนิดตะกอนที่สำคัญได้แก่ แนวเทือกหินแกรนิติกลา (central granite belt) ในเทือกเขาบรรทัดที่รอยต่อ กับจังหวัดสตูล เป็นหินยุคปลายไทรแอสซิก-จูแรสซิก (Triassic-Jurassic period) นอกรากนี้หินตะกอนเนื้อประสม (clastic sedimentary rocks) ยุคไชลูเรียน (Silurian) ดีโวนีียน (Devonian) และคาร์บอนิฟอรัส (Carboniferous) ได้แก่ หินทรายและหินกรวดมุน เป็นต้น สะสมในลักษณะสิ่งทับถมร่องน้ำ (channel deposits) และสิ่งทับถมขอบร่องน้ำ (channel margin deposits)

2.1.2 ธรณีวิทยาแหล่งทราย

พบว่ามีลักษณะการสะสมตัวของตะกอนแหล่งน้ำอยู่ในพื้นที่เป็นที่รับและที่ลุ่มต่ำ โดยเฉพาะบริเวณที่อยู่ใกล้เคียงกับคลองเขาร้อนและคลองรัตภูมิ ในกำแพงเพชรและบางแห่ง อ.รัตภูมิ มีป่าทรายเปิดดำเนินการอยู่และบ่อทรายเก่ากระจาอยู่เป็นหย่อมๆ บ่อทรายส่วนใหญ่มักมีน้ำท่วมขังอยู่ตลอดเวลา อันเป็นอุปสรรคแก่การตรวจดูชั้นหน้าทราย อย่างไรก็ตามสามารถแบ่งแหล่งทรายทางธรณีวิทยาออกได้เป็น 2 พื้นที่ย่อย (Figure 7) คือ

1) แหล่งทรายแรก มีตำแหน่งพิกัดยูทีเอ็ม 785622 เหนือ 643285 ตะวันออก ในแผนที่ภูมิประเทศ ระหว่าง 5023 II มีการสะสมตัวของตะกอนกรวดทราย ทรายแบ่ง และดินเหนียว มีความหนารวมทั้งหมดประมาณ 14 เมตร (Figure 8) ชั้นหินดิน (top soil)

เป็นดินเหนียวปนทรายแบ่งสีเทา-น้ำตาลแกมเหลือง แทรกสับด้วยชั้นบางๆ ของทรายขนาดเม็ดละเอียดถึงปานกลาง สีเทาขาว ลึกลงไปเป็นชั้นตะกอนทรายขนาดละเอียดถึงปานกลาง ที่สับออยู่กับชั้นตะกอนทรายขนาดปานกลางถึงหยาบมากและมีกรวดปนอยู่บ้างหนา 1-5 เมตร ในชั้นล่างของทรายส่วนนี้มีซากตันไม้ขนาดใหญ่ แทรกอยู่เป็นจำนวนมาก ชั้นหินดิน (bed rock) เป็นหินหินดิน (shale) สีเทาดำ-เทาแกมเหลือง ที่มีความผุสูง นอกจากนี้ยังพบแร่ไฟร์ตและมัสดโคไวร์ทะปะปนอยู่ โดยหินดินดาวรุนตัว S18 °E / 40 °S จัดอยู่ในหินยุคคาร์บอนิฟอรัส

2) แหล่งทราย มีตำแหน่งพิกัดยูทีเอ็ม 788174 เหนือ 647503 ตะวันออก มีความหนามาก จากหน้าเหมืองที่เปิดให้เห็นอยู่ ที่ความลึกประมาณ 17 เมตร ยังไม่พบชั้นหินดิน ชั้นหินดินที่ปิดทับ เป็นทรายแบ่งปนทรายละเอียด ดินเหนียวปนสีขาว เทาจางถึงน้ำตาล จาง มีพีต (peat) ปนมากในส่วนบน ชั้นถัดมาเป็นตะกอนทรายขนาดละเอียดถึงปานกลาง สีเทาถึงเหลืองอ่อน โดยมีชั้นทรายที่จับตัวกันแข็งประสานด้วยเหล็กออกไซด์สีน้ำตาลเข้ม เรียกว่า ชั้นดานเหล็ก (iron pan) ลึกลงไปเป็นชั้นทรายเม็ดขนาดปานกลางจนถึงกรวดขนาดใหญ่ ซึ่งมีสีขาวแกมเทาถึงเทา เหลืองชีด การคัดขนาดปานกลางถึงเลว (moderately to poor graded) แสดงลักษณะการวางชั้นเนียงระดับ (cross bedding) และที่ระดับความลึก 8-12 เมตร ปราภูชั้นทรายละเอียดแทรกสับกับพีตอยู่ถึง 8 ชั้นต่ำกว่ากัน นอกจากนี้ที่ระดับความลึกประมาณ 15 เมตร ก็ยังปราภูมีพีตอยู่ชั้นกัน แต่มีขนาดและปริมาณน้อยกว่าต่อนบนที่ได้กล่าวมา

2.2 เบตคลองอุต्तरฯ

คลองอุตฯ เป็นลำน้ำสายหลักที่ใหญ่ที่สุดในบริเวณลุ่มน้ำหาดใหญ่-สະเดา ที่ว่างตัวในแนวเหนือ-ใต้ มีชารน้ำขนาดเล็กหลายสายที่ไหลมาบรรจบกัน คลองสายนี้เริ่มจากบริเวณอำเภอสະเดา ไหลลัดเลาะมาทางทิศเหนือ ผ่านอำเภอคลองหอยโข่ง หาดใหญ่ บางกอกลำ แล้วไหลออกสู่ทะเลสาบสงขลา ด้านทิศตะวันออกของคลองอุตฯ ทางเหนือของแม่น้ำหาดใหญ่ด้านทิศตะวันออก เป็นบริเวณเนินสูง-ต่ำ ที่มีความกว้างไม่มากนัก โดยมีความลาดชันໄต่ระดับชั้นไปจนถึงบริเวณภูเขา มีริเวอร์ (rill) ไหลจากทิศตะวันออกมายังทิศตะวันตก ส่วนด้านทิศตะวันตก

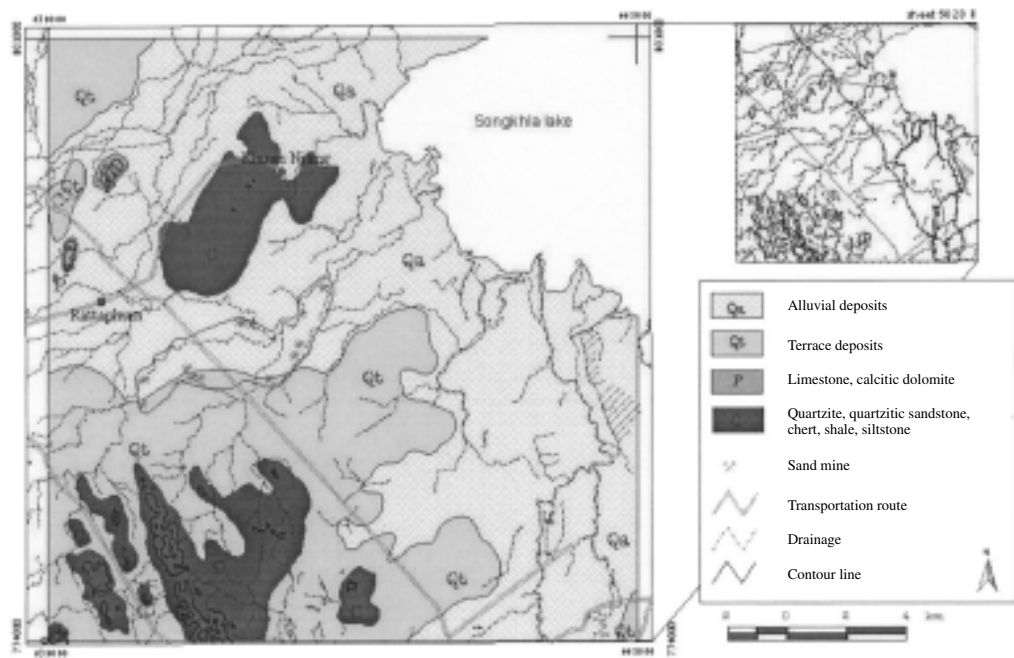


Figure 7. Geology, sand distribution and mine localities in Rattaphum-Khuan Niang area (modified from geological map 1:250,000)

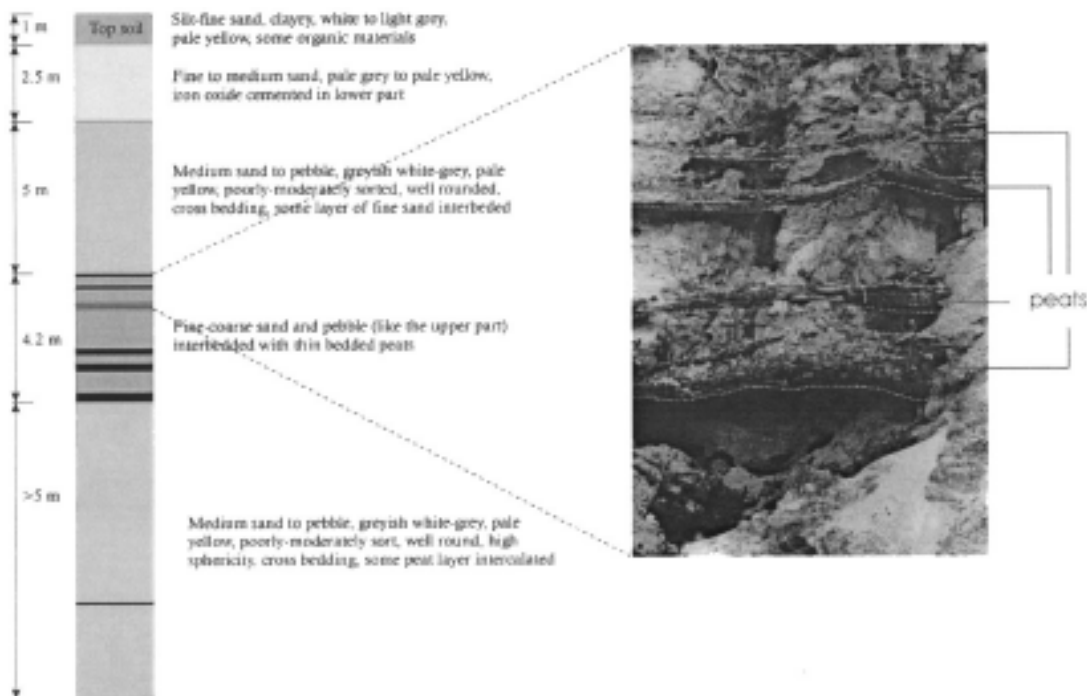


Figure 8. Litho-stratigraphic column of a) Rattaphum-Khuan Niang sand deposit and b) profile of sand deposit at a sand pit.

ของคลองอู่ตะเภา เป็นที่รากว้างใหญ่สลับด้วยเนินและลาดชันสูงขึ้นเมื่อเข้าใกล้ที่ออกเข้าสูง ที่อยู่ห่างจากคลองอู่ตะเภาไม่น้อยกว่า 15 กม.

2.2.1 แบบรูปทางน้ำและลักษณะแองสะสม

แองหาดใหญ่-สระเดา วางตัวเป็นแนวยาวเหนอ-ได มีภูเขาสูงและเนินขนาดใหญ่ทั้งสองข้าง ทางน้ำที่เกิดอยู่ในพื้นที่นี้จึงประกอบด้วย ร่องธาร (gully) อยู่มากmany ทั้งสองข้างของแม่น้ำ ในบางบริเวณมีแบบรูปทางน้ำกึ่งไม้ผสมกับแบบรูปทางน้ำขนาดใหญ่ ทางน้ำทั้งหมดของสองฝั่ง แองหาดใหญ่-สระเดา ให้ความร่วมเข้ากับคลองอู่ตะเภา ซึ่งกว้างประมาณ 15-30 เมตร มีลักษณะทางน้ำโค้งตัวด้วย (meander) และรอยทะเลสาบรูปแยก (oxbow scar) นอกจากนี้การหักมุมของแนวคลองอู่ตะเภาในบางบริเวณที่ขานานกับทางน้ำสาขา แสดงถึงแนวโครงสร้างทางธรณี-วิทยา ซึ่งสันนิษฐานว่าเป็นรอยเลื่อน (fault) ระดับห้องถิน มีแนวอยู่ทิศประมาณ N45°E (ดูนุพลและคณะ 2540)

จากการติดตามลักษณะทางน้ำโค้งตัวอยู่ตัว (entrenched meander) ของคลองอู่ตะเภา ด้วยแผนที่ภูมิประเทศ ปี พ.ศ. 2511 และ ปี พ.ศ. 2530 กับรูปถ่ายทางอากาศ พ.ศ. 2538 พบว่ามีลักษณะเป็นทางน้ำโค้งตัวดงอก (ingrown meander) ความคดโค้งของลำน้ำ มีการเปลี่ยนแปลงอยู่ตลอดเวลาจนเกิดคอกอด โดยเฉพาะในบริเวณส่วนปลายสายน้ำ จนทำให้กรุดทรัพย์ทับถมเกิดรอยทางน้ำโค้งตัว (meander scar) จำกัดอยู่ภายในเขตทางน้ำโค้งตัว (meander belt) มีความกว้าง 130-520 เมตร และมีความยาวตลอดสายน้ำประมาณ 25 กม.

2.2.2 ธรณีวิทยาแหล่งทรัพย์

แหล่งทรัพย์ขนาดน้ำทับถมอยู่ในรอยทะเลสาบรูปแยก ทางน้ำโค้งตัว และเนินตะกอนน้ำพา จากแหล่งทรัพย์ที่เปิดดำเนินการอยู่บริเวณสองฝั่งคลองอู่ตะเภา (Figure 9) พบว่าลักษณะตะกอนทรัพย์ ชั้นหน้าดินเป็นทรัพย์ละเอียด ทรัพย์แบ่ง และบางแห่งมีดินเหนียวปนเล็กน้อย มีความหนาจากผิวดินอยู่ในช่วง 2-7 เมตร ชั้นล่างถัดไปเป็นชั้นทรัพย์ละเอียดถึงทรัพย์หยาบปนกรวด ความลึกไม่เกิน 12 เมตรจากผิวดิน ในชั้นทรัพย์น้ำบางบริเวณจะพบชากดันไม้ปันอยู่ด้วย เช่น พื้นที่ตำบลบ้านพู ซึ่งมีลักษณะเช่นเดียวกับในเขตวัตภูมิ-ควนเนียง หินตันกำเนิดทรัพย์ ได้แก่ หินทรัพย์ แทรกสลับด้วยหินทรัพย์ปนกรวด

และหินทรัพย์แป้งของหมวดหินสารเตา ยุคเทอร์เชียรี (Tertiary) และหมวดหินนาทวี ยุคไทรแอสซิก (ดูนุพล 2540)

2.3 เบทนาหมื่นปี

มีลักษณะภูมิสังฐานเป็นหุบเข้าที่รายล้อมด้วยภูเขาสูงและเนิน พื้นที่ในหุบเข้าส่วนใหญ่มีลักษณะเป็นเนินเดียวๆ โดยมีที่รากแคนในบริเวณสองฝั่งของทางน้ำสายเล็กๆ อันได้แก่ คลองหวะ และคลองม่วง ที่ไหลมาบรรจบรวมกันก่อนไหลออกจากหุบเขามาทางทิศตะวันตก

2.3.1 แบบรูปทางน้ำและลักษณะแองสะสม

เป็นแหล่งทรัพย์ขนาดเล็กที่แยกกระจายแยกกันอยู่ 3 พื้นที่ย่อย (Figure 5) ครอบคลุมพื้นที่รวมทั้งหมด 2.791 ตร.กม. ซึ่งมีลักษณะดังนี้

1) พื้นที่แหล่งแรก อยู่บริเวณใกล้เคียงบ้านนาทองสุข ตำบลลุงขึ้น มีพื้นที่แหล่งทรัพย์ที่อยู่ใกล้ทางน้ำขนาดเล็กของคลองท่าหวานและคลองปลักโก ที่มีขอบเขตแหล่งทรัพย์คล้ายรูปตัว "C" กว้างไม่เกิน 300 เมตร ครอบคลุมพื้นที่ 0.854 ตร.กม.

2) พื้นที่แหล่งที่สอง อยู่ทิศตะวันออกของอำเภอหนองม่อม ประกอบด้วย 2 แหล่งย่อย คือแหล่งล่างบริเวณสองฝั่งคลองหวะ อยู่ในเขตตำบลลุงขึ้น มีพื้นที่แหล่งทรัพย์ครอบคลุมพื้นที่ประมาณ 0.792 ตร.กม. ยาว 2.1 กม. กว้างประมาณ 400 เมตร ส่วนแหล่งบนอยู่ในบริเวณที่รับสองฝั่งทางน้ำขนาดเล็กใกล้เคียงบ้านพลีคิวาย ในพื้นที่ตำบลหนองม่อม และตำบลพิจิตร พื้นที่แหล่งทรัพย์แหล่งที่สอง อยู่ในเขตวัตภูมิ-ควนเนียง หินตัน ครอบคลุมพื้นที่ 1.135 ตร.กม.

2.3.2 ธรณีวิทยาแหล่งทรัพย์

พื้นที่แหล่งทรัพย์ที่ตั้งตระหง่านอยู่ในบริเวณตะพักลำน้ำคลองหวะ (Figure 10) และทับถมจากการกร่อนแบบผิวแผ่น (slope wash) และทับถมริมทางน้ำปัจจุบันในหุบเข้า (Figure 11) ในบริเวณส่วนล่างใกล้บ้านนาทองสุข เป็นแหล่งทรัพย์ที่อยู่ใกล้กับทางน้ำที่พัดพาตะกอนจากภูเขาด้านทิศใต้เป็นระยะทางไม่เกิน 5 กม. ธรณีสังฐานส่วนใหญ่เป็นเนินที่มีที่รากแคนอยู่บนส่องผั้งธารน้ำขนาดเล็ก ตะกอนไม่หนา มีปริมาณกรวดขนาดใหญ่ปนอยู่สูง ซึ่งส่วนใหญ่เป็นแร่ควอตซ์ และมีกรวดของหินทรัพย์หินควอตซ์ไซด์ หินเซริต เป็นต้น มีรูปทรงกลมมน ผลสำรวจในบริเวณที่เปิดทำเหมือง พบว่าชั้นหน้าดินเป็นทรัพย์

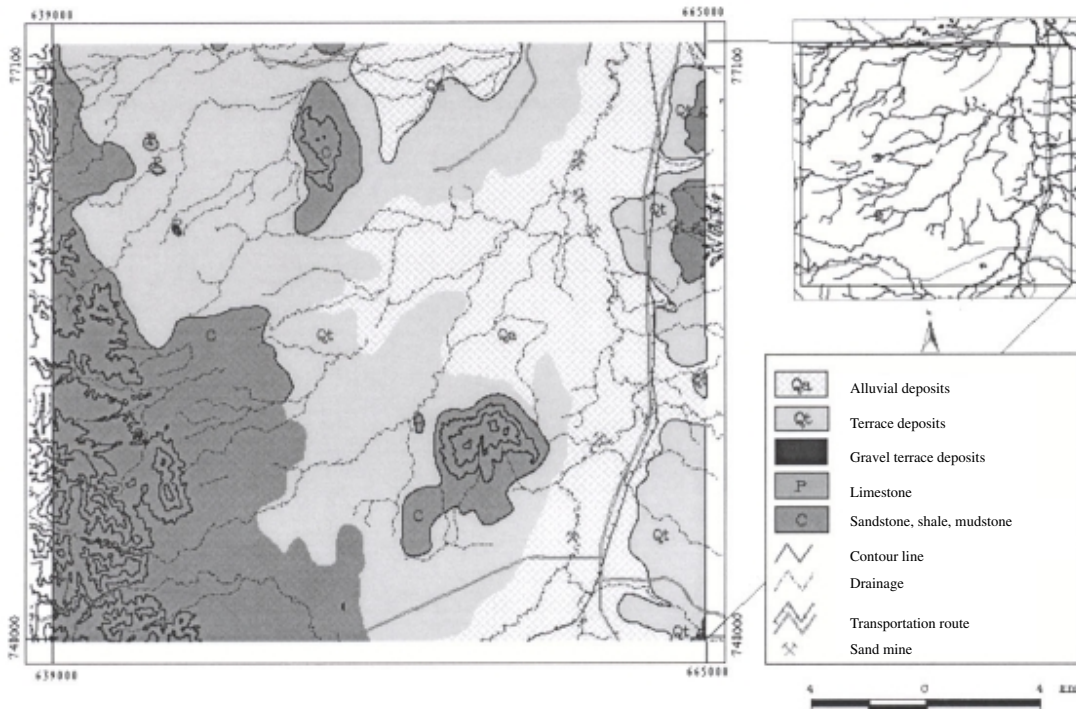


Figure 9. Geology, sand distribution and mine localities in U-Taphao area (modified from geological map 1:250,000)



Figure 10. Terrace gravel with erosion along road from Hat Yai to Na Mom.

บันกรวดและมีชั้นดินเหนียวสลับที่ หนาประมาณ 0.5 เมตร ถัดลงไปเป็นชั้นกรวดทราย ที่มีการกระจายขนาดค่อนข้างสม่ำเสมอมาก โดยทั่วไปสีค่อนข้างขาว สีน้ำตาลอ่อน มีความหนาประมาณ 1.5-3.0 เมตร บางบริเวณมีชั้นดาน

ดินเหนียว (claypan) สีดำ ซึ่งหนาประมาณ 1 เมตร แทรกสลับอยู่กับชั้นกรวดทรายดังกล่าว เช่นกัน

2.4 เขตตะนะ-เทpa

พื้นที่ด้านทิศเหนือของจุดอ่าวไทย มีลักษณะเป็นที่ราบ ที่ราบลุ่ม หาด และมีภูเขาขนาดเล็กถึงใหญ่กระจายอยู่ทั่วไป ด้านทิศใต้มีทั้งภูเขาโดยเด่นและเทือกเขาซึ่งขึ้นมาก วางแผนอยู่ในแนวประมาณเหนือ-ใต้ เป็นที่ราบ ที่ราบลุ่ม และลานหินพัง (scree) มีริมาราหรายทิศทางที่ให้หลงมาตามเทือกเขา พัดพาตะกอนมาสะสมสู่เนื้องล่าง ก่อนที่จะไปรวมกับทางน้ำหลัก อันได้แก่ คลองสะกอม และแม่น้ำเทpa ที่ให้หลงสู่อ่าวไทยทางทิศเหนือ

2.4.1 แบบรูปทางน้ำและลักษณะแองสะสม

บรรดาธาร้ำธารได้พาตะกอนกรวด ทราย มะสะสมตัว มีลักษณะทางน้ำแบบกิงไม้ โดยผังเขตอ่าເກອຈະນະມีทิศทางการไหลไปทางทิศตะวันออกเฉียงเหนือก่อน ย้อนกลับไปทางทิศเหนือ รวมกับทางน้ำสายหลักให้หลงสู่อ่าวไทย ตะกอนสะสมตัวอยู่ใน 2 พื้นที่ย่อยที่ต่อเนื่องกัน (Figure 6) คือ

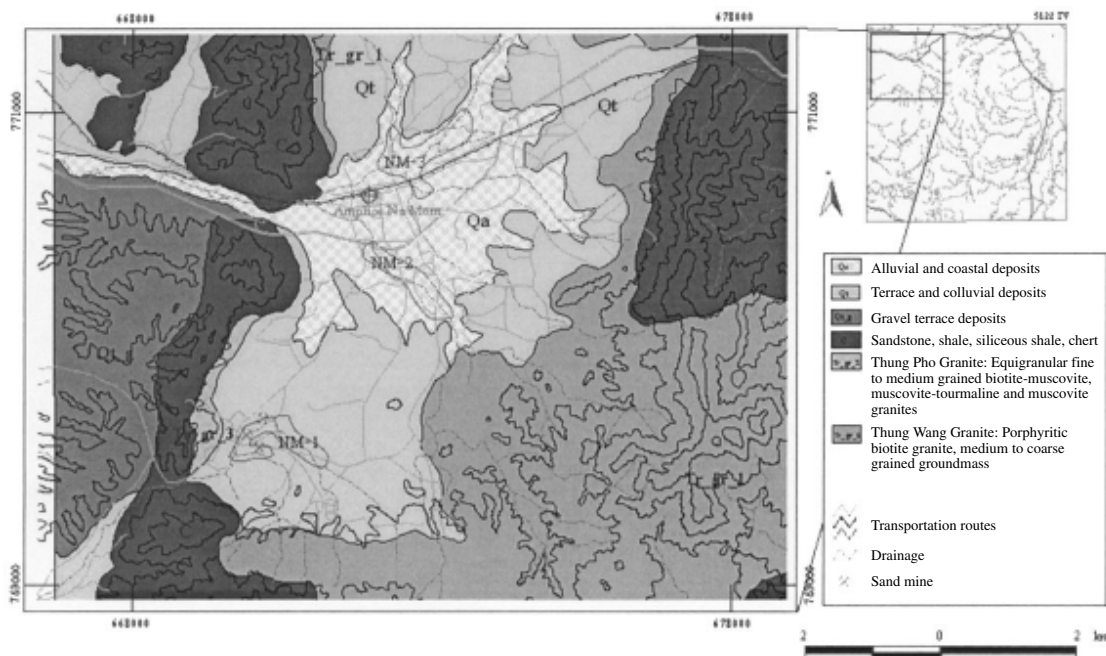


Figure 11. Geology, sand distribution and mine localities in Na Mom area (after Nakapadungrat and Chaisen, 1986)

1) พื้นที่ย่อยแรก อยู่ที่ลาดชันติดกับภูเขาที่เป็นต้นกำเนิดของตระกอน ลักษณะธรณีสัณฐานเริ่มเปลี่ยนจากที่ร่วนทางด้านทิศตะวันตกมาเป็นเนินเดี้ยทางด้านทิศตะวันออก ได้แก่ บริเวณบ้านสะพานไม้แก่นตากและสะพานไม้แก่นกลาง

2) ส่วนพื้นที่ย่อยที่สอง เป็นพื้นที่ร่วนและที่ร่วนลุ่มที่ต่อเนื่องมาจากทางทิศเหนือ มีธารประสานสาย (braided stream) ปรากฏอยู่ เป็นพื้นที่นาและปล่อยทึ้งรกร้างไว้ บางบริเวณมีน้ำขังอยู่ ทางทิศตะวันออกของควนล้านและความจำศิล อันเป็นพื้นที่รกรอยต่อระหว่างอำเภอจะนะกับอำเภอเทพา

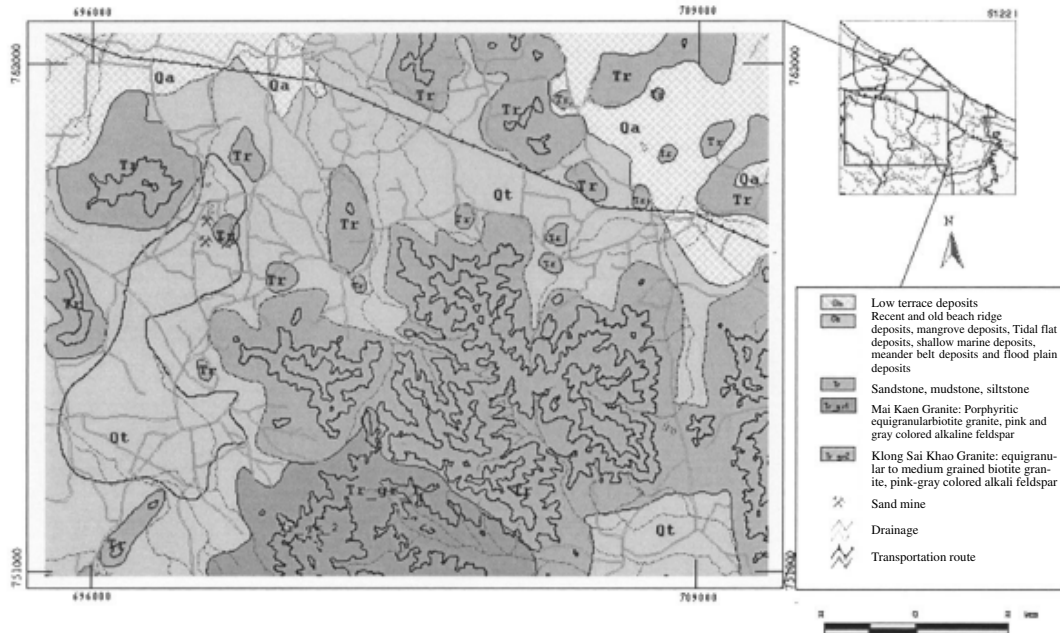
2.4.2 ธรณีวิทยาแหล่งทราย

ศักยภาพแหล่งทรายมีการสะสมจากการกร่อนแบบผิวแผ่น และลานหินพัง (Figure 12) ในพื้นที่นี้ มีบ่อทรายเปิดดำเนินการอยู่ 1 เหمفอง (ทรายทึ้งจากการทำเหมืองดีบุก) และบ่อเก่า 2 แห่ง ซึ่งอยู่ใกล้กันในบริเวณที่ร่วนลุ่มทางด้านทิศตะวันออกของควนจำศิล อ.จะนะ ซึ่งเป็นบริเวณส่วนหนึ่งของพื้นที่ศักยภาพแหล่งทรายที่ได้จากการแปลความรูปถ่ายทางอากาศ บ่อทรายจะมีน้ำขัง

อยู่มาก จึงเป็นอุปสรรคแก่การเก็บข้อมูลลักษณะชั้นทรายที่ไม่สามารถทำได้มากนัก

ในบริเวณที่เปิดบ่อเป็นที่ร่วนลุ่ม ชั้นหินดินเป็นทรายละเอียด ทรายແပัง มีดินเหนียวปน สีเทาถึงเทาดำ หนาไม่เกิน 1 เมตร มีพืดปน ถัดลงไปเป็นชั้นทรายหยาบปนกรวด โดยทั่วไปสีค่อนข้างขาวถึงเหลือง ในบางจุดระหว่างชั้นนี้กับหินดิน มีชั้นด้านเหล็ก สีน้ำตาลซึ่งหนาไม่เกิน 30 ซม. ทรายในชั้นถัดลงไปอยู่ลึกประมาณ 5-15 เมตร

สำหรับตะกอนที่สะสมตัวเป็นเนินเดี้ยนนั้น เม็ดตะกอนทรายมีขนาดใหญ่ถึงใหญ่มาก คล้ายกับทรายละเอียด (Table 2) จากการสังเกตพิน指出ที่ก่อนตัดผ่านและรีบดึงธารน้ำ พบร่วมตะกอนพัดพาอยู่ไม่ไกลจากหินตันกำเนิดมากนัก เนื่องจากพบว่ามีหินใบโอลอไทร์แกรนิตและหัวร์มาลีน-ใบโอลอไทร์แกรนิต โผล่อยู่บริเวณภูเขาด้านทิศตะวันออก มีทั้งเนื้อขนาดเดียวและเนื้อดอก (สมชัย และคณะ, 2539) ซึ่งอยู่ในแนวเทือกหินแกรนิตกลางของยุคไทรแอสซิก



**Figure 12. Geology, sand distribution and mine localities in Chana-Thepha area
(after Nakapadungrat *et al.*, 1988)**

3. ผลสำรวจด้านธรณีไฟฟ้า

การแปลผลได้สังเกตลักษณะรูปร่างเส้นโค้งความต้านทานจำเพาะสัมพัทธ์ที่เปลี่ยนแปลงมากเป็นหลัก เนื่องจากลักษณะธรณีวิทยาบริเวณทั่วถดทั่วถอกอนไม่มีความซับซ้อนของกำเนิดและโครงสร้าง กอนประกบเป็นตะกอนที่โดยเด่นในแหล่งทรัพยากร่องออกเป็นกลุ่มได้เพียง 2-3 ชนิดเท่านั้น ค่าความต้านทานจำเพาะประกายและความหนาของชั้นต่างๆ พบว่าโดยทั่วไปมีชั้นใต้ดินแบ่งออกได้ 3 ชั้น (Table 3) ชั้นหน้าดินมีความหนาในช่วง 0.5-12.6 เมตร มีค่าความต้านทานไฟฟ้าเฉลี่ยอยู่ในช่วงระหว่าง >166->1,011 โอห์ม-เมตร ลักษณะลงไปเป็นชั้นกรวดทรายหนาในอยู่ช่วง 1.5-45.4 เมตร มีค่าความต้านทานไฟฟ้าเฉลี่ยอยู่ในช่วงระหว่าง 41-694 โอห์ม-เมตร และความลึกชั้นหินดานผุ และ/หรือหินดานพบว่าเส้นโค้งความต้านทานจะโค้งบิดอย่างชัดเจน เมื่อเทียบกับเส้นโค้งของชั้นตะกอนต่างๆ ที่วางอยู่ต่อหน้า (Figure 13) มีค่าความต้านทานไฟฟ้าเฉลี่ย ในพิสัย 6-36 โอห์ม-เมตร เส้นโค้งที่คำนวณทำบั่นคู่กับค่าที่วัดจากในสนามนั้น มีค่าผิดพลาดรากยกกำลังสองเฉลี่ยในพิสัย 2-4

4. คุณภาพทรัพยากร่องสัน

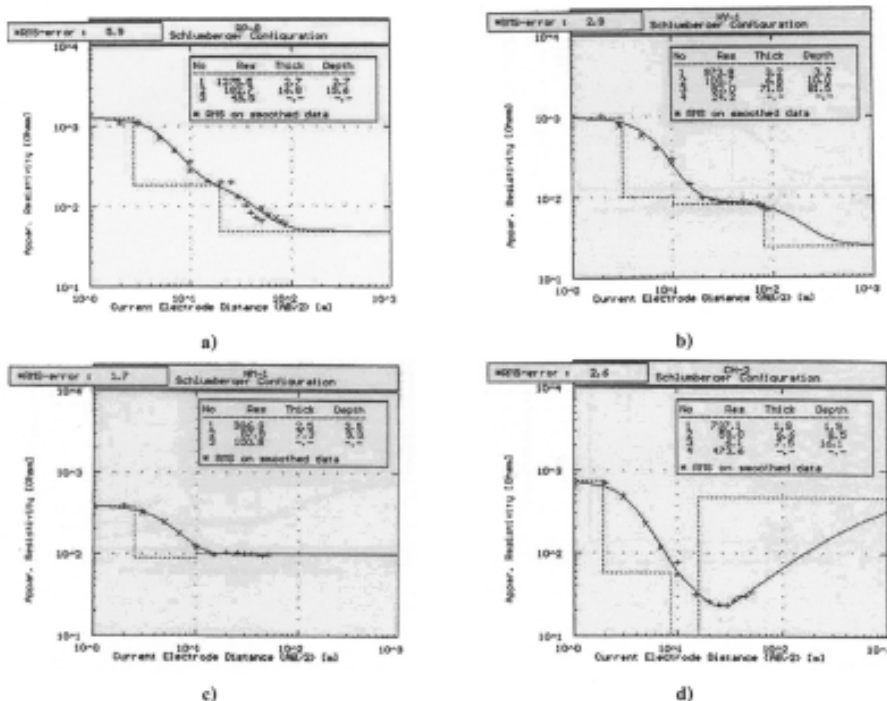
การจำแนกคุณภาพในที่นี้เน้นตามการประยุกต์ในงานถม บุนบลาสเตอร์และมอร์ต้าร์ และคอนกรีตเป็นหลัก มีปริมาณส่วนน้อยนำไปใช้ในอุตสาหกรรม เช่น เชื้อถลุงในการหลอม และงานหล่อโลหะ เป็นต้น

4.1 ศึกษาธรณนา

ภายใต้กล้องกำลังขยาย พบร่องรอยของเม็ดทรายกลมมนั้นพบแต่เฉพาะในแหล่งคลองอู่ตะเภาเท่านั้น แหล่งอื่นนอกนั้นค่อนข้างเป็นเหลี่ยมถึงกึ่งมน (Table 2) มีข้อสังเกตว่าเป็นแหล่งอยู่ใกล้หินดันกำเนิด วัสดุองค์ประกอบในรายที่พบส่วนใหญ่ ได้แก่ แร่ควอตซ์ เฟลต์-สปาร์ มีปนเล็กน้อย ได้แก่ หัวร์มาลีน ไมกา (Table 5) ถึงแม้ว่าแร่ไฟโรคต์ มัลโคไวต์และไบอิทมีผลเสียต่อคุณค่า บุนบลาสเตอร์และมอร์ต้าร์ แต่ก็มีปริมาณต่ำกว่า 3% อันไม่ก่อความเสียหาย (SABS 1083, SABS 1090) นอกจากนี้ยังพบเศษหินเชิร์ต หินทราย หินดินดาน หินโคลน (mudstone) หินทรายแบ่ง และพีต

Table 3. Summary of the average vertical electrical sounding depth of sand deposits

Thickness of formations, m	Rattaphum-Khuan Niang	U-Taphao	Na Mom	Chana-Thepha
Overburden, m.	0.0-9.4	0.0-12.6	0.0-6.9	0.0-4.3
Gravel-sand bed, m.	1.2-36.0	1.1-51.9	0.5-14.1	1.3-11.9
Weathered bed rocks, m.	>7.0->25.5	>6.8->51.9	0.8-36.5	>6.1-21.6
Bed rocks, m	> 16.9	-	>5.3->36.5	>16.0->21.6

**Figure 13. Geoelectrical layers interpretation of sand deposits in region of a) Rattaphum-Khuan Niang, (RP-8) b) U-Taphao (UT-1), c) Na Mom (NM-1) and d) Chana-Thepha (CH-2).**

4.2 การคละขนาดและจำแนกประเภท

จากการวิเคราะห์ลักษณะการกระจายขนาดของเม็ดทรายชนิดเม็ดละเอียด พบร่วมทรายทึบหมัดค่อนข้างอยู่ในเกณฑ์กำหนดของ ASTM C 33 (Figure 14) ค่าโมดูลส์ความละเอียดอยู่ในพิสัย 2.40-3.70 เฉลี่ย 2.98 มีความเบี่ยงเบนมาตรฐาน 0.40 และค่าที่ไม่บ่งถึงการคละ แต่ก็เป็นปัจจัยมีประโยชน์ระบุลึงความแปรผันย่อยในการคัดขนาดของทรายจากแหล่งเดียว กัน บรรดาลักษณะที่ขนาดเล็กกว่า 75 ไมโครเมตร (ทรายแบ่งและดินเหนียว) มีเพียง 0.2-3.78% เกินกว่ามาตรฐาน 3% เล็กน้อย จัดว่า

เหมาะสมตัวอย่างทรายทึบหมัดจำแนกกลุ่มตาม AASHTO พบว่าอยู่ในกลุ่ม A-1-b (Table 4) นั่นคือ มีการคละขนาดดีประกอบด้วย กรวด ทรายหยาบ ทรายละเอียดและปราศจากดินที่มีสภาพพลาสติกหรือมีเล็กน้อยปนอยู่ และหากจำแนกตามระบบดินเอกสารฯ พบร่วมแบ่งออกได้ 2 กลุ่มใหญ่ คือ กลุ่ม SP (ทรายสะอาดที่มีการคละขนาดเล็ก ทรายปนกรวด มีส่วนละเอียดปนเล็กน้อยหรือไม่มี) จำนวน 13 ตัวอย่าง และกลุ่ม SW (ทรายสะอาดที่มีการคละขนาดดี ทรายปนกรวด มีส่วนละเอียดปนเล็กน้อยหรือไม่มี) จำนวน 5 ตัวอย่าง

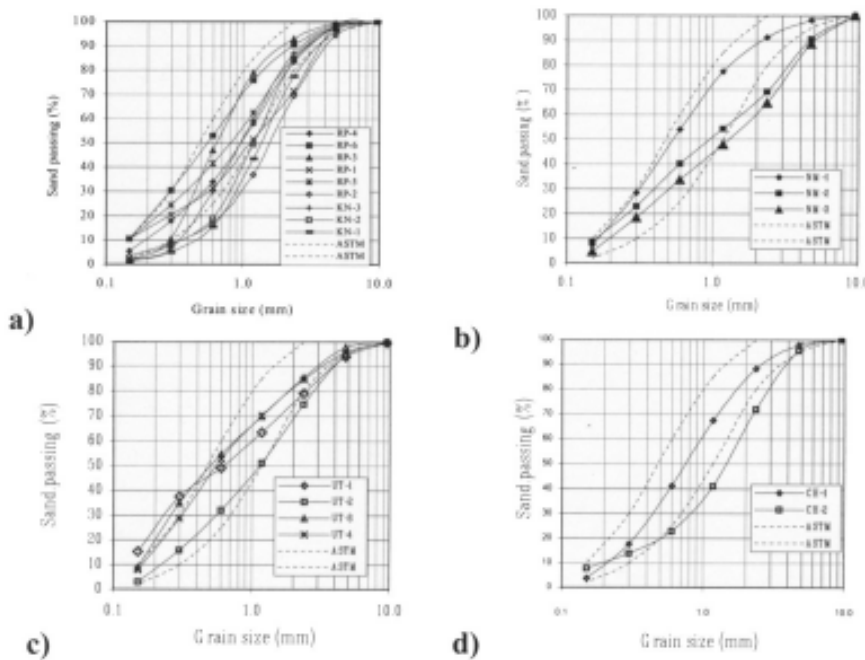


Figure 14. Grain size distribution curves of the sand samples from region of a) Rattaphum-Khuan Niang, b) U-Taphao, c) Na Mom and d) Chana-Thepha superimposed on grading of ASTM required upper and lower limits for fine aggregates.

Table 4. Results of physical and chemical properties on the sand samples of Songkhla province

Region	Sample number	S.G.	Absorption , %	Soundness	Fineness Modulus	AASHTO	USC
Rattaphum-Khuan Niang	RP-1	2.63	0.68	4.06	3.07	A-1-b	SW
	RP-2	2.65	0.80	2.53	3.70	A-1-b	SP
	RP-3	2.64	0.51	5.09	2.69	A-1-b	SP
	RP-4	2.64	0.39	6.49	3.00	A-1-b	SW
	RP-5	2.64	0.72	10.01	2.92	A-1-b	SW
	RP-6	2.65	0.78	6.28	2.40	A-1-b	SP
	KN-1	2.64	0.69	12.54	3.60	A-1-b	SP
	KN-2	2.64	0.44	14.76	3.39	A-1-b	SP
	KN-3	2.65	0.41	12.05	3.14	A-1-b	SP
	UT-1	2.65	0.39	3.34	2.62	A-1-b	SP
U-Taphao	UT-2	2.64	0.19	3.03	3.29	A-1-b	SP
	UT-3	2.64	0.18	5.37	2.84	A-1-b	SP
	UT-4	2.64	0.28	11.68	2.60	A-1-b	SP
	NM-1	2.67	1.00	10.64	2.44	A-1-b	SP
Na Mom	NM-2	2.64	0.64	11.68	3.14	A-1-b	SP
	NM-3	2.64	0.65	15.46	3.42	A-1-b	SW
Chana-Thepha	CH-1	2.64	0.59	11.38	2.84	A-1-b	SP
	CH-2	2.66	1.12	7.73	2.47	A-1-b	SW

Table 5. Mineral composition and silica oxide contents

Region	Sample number	Essential particles	Organic impurities	SiO ₂ (%)
Rattaphum-Khuan Niang	RP-1	Smoky quartz, milky quartz and rock crystal more than 85 % of composition, feldspar and rock fragments of chert, peat and trace elements of tourmaline, biotite and muscovite	2 2 1 2 2 1 3 4 2	91.36 94.32 94.99 92.72 93.05 92.45 95.28 95.13 93.31
	RP-2			
	RP-3			
	RP-4			
	RP-5			
	RP-6			
	KN-1			
	KN-2			
	KN-3			
U-Taphao	UT-1	Quartz, feldspar, small amount of tourmaline and rock fragments of chert, sandstone, shale, mudstone, and siltstone	1 2 2 3	97.12 97.80 97.48 97.63
	UT-2			
	UT-3			
	UT-4			
Na Mom	NM-1	Quartz, feldspar, small amount of tourmaline and muscovite	5 5 1	91.12 89.93 94.12
	NM-2			
	NM-3			
Chana-Thepha	CH-1	Mainly milky quartz to rock crystal, feldspar, few biotite and tourmaline	1	94.89
	CH-2		5	96.29

Table 6. Requirements for buffer zone and nature reserves for evaluation of building sand deposits in this study

List of items	Information feature	Buffer zone distance
1. Mineral Statutory 1967 modified 1994	line	
1.1 Transportations		
- Principle road		100 m
- Minor road		50 m
1.2 Drainage or sources	line	50 m
2. Nature reserve	area	-
3. Republic area	point	-

4.3 ความถ่วงจำเพาะและการดูดซึมน้ำ

ค่าความถ่วงจำเพาะของทรายมีค่าสูงสุด 2.67 ของแหล่งน้ำหน้ม่อม ค่าต่ำสุด 2.63 ของแหล่งรัตนภูมิ-ควนเนียง ซึ่งค่าเฉลี่ยทุกแหล่ง 2.64 ความเบี่ยงเบนมาตรฐาน 0.09 และ ค่าการดูดซึมน้ำสูงสุดเป็น 1.12% ของแหล่งจะนะ-เทพา ค่าต่ำสุดเป็น 0.18% ของแหล่งคลองอุตตะเกา (Table 4) มีค่าเฉลี่ยทุกแหล่งอยู่ที่จำนวน 0.58% ความเบี่ยงเบนมาตรฐาน 0.26% ซึ่งค่าการดูด

ซึมน้ำของมวลรวมละเอียดไม่ควรเกิน 3% เพราะจะมีผลต่อความสามารถให้ได้ (workability) ของส่วนผสมและกำลังอัดของคอนกรีต (Collis and Fox, 1985)

4.4 สารอินทรีย์ การคงตัว และ ปริมาณชิลิกา-**ออกไซด์**

ตัวอย่างทรายหั้งหมุดมีปริมาณสารอินทรีย์ที่เจือปนถึงขั้นเป็นสารอันตรายต่อคอนกรีต (deleterious substances) มีค่าเกิน 3 (ค่ามาตรฐาน) อยู่จำนวน 4

ตัวอย่าง (Table 4) ส่วนผลตรวจสัดมีความหนาแน่นต่ำ คือ พืด ที่พบในตัวอย่างจากแหล่งรัตภูมิ-ควนเนียง และแหล่งคลองอู่ตะเภา บางครังเกินเกณฑ์ 1.0% (ASTM C 33) ค่าการคงตัวอยู่ในช่วง 2.53-15.46 % (Table 4) โดยแหล่งควนเนียงและนาหมื่นมีค่าค่อนข้างสูง อย่างไร ก็ตามค่าเฉลี่ยหั้งหมุดอยู่ในระดับปานกลาง เมื่อเทียบกับที่ยอมให้สูงหายได้ไม่เกิน 10% สำหรับมวลรวมละเอียด (ASTM C 33) ส่วนปริมาณของซิลิกาต่ำกว่า 98.5% คือ มีค่าอยู่ระหว่าง 89.93-97.8% (Table 4) ซึ่งจัดเป็น ทรัพยากริมแม่น้ำที่ได้จากการหลอมและในงานหล่อโลหะได้เช่นกัน

5. ประมาณพื้นที่แหล่งทรัพยากริมแม่น้ำ

จากฐานข้อมูลศักยภาพแหล่งทรัพยากริมแม่น้ำที่ได้จากการแปลงแบบทางอากาศ เป็นหลัก (ดันพูลและคุณ 2544) ที่อยู่ในระบบสารสนเทศภูมิศาสตร์ Arc/Info นำเข้าพิจารณาร่วมกับฐานข้อมูลของพื้นที่ต้องกันออก ได้แก่ ทางน้ำสาธารณะ ทางคมนาคม พื้นที่สาธารณะชุมชน ถึงจะได้พื้นที่คงเหลือ (Figure 2) เพื่อประกอบการพิจารณาทำเหมืองทรัพยากริมแม่น้ำ ตั้งมีรายละเอียดในแต่ละแหล่งดังนี้

5.1 เขตตัตภูมิ-ควนเนียง

ในพื้นที่อยู่ 2 แหล่ง พื้นที่ศักยภาพแหล่งทรัพยากริมแม่น้ำที่มีหั้งหมุด 21.024 ตร.กม. (Table 7) และมีพื้นที่อาจได้รับผลกระทบจากการพัฒนาทำเหมืองทรัพยากริมแม่น้ำ 5.326 ตร.กม. ดังนั้นคงเหลือพื้นที่ศักยภาพแหล่งทรัพยากริมแม่น้ำอยู่ 15.697 ตร.กม. (Figure 15)

5.2 เขตคลองอู่ตะเภา

พื้นที่ศักยภาพแหล่งทรัพยากริมแม่น้ำที่หั้งหมุด 8.421 ตร.กม. (Table 7) ส่วนใหญ่อยู่ในเขตสองริมฝั่งและที่ราบล่างแม่น้ำ จึงประเมินว่ามีพื้นที่ได้รับผลกระทบจากการพัฒนาทำเหมืองทรัพยากริมแม่น้ำ 3.925 ตร.กม. ดังนั้นคงเหลือพื้นที่ศักยภาพแหล่งทรัพยากริมแม่น้ำอยู่ประมาณ 4.496 ตร.กม. (Figure 16)

5.3 เขตนาหมื่น

มีพื้นที่อยู่ 3 บริเวณ เป็นหย่อมอยู่ในหุบแม่น้ำหมื่น มีหั้งหมุด 2.780 ตร.กม. (Table 7) จึงมีพื้นที่อาจได้รับผลกระทบจากการพัฒนาทำเหมืองทรัพยากริมแม่น้ำ 1.445 ตร.กม. ดังนั้นคงเหลือพื้นที่ศักยภาพแหล่งทรัพยากริมแม่น้ำอยู่ 1.335 ตร.กม. (Figure 17)

5.4 เขตจันะ-เทพา

พื้นที่อยู่หั้งสองแห่ง เป็นหย่อมอยู่ในเขตจันะ-เทพา หั้งหมุด 13.859 ตร.กม. (Table 7) จึงมีพื้นที่อาจได้รับผลกระทบจากการพัฒนาทำเหมืองทรัพยากริมแม่น้ำ 3.852 ตร.กม. ดังนั้นคงเหลือพื้นที่ศักยภาพแหล่งทรัพยากริมแม่น้ำอยู่ 10.007 ตร.กม. (Figure 18)

6. ประเมินความหนาและปริมาณสำรองแหล่งทรัพยากริมแม่น้ำ

ผลการสำรวจความลึกตามบ่อทรัพยากริมแม่น้ำที่ตั้งสถานที่ไฟฟ้า พอกอนามความหนาได้จากการสำรวจชั้นความหนาและความหนาเฉลี่ย มีรายละเอียดแต่ละแหล่งดังนี้

6.1 เขตตัตภูมิ-ควนเนียง

จุดสำรวจความลึกแหล่งที่หั้งหมุด 13 จุด (Table 3) กระจายคลุ่มพื้นที่ จำกความหนาชั้นทรัพยากริมแม่น้ำ

Table 7. Summary of buffer zone and remaining sand areas by ArcView processing

Subarea	Buffer zone (km^2)			Total buffer zone area (km^2)	Remaining resources (km^2)
	Transportation	Drainage	Public zones		
Rattaphum-Khuan Niang	2.773	2.653	0.050	5.326	15.697
U-Taphao	0.430	3.642	0.044	3.925	4.496
Chana-Thepha	2.728	1.189	0.125	3.852	10.007
Na Mom-1	0.175	0.309	-	0.433	0.421
Na Mom-2	0.360	0.206	0.009	0.467	0.325
Na Mom-3	0.175	0.450	-	0.545	0.590

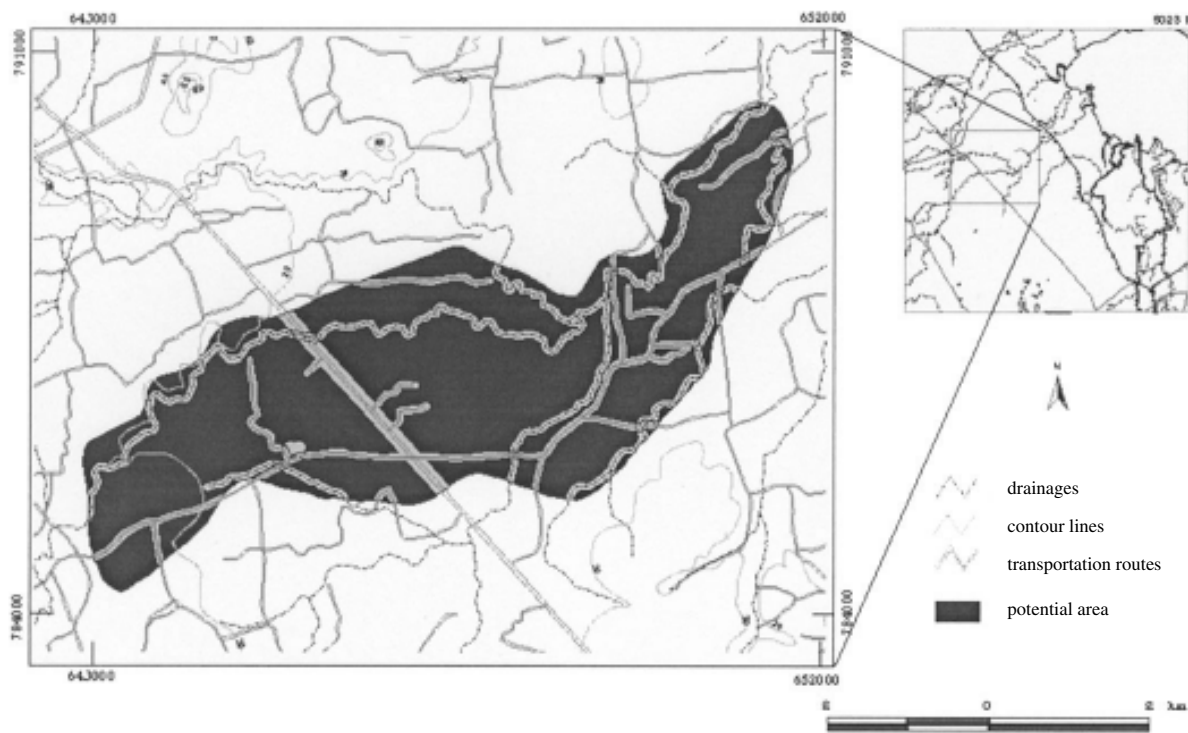


Figure 15. Rattaphum-Khuan Niang potential building sand deposit and buffer zone areas.

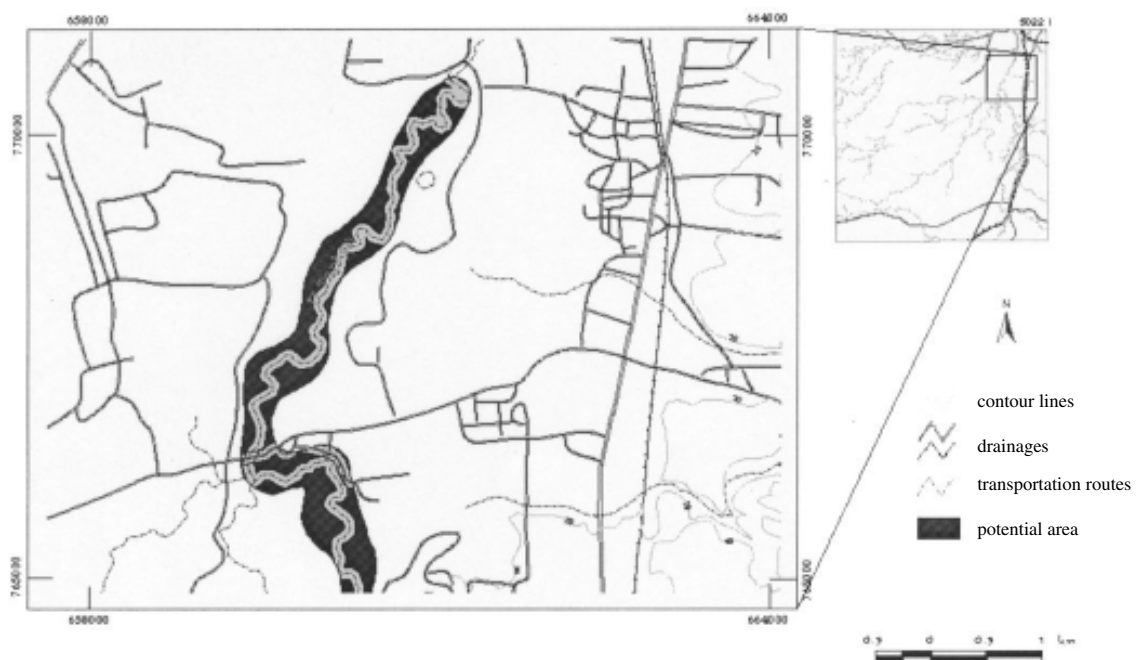


Figure 16. Some U-Taphao potential building sand deposit with buffer zone areas.

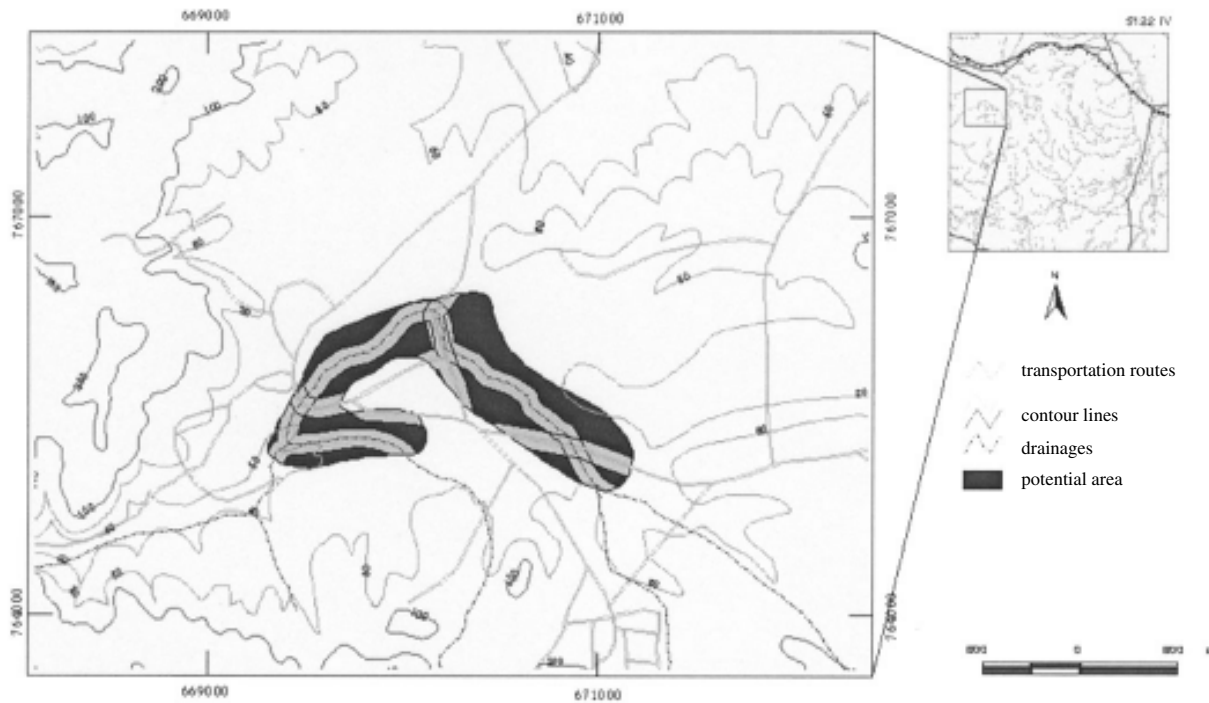


Figure 17. Na Mom potential building sand deposit with buffer zone areas.

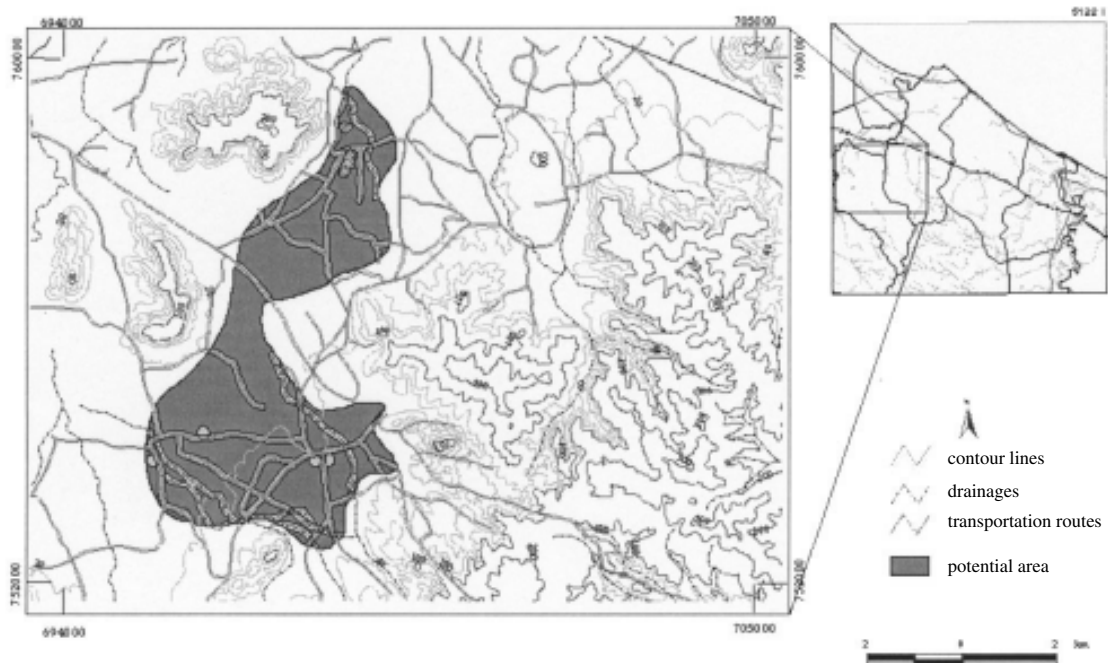


Figure 18. Chana-Thepha potential building sand deposit with buffer zone areas.

แปลผลจากความต้านทานไฟฟ้าในแต่ละจุดสำรวจ สร้างแผนที่ความหนา (Figure 19a) มีชั้นความหนาตั้งแต่ 0-28 เมตร (Table 9) ได้ปริมาณสำรอง 305,713,097 ลบ.เมตร และในส่วนปริมาตรของพื้นที่กันชนได้ใช้ความหนาเฉลี่ย 14.34 เมตร (Table 8) คุณกับพื้นที่กันชน (Table 7) ออกมากได้เป็น 76,373,314 ลบ.เมตร คงเหลือพื้นที่ศักยภาพเหล่งทรายจำนวน 229,332,389 ลบ.เมตร หรือ 605.35 ล้านเมตริกตัน (Table 10)

6.2 เขตคลองอู่ตะเภา

ลักษณะภูมิสังเคราะห์ของแหล่งทรายนี้ค่อนข้างแคบและสะสมไปตามความยาวคลองอู่ตะเภา กว้างประมาณ 130-520 เมตร ดังนั้นบรรดาจุดสำรวจความลึกจากความต้านทานไฟฟ้าเหล่านี้ทั้งหมด 13 จุด (Table 3) จึงกระจายไปตามความยาวของคลอง ไม่สามารถสร้างความหนาชั้นทรายในรูปแผนที่ชั้นความหนาที่นำเสนอถือได้ว่าความหนาชั้นทรายที่ความลึกไม่เกิน 50 เมตร มีค่าอยู่ในช่วง 5.7-45.4 เมตร เฉลี่ยความหนา 16.92 เมตร (Table 8) มาคำนวณกับปริมาณพื้นที่ได้จากการประมวลด้วย ArcView ได้แหล่งทรายนี้ทั้งหมด 8,420,843 ตร.เมตร พื้นที่กันชน 3,924,866 ตร.เมตร พื้นที่ทรายคงเหลือ 4,495,977 ตร.เมตร (Table 7) นั้น คือปริมาณสำรองเหล่งทรายที่อนุมานคงเหลือ 76,071,931 ลบ.เมตร หรือประมาณ 200.83 ล้านเมตริกตัน (Table 10)

6.3 เขตนาหมื่อม

ความหนาชั้นทรายที่แปลผลจากความต้านทานไฟฟ้าในแต่ละจุดสำรวจที่มีจำนวนน้อยและพบว่าแหล่ง NM-2 นั้นความหนาไม่เท่ากันในเชิงพาณิชย์ จึงพิจารณาเฉพาะความหนาเฉลี่ยของแหล่ง NM-1 และ NM-3 ได้ 3.95 และ 5.95 เมตร ตามลำดับ (Table 8) เมื่อคุณกับพื้นที่แหล่งทรายคงเหลือ (Table 7) ก็จะได้เป็นปริมาณสำรองเหล่งทรายอนุมานของ NM-1 และ NM-3 เป็นปริมาณประมาณ 1,661,611 และ 5,172,641 ลบ.เมตร หรือประมาณ 4.4 และ 9.3 ล้านเมตริกตัน ตามลำดับ (Table 10)

6.4 เขตจะนะ-เทพา

ครอบคลุมพื้นที่ 13.8 ตร.กม. (Table 7) จากความหนาชั้นทรายที่แปลผลจากความต้านทานไฟฟ้าในจุดสำรวจความลึกไม่เกิน 50 เมตร ทั้งหมด 11 จุด มีความหนาอยู่ในพิสัย 4.6-10.0 เมตร มีความหนาเฉลี่ย 7.34 เมตร (Table 8) แบ่งชั้นความหนาตั้งแต่ 0-9 เมตร (Figure 19b) ผลคำนวณจากแผนที่ความหนา (Table 9) ได้ปริมาณสำรอง 104,361,364 ลบ.เมตร และในส่วนปริมาตรของพื้นที่กันชนได้ใช้ความหนาเฉลี่ยคุณกับพื้นที่กันชน (Table 7) ได้เป็น 28,274,025 ลบ.เมตร ดังนั้นประมาณการปริมาณสำรองศักยภาพเหล่งทรายอนุมาน

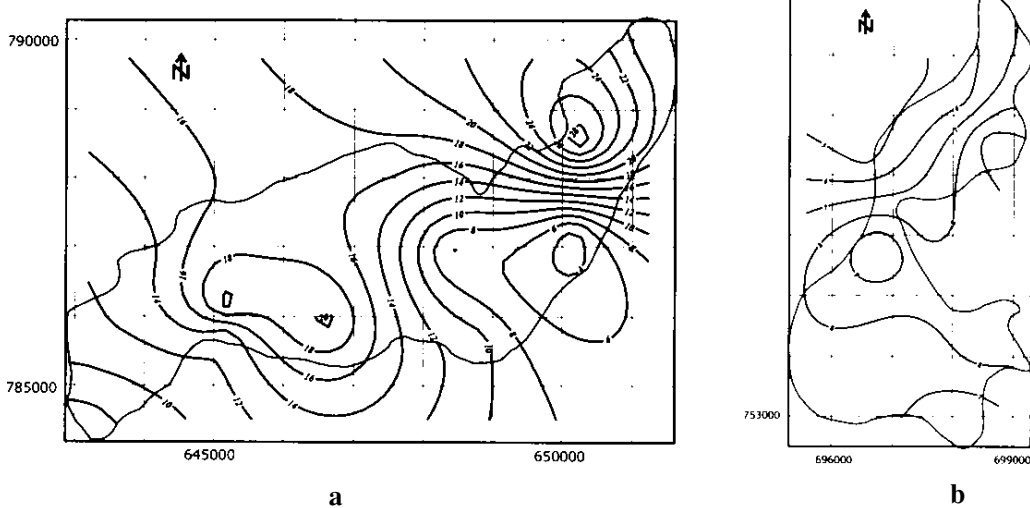


Figure 19. Isopach map of potential building sand deposit area at region of a) Rattaphum-Khuan Niang and b) Chana-Thepha

Table 8. Overview of total thickness of natural sand deposits in Songkhla province

Rattaphum-Khuan Niang		U-Taphao		Na Mom		Chana-Thepha	
Station	Thickness (m)	Station	Thickness (m)	Station	Thickness (m)	Station	Thickness (m)
RP-1	7.2	UT-1	6.8	NM-1	7.3	CH-1	5.5
RP-2	11.4	UT-2	17.08	NM-2	5.1	CH-2	6.6
RP-3	12.5	UT-3	25.0	NM-3	1.9	CH-3	4.6
RP-4	20.7	UT-4	20.2	NM-4	1.5	CH-4	7.6
RP-5	20.6	UT-5	5.7	Ave.	3.95	CH-5	9.5
RP-6	12.9	UT-6	12.0	NM-5	1.0	CH-6	8.5
RP-7	16.1	UT-7	29.1	NM-6	Error	CH-7	7.2
RP-8	16.8	UT-8	15.6	NM-7	1.9	CH-8	7.7
RP-9	5.8	UT-9	45.4	Ave	none	CH-9	7.3
KN-1	10.8	UT-10	10.0	NM-8	-	CH-10	10.0
KN-2	3.0	UT-11	12.3	NM-9	7.4	CH-11	6.2
KN-3	19.1	UT-12	8.6	NM-10	4.5	Ave.	7.34
KN-4	29.5	UT-13	12.3	Ave.	5.95		
Ave.	14.34	Ave.	16.92				

Table 9. Calculated area of total reserves from thickness map at Rattaphum-Khuan Niang and Chana-Thepha regions

Rattaphum-Khuan Niang		Chana-Thepha	
Contour Level (m)	Area (m ²)	Contour Level (m)	Area (m ²)
0	21,023,730	0	13,859,275
2	21,023,730	1	13,859,275
4	21,023,730	2	13,859,275
6	21,023,730	3	13,859,275
8	20,710,022	4	13,859,275
10	18,245,395	5	13,825,129
12	15,781,011	6	12,846,191
14	13,257,714	7	10,231,876
16	9,157,223	8	4,634,208
18	3,260,362	9	914,445
20	2,242,307		
22	1,453,928		
24	897,113		
26	400,266		
28	49,004		

คงเหลือประมาณ 76,087,339 ลบ.เมตร หรือประมาณ
201.63 ล้านเมตริกตัน (Table 10)

สรุปผลและวิจารณ์

ศักยภาพแหล่งทรัพยากร่องร้างที่สำคัญของจังหวัด
สงขลา จัดเป็นทรัพยากรากพื้นที่ป้องกันภัยคุกคามเทอร์นารี พบ

Table 10. Inferred reserves of building sand deposits in various regions of Songkhla province

Region	Inferred resources total (m ³)	Resources in buffer zone (m ³)	Remaining inferred resources m ³	t × 10 ⁶
Rattaphum-Khuan Niang	305,713,097	76,373,314	229,339,783	605.35
U-Taphao	142,480,000	66,408,733	76,071,931	200.83
Na Mom, NM-1	3,372,119	1,443,894	1,661,611	4.40
NM-3	6,753,101	3,247,520	3,511,029	9.30
Chana-Thepha	104,361,364	28,274,025	76,087,339	201.63
Total	1,337,726,156	406,698,253	386,671,693	1021.51

กระจายอยู่ในหลายพื้นที่ ในลักษณะที่รากต่อกันแน่น้ำพาน ในทางน้ำโคงตัวดหรือบริเวณรอยทะเลส่วนรูปแบบ และเนินตะกอนน้ำพารูปพัด หินตันกำเนิดที่สำคัญ ได้แก่ หินแกรนิตยุคไทรแอสซิก ยุคปลายไทรแอสซิก-จุแรสซิก หินทราย หินกรวดมัน ยุคไชลูเรียน-ดิโวนียัน คาร์บอนิฟอรัส ไทรแอสซิกและเทอร์เชียริ

ถึงแม้ว่าแหล่งทรัพย์ชนิดลักษณะนี้จะเพื่อการก่อสร้าง (คอนกรีต มอร์ต้าร์ ปลาสเตอร์) ส่วนมากของพื้นที่สูงขึ้น ได้ผลิตอยู่ในเขตต่ำภูมิ-ความเนินยัง คลองอุตสาหกรรม นาหมื่น แม่น้ำ-เทพา แต่ก็ยังมีศักยภาพแหล่งทรัพย์ก่อสร้าง เขตอื่นอีก เช่น ก่อนหน้า ที่คุ้มทุนแก่การประกอบการ ทำเหมืองภายใต้สภาพเศรษฐกิจปัจจุบันได้เท่านั้น นอกจากนี้ศักยภาพแหล่งที่ไม่ได้พิจารณาในการศึกษาคือ แหล่งลานตะพากก้อนกรวด (gravel terrace) แหล่งเศษหินเชิงเขา (colluvial deposit) และตะกอนน้ำหลาจาก การกร่อนแบบผิวแผ่น ที่พบอยู่ตามขอบแม่น้ำ หาดใหญ่-นาหมื่น (Figure 9) ก็สามารถนำมาอยู่เป็นมวลรวมหยาบได้ แต่ต้องล้างดินและเศษวัสดุอื่นที่เกะติดกัน

ในแหล่งรัตภูมิ-ความเนินยัง ศักยภาพของแหล่งทรัพย์เป็นอันดับต้น เนื่องจากมีการกระจายตัวของแหล่งสะสมค่อนข้างกว้าง ชั้นทรายหยาบอยู่ในระดับที่ตื้นและมีความหนาค่อนข้างมาก นั่นคือ มากกว่า 15 เมตร ส่วนพื้นที่นำเสนอจริงลงมาคือ แหล่งจะน้ำ-เทพา ที่มีแหล่งสะสมตัวของทรัพย์แห่งกว้างพอดีสมควร แต่ความหนาของชั้นทรายโดยเฉลี่ยไม่มากนัก โดยทรายสะสมตัวในที่รากต่อกันน้ำพารูปแบบและลักษณะหินพัง ส่วนพื้นที่ริมคลองอุตสาหกรรม

เป็นบริเวณที่ชั้นตะกอนมีความหนามาก แต่มักมีชั้นหน้าดินเป็นทรายละเอียดค่อนข้างหนา ชั้นทรายหยาบมีน้อย และพื้นที่สะสมตัวของตะกอนแคบ การผลิตทรัพย์ในพื้นที่นี้ ปัจจุบันดำเนินการอยู่บริเวณริมคลองอุตสาหกรรม จึงมีผลให้เกิดตะกอนขุ่นขันในล้าน้ำ ซึ่งเป็นแหล่งน้ำดินที่ป้อนสู่การผลิตน้ำประปาของอำเภอหาดใหญ่ สำหรับแหล่งทรายนาหมื่นสะสมตัวในบริเวณแคบ ริมฝั่งทางน้ำ มีความหนาอย่างมากและแผ่กระจายครอบคลุมพื้นที่ไม่มากนัก ซึ่งมีศักยภาพของแหล่งต่ำกว่าแหล่งอื่นทั้งหมด อย่างไรก็ตามแหล่งทรายบางแห่ง เช่น ทรายในทางน้ำโนราณทางตะวันออกของเขตนาหมื่น ซึ่งจุดเก็บตัวอย่างน้อย ควรเสริมการสำรวจรายละเอียดมากขึ้น เพื่อสามารถกำหนดการแหล่งน้ำและความหนาคงเส้นคงวา

การแปลรูปถ่ายทางอากาศช่วยให้ลดเวลาและค่าใช้จ่ายในการสำรวจภาคสนามไปได้มาก อย่างไรก็ได้รูปถ่ายที่ใช้หากว่ามีมาตรฐานด้วย精度 1:10,000 ขึ้นไป ก็จะยิ่งช่วยเพิ่มประสิทธิภาพในการแปลงได้อีกมาก สำหรับความลึกและความหนาของแหล่งทรัพย์ที่แปลความจากการสำรวจด้วยเครื่องวัดความด้านท่านไฟฟ้า พบว่า แยกหินดานกับชั้นทรายและชั้นที่มีพิเศษได้ชัดเจน แหล่งคลองอุตสาหกรรมในบางแห่งมีชั้นทรายได้ถึง 2 ชั้น (Table 4) อย่างไรก็ตามควรตระหนักด้วยว่า ค่าเหล่านี้อาจมีความคลาดเคลื่อนอยู่พอสมควร จากโปรแกรมที่ใช้แปลงและระเบียบวิธีโครงแบบสำรวจ ซึ่งหากต้องการสำรวจชั้นในรายละเอียดเสนอแนะว่าควรใช้วิธี dipole-dipole อันจะได้หน้าตัดการวางแผนของชั้นทรายยาวตลอดแนวสำรวจ ถึงกระนั้นก็ควรเสริมด้วยการตรวจสอบกับข้อมูลในภาค

สนามอย่างอื่นด้วย เช่น บ่อทรายเก่าหรือหลุমเจาะข้างเคียง หน้าตัดข้างของชั้นดินที่โผล่ หรือหินโผล่ข้างด้าน เป็นต้น

ประเด็นการคละขนาดจัดอยู่ในเกณฑ์และใกล้เคียง กับมาตรฐานมวลรวมละอิฐผสมปูนปลาสเตอร์ มอร์ตาร์ และคอนกรีต ซึ่งบางแหล่งในอำเภอรัตภูมิ-ควนเนียง อาจ ต้องปรับปรุงการคละขนาดที่มีขนาดทรายหยาดหรือละเอียด เกินกว่าเกณฑ์ที่กำหนด สำหรับวัสดุขนาดเล็กกว่า 75 ไมโครเมตร (ASTM C 142) และวัสดุอนุภาคที่หดตัวสูง จะเป็นสาเหตุอย่างร้าว และสามารถนำไปสู่พังทลายของ โครงสร้างมืออยู่น้อย สำหรับเกลือมีผลต่อการขยายตัวของ คอนกรีต หรือปูนปลาสเตอร์ และคลอไรด์ที่มีผลต่อเหล็ก เสริม ($< 0.03\%$) และรอยขีดเกลือในปูนปลาสเตอร์ ล้วน เชื่อว่ามีปริมาณไม่เกินเกณฑ์กำหนด แต่ถึงหากว่ามีสูงก็ สามารถถังน้ำหรือผ่านกระบวนการปรับปรุงคุณภาพอย่าง ง่ายได้ อย่างไรก็ตามหากให้ความมั่นใจควรสูญทดสอบ ก่อนนำไปใช้ก็เพิ่มความปลอดภัยไว้ก่อนแก่การทำงาน ส่วน ปริมาณสารอินทรีย์เจือปนในอัตราที่เป็นอันตรายและค่า ความคงตัวสูงของทรายพบในแหล่งนาหมื่น ควนเนียง และ จันะ ปริมาณชิลิกาในทรายทุกแหล่งไม่เกิน 98.5% จึง เห็นจะสมสำหรับใช้ในงานอุดสานก่อสร้าง โดยมุ่ง มองภาพรวมปริมาณสำรองแร่สำรวจเบื้องต้น (reconnaissance mineral resource) ทรายก่อสร้างชนิดคละเอียด เหล่านี้สามารถนำไปใช้งานได้ โดยไม่ต้องผ่านกระบวนการ การล้างและปรับปรุงมาก

ในการประเมินปริมาณสำรองศักยภาพแหล่งทรัพย์ ก่อสร้างที่น่าเชื่อถือได้อย่างสมเหตุสมผลนั้นพื้นที่ศักยภาพแหล่งทรัพย์ที่ควรตัดทิ้งไป หากพบว่าจุดข้อมูลสำรวจ ขั้นทรายน้อย และรวมถึงแหล่งอยู่ในเขตอนุรักษ์ธรรมชาติ ด้วยเหตุนี้ปริมาณทรัพย์สำรองจึงค่อนข้างยุ่งยากแก่การ ประเมิน แต่กระนั้นก็พอวิเคราะห์ได้จากภูมิสารสนเทศ ของแหล่งทรัพย์ที่มีอยู่ด้วยระบบสารสนเทศภูมิศาสตร์ ชั้น ข้อมูลตัวประกอบต่างๆ ที่ได้นำมาพิจารณาแต่ละเขต จึง ทำให้การประเมินแหล่งทรัพย์สำรองอนุมานอย่างสมเหตุ สมผล ปริมาณสำรองศักยภาพแหล่งทรัพย์ของเขตภูมิ- ควนเนียงคิดเป็นประมาณอัตรา 60% ของปริมาณสำรอง อนุมานทั้งหมดประมาณ 386 ลบ.เมตร หรือประมาณ 1,021 ล้านเมตริกตัน อนึ่งปริมาณสำรองครั้งนี้ไม่ได้คำนึง แหล่งก้อนกรวดลานตะพักร (terrace gravel) ซึ่งสามารถ

ทำเป็นทรายย่อย (crusher sand) รวมถึงแหล่งทรัพย์แก้ว เช่นกัน

งานวิจัยครั้งนี้ได้ยืนยันผลบริมาณสำรองอนุมาน เป็นส่วนใหญ่ หากว่าในบางพื้นที่มีการทำบ่อทรายหนาแน่น เช่น เขตตั้งภูมิ มีข้อมูลพอเพียงก็สามารถแสดงปริมาณ สำรองแหล่งทรัพย์คงเหลือได้ถึงระดับชั้นปริมาณสำรองที่ วัดผล (measured mineral resources) หรือปริมาณ สำรองที่ระบุ (indicated mineral resources) ได้เช่นกัน

กิตติกรรมประกาศ

คณะกรรมการเหมืองแร่และวัสดุ คณะกรรมการศาสตร์ มหาวิทยาลัยสงขลานครินทร์ และ กรมทรัพยากรธรรมชาติ ผ่านสำนักงานทรัพยากรธรรมชาติ เขต 1 สงขลา ที่ได้เห็น สนับสนุนในการดำเนินการศึกษาครั้งนี้ และขอขอบคุณ บรรดาเจ้าของและคนงานของบ่อทรายทุกแห่ง ที่ได้ อนุญาตให้เข้าไปตรวจสอบทรัพย์ที่โผล่และได้ให้ข้อมูลที่มี ประโยชน์เกี่ยวกับทรัพย์แหล่งนั้น ตลอดจนเจ้าหน้าที่กรม ทรัพยากรธรรมชาติ เขต 1 ทุกท่านที่ได้ร่วมออกสำรวจภาค สนาม และ ศูนย์ริมโขงซึ่งและระบบสารสนเทศ ภูมิศาสตร์ภาคใต้ สำนักวิจัยและพัฒนา มหาวิทยาลัย สงขลานครินทร์ ที่ได้ให้ความอนุเคราะห์ยืมรูปถ่ายทาง อากาศและอื่นๆ จำนวนมาก และ พศ.ดร.อำนาจ สิทธิเจริญชัย ที่ได้ให้ความอนุเคราะห์ข้อมูลเชิงตัวเลขของ แผนที่ภูมิประเทศาทางจังหวัดสงขลา

เอกสารอ้างอิง

- กรมทรัพยากรธรรมชาติ 2538. ล้มมนาอุดสาหกรรมปูนซีเมนต์ : สถานการณ์และแนวโน้ม การประชุมทางวิชาการกรม ทรัพยากรธรรมชาติ ปี 2538, กรมทรัพยากรธรรมชาติ ชั้นชัย เศษเพราหมณ์ และ รัศมี สุวรรณเวรกำธร. 2537. ภาพจากดาวเทียมเพื่อการค้นหาและติดตามแหล่งทรัพย์ ก่อสร้าง จุลสารดาวเทียม ฉบับที่ 49 หน้า 1-5
- ดันพูล ตันน์โยภาส. 2539. คิลารรณนาสำหรับวิศวกร พิมพ์ ครั้งที่ 1 ภาควิชาภูมิสารสนเทศเหมืองแร่และโลหะ วิทยา มหาวิทยาลัยสงขลานครินทร์ หน้า 221
- ดันพูล ตันน์โยภาส. 2540. การประกันคุณภาพฐานรากเขื่อน สะเดา การประชุมวิชาการวิศวกรรมโยธาแห่งชาติ ครั้งที่ 3 โรงแรมเจนี อ.หาดใหญ่ 16-18 มค. พ.ศ. 2540

หน้า GTE 5-1-GTE 5-10.

ดันพูล ตันนโยภัส. 2541. การรับรู้จากระยะไกลเบื้องต้น เอกสารประกอบการสอน ภาควิชาวิศวกรรมเหมืองแร่ และโลหะวิทยา คณะวิศวกรรมศาสตร์ มหาวิทยาลัยสงขลานครินทร์ หน้า 89-90.

ดันพูล ตันนโยภัส. 2542. หลักการธรณีวิศวกรรม พิมพ์ครั้งที่ 2 ภาควิชาวิศวกรรมเหมืองแร่และวัสดุ มหาวิทยาลัยสงขลานครินทร์ หน้า 211-235

ดันพูล ตันนโยภัส กัญญาณี คุปตานนท์ และ สมชัย ชัยเสน. 2544. ธรณีวิทยาภาคถ่ายและระบบสารสนเทศภูมิศาสตร์สำหรับการสำรวจแหล่งทรัพยากรในจังหวัดสงขลา การประชุมวิชาการด้านเหมืองแร่ โลหะและนิโตรเลียม ครั้งที่ 6 24-26 ตุลาคม 2544 โรงแรมแม่นدارิน กรุงเทพฯ หน้า 1-22 -1-30.

ดันพูล ตันนโยภัส วิพัฒน์ รุ่งเรือง และ อานันต์ คำวีระ. 2540. การสำรวจโครงสร้างและธรณีเทคโนโลยีของแหล่งหินทรายในจังหวัดสงขลา รายงานการประชุมวิชาการเรื่อง การประยุกต์ใช้ธรณีพิสิกส์ในงานสำรวจแหล่งหินทรายและการธรณี化的งานวิศวกรรม และสิ่งแวดล้อม ครั้งที่ 1. 31 มี.ค. -1 เมย. 2540 โรงแรมรีเจนซ์ หาดใหญ่ หน้า 67-79.

ดันพูล ตันนโยภัส พรศิลป์ ผลพันธิน เชวน์ ยงเฉลิมชัย อานันต์ คำวีระ และ สุชาดา ยงสกิดศักดิ์. 2543. การจัดทำระบบข้อมูลสารสนเทศเพื่อการจัดการคุณภาพ นำ้บิวโนะและเสบียงลงตลาดต่าง รายงานวิจัยฉบับสมบูรณ์ มหาวิทยาลัยสงขลานครินทร์ หน้า 18-32.

รังสิโรจน์ วงศ์พรหมเมฆ และ โชค ตราฉัช. 2540. ทรัพย์ในทะเลแห่งทรายสำรองของประเทศไทยในอนาคต เอกสารการสัมมนาเรื่อง การจัดการทรัพยากรทรัพย์ของประเทศไทย กรมทรัพยากรธรณี 24 ก.ค. 2540 หน้า 13-31

สมชาย นาคะพุดวงรัตน์ และ สมชัย ชัยเสน. 2529. ชุดแผนที่ธรณีวิทยา ระหว่าง 5122 V อำเภอจะนะ (มาตราส่วน 1:50,000) กรมทรัพยากรธรณี (ไม่พิมพ์เผยแพร่)

สมชาย นาคะพุดวงรัตน์ นรารัตน์ บุญกันภัย อภิชาต จีนกุล เสริมศักดิ์ ดิยพันธ์ และนาราเมศวร์ ชีร่วงสิกุล. 2531. ชุดแผนที่ธรณีวิทยา ระหว่าง 5122 I อำเภอเทพา (มาตราส่วน 1:50,000) กรมทรัพยากรธรณี (ไม่พิมพ์เผยแพร่)

สมชาย ชัยเสน. 2540. รายงานการสำรวจธรณีวิทยาเบื้องต้น แหล่งทรัพย์ก่อสร้าง สำนักงานทรัพยากรธรณีเขต 1 สงขลา กรมทรัพยากรธรณี หน้า 38-43

สมชาย ชัยเสน สนธิ เฟื่องทอง และ กัมพล มณีประพันธ์. 2539. รายงานสำรวจธรณีวิทยาเบื้องต้นเพื่อตรวจสอบ

ศักยภาพแหล่งหินประดับ ชนิดหินแกรนิต บริเวณตำบลลังไหญ อำเภอเทพา จังหวัดสงขลา สำนักงานทรัพยากรธรณีเขต 1 สงขลา กรมทรัพยากรธรณี 27 หน้า (ไม่ได้พิมพ์เผยแพร่)

野心 ทองกัญญาชัย. 2540. แหล่งทรัพย์ในจังหวัดภูเก็ตและชุมพร เอกสารการสัมมนาเรื่องการจัดการทรัพยากรทรัพย์ของประเทศไทย กรมทรัพยากรธรณี 24 ก.ค. 2540 หน้า 51-67

ASTM C 33 Standard specification for concrete aggregates, C 33-99.

ASTM C 40 Standard test method for organic impurities in fine aggregates for concrete, C40-98.

ASTM C 88 Standard test method for soundness of aggregates by use of sodium sulfate or magnesium sulfate, C88-90.

ASTM C 128 Standard test method for specific gravity and absorption fine aggregate, C128-97.

ASTM C 136 Standard test method for sieve analysis of fine and coarse aggregates, C136-96.

ASTM C 142 Standard test method for clay lumps and friable particles in aggregates C142-97

ASTM C 146 Standard test method for chemical analysis of glass sand, C146 REVA.

ASTM C 295 Practice for petrographic examination of aggregates for concrete, C295-79.

ASTM C 702 Standard practice for reducing samples of aggregates testing size, C702-93.

ASTM C 1218 Standard test method for water-soluble chloride in mortar and concrete, C 1218M-99

Campbell K.V. 1978. Air photo interpretation laboratory manual, AIT., pp. 108-115.

Collis L. and Fox R.A. 1985. Aggregates-sand, gravel and crushed rock aggregates for construction purposes, Geol. Soc. Eng. Geol. Spec. Publ 1, 220 p.

ESRI 1998. Introduction to ArcView GIS, Version 3.1

SABS 1083 Standard specification for aggregates from natural sources. Report of Council of the South African Bureau of Standards, SABS 1083-1976, Pretoria, 37 p.

SABS 1090 Standard specification for sand for plaster and mortar. Report of Council of the South African Bureau of Standards, SABS 1090-1976, Pretoria, 17 p.

RESEARCH REPORT

Recycled gloves as a filler

**Orasa Patarapaiboolchai¹, Tulyapong Tulayapitak², and
Ittisak Sriwang²**

Abstract

Patarapaiboolchai, O., Tulayapitak, T. and Sriwang, I.

Recycled gloves as a filler

Songklanakarin J. Sci. Technol., 2002, 24(4) : 701-706

Glove rejects can be loaded as filler in the formula (NR 100, ZnO 5, stearic acid 1, MBT 1, S 2.5, BHT 1 and calcium carbonate 40 phr) up to 100 phr to give good properties such as cure time, tensile strength, 300% modulus, elongation at break, tear strength, crack growth and abrasion index. However, scorch time and extrusion quality show a shorter time and rougher surface with higher loading, respectively. A recommended quantity for obtaining good properties in scorch time and extrusion process by garvey die is 40 phr. Powder gloves show a different cure time and scorch time from chlorinated gloves but show no significant changes in physical properties.

Key words : recycled gloves, scrap rubber, devulcanization

¹P.hD. (Polymer Science), ²B.Sc. (Rubber Technology), Department of Rubber Technology and Polymer Science, Faculty of Science and Technology, Prince of Songkla University, Pattani, 94000 Thailand.

Corresponding e-mail : porasa@bunga.pn.psu.ac.th

Received, 30 March 2001 Accepted, 13 August 2002

บทคัดย่อ

อรสา ภัทร์เพนลูลย์ชัย ตุลยพงษ์ ตุลยพิทักษ์ และ อิทธิศักดิ์ ศรีวัง
การนำถุงมือยางกลับมาใช้ในฐานะเป็นสารตัวเติม
ว. สงขลานครินทร์ วทท. 2545 24(4) : 701-706

ถุงมือที่ถูกคัดทิ้งสามารถนำกลับมาใช้เป็นสารตัวเติมได้ถึง 100 ส่วน ในสูตรที่ประกอบด้วยยางธรรมชาติ 100 ซิงค์ออกไซด์ (Zinc oxide, ZnO) 5 กรดสเตียริก (Stearic acid) 1 สารตัวเร่งเอ็ม บี ที (MBT) 1 กำมะถัน 2.5 สารป้องกันการเสื่อม บี เอช ที (BHT) 1] โดยที่ยังคงมีสมบัติที่ดีในส่วนของเวลาในการทำให้ยางสุก (Cure time) ความต้านทานต่อแรงดึง 300% โมดูลัส (Modulus) การยืดตัวของยางจนขาด (Elongation at break) ความต้านทานต่อการฉีกขาด (Tear strength) การขยายตัวของรอยแตก (Crack growth) และความต้านทานต่อการลอกหรือ (Abrasion index) ยกเว้นเวลาในการอบสุกของยางก่อนกำหนด (Scorch time) และกระบวนการดันยางผ่านหัวไนน์ (Extrusion) ซึ่งจะใช้เวลาสั้นกว่า และให้ผิวที่หยาบกว่าตามลำดับ เมื่อใส่ปริมาณสารตัวเติมเพิ่มขึ้น การเติม 40 ส่วนเป็นปริมาณที่เหมาะสมในการรักษาสมบัติที่ดีในด้านเวลาในการอบสุกของยางก่อนกำหนดและกระบวนการดันยางผ่านหัวไนน์ ชนิด Gravely ถุงมือชนิดมีแป้งมีค่าเวลาในการทำให้ยางสุก และเวลาในการอบสุกของยางก่อนกำหนด แตกต่างกันถุงมือชนิดคลอริเนตแต่สมบัติทางกายภาพของถุงมือทั้งสองชนิดไม่แตกต่างกันอย่างชัดเจน

ภาควิชาเทคโนโลยียางและพอลิเมอร์ คณะวิทยาศาสตร์และเทคโนโลยี มหาวิทยาลัยสงขลานครินทร์ ปัตตานี 94000

Nowadays, people produce tons of scrap rubber every year, for example in the United State alone 170,000 tons of factory scrap are produced annually. In addition, Americans discard 250 million used tires every year. A number of rubber technologists have tried to solve this major waste problem. One of the most common is to burn the scrap rubber as fuel but it generates new air pollution problems. Therefore, the best prospect for recycling scrap rubber is to reuse it in new rubber products. In this way, instead of being a disposal problem, the scrap becomes a raw material. The simplest approach is to use this scrap rubber as filler in new rubber products.

Thailand is one of the biggest glove producters. Each day, there are rejected gloves created about 2-10% in the process depends on the manufacturers individually. Only 7% of the total daily rejects leading to a serious problem for the industry in producing the mountain of black gold. With this result, if one can reuse the rejects by putting them into a virgin compound, the saving costs would be considerable.

The degradation of glove rejects resulting

from mechanical treatment is sufficient for them to be used as a recyclate. This process is known as devulcanization that cleaves totally or partially, the poly-di-, and monosulphide crosslinks formed during the initial vulcanization (Warner, 1994). The disposal/utilization of scrap latex rejects can be approached in many ways. The first example is to reclaim or remove the crosslinks (Phadke, et al, 1983) in the scrap rubber and then use it as a raw material. The second example is to reuse it as an impact modifier in brittle plastics like polystyrene (Rajalingam and Sharpe, 1993; Pittolo and Burford, 1985) by solution or melt blending techniques. The last one is to reuse it as a filler in polyolefin (Oliphant and Baker, 1993).

Two kinds of glove rejects were studied in this research, one was powder gloves the other was chlorinated gloves. Both gloves were used as a filler in the compounds used as shown in Table 1. The influence of filler loading on the physical properties included cure characteristic (scorch time, t_2 and cure time, t_{90}) and the extrusion quality was compared and presented.

Table 1. Formulations

phr	Ingredients					
	1	2	3	4	5	6
STR 20	100	100	100	100	100	100
ZnO	5	5	5	5	5	5
Stearic acid	1	1	1	1	1	1
BHT	1	1	1	1	1	1
CaCO ₃	40	40	40	40	40	40
MBT	1	1	1	1	1	1
Sulphur	2.5	2.5	2.5	2.5	2.5	2.5
Loaded glove	0	20	40	60	80	100

Table 2. Steps of mixing

Step	Ingredients	Mixing time (min.)
1	STR 20	8
2	Zinc oxide	2
3	Stearic acid	2
4	Ground glove rejects	4
5	Calcium carbonate	10
6	BHT	1
7	MBT	1
8	Sulphur	1
9	Make sheet	1
Total		30

Materials and Methods

All the chemicals used are shown in Table 1. The basic material used in this work was natural rubber grade STR 20 (Standard Thai Rubber), manufactured by a local manufacturer. The glove rejects were supplied by Safeskin Co-operation (Songkhla, Thailand) Ltd.. Other compound ingredients were of reagent grade and obtained from rubber chemical suppliers.

Both powder and chlorinated gloves used as a filler were prepared by passing the rejects through a two-roll mill six times in a friction ratio 1: 1.2, after which they were made into a

sheet form. The steps in preparing compounds are shown in Table 2. All the ingredients were mixed with a two-roll mill at 45 °C for 30 minutes. Then, the compounds were analyzed for scorch time and cure time by Rheometer 2000 at 150 °C. In addition, the compounds were prepared for testing tensile strength, modulus and elongation at break, following ISO 37-1977(E), but tear strength followed ASTM 624-86 (using Universal Testing Machine, Tensometer), crack growth followed ASTM 1052-85 (using Ross Flexing Machine) and abrasion index followed BS: 903: part A (using Akron Abrasion Machine). In addition, the compounds were extruded with 2 inches sample strip through garvey die of cold feed extruder with a speed of 45 rpm at temperature of 110±15 °C and 70±10 °C for die and barrel, respectively, which followed ASTM D2230-93.

Results and Discussion

The scorch time and cure time were found to decrease as powder gloves were loaded. This can be explained by the presence of unreacted accelerator used in the glove rejects (Mathew, et al; 2001) leading to decreases in scorch time and cure time with loading filler. Chlorinated gloves showed opposite results in scorch time and cure time when they were loaded over 40 phr because the amount of chlorine from the gloves generated an acid to delay the reaction with loading filler. These results are presented in Figures 1, 2, 3 and 4. Both scorch time and cure time from loaded powder gloves are lower than those from loaded chlorinated gloves. The extruded surface from loaded powder and chlorinated gloves are shown in Figures 5 and 6. It was found that the more loaded the glove rejects, the rougher the surface of the extruded product of both powder and chlorinated gloves, with the extruded edge showing a better result (without obtaining rug edge). In addition, it could be seen that the latter could not be obtained when extruded through a garvey die with powder or chlorinated gloves loaded more than 60 phr

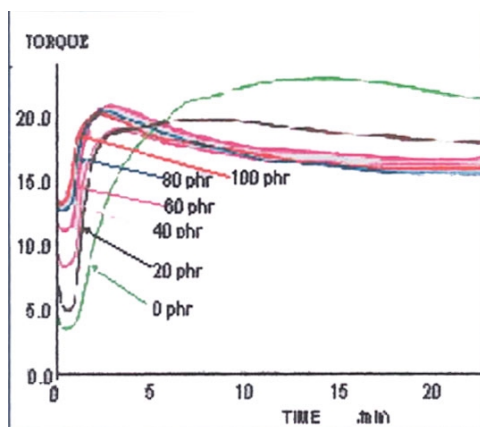


Figure 1. Cure characteristics of powder glove

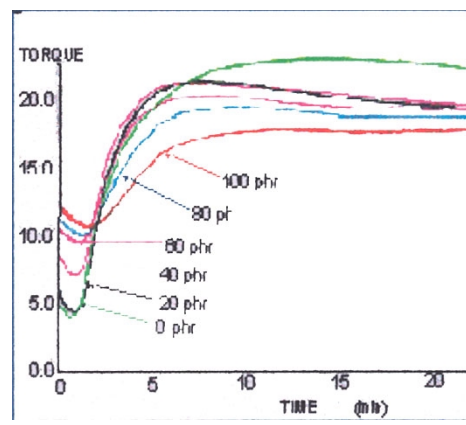


Figure 2. Cure characteristics of chlorinated glove

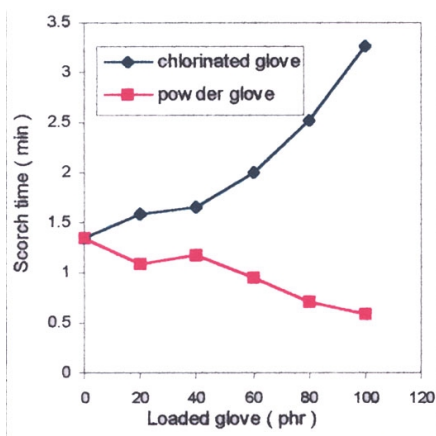


Figure 3. Effect of loaded glove on scorch time

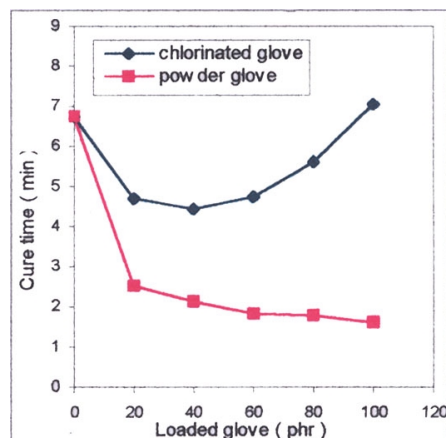


Figure 4. Effect of loaded glove on cure time

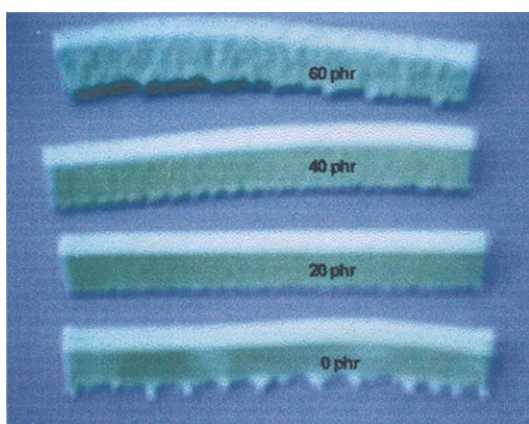


Figure 5. Extruded surface from loaded powder glove

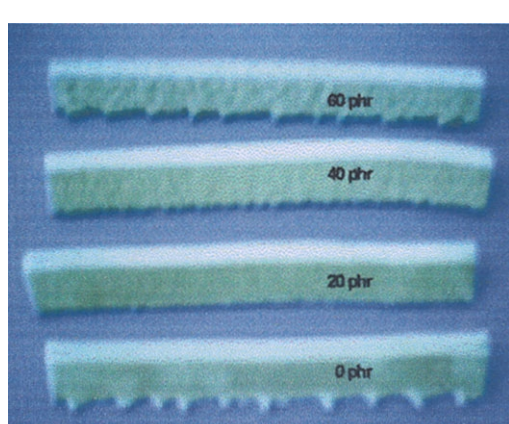


Figure 6. Extruded surface from loaded chlorinated glove

because the compound is scorched during the process. Moreover, the extruded surface starts to get very rough when powder or chlorinated gloves are loaded at over 40 phr. These results can be explained by the higher concentration of unreacted accelerator used in the glove rejects to cause the scorching (Mathew, *et al*; 2001). In the case of physical properties such as tensile strength (Figure 7), 300% modulus (Figure 8), elongation at break (Figure 9), tear strength

(Figure 10), % crack growth (Figure 11) and abrasion index (Figure 12), it was observed that the properties tend to decrease insignificantly as powder or chlorinated gloves are loaded for tensile strength (Scott, 1994), 300% modulus, elongation at break and abrasion index but tear strength and %crack growth tend to increase insignificantly. Furthermore, physical properties are not significantly different between powder and chlorinated gloves.

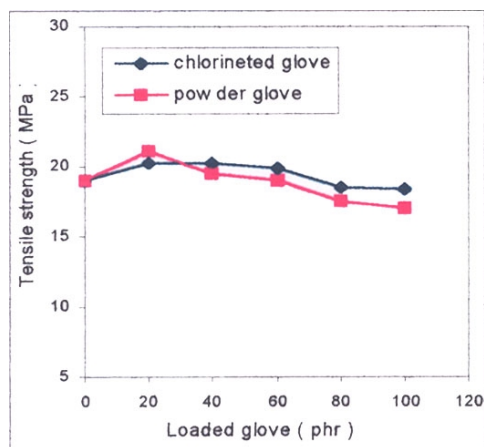


Figure 7. Effect of loaded glove on tensile strength

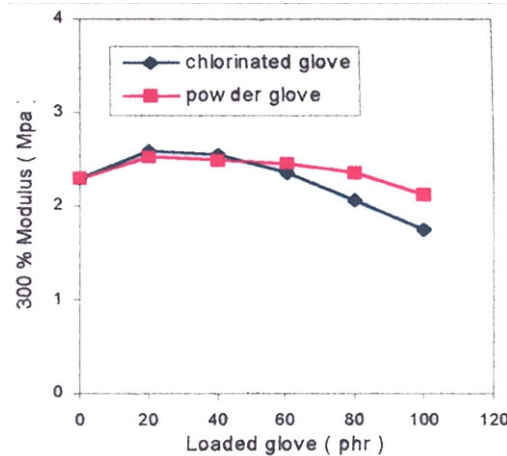


Figure 8. Effect of loaded glove on 300% modulus

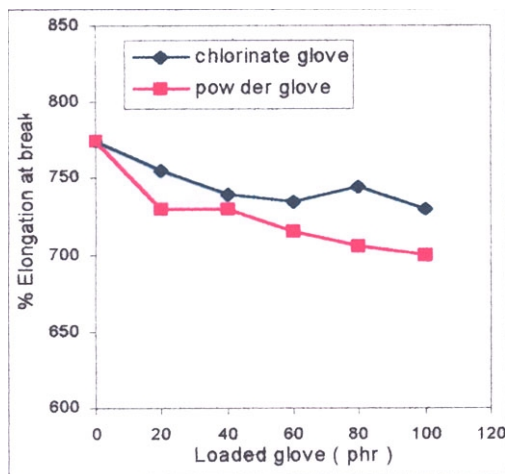


Figure 9. Effect of loaded glove on elongation at break

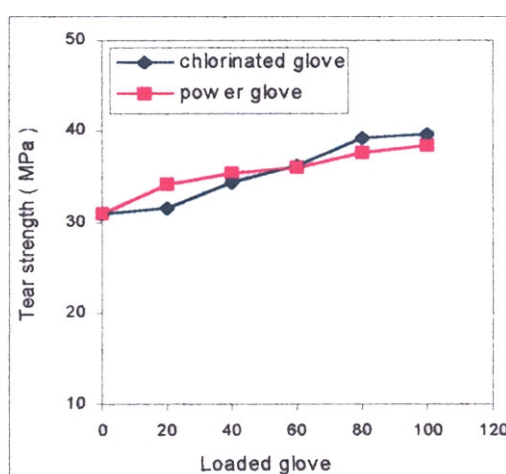
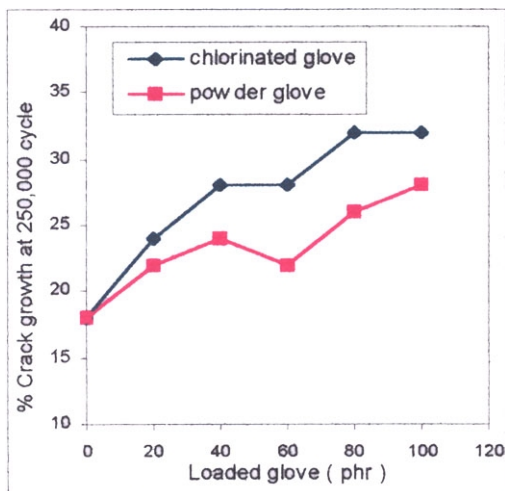
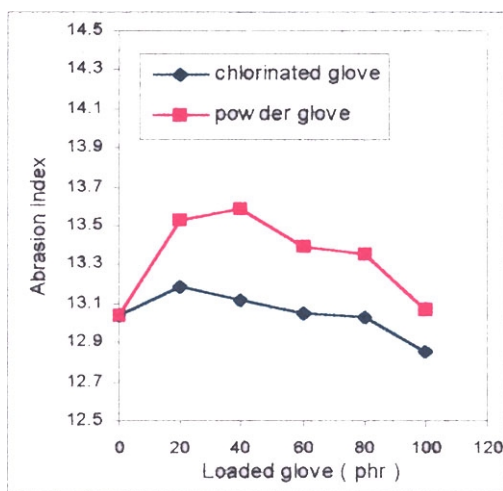


Figure 10. Effect of loaded glove on tear strength

**Figure 11.** Effect of loaded glove on crack growth**Figure 12.** Effect of loaded glove on abrasion index

Conclusion

The utilization of latex glove rejects as a potential filler in natural rubber compounding deserves much attention. It has been observed that as the filler contents increase, the curing characteristics like scorch time and cure time decrease for powder gloves but not for chlorinated gloves. In addition, for the compound with calcium carbonate as a base filler, the physical properties (tensile strength, 300% modulus, elongation at break, tear strength, % crack growth and abrasion index) change insignificantly with loading glove rejects. Furthermore, 40 phr of glove rejects loading is a recommended quantity for obtaining good properties and extrusion quality.

Acknowledgment

My profound thanks and gratitude go to Safeskin Cooperation (Thailand) Ltd. for sponsoring both types of glove rejects for this research.

References

- Mathew, G., Singh, R.P., Nair, N.R., and Thomas, S. 2001. Recycling of natural rubber latex waste and its interaction in epoxidation natural rubber, *Polymer*, 42: 2137.
- Oliprant, K. and Baker, W.E. 1993. The use of cryogenically ground rubber tires as a filler in polyolefin blends, *Polym. Eng. Sci.*, 33(3): 166.
- Phadke, A.A., Bhattacharya, A.K., Chakraborty, S.K. 1983. Studies of vulcanization of reclaimed rubber, *Rubber Chem. Technol.*, 56: 726.
- Pittolo, M. and Burford, R. P. 1985. Recycled rubber crumb as a toughener of polystyrene, *Rubber Chem. Technol.*, 58: 97.
- Rajalingam, P. and Sharpe, J. 1993. Ground rubber tire/ thermoplastic composites: effect of different ground rubber tires, *Rubber Chem. Technol.*, 66: 664.
- Scott, J.R. 1994. Transaction of Institute of Rubber Industry, 20: 53.
- Warner, W.C. 1994. Method of devulcanization, *Rubber Chem. Technol.*, 67: 559.

รายงานการวิจัย

จำนวนโครโนโซมของพืชมีดอกบางชนิด

ลัดดา เอกสมทราเมธ์¹ สายใจ จรอี้ยด² อุทารัตน์ จันทร์สุย³ รุ่งอรุณ วริทธิกร⁴ และ
คงนึงนิตย์ พลพุกษา⁵

Abstract

Eksomtramage, L., Jornead, S., Junsui, C., Varitikorn, R. and Pholphrugsa, K.

Chromosome numbers of some flowering plants

Songklanakarin J. Sci. Technol., 2002, 24(4) : 707-716

Somatic chromosome numbers in the root tips of 22 species in 8 genera of Amaryllidaceae, Anthericaceae, Asphodelaceae, Convallariaceae, Palmae and Poaceae were examined. All showed a wide range of chromosome numbers between $2n = 14$ to 72 . The species of *Brachiaria decumbens* ($2n = 48$) and *Pennisetum purpureum* (two varieties, $2n = 26, 22$) are different in chromosome numbers from earlier reports. The chromosome numbers of *Aloe juvenna* ($2n = 28$), *A. prinslooi* ($2n = 14$) and *Brachiaria ruziziensis* ($2n = 18$) have not previously been reported.

Key words : chromosome numbers, flowering plants

Department of Biology, Faculty of Science, Prince of Songkla University, Hat Yai, Songkhla 90112 Thailand.

¹ วท.ม. (พุกษาศาสตร์) รองศาสตราจารย์ ² กศ.บ. (ชีววิทยา) ^{3, 4, 5} วท.บ. (ชีววิทยา) ภาควิชาชีววิทยา คณะวิทยาศาสตร์ มหาวิทยาลัยสงขลานครินทร์ อำเภอหาดใหญ่ จังหวัดสงขลา 90112

Corresponding e-mail : eladda@ratree.psu.ac.th

รับต้นฉบับ 23 พฤษภาคม 2545 รับลงพิมพ์ 26 มิถุนายน 2545

บทคัดย่อ

ลัตดา เอกสมทารามณฐ์ สายใจ จรเอียด จุหารัตน์ จันทร์สุย รุ่งอรุณ วิทิชิกร และ คงเน็นนิตย์ ผลพุกมา จำนวนโครโนไซมของพืชเม็ดอุบากางชนิด ว. สงขลานครินทร์ วทท. 2545 24(4) : 707-716

ศึกษาจำนวนโครโนไซมจากเซลล์ป้ายรากของพืชเม็ดอุบากาง จำนวน 22 ชนิด 8 สกุล ในวงศ์ Amaryllidaceae, Anthericaceae, Asphodelaceae, Convallariaceae, Palmae และ Poaceae พนวั่มจำนวนโครโนไซมระหว่าง $2n = 14-72$ โดย *Brachiaria decumbens* ($2n = 48$) และ *Pennisetum purpureum* (2 สายพันธุ์, $2n = 26, 22$) มีจำนวนโครโนไซมแตกต่างจากผู้ที่ศึกษามาก่อน และ *Aloe juvenna* ($2n = 28$) *A. prinslooi* ($2n = 14$) *Brachiaria ruziziensis* ($2n = 18$) ยังไม่เคยมีรายงานมาก่อน

โดยทั่วไปสิ่งมีชีวิตแต่ละชนิดมีจำนวนและรูปร่างโครโนไซมคงที่ เนื่องจากความแตกต่างของโครโนไซมทำให้เกิดลักษณะสัณฐานวิทยา (Morphology) ของสิ่งมีชีวิตแตกต่างกัน ดังนั้นข้อมูลโครโนไซมจึงมีความสำคัญทางด้านอนุกรมวิธาน (Taxonomy) ด้านปรับปรุงพันธุ์รวมทั้งการศึกษาสายสัมพันธ์ของสิ่งมีชีวิตแต่ละชนิด (Stebbins, 1971) การศึกษาเกี่ยวกับโครโนไซมส่วนใหญ่ศึกษาภัยพืชในต่างประเทศ ส่วนในประเทศไทยซึ่งพบพืชเม็ดอุบากางถึง 248 วงศ์ 8,657 ชนิด (จำลอง, 2532) แต่มีผู้ศึกษาโครโนไซมไม่มากนักมีประมาณ 21 วงศ์ และในแต่ละวงศ์ศึกษาเพียงบางชนิด ได้แก่ Larsen (1963 ; 1969), กันยาธัต (2532), ลัตดาและกัญญา (2538), Eksomtramage et al. (1996 ; 2001), Soontornchaisaeng & Chaiyasut (1996 ; 1999) และ สา維ตระและลัตดา (2541) ใน การศึกษารังนี้ นับจำนวนโครโนไซมพืชทั้งที่เป็นสมุนไพร พืชที่นิยมปลูกเป็นไม้ประดับรวมทั้งพวงหญ้าอาหารสัตว์ จำนวน 6 วงศ์ 8 สกุล 22 ชนิด เพื่อนำข้อมูลมาช่วยสนับสนุนการจัดจำแนกและด้านปรับปรุงพันธุ์ รวมทั้งบันทึกใน Chromosome Atlas ของพืชที่พบในประเทศไทยต่อไป

อุปกรณ์และวิธีการ

1. พืช :

ตัวอย่างพืชที่ศึกษาทั้งหมดเก็บรวบรวมจากที่พนในอำเภอหาดใหญ่ จังหวัดสงขลา และนำมาปลูกที่เรือน

เพาะชำของภาควิชาชีววิทยา มหาวิทยาลัยสงขลานครินทร์ อำเภอหาดใหญ่ จังหวัดสงขลา โดยปลูกในดินร่วนผสมทราย อัตราส่วน 2:1 เพื่อให้รากทั้งอกใหม่เจริญได้ดี และมีความสะดวกในการเก็บราก พืชตัวอย่างแห้งและดองของพืชที่ศึกษารังนี้เก็บไว้ที่พิพิธภัณฑ์พืช มหาวิทยาลัยสงขลานครินทร์

2. การเตรียมเซลล์รับยะเมทาเฟส จากเซลล์ป้ายรากด้วยวิธี Feulgen squash (ดัดแปลงจาก Sharma and Sharma, 1980) :

เลือกป้ายรากที่มีลักษณะขาวใสป้ายชุ่นเล็กน้อยตัดรากยาวประมาณ 1-2 ซม. ใส่ในสารละลายอีมตัว α -Bromonaphthalene เก็บที่อุณหภูมิ 10°C นาน 24 ชั่วโมง หลังจากนั้นตราชากในน้ำยาฟิกส์เซทีฟ (fixative) ที่ประกอบด้วย ethyl alcohol 95% กับ glacial acetic acid ในอัตราส่วน 3 : 1 เก็บที่อุณหภูมิ 10°C นาน 24 ชั่วโมง ล้างรากด้วย ethyl alcohol 95% จำนวน 1-2 ครั้ง และเก็บรากไว้ใน ethyl alcohol 70% เมื่อต้องการศึกษาโครโนไซมให้นำรากมาไอยโตรไรซิส (hydrolysis) ในกรดเกลือเข้มข้น 1 นอร์มัล ที่อุณหภูมิ 60°C นาน 4-7 นาที ขึ้นกับชนิดพืช หลังจากนั้นล้างรากด้วยน้ำและข้อมสีรากด้วย Carbol fuchsin นาน 3-6 ชั่วโมง ตัดเฉพาะป้ายรากที่ติดสีม่วงเข้มวางแผนสไลด์ ปิดด้วยแผ่นแก้วปิด ใช้ป้ายดินสอけばวนแผ่นแก้วปิดเพื่อให้เซลล์กระจายออกจากกัน เลือกเซลล์ที่กำลังแบ่งตัวในระยะเมตาเฟสที่มีโครโนไซมกระจายตัว และนับจำนวนโครโนไซม

อย่างน้อย 10 เซลล์ และนำเซลล์ที่มีโครโน่ไมโครเจลต่อไปในกระบวนการขยายดี มากถ่ายภาพด้วยกล้องจุลทรรศน์สำหรับถ่ายภาพที่เลนส์ ใกล้ตัวถูกกำลังขยาย 40 และ 100 เท่า

ผลการทดลองและวิจารณ์

จากการนับจำนวนโครโมโซมในระยะเมตาเฟสจากเซลล์ปลายราก (somatic number, 2n) ของพืชจำนวน 6 วงศ์ 8 กลุ่ม 22 ชนิด พบร่วมกับจำนวนโครโมโซมตั้งแต่ $2n = 14 - 72$ ดัง Table 1 และ Figures 1 - 27

จำนวนโครโมโซมที่ศึกษา มีทั้งดิเพโลಯด์ (diploid) และ พอลิเพโลยด์ (polyploid) การเกิดพอลิเพโลยด้มีความสำคัญกับการเกิดวิรัตนากาражของสิ่งมีชีวิต ในพืชสกุล *Agropyron* พบว่า แต่ละชนิดมีจำนวนโครโมโซมเป็นทวีคูณของ 7 คือ $2n = 14, 28, 42, 56$ และ 70 นอกจากนี้พืชสกุลเดียวกันอาจมีจำนวนโครโมโซมใน 1 ชุดที่ไม่ซ้ำกัน (basic number, x) ได้หลายค่า เช่น *Crepis* มี $x = 3, 4, 5$ และ 6 (Stebbins, 1971)

Amaryllidaceae : ศึกษา 2 สกุล 4 ชนิด คือ *Haemanthus multiflorus*, $2n = 18$ ซึ่งตรงกับการศึกษาพืชชนิดเดียวกันในอาฟริกาใต้ และเนื่องจากพืชสกุลนี้มีค่า $x = 9$ (Darlington & Wylie, 1955) จึงอาจเป็นไปได้ว่าพืชชนิดนี้เป็นพืชพิolloย์ด ($2n = 2x = 18$) และ *Hippeastrum* 3 ชนิด พบว่าทั้งหมดมีจำนวน $2n = 22$ ซึ่งตรงกับการศึกษาของ ดวงเดือน (2544) รายงานว่า *Hippeastrum* ชนิดดอกสีขาว มีจำนวน $2n = 22$ เช่นกัน และพืชสกุลนี้ ในต่างประเทศพบว่าส่วนใหญ่ มี $2n = 22$ ($x = 11$) และพบบ้างที่มี $2n = 33$ และ 44 (Darlington & Wylie, 1955) แสดงว่าพืชสกุลนี้มีทั้งพิolloย์ดและพอลิพิolloย์ด แต่ชนิดที่ศึกษาครั้งนี้พบเฉพาะพิolloย์ด

Anthericaceae : ศึกษา 1 สกุล 2 ชนิด 4 สายพันธุ์ คือ *Chlorophytum bichettii* 2 สายพันธุ์ $2n = 16$ และ *C. comosum* 2 สายพันธุ์, $2n = 28$ ซึ่งตรงกับการศึกษาในพืชสกุลนี้พบว่ามีค่า $2n = 14, 16, 28$ และ 32 ($x = 7, 8$) (Darlington & Wylie, 1955 ; Soontorn-chainaksaeng & Chaiyasut, 1996 ; Goldblatt & Johnson, 1991 ; 1994) จากการศึกษาครั้งนี้แสดงว่าพืชที่มี $2n = 16$ เป็นดิพloid ตัว ($2n = 2x = 16$) ส่วน $2n =$

28 อาจเป็นพอลิเพลอยด์ชนิดเทเกระพโลยด์ (tetraploid,
 $2n = 4x = 28$)

Asphodelaceae : ศึกษา 1 สกุล 9 ชนิดคือสกุล *Aloe* พบว่า 8 ชนิดมีจำนวนโครโมโซม $2n = 14$ และ 1 ชนิดมี $2n = 28$ ซึ่งตรงกับการศึกษาในพืช *Aloe* พบว่าส่วนใหญ่มีจำนวน $2n = 14$ และพบบ้างที่มี $2n = 28$ และ 42 ($x = 7$) (Darlington & Wylie, 1955 ; Goldblatt, 1985 ; Goldblatt & Johnson, 1991 ; 1994 ; 1996) จากการศึกษาครั้งนี้แสดงว่าพืช $2n = 14$ จัดเป็นดิพโลยด์ ส่วน *A. juvenna* มี $2n = 28$ น่าจะเป็นพอลิ-พโลยด์ ($2n = 4x = 28$) และเป็นการรายงานครั้งแรก เมื่อสังเกตลักษณะภายนอกของพืช พบว่า *A. juvenna* มีลักษณะภายนอกแตกต่างจาก *Aloe* ทั้ง 8 ชนิด คือ มีลำต้นหอดนอน (procumbent) เจริญยืนด้วยรากเป็นทรงสูงขณะที่พืชทั้ง 8 ชนิด มีลำตันตั้งตรง ทรงกระเจาเดี้ยง

Convallariaceae : ศึกษา 1 สกุล 2 ชนิด 5
 สายพันธุ์ คือ *Ophiopogon jaburan* 3 สายพันธุ์ มีค่า
 $2n = 36$ และ *O. japonicus* 2 สายพันธุ์ มีค่า $2n = 72$
 ซึ่งตรงกับการรายงานของ Darlington & Wylie (1955),
 Goldblatt (1988) และ Goldblatt & Johnson (1994)
 คือ *O. jaburan* มี $2n = 36$ และ *O. japonicus* มี $2n = 72$
 นอกจากนี้ Larsen (1963) ศึกษาพืชสกุลนี้ใน
 ประเทศไทยจำนวน 3 ชนิด แต่เป็นคนละชนิดกับการ
 ศึกษาครั้งนี้พบว่าทั้งหมดมี $2n = 36$ ($x = 18$) ดังนั้นจึง
 อาจเป็นไปได้ว่า *O. jaburan* เป็นดิพลอยด์ และ *O. ja-
 ponicus* เป็นเททรอลลойด์

Palmae (Arecaceae) : ศึกษา 1 ชนิด 3 แบบ (type) คือ แบบดูร่า (Dura) เทเนอรา (Tenera) และพิสิเฟอร่า (Pisifera) พบรากทั้งสามแบบมีจำนวนโกรไม่均衡 เท่ากับ 32 แท่ง ซึ่งตรงกับการศึกษาปาล์มน้ำมันแบบ เทเนอราจากต่างประเทศ มีค่า $2n = 32$ ($x = 16$) (Madon et al., 1998) ปาล์มน้ำมันที่ศึกษาครั้งนี้จัดเป็นพืชดิบложอยด์

Poaceae : ศึกษา 2 สกุล 4 ชนิด คือ *Brachiaria decumbens*, *B. mutica* และ *B. ruziziensis* มีจำนวนโครโมโซม $2n = 48$, 36 และ 18 ตามลำดับ ส่วน *Pennisetum purpureum* 2 สายพันธุ์มีจำนวนโครโมโซม $2n = 26$ และ 22

จำนวนโครโน่ซึ่งของสกุล *Brachiaria* มีจำนวน

Table 1. Chromosome numbers (2n) in 22 species from 8 genera of 6 families.

Family and Species	Thai name	2n
Amaryllidaceae		
<i>Haemanthus multiflorus</i> (Tratt.) Martyn	ว่านแสงอาทิตย์	18
<i>Hippeastrum puniceum</i> (Lam.) Urban	ว่านสีทิศดอกสีส้ม	22
<i>Hippeastrum reticulatum striatifolium</i> Herb.	ว่านรังเงิน	22
<i>Hippeastrum</i> sp.	ว่านสีทิศดอกสีแดง	22
Anthericaceae		
<i>Chlorophytum bichettii</i> (Karrer) Becker cv. St. Bernard Lily	เครชีรีโอนนอก	16
<i>C. bichettii</i> (Karrer) Becker	เครชีรีโอนเขียว	16
<i>C. comosum</i> (Thunb.) Jacques cv. Spider plant	เครชีรีโอนใน	28
<i>C. comosum</i> (Thunb.) Jacques cv. Milky way	เครชีรีโอนในลักษณะ	28
Asphodelaceae		
<i>Aloe aristata</i> Roem & Schult.	-	14
<i>A. brevifolia</i> Mill.	-	14
<i>A. juvenna</i> Brandham & S. Carter	-	28*
<i>A. prinslooi</i> Verdoorn & Hardy	-	14*
<i>A. vera</i> (L.) Burm. f.	ว่านหางจระเข้	14
<i>Aloe</i> sp.1	บัวแก้ว	14
<i>Aloe</i> sp.2	ม้าลาย	14
<i>Aloe</i> sp.3	-	14
<i>Aloe</i> sp.4	-	14
Convallariaceae		
<i>Ophiopogon jaburan</i> (Kunth) Lodd. cv. White Lily Turf	เครชีรีโอนแก้ว	36
<i>O. jaburan</i> (Kunth) Lodd. cv. Variegatus	เครชีรีซ่อง	36
<i>O. jaburan</i> (Kunth) Lodd.	เครชีรีออกทรัพย์	36
<i>O. japonicus</i> L.f. cv. Snake's Bread	เครชีรีญี่ปุ่น	72
<i>O. japonicus</i> L.f. cv. Kyoto Dwarf	หนวดปลาดุกแคระ	72
Palmae (Arecaceae)		
<i>Elaeis guineensis</i> Jacq.	ปาล์มน้ำมัน	
Tenera type		32
Dura type		32
Pisifera type		32
Poaceae (Gramineae)		
<i>Brachiaria decumbens</i> Stapf	หญ้าซิกแนล	48**
<i>B. mutica</i> (Forssk.) Stapf	หญ้าขน	36
<i>B. ruziziensis</i> Germain & Everard	หญ้ารูซี่	18*
<i>Pennisetum purpureum</i> Schumach.	หญ้าเนเปียร์ธรรมชาติ	26**
<i>P. purpureum</i> Schumach. cv. Mott	หญ้าเนเปียร์แคระ	22**

* new record ** different from previous reports

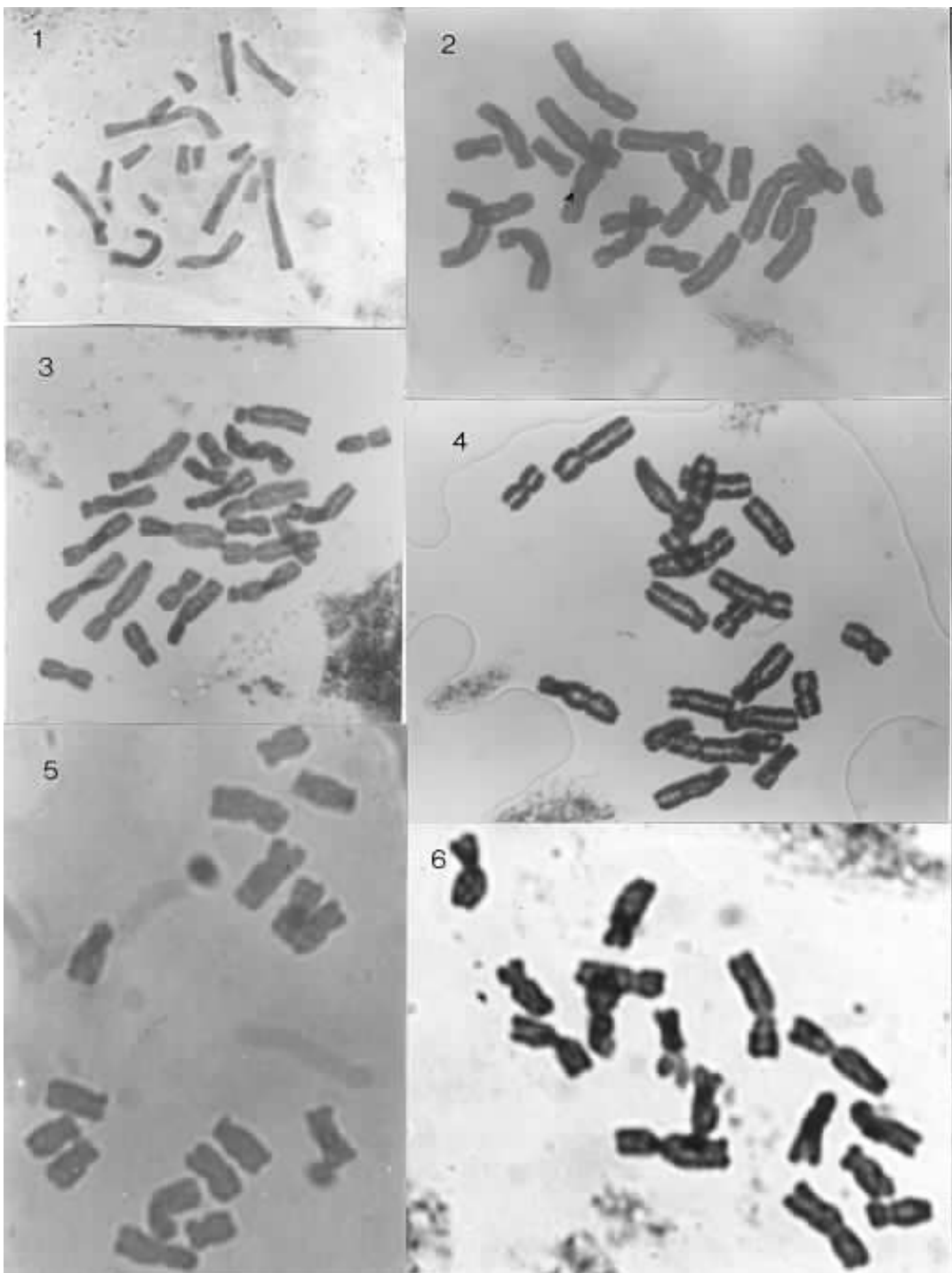


Figure 1-6. Mitotic chromosomes from root tips.

- | | |
|---|---|
| 1. <i>Haemanthus multiflorus</i> , $2n = 18$ (700x) | 2. <i>Hippeastrum puniceum</i> , $2n = 22$ (900x) |
| 3. <i>H. reticulatum striatifolium</i> , $2n = 22$ (900x) | 4. <i>H. sp.</i> , $2n = 22$ (900x) |
| 5. <i>Chlorophytum bichettii</i> cv. St. Bernard 's Lily, $2n = 16$ (1800x) | 6. <i>C. bichettii</i> , $2n = 16$ (1800x) |

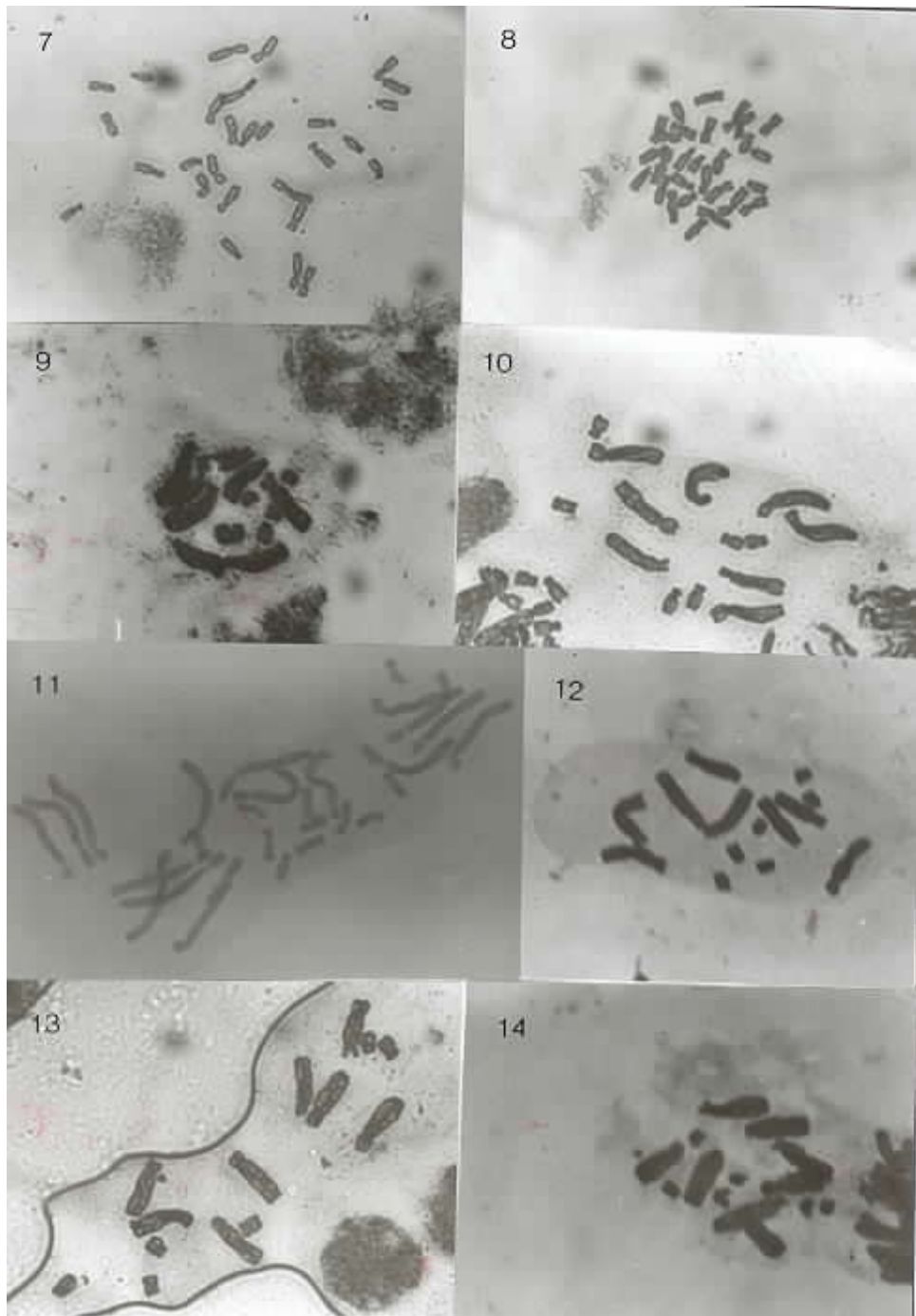


Figure 7-14. Mitotic chromosomes from root tips.

7. *Chlorophytum comosum* cv. Spider plant, $2n = 28$ (700x) 8. *C. comosum* cv. Milky way, $2n = 28$ (700x)
9. *Aloe aristata*, $2n = 14$ (700x) 10. *A. brevifolia*, $2n = 14$ (700x)
11. *A. juvenna*, $2n = 28$ (700x) 12. *A. prinslooi*, $2n = 14$ (700x)
13. *A. vera*, $2n = 14$ (700x) 14. *A. sp. 1*, $2n = 14$ (700x)

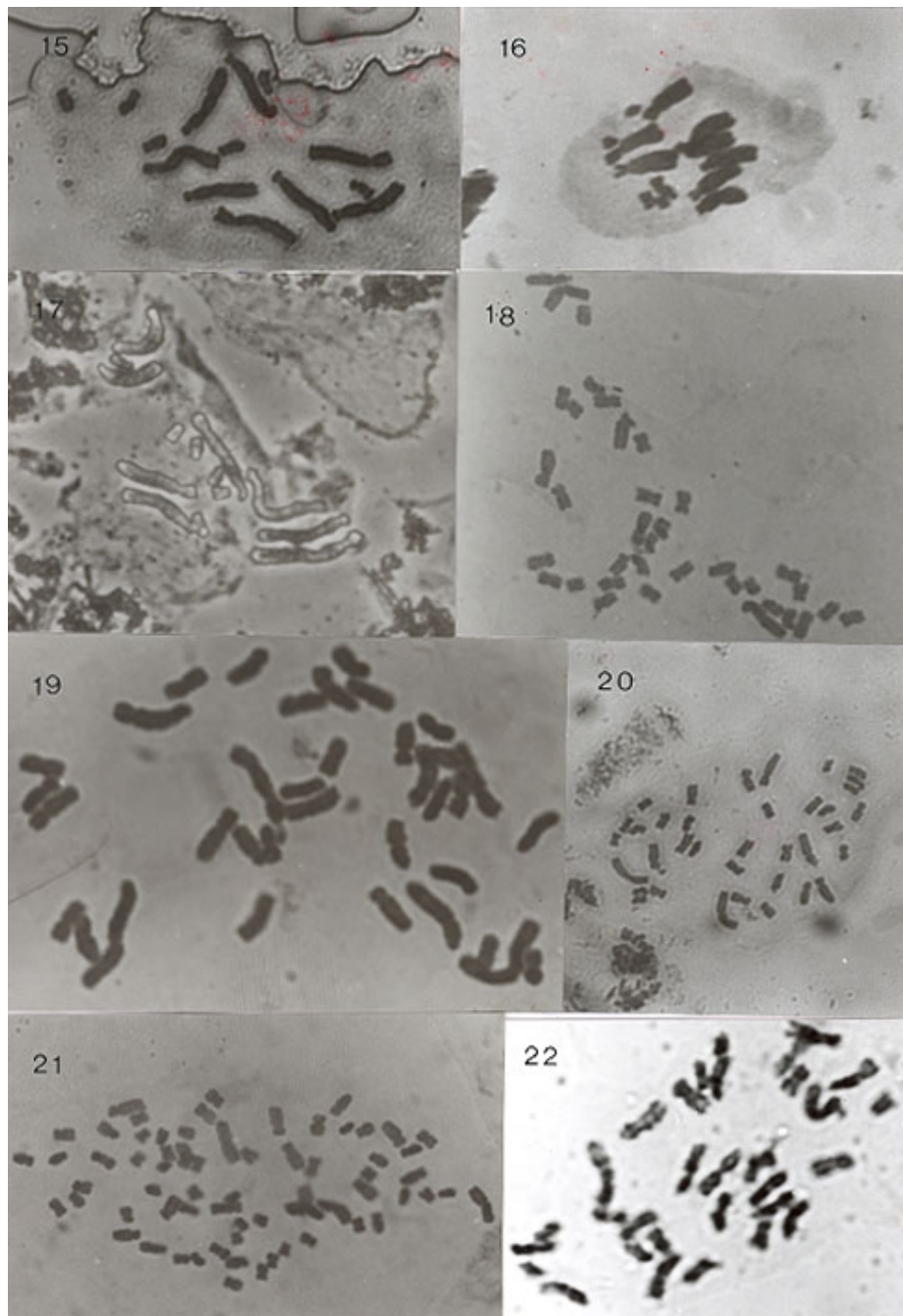


Figure 15-22. Mitotic chromosomes from root tips.

- 15. *Aloe* sp. 2, $2n = 14$ (700x)
- 17. *A.* sp. 4, $2n = 14$ (700x)
- 19. *O. jaburan* cv. Variegatus, $2n = 36$ (1800x)
- 21. *O. japonicus* cv. Snake's Bread, $2n = 72$ (1250x)
- 16. *A.* sp. 3, $2n = 14$ (700x)
- 18. *Ophiopogon jaburan* cv. White Lily Turf,
 $2n = 36$ (1250x)
- 20. *O. jaburan*, $2n = 36$ (700x)
- 22. *Elaeis guineensis* Tenera type, $2n = 32$ (1800x)

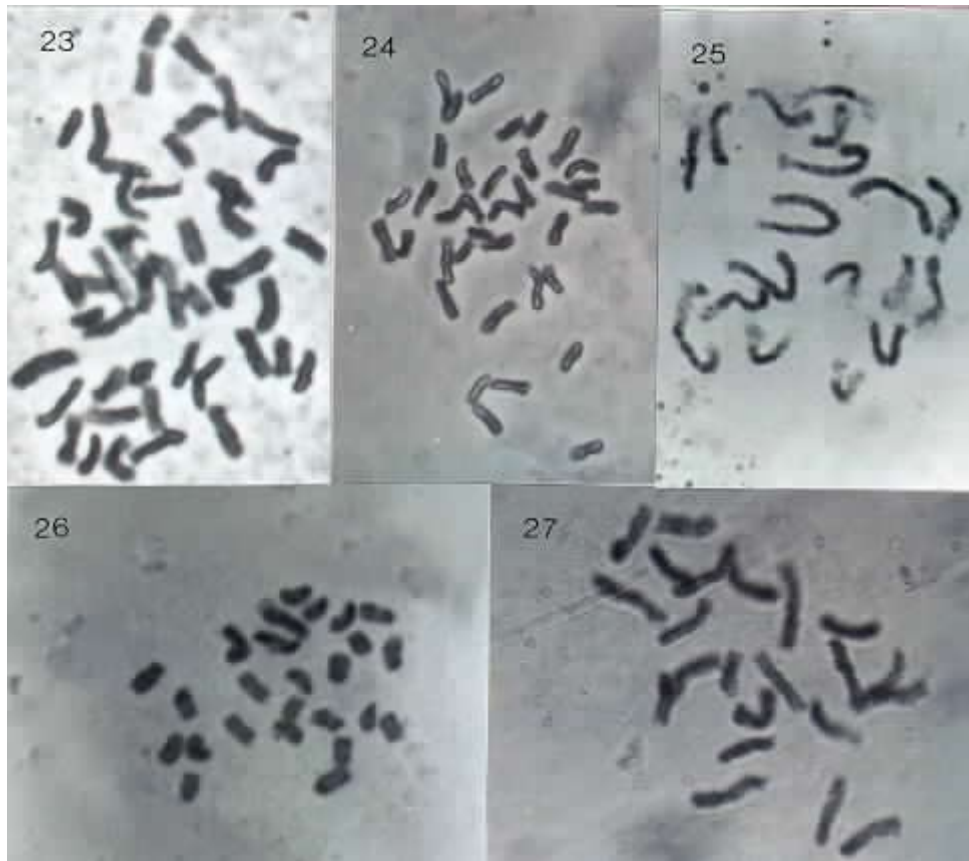


Figure 23-27. Mitotic chromosomes from root tips.

23. *Brachiaria decumbens*, $2n = 48$ (1200x)

25. *B. ruziziensis*, $2n=18$ (1200x)

27. *P. purpureum* cv. Mott, $2n = 22$ (1200x)

24. *B. mutica*, $2n = 36$ (1200x)

26. *Pennisetum purpureum*, $2n = 26$ (1200x)

แตกต่างกัน ซึ่ง Larsen (1963) ได้ศึกษาพืชสกุลนี้แต่ต่างชนิดกันในประเทศไทย คือ *B. milliformis* ($2n = 54-56$) กับ *B. subquadripara* ($2n = 72$) และ Darlington & Wylie (1955) รายงานว่าพืชสกุlnี้มีค่า $2n = 14$, 18, 28, 36, 42 และ 54 โดยมี $x = 7$ และ 9 แสดงว่า พืชสกุlnี้แต่ละชนิดอาจมีจำนวนโครโมโซมเป็นเดิมพอด้อยด้วยหรือเพิ่มขึ้น สำหรับ *B. decumbens* ($2n = 48$) ในการศึกษาครั้งนี้ มีจำนวนโครโมโซมไม่ตรงกับการศึกษาของ Zerpa (1952 อ้างโดย Darlington & Wylie, 1955) ซึ่งศึกษาพืชนี้แบบเขตต้อนของอเมริกา พบว่ามี $2n = 36$ การที่เป็นเช่นนี้อาจเนื่องจากปลูกต่างสถานที่กัน ซึ่งตรงกับ Larsen (1963) รายงานว่าพืชวงศ์นี้ของไทยชนิด

Panicum notatum เก็บจากที่ราบภูเขาดึงมี $2n = 36$ ขณะที่เก็บจากดอยสุเทพบริเวณที่ลาดเอียงมี $2n = 82-84$ จากการศึกษาครั้งนี้แสดงว่า *B. ruziziensis* เป็นเดิมพอด้อยด้วยซึ่งยังไม่เคยมีรายงานมาก่อน ส่วน *B. decumbens* และ *B. mutica* อาจจะเป็นเดิมพอด้อยด้วย

สกุล *Pennisetum purpureum* 2 สายพันธุ์มีจำนวนโครโมโซมไม่เท่ากันคือ $2n = 26$ และ 22 ซึ่งตรงกับการศึกษาของพีชวงศ์นี้ในไทย สกุล *Ischaemum* 2 สายพันธุ์ พบว่ามีค่า $2n = 36$ และ 54 (Larsen, 1963) และ Darlington & Wylie (1955) รายงานพืชชนิดนี้ที่ศึกษาแบบเขตต้อนของแอฟริกา พบว่ามีค่า $2n = 27$, 28 และ 56 เนื่องจากพืชสกุlnี้มีค่า $x = 5, 7, 9$ (Rao

et al., 1993) จึงอาจเป็นไปได้ว่าพืชที่ศึกษาครั้งนี้ จำนวน $2n = 26$ อาจเกิดมาจากพืชเริ่มต้นทริเพลอดี (triploid) $2n = 3x = 27$ ($x = 9$) เมื่อพืชนี้สร้างเซลล์สืบพันธุ์จะมีจำนวนโครโนโซมผิดปกติ จึงทำให้ลูกที่เกิดขึ้นมีจำนวนได้หลายค่า ตั้งแต่ $2n = 18-36$ หรือ อาจเกิดจากเริ่มต้นพืช $n = x = 7$ ในธรรมชาติมีการเพิ่มจำนวนโครโนโซมเป็น 2 เท่า (doubling) แต่ผลที่เกิดขึ้นอาจได้ $n = 13$, 14 หรือ 15 (Stebbins, 1971) จึงทำให้ได้ลูก $2n = 26$ กรณีสายพันธุ์ที่มี $2n = 22$ ก็เช่นกันอาจเกิดจากสาเหตุดังกล่าว หรืออาจเกิดจาก $2n = 3x = 21$ ($x = 7$) และเมื่อมีการเปลี่ยนแปลงจำนวนโครโนโซมเกิดขึ้น จึงทำให้ได้ลูก $2n = 22$ แต่ทั้งนี้จะต้องมีการศึกษาต่อไป เกี่ยวกับการเข้าคู่ของโครโนโซมในระยะเมตาเฟสหนึ่งของไมโครซิส โดยสังเกตจำนวนใบวาเลนต์ (bivalent) ไตรวาเลนต์ (trivalent) และ ยูนิวาเลนต์ (univalent) เป็นต้น เพื่อจะช่วยยืนยันความถูกต้อง

สรุปผลการทดลอง

ศึกษาจำนวนโครโนโซมระยะเมตาเฟสจากเซลล์ปลายรากของพืชเม็ดօอก จำนวน 6 วงศ์ 8 สกุล 22 ชนิด คือ วงศ์ Amaryllidaceae ศึกษา 2 สกุล พบว่า *Hemannthus multiflorus* มี $2n = 18$ และ *Hippeastrum* 3 ชนิด คือ *H. puniceum*, *H. reticulatum striatifolium* และ *Hippeastrum* sp. มี $2n = 22$ ซึ่งทั้งหมดจัดเป็นดิเพลอดีวงศ์ Anthericaceae ศึกษา 1 สกุล คือ *Chlorophytum* 2 ชนิด มีทั้งดิเพลอดีและพอลิเพลอดี คือ *C. bichettii* มีจำนวน $2n = 16$ และ *C. comosum* มี $2n = 28$ วงศ์ Asphodelaceae ศึกษา 1 สกุล 9 ชนิด พบว่า *Aloe* 8 ชนิดเป็นดิเพลอดี ($2n = 14$) และ หนึ่งชนิดเป็นพอลิเพลอดี ($2n = 28$) วงศ์ Convallariaceae ศึกษา 1 สกุล 2 ชนิด คือ *Ophiopogon jaburan* มี $2n = 36$ และ *O. japonicus* มี $2n = 72$ พืชสกุลนี้มีทั้งดิเพลอดีและพอลิเพลอดี วงศ์ Palmae (Arecaceae) ศึกษาเฉพาะ *Elaeis guineensis* มี $2n = 32$ ซึ่งเป็นดิเพลอดี และวงศ์ Poaceae ศึกษา 2 สกุล คือ *Brachiaria* 3 ชนิด คือ *B. decumbens*, *B. mutica* และ *B. ruziziensis* มีค่า $2n = 48$, 36 และ 18 ตามลำดับ มีทั้งดิเพลอดีและ

พอลิเพลอดี และ *Pennisetum purpureum* 2 สายพันธุ์ มีค่า $2n = 26$ และ 22 จากการศึกษาครั้งนี้ จำนวนโครโนโซมของ *Brachiaria decumbens* ($2n = 48$) และ *Pennisetum purpureum* ทั้ง 2 สายพันธุ์ ($2n = 26$, 22) แตกต่างจากผู้ที่ศึกษามาก่อน และ *Aloe juvenna* ($2n = 28$), *A. prinslooi* ($2n = 14$) และ *Brachiaria ruziziensis* ($2n = 18$) เป็นการรายงานครั้งแรก

เอกสารอ้างอิง

- กันยารัตน์ ไชยสุต. 2532. เซลล์พันธุศาสตร์และเซลล์อนุกรมวิธานพืชสกุล *Zephyranthes*. ภาควิชาพุชศาสตร์ คณะวิทยาศาสตร์ จุฬาลงกรณ์มหาวิทยาลัย.
จำลอง เพ็งคล้าย. 2532. พืชใบเลี้ยงคู่ในประเทศไทย. ใน : ความหลากหลายทางชีวภาพในประเทศไทย. การสัมมนาชีววิทยาครั้งที่ 7 โรงเรมเชียงใหม่ภูคำ เชียงใหม่ 16-17 ตุลาคม 2532 หน้า 117-122.
เด็ม สมิตินันท์. 2544. ชื่อพรรณไม้แห่งประเทศไทย (ฉบับแก้ไขเพิ่มเติม). บริษัทประชาชนจำกัด กรุงเทพมหานคร.
ดวงเดือน สุวรรณจินดา. 2544. ควรอ่าโหป์และແບບຊື່ໃນວ່ານສຶກສົດອກສຶກຂາ. โครงการทางชีววิทยາ ภาควิชาชีววิทยา คณะวิทยาศาสตร์ มหาวิทยาลัยสงขลานครินทร์.
ลัծดา เอกสมทราบเมษฐ์ และ กัญญา บุญธรรม. 2538. การนับจำนวนโครโนโซมพืชวงศ์บิง. ว. สงขลานครินทร์ 17(3) : 291-297.
วิทย์ เพียงบูรณธรรม. 2530. พจนานุกรมไม้ดอกไม้ประดับในเมืองไทย. อ.อ.ส.พริ้นติ้งເຫັສ. กรุงเทพฯ.
สาวดีรี เขมวงศ์ และ ลัծดา เอกสมทราบเมษฐ์. 2541. จำนวนโครโนโซมของพืชสกุล *Heliconia*. ว. สงขลานครินทร์ 20(4) : 489-495.
Becker, C.A. 1968. Flora of Java, Vol. III. The Auspices of the Rijksherbarium, Leyden.
Darlington, C.D. and Wylie, A.P. 1955. Chromosome Atlas of Flowering Plants. Ruskin House Museum Street, London.
Eksomtramage, L., Sirirugsa, P. and Mayakul, S. 1996. Chromosome numbers of some Thai Zingiberaceae. Songklanakarin. J. Sci. Technol., 18(2) : 153-159.
Eksomtramage, L., Sirirugsa, P., Sawangchote, P., Jornead, S., Saknimit, T. and Leeratiwong, C. 2001. Chromosome numbers of some monocot species from Ton- Nga-Chang wildlife Sanctuary, Southern Thailand. Thai For. Bull. (Bot.), 29 : 63-71.

- Fau, P. 2000. www.desert-tropical.com/plants/Asphodelaceae/Aloe.
- Goldblatt, P. 1985. Index to plant chromosome numbers 1982-1983. Monographs in Systematic Botany from the Missouri Botanical Garden No. 13.
- Goldblatt, P. 1988. Index to plant chromosome numbers 1984-1985. Monographs in Systematic Botany from the Missouri Botanical Garden No. 23.
- Goldblatt, P. and Johnsons, D.E. 1991. Index to plant chromosome numbers 1988-1989. Monographs in Systematic Botany from the Missouri Botanical Garden No. 40.
- Goldblatt, P. and Johnson, D.E. 1994. Index to plant chromosome numbers 1990-1991. Monographs in Systematic Botany from the Missouri Botanical Garden No. 51.
- Goldblatt, P. and Johnson, D.E. 1996. Index to plant chromosome numbers 1992-1993. Monographs in Systematic Botany from the Missouri Botanical Garden No. 58.
- Larsen, K. 1963. Studies in the Flora of Thailand 14. Dansk Botanisk Forening, Copenhagen.
- Lersen, K. 1969. Cytology of Vascular Plants III. A study of Thai Aroids. Studies in the Flora of Thailand 54.
- Madon, M., Clyde, M.M. and Chean, S.C. 1998. Cytological analysis of *Elaeis guineensis* and *E. oleifera* chromosome. Abstract Journal of Oil Palm Research (formerly known as *Elaeis*) vol. 10 No. 1 : <http://www.mpob.gov.my/home-page96/pubela.html>.
- Rao, Y.S., Rao, S.A. and Mengesha, M.H. 1993. Pachytene analysis in the genus *Pennisetum*. Cytologia 58 :155-160.
- Sharma, A.K. and Sharma, A. 1980. Chromosome Techniques ; Theory and Practice ; Third edition, Butterworth & Co.Ltd., London.
- Soontornchainaksaeng, P. and Chaiyasut, K. 1996. Cytogenetic study of some Thai species of flowering plants. Thai For. Bull. (Bot.) 24 : 50-61.
- Soontornchainaksaeng, P. and Chaiyasut, K. 1999. Cytogenetic investigation of some Euphorbiaceae in Thailand. Cytologia 64 : 229-234.
- Stebbins, G.L. 1971. Chromosome Evolution in Higher Plants. Edward Arnold (Publ.) Ltd., London.

REVIEW ARTICLE

5-aminolevulinic acid from photosynthetic bacteria and its applications

Amornrat Tangprasittipap¹ and Poonsuk Prasertsan²

Abstract

Tangprasittipap, A. and Prasertsan, P.

5-aminolevulinic acid from photosynthetic bacteria and its applications

Songklanakarin J. Sci. Technol., 2002, 24(4) : 717-725

This paper gives an overview on ALA production by photosynthetic bacteria concerning biosynthesis and regulation as well as its application as herbicide, insecticide and growth stimulator. Recent medical applications in the field of photodynamic therapy, cancer treatment, tumor diagnosis and other clinical uses are described.

Key words : 5-aminolevulinic acid, photosynthetic bacteria, ALA production, application

¹Ph.D. Student in Biotechnology, ²Ph.D. (Biotechnology), Assoc. Prof., Department of Industrial Biotechnology, Faculty of Agro-Industry, Prince of Songkla University, Hat Yai, Songkhla 90112 Thailand.

Corresponding e-mail : ppoonsuk@ratree.psu.ac.th

Received, 28 February 2002 Accepted, 5 June 2002

5-Aminolevulinic acid (ALA) or 5-amino-4-oxo-pentanoic acid, is an aliphatic precursor of tetrapyrrole biosynthesis present in all living cells. ALA is the natural photodynamic compound effective as a biodegradable herbicide and insecticide harmless for crops, humans and animals (Sasikala *et al.*, 1994) as well as having promotive effect on the growth and photosynthesis of crops and vegetables (Sasaki *et al.*, 1993). Further applications of ALA are now in the area of medicine and pharmacy products (Levy, 1995).

Commercial ALA is produced by chemical synthesis, which involves many complex reactions

and causes of high expenditure. Biological production of ALA by algae, anoxygenic photosynthetic bacteria and chemotrophic bacteria (Table 1) is an alternative approach as it is a less expensive method than chemical synthesis. Anoxygenic phototrophic bacteria (APB) can accumulate and excrete high concentration of ALA into the medium, hence it is suitable for commercial exploitation (Sasikala *et al.*, 1994) and it now commercially produces from *Rhodobacter sphaeroides*.

This paper gives an overview on the biosynthesis and regulation of ALA by photosynthe-

Table 1. Production of ALA by different groups of microorganisms

Microorganisms	Carbon and nitrogen source	LA	ALA (μM)	References
Phototrophs				
Algae				
<i>Agmemnella quadruplicatum</i>	Glutamate	+	0.225	Kipe-Nolt and Steven, 1980
<i>Cyanidium caldarium</i>	Glutamate	+	0.483	Jugenson <i>et al.</i> , 1976
Bacteria, oxygenic phototrophic				
<i>Anacystis nidulans</i>	Glutamate	+	0.38	Anderson <i>et al.</i> , 1983
<i>Anabaena variabilis</i>	Glutamate	+	0.019	Avisser <i>et al.</i> , 1983
Bacteria, anoxygenic phototrophic				
<i>Rhodobacter sphaeroides</i>	Succinate and glycine	+	0.75	Anderson <i>et al.</i> , 1983
<i>R. sphaeroides</i>	Succinate and glycine	+	2-4	Sasaki <i>et al.</i> , 1991
<i>R. sphaeroides</i>	Succinate and glycine	+	160.0	Ishii <i>et al.</i> , 1990
<i>R. sphaeroides</i>	Swine waste (VFA)	+	4200	Sasaki <i>et al.</i> , 1990
<i>R. sphaeroides</i>	Mandarin orange peel (modern synthetic waste water)	+	16000	Sasaki <i>et al.</i> , 1993
<i>R. sphaeroides</i>	Sewage sludge	+	9300	Tanaka <i>et al.</i> , 1983
<i>Chlorobium limicola</i>	Glutamate	+	3,950	Anderson <i>et al.</i> , 1983
Chemotrophic bacteria				
Aerobes				
<i>Pseudomonas riboflavina</i>	L-alanine	+	0.2	Rhee <i>et al.</i> , 1987
<i>Propionicbacterium shermanii</i>	Succinate and glycine	+	0.04	Menon and Shemin, 1967
Anaerobes				
<i>Clostridium thermoaceticum</i>	Glucose and L-lysine	+	155.0	Sjoji <i>et al.</i> , 1989
<i>Methanosarcina barkeri</i>	Methanol, 2-oxoglutarate	+	0.4	Lin <i>et al.</i> , 1989
<i>Methanobacterium thermoautotrophicum</i>	$\text{H}_2 + \text{CO}_2$	+	0.2	Lin <i>et al.</i> , 1989

VFA : Volatile Fatty Acid ; LA : Levulinic acid ; + : Addition

Source : Sasikala *et al.*, 1994

tic bacteria as well as its application as herbicide, insecticide and growth stimulator and in the medical fields.

Biosynthesis of ALA

The biosynthesis of ALA can be formed via two distinct metabolic pathways (Figure 1).

1. C₄ pathway (Shermin pathway)

Shermin pathway is observed in mammalian cell, yeast, fungi and very common among the purple non-sulfur photosynthetic group and a few chemotrophs (Sasaki *et al.*, 1990). The key enzyme involved in the C₄ pathway of ALA formation is ALA synthetase (EC 2.3.1.37) catalyzing the condensation of succinyl-CoA and glycine. The ALA synthetase activity was highest from cells harvested at the logarithmic phase of growth (Sato *et al.*, 1985).

The culture conditions have high influence on the synthesis of ALA synthetase and changing the culture condition from aerobic to micro-aerobic increased the ALA synthetase activity by 2-4 fold (Sandy *et al.*, 1985). On the other hand, the enzyme synthesis in light was repressed by oxygen and the effect could be overcome upon the restoration of anaerobic condition (Viale *et al.*, 1983).

2. C₅ pathway

The C₅ pathway is present in higher plants, algae and several bacteria, (Kajiwara *et al.*, 1994), indicating the purple and green sulfur bacteria (Sasikala and Ramana, 1995). In C₅ pathway, ALA is formed from glutamate or the α -ketoglutarate via a path that does not involve the ALA synthetase reaction. The purification of the C₅ pathway enzyme indicates that glutamate is reduced to ALA in three steps (Sasikala *et al.*, 1994).

- Ligation of t-RNA to glutamate catalyzed by glutamyl-t-RNA synthetase
- Reduction of glutamyl-t-RNA to generate glutamate-1-semialdehyde (GSA) catalyzed by glutamyl-t-RNA reductase (EC 6.1.1.17)
- Transamination of GSA to generate ALA catalyzed by GSA aminotrans-

ferase (GSA-AT, EC 5.4.3.8)

Two catalytic mechanisms (Figure 2) have been proposed for the GSA conversion to ALA (Grimm *et al.*, 1991). ALA is formed by accepting and releasing amino group at position 5 and 4 of GSA, respectively (Figure 2a) or two molecules of GSA oriented head to tail formation to amino-hemiacetal dimer, which converted into a double Schiff base and rearranged into the amino-hemiacetal (exchange amino groups) and subsequently dissociate into two molecules of ALA (Figure 2b) (Sasikala *et al.*, 1994).

Regulation of 5-aminolevulinic acid production in photosynthetic bacteria

1. Carbon and nitrogen sources

Although glutamate is the carbon and nitrogen source for ALA production by many microorganisms, ALA production can also be produced with other carbon sources (Sasikala *et al.*, 1994). Glucose had the advantage of being an inexpensive source for the industrial production of ALA. In the batch fermentation of mutant strain of *R. sphaeroides* CR606 accumulated ALA to level of 20 mM after 18 h with the production rate was 1.1 mMh⁻¹ and the yield coefficient for ALA was 40% (mol/mol) of glucose (Nishikawa *et al.*, 1999).

R. sphaeroides can utilize volatile fatty acid (VFA) such as acetic, propionic and butyric acid as carbon and energy sources (Sasaki *et al.*, 1987). In addition, VFAs produced from the anaerobic digestion liquor of sewage sludge was reported to be the carbon source for production of ALA, up to 9.2 mM, by *R. sphaeroides* with repeated addition of the glycine and glutamic acid as the organic nitrogen source (Tanaka *et al.*, 1994). The effluent of anaerobic mandarin orange peel (Tinpi) supplemented with glycine could be used to produce 5-aminolevulinic acid from *R. sphaeroides* (Sasaki *et al.*, 1993).

2. Precursors

The addition of precursors (succinate and glycine) in the range of 20-60 mM into the digestion liquor medium resulted in the positive effect to ALA production of *R. sphaeroides* IFO

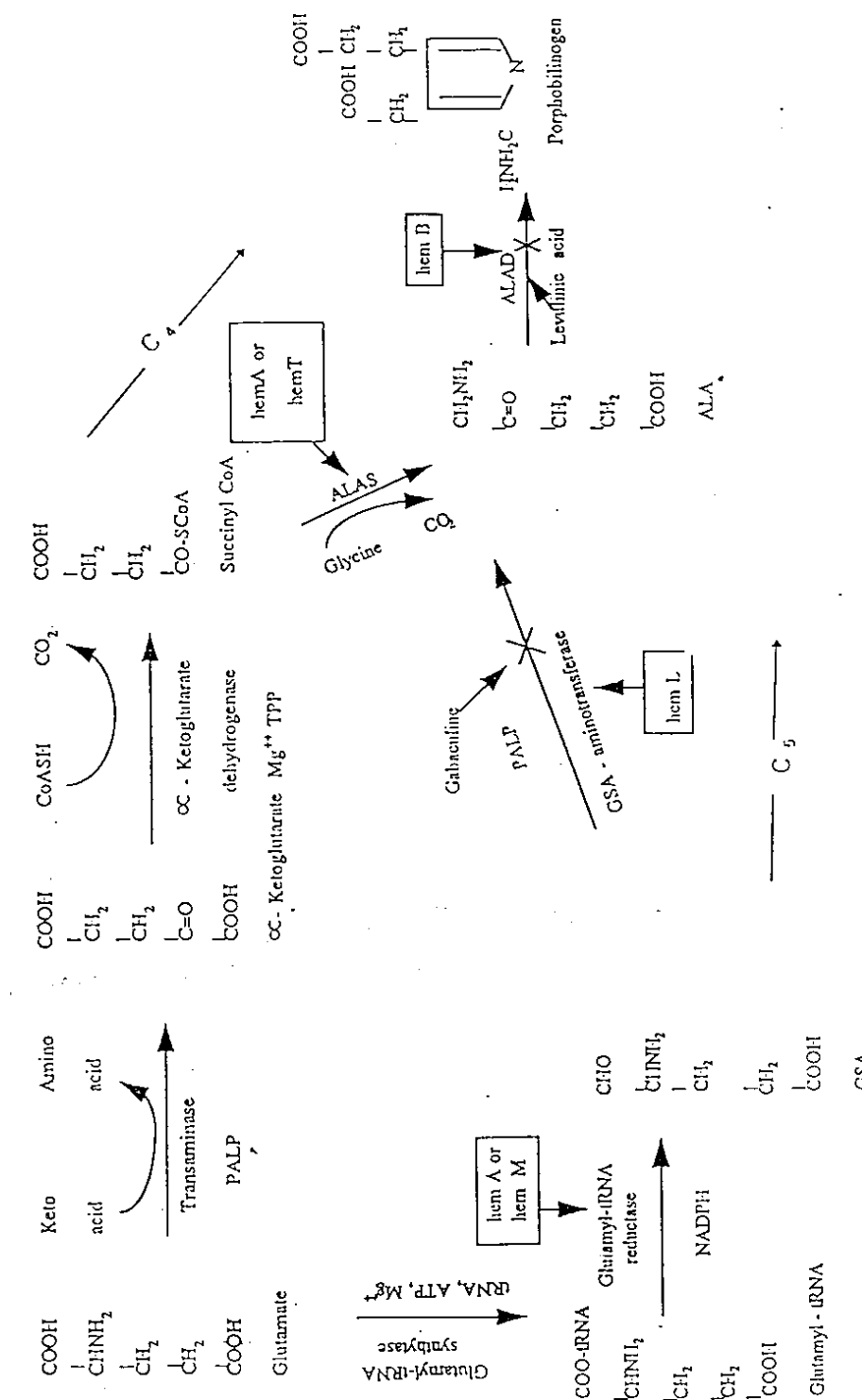
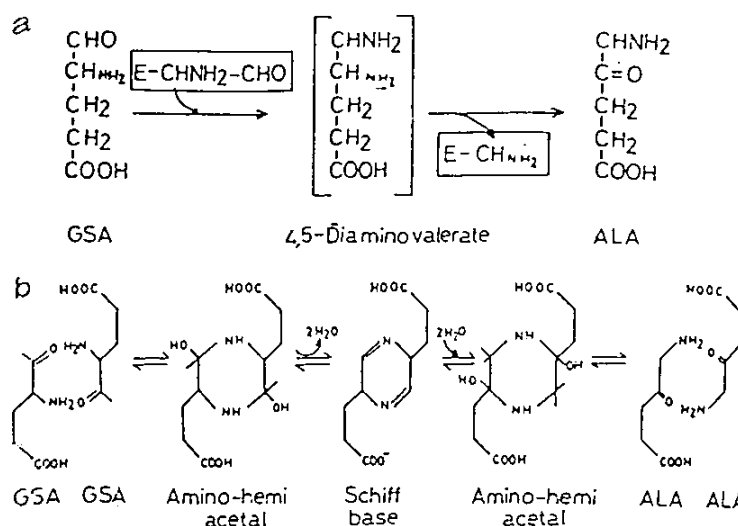


Figure 1. Biosynthesis of 5-aminolevulinic acid (ALA) via C_4 and C_5 pathway

PALA : pyridoxyl phosphate ; TPP : thiamine pyrophosphate ; ALAS : ALA synthetase ; ALAD : ALA dehydratase ;

GSA : glutamyl 1-semialdehyde
Source : Sasaki et al., 1994

**Figure 2. Mechanism of the conversion of glutamate 1-semialdehyde to ALA**Source : Grimm *et al.*, 1991

12203, but above 80 mM of precursors resulted in a negative effect on ALA formation. The supply of succinate is sufficient but the glycine supply might limit ALA formation in this culture system (Sasaki *et al.*, 1990). ALA synthetase and ALA dehydratase activities in the cells are not influenced by the simultaneous addition of precursors compared with these activities in the control (no addition of precursor) but the growth is excessively suppressed by the addition of glycine (Sasaki *et al.*, 1991).

The growth and ALA production of *Chlorella* sp. strain 4S is enhanced by glutamate addition, whereas the addition of succinate and glycine suppresses both (Sasaki *et al.*, 1995). However, the addition of glutamate to the heterotrophic medium culture of *Chlorella regularis* YA-603 does not enhance ALA production and Shermin pathway is suggested to contribute to ALA production of this strain (Ano *et al.*, 1999).

3. Levulinic acid

Levulinic acid (LA), analog of ALA, is an inhibitor of ALA dehydratase which enhances extracellular ALA formation (Sasaki *et al.*, 1987). In photoheterotrophic culture of *R. sphaeroides*, repeated addition of LA results in moderate cell growth suppression while extracellular ALA is

not produced during the cultivation without the addition of LA. The amount of LA should be as small as possible since LA is expensive compared with glycine and 30 mM LA are recommend for use to save cost (Sasaki *et al.*, 1990). At LA concentration over 50 mM, growth ceased completely and ALA was not excreted (Sasaki *et al.*, 1987).

4. Metal ions

Metal ions particularly Fe²⁺ and Co²⁺ are important elements for regulating tetrapyrrole biosynthesis in *R. sphaeroides*. ALA synthetase is regulated by heme compound as feedback inhibition or repression under iron-sufficient conditions. Therefore, ALA production medium should contain neither cobalt nor iron to enhance ALA accumulation (Sasikala *et al.*, 1994).

5. Light intensity

Light intensity is an important factor for enhancing ALA formation. Growth of photosynthetic bacteria is found to be independent of light intensity (1-5 klux), while the amount of ALA is reached the maximum value at 3 klux. High illumination (over 5 klux) was not effective for ALA production and low illumination (below 1 klux) produced quite a low growth rate and virtually no formation of ALA (Sasaki *et al.*,

1987).

6. Aeration

Oxygenation is one of the important factors affecting ALA synthetase activity in the loss of pigmentation due to the decrease in the ALA synthetase activator, cysteine trisulfide and glutathione trisulfide (Sandy *et al.*, 1985). Changing the culture conditions from aerobic to micro-aerobic increased the activity of ALAS by 2-4 folds. The biosynthesis of ALA synthetase under light condition was repressed by oxygen and the effect could be overcome upon the restoration of anaerobic conditions (Viale *et al.*, 1983).

7. pH

The effect of pH (6.0-8.0) of the VFAs culture medium is studied on ALA production by *R. sphaeroides*. At neutral pH (6.8 and 7.0) extracellular ALA production is up to 16 mM. Under controlled pH 6.8±1, intracellular ALA synthetase activity is significantly enhanced after adding LA, while ALA dehydratase is inhibited to low level. At higher pH (8.0) ALA synthetase activity was low and ALA dehydratase is relatively high (Sasaki *et al.*, 1993). The inhibitory effect of LA for ALA dehydratase activity of *R. sphaeroides* is strongly dependent on the pH value of the GM medium. At pH 5.5, 5 mM LA inhibited 85% of ALA dehydratase activity (*in vitro*), while 100 mM LA decreased 45% of ALA dehydratase activity at pH 7.5 (Sasaki *et al.*, 1997).

8. Others factors

Biotin was needed for ALA synthetase activity in the formation of ALA which is the intermediate of bacteriochlorophyll synthesis. Thiamine is the substrate of the coenzyme thiamine pyrophosphate which converts α -oxaglutamate to the C₄-intermediate of Shermin pathway (Lascelles, 1956).

Low molecular weight sulfur compounds of cysteine or glutamine, cysteine trisulfide (CySSSCy), glutathione trisulfide (GSSSG), glutathione and cysteine trisulfide (GSSSCy) and trisulfanedisulfonate (S₅O₆²⁻) regulated the activity of ALA synthetase *in vivo*. Poly (sulfane) disulfonate (-O₃S-Sn-SO₃⁻) and R-Sn-R' (R and R' are organic or inorganic group) with n > 3 are

exhibited as the activators of ALA synthetase. LA requires the presence of an exogenous thio, such as 2-mercaptopropanoic acid or dithioerythritol to maintain catalytic activity while nitrite in the growth medium inhibited ALA production (Sasaki *et al.*, 1994).

Application of 5-aminolevulinic acid

5-aminolevulinic acid converts molecular oxygen into singlet oxygen when excited by the absorption of light. ALA is potentially useful in agriculture as a herbicide and can be used as an antimicrobial drug. The important reason is that it is nontoxic to mammals, is readily biodegradable, and has no adverse effects on the environment (Tanaka *et al.*, 1992). ALA can also be applied as photodynamic therapy for malignant skin tissue tumors.

1. Herbicide

ALA has photodynamic herbicide properties under appropriate treatment conditions. An immediate dark-incubation period after spraying ALA is an essential step to accumulate tetrapyrrole within the plants. ALA serves as a building block of tetrapyrrole accumulation, while a group of modulators, O-phenanthroline, ethyl nicotinate and 2,2'-depyridyl (DP), have affected to the pattern of tetrapyrrole accumulation and act in concert with ALA. DP is a cheap chemical then it is selected to mix with ALA to enhance the accumulation of tetrapyrrole. During the daylight period, the excess tetrapyrrole produces active oxygen (singlet oxygen) which oxidizes the unsaturated fatty acid on the cell surface (lipoprotein component), thus setting in motion a greatly damaging free-radical chain reaction. The cell membranes become leaky and this in turn results in a rapid and severe dehydration, bleaching and collapse of the leaf and/or hypocotyl tissue (Rebriz *et al.*, 1984). Within 24 h the green plant tissue turns into a brownish desiccated mass of dead tissue (Rebriz *et al.*, 1990). On the other hand, treated plants kept for the same period of time in darkness were unaffected.

The accumulation of tetrapyrrole in plant leaves causes very severe photodynamic

damage and the leave die within a few of hours while the cotyledons, stem and growing point remain unaffected. Dicotyledonous weeds such as redroot pigweed, purslane and lambquarter are highly susceptible to the tetrapyrrole induced photodynamic damage. Monocots such as core, wheat, oats and barley were not adversely affected by the spray (Rebriz *et al.*, 1984). The death of plants depended on the ages of plant, ALA concentration, type of modulators, ratio of ALA and modulator, light intensity and kinds of plant treated (Kobayashi and Haque, 1971).

2. Insecticide

Rebriz and his co-worker (1988) developed a novel porphyrin insecticide consisting of modulator of porphyrin, 3.0 mM of ALA plus 30 mM of DP at pH 3.5. When this solution was sprayed on the larvae of *Trichoplusia ni* (Hubner insects) ALA induced the massive accumulation of protoporphyrin IX causing death in darkness via an unknown mechanism and in the light probably via singlet oxygen formation. Besides the advantages of ALA being nontoxic to non-target organisms, such as other crops, animals and human, it is also difficult for insects to develop resistance against ALA.

3. Growth stimulator

Besides having herbicidal property, ALA is a very good growth simulator when used at low concentrations (Sasikala and Ramana, 1995). ALA has promotive effect on the growth and yield of several crops and vegetables, enhancing photosynthesis, stimulating fixation of CO₂ in light. The ALA also suppresses the respiration and the release of CO₂ under dark (Hotta *et al.*, 1997). The appropriate applications of ALA showed 10-60% promotive effect over the control on radish, kidney beans, barley, potatoes, garlic, rice and corn (Sasikala *et al.*, 1994). In addition, the culture medium from ALA production by *R. sphaeroides* could be directly used as a fertilizer having herbicide activity (Sasaki *et al.*, 1990).

4. Photodynamic therapy

Photodynamic therapy (PDT) involves the use of photosensitizers (light-sensitive

molecules) that are activated by light caused the formation of active forms of oxygen which is resulted in the killing of cell in which the photosensitizers are present, while sparing the normal surrounding tissue (Levy, 1995).

Kennedy *et al* (1990) proposed the use of tropically ALA based PDT for selected cutaneous disease. The cosmetic results of ALA-PDT treatment are very good and with a minimal effect on the normal skin (Sveanberg *et al.*, 1994). Promising clinical results have been obtained in photosensitizing superficial skin tumors. In contrast, non-superficial and tumors of morpheiform histologic pattern have shown minor response rates only (Martin *et al.*, 1995, Szeimies *et al.*, 1994).

References

- Anderson, T., Briseid, T., Nesbakken, T., Ormerod, J., Sirevaag, R. and Thorud, M. 1983. Mechanism of synthesis of 5-aminolevulinic acid in purple, green and blue-green bacteria. FEMS Microbiol. Lett. 19 : 303-306.
- Ano, A., Watanabe, K., Tanake, T., Hotta, Y. and Nagai, S. 1999. Effect of glycine on 5-aminolevulinic acid biosynthesis in heterotrophic culture of *Chlorella regularis* YA-603. J. Ferment. Bioeng. 88 : 57-60.
- Avissar, Y.J. 1980. Biosynthesis of 5-aminolevulinate from glutamate in *Anabaena variabilis*. Biochem. Biophys. Acta. 613 : 220-228.
- Grimm, B., Bull, A. and Breu, V. 1991. Structural genes of glutamate 1-semialdehyde amino-transferase for porphyrin synthesis in cyanobacterium and *Escherichia coli*. Mol. Gen. Genet. 225 : 1-10.
- Hotta, Y., Tanaka, T., Takaoka, H., Takeuchi, Y. and Konnai, M. 1997. New physiological effect of 5-aminolevulinic acid in plants : the increase of photosynthesis chlorophyll and plant growth. Biosci. Biotech. Biochem. 61 : 2025-2028.
- Ishii, K., Hiraishi, A., Arai, T. and Kitamura, H. 1990. Light dependent porphyrin production by suspended and immobilized cells of *Rhodobacter sphaeroides*. J. Ferment. Bioeng. 60 : 26-32.

- Kajiwara, M., Mizutani, M., Matauda, R., Hara, K. and Kojima, I. 1994. A new biosynthetic pathway of porphyrin form isopropanol. *J. Ferment. Bioeng.* 77 : 626-629.
- Kennedy, J.C., Pottier, R.H. and Pross, D.C. 1990. Photodynamic therapy with endogenous protoporphyrin IX : basic principles and present clinical experience. *J. Photochem. Photobiol. B.* 6 : 143-148.
- Kipe-Holt, J.A. and Stevens S.E. 1980. Biosynthesis of 5-aminolevulinic acid from glutamate in *Agmenellum quadruplicatum*. *Plant. Physiol.* 65 : 126-128.
- Kobayashi, M. and Haque, M.Z. 1971. Contribution of nitrogen fixation and soil fertility by photosynthetic bacteria. *Plant. Soil.* 443-456.
- Lascelles, J. 1956. The synthesis of porphyrins and bacteriochlorophyll by cell suspension of *Rhodopseudomonas sphaeroides*. *Biochem. J.* 62 : 79-93.
- Levy, J.G. 1995. Photodynamic therapy. *TIBTECH.* 13 : 14-17.
- Lin, D., Nishio, H. and Nagai, S. 1989. Production of 5-aminolevulinic acid by methanogen. *J. Ferment. Bioeng.* 68 : 88-91.
- Martin, A., Tope, W.D., Greveling, J.M., Starr, J.C., Fewkes, J.L., Hotte, T.J. Deutsch, T.F. and Andersson, R.R. 1995. Lack of selectivity of protoporphyrin IX fluorescence for basal cell carcinoma after topical application of 5-aminolevulinic acid: implication for photodynamic treatment. *Arch. Dermatol. Res.* 287 : 665-674.
- Menon, I.A. and Shemin, D.J. 1967. Concurrent decrease of enzyme activities concerned with the synthesis of co-enzyme B12 and of propionic acid in Propionibacteria *Arch. Biochem. Biophys.* 121 : 304-310.
- Nishikawa, S., Watanabe, K., Tanaka, T., Miyashr, N. and Murock, Y. 1999. Rhodobacter sphaeroides mutants which accumulate 5-aminolevulinic acid under aerobic and dark condition. *J. Biosci. Bioeng.* 87 : 798-804.
- Rebriz, C.A., Montazer-Zouhour, A., Hoppen, H. and Wu, S.M. 1984. Photodynamic herbicides I : Concept and phenomenology. *Enzyme. Microbiol. Technol.* 6 : 390-401.
- Rebriz, C.A., Jucick, J.A. and Rebriz, C.C. 1988. Porphyrin insecticide 1. Concept and phenomenology. *Pestic. Biochem. Physist.* 30 : 11-27.
- Rebriz, C.A., Reddy, K.N., Navdihall, V.B. and Velo, J. 1990. Tetrapyrrole-dependent photodynamic herbicides. *Photochem. Photobio.* 52 : 1099-1117.
- Rhee, H.I., Murata, K. and Kimura, A., 1987. Formulation of the herbicide 5-aminolevulinic acid from L-alanine and 4,5 dioxoalerate by *Pseudomonas riboflavin*. *Agric. Biol. Chem.* 51 : 1701-1702.
- Sandy, J.D., Davies, R.C. and Neuberger, A. 1985. Control of 5-aminolevulinic synthetase activity in *Rhodopseudomonas sphaeroides*. A role of trisulphides. *Biochem. J.* 150 : 245-257.
- Sasaki, K., Ikeda, S., Nishizawa, Y. and Hayashi, M. 1987. Production of 5-aminolevulinic acid by photosynthetic bacteria. *J. Ferment. Techol.* 65 : 511-515.
- Sasaki, K., Tanaka, T., Nishizawa, Y. and Hayashi, Y. 1990. Production of herbicide, 5-aminolevulinic acid by *Rhodobacter sphaeroides* using the effluent of swine wastes from an anaerobic digester. *Appl. Microbiol. Biotechnol.* 32 : 727-731.
- Sasaki, K., Tanaka, T., Nishizawa, Y. and Hayashi, M. 1991. Enhanced production of 5-aminolevulinic acid by repeated addition of levulinic acid and supplement of precursors in photoheterotrophic culture of *Rhodobacter sphaeroides*. *J. Ferment. Bioeng.* 71 : 403-406.
- Sasaki, K., Tanaka, T., Nishizawa, Y. and Nagai, S. 1993. Effect of pH on the extracellular production of 5-aminolevulinic acid by *Rhodobacter sphaeroides* from volatile fatty acid. *Biotechnol. Lett.* 15 : 859-864.
- Sasaki, K., Watanabe, M., Tanaka, T., Hotta, Y. and Nagai, S. 1995. 5-Aminolevulinic acid production by *Chlorella* sp. during heterotrophic cultivation in the dark. *World. J. Microbial. Biotechnol.* 11 : 361-362.
- Sasaki, K., Watanabe, M. and Nishio, N. 1997. Inhibition of 5-aminolevulinic acid (ALA) dehydratase by undissociated levulinic acid during ALA extracellular formation by *Rhodobacter sphaeroides*. *Biotech. Lett.* 19 : 421-424.

- Sasikala, Ch., Ramana, Ch.V. and Rao, P.R. 1994. 5-Aminolevulinic acid : A potential herbicide/insecticide from microorganism. Biotechnol. Prog. 10 : 451-459.
- Sasikala, Ch. and Ramana, Ch.V. 1995. Biotechnological potential of anoxygenic phototrophic bacteria II. biopolyester, biopesticide, biofuel and biofertilizer. New York : Academic Press.
- Sato, K. Ishida, K., Mutsushika, O. and Shimizu, S. 1985. Purification and some properties of δ -aminolevulinic acid synthetase from *Rhodobacter ruber* and *Rhodopseudomonas sphaeroides*. Agri. Biol. Chem. 49 : 3415-3421.
- Shoji, K.A., Nishio, N. and Nagai, S. 1989. Production of extracellular 5-aminolevulinic acid by *Clostridium thermoaceticum* grown in minimal medium. Biotech. Lett. 11 : 567-572.
- Svanberg, K., Andersson, T., Killander, D., Wang, I., Stenrum, U., Andersson-Engles, S., Berg, R., Johansson, J. and Svanberg, S. 1994. Photodynamic therapy of nonmalenoma malignant tumours of the skin using topical δ -aminolevulinic acid sensitization and laser irradiation. Br. J. Dermatol. 130 : 743-751.
- Szeimies, R., Sassay, T. and Lanthaler, M. 1994. Penetration potency of topical applied δ -aminolevulinic acid for photodynamic therapy of basal cell carcinoma. Photochem. Photobiol. 59 : 73-76.
- Tanaka, T., Takahashi, K., Hotta, T., Takeuchi, Y. and Konnai, M. 1992. Promotive effect of 5-aminolevulinic acid on yield of several crops. Proc. 19th Annual Meeting of Plant Growth Regulator Society of America, San Francisco, USA. 1992 : 237-241.
- Tanaka, T., Watanabe, B., Watanabe, K., Nishikawa, S. and Hotta, Y. 1993. Cultivation method of bacteria and manufacture of tetrapyrrole by the method. Jpn. Kokai Tokko Koho JP 05224937.
- Tanaka, T., Sasaki, K., Noparatanaraporn, N. and Nishio, N. 1994. Utilization of volatile fatty acids from the anaerobic digestion liquor of sewage sludge for 5-aminolevulinic acid production by photosynthetic bacteria. World. J. Microbiol. Biotechnol. 10 : 667-680.
- Viale, A.A., Wider, E.A. and Battle, A.M.C. 1983. Some properties of the 5-aminolevulinate synthetase form *Rhodopseudomonas pulustris*. Rev. Argent. Microbiol. 15 : 233-238.

REVIEW ARTICLE

Yogurt: The fermented milk

Nathanon Trachoo

Yogurt has been known to mankind for over 6,000 years. The word "yogurt" is possibly derived from the Turkish word "jugurt" which first appeared in the 8th century (Rasic and Kurmann, 1978) but today various names are used to refer to yogurt or similar products. These names include Dahi or Dahee in India, Roba in Iraq, and Fiili in Finland (Tamime and Deeth, 1980; Tamime and Robinson, 1985) and several others. It is likely that yogurt originated in the Middle East where there was a limited availability of milk due to the desert environment. Ancient Turks who lived as nomads possibly introduced yogurt to village people as a preserved milk product (Akin and Rice, 1994; Rasic and Kurmann, 1978; Tamime and Robinson, 1985). Popularity of yogurt is greatly attributed to Professor Elie Metchnikoff of the Pasteur Institute in Paris, who shared the Nobel Prize in Physiology and Medicine in 1908 and authored the book, "The Prolongation of Life" in which he

advocated the health benefits of yogurt.

Yogurt was first introduced to the U.S. in the early 20th century and gained significant consumer popularity during the 1960's and 1970's. Sales in the U.S. increased from 141 million kg in 1974 to 616 million kg in 1995 (Anon, 1996). Yogurt has now become a popular subject for researchers nationwide as it has been claimed to be a healthy food.

During the past decade, full fat yogurt consumption has declined due to changes in dietary habits of consumers, in particular, reduction in milkfat consumption. Many modifications in yogurt manufacturing have therefore been developed to reduce milkfat content in yogurt resulting in the availability of nonfat and lowfat yogurt.

Definition of yogurt

According to the Code of Federal Regulations of the FDA (FDA, 1996c), yogurt is defined

Ph.D. (Food Science and Technology), Department of Food Technology and Nutrition, Faculty of Technology, Mahasarakham University, Mahasarakham 44000 Thailand.

Corresponding e-mail: nathanon.t@msu.ac.th

Received, 15 February 2002 Accepted, 25 June 2002

as the "food produced by culturing one or more of the optional dairy ingredients (cream, milk, partially skimmed milk, and skim milk) with a characterizing bacteria culture that contains the lactic acid-producing bacteria, *Lactobacillus delbrueckii* subsp. *bulgaricus* and *Streptococcus thermophilus*". Other descriptions are included as follows. "To increase the nonfat solids content of the food, other optional ingredients (concentrated skim milk, nonfat dry milk, buttermilk, whey, lactose, lactalbumins, lactoglobulins and modified whey) may also be added and shall be included in the culturing process. Yogurt, before the addition of bulky flavors, contains not less than 3.25% milkfat and not less than 8.25% milk solids not fat, and has a titratable acidity of not less than 0.9%, expressed as lactic acid. Yogurt may be heat treated after fermenting to destroy viable microorganisms for a longer shelf life of the food".

Lowfat yogurt and nonfat yogurt are similar in description to yogurt but contain 0.5 to 2% and less than 0.5% milkfat, respectively (FDA, 1996a; FDA, 1996b).

In many other countries, regulatory agents follow the definition of yogurt defined by Food and Agriculture Organization/World Health Organization (FAO/WHO). The FAO/WHO Codex Alimentarius Commission defines yogurt as "a coagulated milk product obtained by lactic acid fermentation through the action of *Lb. delbrueckii* subsp. *bulgaricus* and *St. thermophilus* from milk (pasteurized or concentrated milk) with or without additions (milk powder, skim milk powder, etc.). The microorganisms in the final product must be viable and abundant" (Mareschi and Cueff, 1989; Rasic, 1987).

Manufacture of yogurt

Although, yogurt was accidentally discovered in ancient times through natural processes, yogurt manufacturing procedures are now highly developed. Before yogurt bacteria were discovered, no one knew what caused milk to coagulate. Yogurt was traditionally made from boiled milk inoculated with yogurt from the previous day. In-

oculated milk was kept overnight at room temperature (Tamime and Deeth, 1980; Tamime and Robinson, 1985). Since the first commercial production of yogurt by Danone in Spain in 1922, yogurt manufacturing has expanded dramatically and quality has improved. Some guidelines for yogurt manufacturing have been described by Norling (1979) and White (1995).

Raw materials. Yogurt was traditionally made from milk with no added ingredients. To improve yogurt texture, milk or skim milk was fortified with other materials such as nonfat dry milk (NDM), whey protein concentrate (WPC) and some other dairy or plant-based ingredients. Milk from at least nine different species is used commercially; cow, mare, ass, goat, buffalo, yak, ewe, reindeer and camel (Kehagias and Dalles, 1984; Kroger *et al.*, 1989; Rasic and Kurmann, 1978; Tamime and Robinson, 1985). These milks differ in composition from each other, which considerably affects yogurt qualities. For example, yogurt made from milk of ewe, buffalo, yak or reindeer is high in fat (6.5 to 11.0%) and has better consistency than that made from milk of cow, goat and ass (1.4 to 4.0% fat) (Rasic and Kurmann, 1978).

Preparation of yogurt mix often involves addition to milk of milk powder, sweet buttermilk powder (BMP), whey powder, WPC, casein powder or plant protein, and concentration by evaporation, reverse osmosis or ultrafiltration (Broome *et al.*, 1982; Bundgaard *et al.*, 1972; Chapman *et al.*, 1974; Jepsen, 1979; Kolar *et al.*, 1979; Mistry and Hassan, 1992; Norling, 1979; Tamime and Deeth, 1980; Tamime and Robinson, 1985; White, 1995). The addition of 3 to 4% of NDM to yogurt mix is common to increase total solids (TS) for lowfat, nonfat and low calorie yogurt (Morris and Ghaleb, 1995; Tamime *et al.*, 1994). Researchers (Harwalkar and Kalab, 1986) found that yogurt with a higher TS content was less susceptible to syneresis and had shorter casein particle chains. Modler *et al.* (1983) compared the physical and sensory properties of yogurt fortified with casein-based proteins (sodium caseinate, ultrafiltered milk and NDM) and whey proteins concentrated

by three different methods (ultrafiltration, ion exchange and electrodialysis/lactose crystallization) to increase protein content by 0.5 and 1.0% in yogurt mixes. It was found that yogurts with added casein-based proteins had a coarser texture than those with added WPC. To increase gel strength and reduce syneresis of yogurt, sodium caseinate was the most effective supplement. However, they did not recommend the use of WPC as a replacement for starch and hydrocolloids because of excessive syneresis (Modler and Kalab, 1983; Modler *et al.*, 1983).

Nonfat and lowfat yogurt can also be made from plant-based ingredients such as soybean milk. However, such yogurt has a beany flavor and produces flatulence. Soybean yogurt mix with added NDM, evaporated milk or whey-based ingredients can reduce beany flavor and flatulence due to improved fermentation by yogurt cultures (Buono *et al.*, 1990; Granata and Morr, 1996; Karleskind *et al.*, 1991). Sufficient yogurt flavor intensity cannot be obtained in soy milk-based yogurt (Lee *et al.*, 1990). To increase amounts of nutrients such as vitamin A, C and dietary fiber, Collins *et al.* (1991) used milk with added sweet potato as raw material for yogurt production. This yogurt received a mean score of 7.7 out of 10 for flavor. Soy protein isolates have also been investigated to replace NDM in yogurt manufacturing to improve viscosity and reduce syneresis (Kolar *et al.*, 1979).

A scientist in Cornell University's Food Science and Technology Department (Kosikowski, 1979) used diluted ultrafiltered skim milk for low-lactose yogurt production. The yogurt flavor was flat, thus BMP and/or sodium citrate were added to improve lactic acid fermentation. Becker and Puhan (1989) reported that using ultrafiltered milk in yogurt manufacturing could increase the nutritional value of yogurt because of higher protein, calcium and phosphorus content in the product.

Homogenization. Homogenization breaks down fat into smaller globules which prevents the formation of a cream line. This improves the consistency and viscosity of yogurt, thus a greater

stability to syneresis can be obtained (Rasic and Kurmann, 1978; Tamime and Deeth, 1980; Tamime and Robinson, 1985). Furthermore, homogenization of yogurt mix breaks up powdered ingredients resulting in uniform distribution of the ingredients (Vedamuthu, 1991). According to Schmidt and Bledsoe (1995), homogenization has an adverse impact on yogurt with a lower fat content; it increases syneresis or reduces water-holding capacity due to empty spaces between casein matrices, and lack of native milkfat globule membrane (FGM) (Schmidt and Bledsoe, 1995). In higher fat yogurts clusters of fat globules can fill up these spaces, thus syneresis can be minimized. Darling and Butcher (1978) studied FGM in homogenized cream and reported that caseins and whey proteins were adsorbed on the fat-serum interface. The whey proteins in unpasteurized cream could be easily removed from the interface, but after pasteurization they strongly bonded and were more difficult to remove.

Heat treatment. The objectives of heat treatment of yogurt mix are to kill pathogenic microorganisms, to minimize spoilage microorganisms and to inactivate lipase and hence to prevent lipolysis (Rasic and Kurmann, 1978). Yogurt mix is normally heated at a higher temperature and longer time than normal pasteurization, ranging from 90 to 95°C for 5 to 10 min, to help improve product consistency through whey protein denaturation (Mottar *et al.*, 1989; Rasic and Kurmann, 1978; Tamime and Deeth, 1980; Tamime and Robinson, 1985). The degree of denaturation depends on the intensity of heat applied. Low TS yogurt may require more whey protein denaturation than high TS yogurt (Rasic and Kurmann, 1978). Whey proteins which participate in casein aggregation in yogurt are α -lactalbumin (α -LA) and β -lactoglobulin (β -LG). The former has a denaturation temperature of 62°C and the latter, 78°C (Wong *et al.*, 1988). Denaturation of whey proteins is determined not only by heat treatment but also by other conditions. For example, the removal of calcium prevents α -LA redenaturation. The native tertiary structure of heat treated α -LA can be recovered

upon cooling because of its high affinity to calcium. Thus calcium aids in reconstruction of the tertiary structure of α -LA (Bernal and Jelen, 1984). β -LG accounts for 50% of whey proteins in skim milk or 9% of total protein, two times more than α -LA, therefore it plays an important role in casein aggregation (Wong *et al.*, 1988). When κ -casein is heated in the presence of β -LG, κ -casein - β -LG complex is formed via disulfide bonds (Davies *et al.*, 1978; Elfagm and Wheelock, 1978; Long *et al.*, 1963; Tessier and Rose, 1964). β -LG could also react with α -LA during heating (Elfagm and Wheelock, 1978; Elfagm and Wheelock, 1978; Tamime and Deeth, 1980; Tamime and Robinson, 1985). Mottar *et al.* (1989) indicated that the ratio of β -LG to α -LA at micellar surface and the level of heat treatment affected yogurt texture. Rasic and Kurmann (1978) indicated that during heat treatment there were two possible events depending on heat intensity; very high heat treatment such as 90°C for 10 min induces both α -LA and β -LG to participate in protein aggregation resulting in less susceptibility to syneresis in yogurt, but a lower heat treatment (vat pasteurization) causes β -LG to participate rather than α -LA because 80 to 90% of denatured α -LA is reversible after heating (Wong *et al.*, 1988). Incorporation of β -LG at the micellar surface gives a long chain casein micelle linked by a finely flocculated protein resulting in a loose structure and an increase in syneresis (Modler and Kalab, 1983).

Microbiology of yogurt

Early investigations of yogurt microorganisms were conducted by a number of scientists such as Metchnikoff (1904, 1907), Grigoroff (1905), Maze (1905) and Guerbet (1906). They found rod and coccal-shaped bacteria, yeasts and molds in yogurt (Rasic and Kurmann, 1978; Tamime and Robinson, 1985). Much of the credit for the study of yogurt bacteria was contributed to Orla-Jensen. Yogurt bacteria are now characterized as lactic acid bacteria belong to the *Lactobacillaceae* and *Streptococcaceae* genera. Generally, yogurt cultures are *L. delbrueckii* subsp.

bulgaricus and *S. thermophilus*, which are thermoduric, homofermentative lactic acid bacteria (Tamime and Deeth, 1980). Some other strains such as *L. helveticus*, *L. jugurti*, *L. acidophilus* and *Bifidobacterium* spp. are also sometimes used as adjuncts.

Lactobacillus delbrueckii subsp. *bulgaricus* can ferment glucose, fructose, galactose and lactose to lactic acid. It produces D (-)-lactic acid up to 1.7% in milk and has a growth temperature of 22 to 60°C (Rasic and Kurmann, 1978) with an optimum growth temperature of 40 to 50°C (Mayra-Makinen and Bigret, 1993). The growth temperature for *S. thermophilus* ranges from 20 to 50°C with an optimum of 40 to 45°C. It can ferment glucose, fructose, lactose and saccharose and produces L (+)-lactic acid up to 0.7 to 0.8% in milk. It can grow in the presence of bile salts, but is very sensitive to antibiotics. Both yogurt organisms are non-motile. The average size of *L. delbrueckii* subsp. *bulgaricus* is 0.8 to 1.0 \times 4 to 6 μm , and that of *S. thermophilus* is 0.7 to 0.9 μm in diameter (Rasic and Kurmann, 1978).

When a single strain of either *L. delbrueckii* subsp. *bulgaricus* or *S. thermophilus* is used, lactic acid and acetaldehyde production is lower compared with that in a mixed culture (Hamdan *et al.*, 1971; Rasic and Kurmann, 1978). There are two stages involved in yogurt fermentation. In the first stage, *L. delbrueckii* subsp. *bulgaricus* stimulates the growth of *S. thermophilus* by liberating essential amino acids from casein by proteolytic activity (Sandine and Elliker, 1970). In this stage, *L. delbrueckii* subsp. *bulgaricus* grows slowly because it is microaerophilic (Vedamuthu, 1991). At the end of the first stage, the growth of *S. thermophilus* is slowed down because of the high lactic acid concentration. When *S. thermophilus* produces enough formic acid, which stimulates growth of *L. delbrueckii* subsp. *bulgaricus*, the second stage begins. By this symbiotic action, the desirable acidity of the final yogurt can be achieved (Rasic and Kurmann, 1978). *Lactobacillus delbrueckii* subsp. *bulgaricus* and *S. thermophilus* are proteolytic bacteria. The former has a higher proteolytic activity.

Slocum *et al.* (1988) reported that in yogurt with 10.0 to 17.5% total solid (TS) maximum proteolysis occurred at 14.5% TS.

Although, there is no regulatory requirement in the U.S. regarding the number of viable *L. delbrueckii* subsp. *bulgaricus* and *S. thermophilus*, it has been established with respect to therapeutic properties that yogurt should contain live lactic acid bacteria (Roberts and Maust, 1995). In countries such as Japan, South Korea and Poland, legislation requires viable lactic acid bacteria in the final product ranging from 10^6 to 10^8 cells/g (Hamann and Marth, 1984; Orihara *et al.*, 1992).

Media for rods and cocci. Media for differentiation of rods and cocci in yogurt have been studied. Lee *et al.* (1974) differentiated rod and coccus colonies based on the capability for saccharose utilization of *L. delbrueckii* subsp. *bulgaricus* and *S. thermophilus*. In the presence of saccharose in a basal media with added bromcresol purple indicator, referred to as Lee's media, *S. thermophilus* ferments both saccharose and lactose and lowers pH to change the color of the bromcresol purple indicator, and thus forms yellow colonies. Although *L. delbrueckii* subsp. *bulgaricus* is a stronger acid producer, it can ferment lactose but not saccharose. Thus, it produces less acid, and forms white colonies in this media. Matalon and Sandine (1986) modified Elliker's lactic agar by addition of 0.1% Tween 80 and 7.0% sterile reconstituted NDM. This media was referred to as Yogurt Lactic Agar. As *L. delbrueckii* subsp. *bulgaricus* can produce more lactic acid, its larger colonies have cloudy zones, which result from casein precipitation, whereas colonies of *S. thermophilus* in the same media are smaller and lack cloudy zones.

Acetaldehyde production in yogurt

Generally yogurt flavor, other than lactic acid, consists of acetaldehyde, acetone, acetoin and a small amount of diacetyl (Sandine and Elliker, 1970). Among these, acetaldehyde is believed to be responsible for typical yogurt flavor (Bottazzi and Dellaglio, 1967). *Lactobacillus*

delbrueckii subsp. *bulgaricus* is more capable in both acid and acetaldehyde production compared to *S. thermophilus* (Singh and Sharma, 1982). Acetaldehyde is mainly produced from glucose via pyruvate catabolism (Keenan and Bills, 1968; Lees, 1969; Lees and Jago, 1978). Yogurt bacteria also have threonine aldolase, which converts threonine to acetaldehyde and glycine. *Streptococcus thermophilus* may be responsible for increased acetaldehyde production as its threonine aldolase is stimulated by the addition of threonine (Wilkins *et al.*, 1986). Marranzini *et al.* (1989) used ultrafiltration to deplete free amino acids in the skim milk in their study. Lactose and standard free amino acids except threonine and glycine were added to skim milk. They found that threonine aldolase activities of *L. delbrueckii* subsp. *bulgaricus* and *S. thermophilus* were reduced in the high glycine and low threonine media, but increased in high threonine and low glycine media. Threonine and glycine concentrations did not affect yogurt bacteria growth and acid production. Marshall and El-Bagoury (1986) increased acetaldehyde level in goat's milk yogurt by adding 0.1% threonine to yogurt mix made by ultrafiltered milk.

Textural properties of yogurt

Textural properties for yogurt include viscosity, firmness and syneresis. Measuring viscosity of yogurt is challenging because it is non-Newtonian, i.e. viscosity changes as shear stress changes (Charm, 1971). Therefore, in order to report on the apparent viscosity of yogurt, one has to precisely specify the measurement conditions used.

Viscosity of yogurt is affected by composition, type of starter cultures, heat treatment and stabilizer. As the TS increase, viscosity and firmness increase (Becker and Puhan, 1989; Guirguis *et al.*, 1984). Ropy strains of *L. delbrueckii* subsp. *bulgaricus* and *S. thermophilus* have been studied and used to produce smooth and viscous yogurt (Hess *et al.*, 1997; Vedamuthu, 1991). These bacteria, often called slime-producing bacteria, produce exopolysaccharides, which help increase

viscosity.

Heat treatment affects textural properties of yogurt. Labropoulos *et al.* (1981) indicated that yogurt made from UHT-treated milk (149°C, 3.3 s) had lower viscosity than that made from vat-treated milk (63°C and 82°C, 30 min). This was confirmed by Salji *et al.* (1984). When less intense heat treatment was used (Schmidt *et al.*, 1985), yogurt made from UHT-treated milk (138°C, 3 to 6 s) had lower viscosity and firmness but less syneresis than that made from vat-treated milk (82°C, 20 min). Whey protein denaturation was believed to be responsible for this phenomenon.

Becker and Puhan (1989) noted that yogurt fortified with ultrafiltered milk had higher viscosity and firmness compared to yogurt fortified with NDM and evaporated milk with similar composition. Susceptibility to syneresis of 2.0% fat and 5.0% protein yogurts fortified with various dairy ingredients including NDM, BMP, sodium caseinate and WPC (35 to 75% protein) were studied by Guinee *et al.* (1995). They reported that BMP yogurt yielded the least syneresis.

During cold storage of milk that has been contaminated by psychrotrophic bacteria, κ-casein is subjected to break down by proteolysis. This causes the yogurt made from such milk to be firmer, more viscous and sensitive to syneresis; however, sensory qualities of the yogurt were not reported (Gassem and Frank, 1991).

Microstructure of yogurt

Microstructure of yogurt is usually studied by transmission electron microscopy (TEM) of thin section and scanning electron microscopy (SEM) (Kalab *et al.*, 1983). Sample preparation for TEM is time consuming but it allows for the visualization of casein aggregation, whereas with SEM sample preparation is easier and aids in the study of gel structure (Kalab and Harwalkar, 1973). Skriver *et al.* (1995) used SEM to differentiate the microstructure of yogurt made withropy and nonropy strains of *L. delbrueckii* subsp. *bulgaricus* and *S. thermophilus*. Harwalkar and Kalab (1986) found that an increase in TS increased the density of yogurt matrices which

resulted in decreased syneresis. Interestingly, casein particles of 30% TS yogurt were finer than those of 10% TS yogurt. Yogurt made by fermentation to pH 3.85 was more porous and firmer than that made by fermentation to pH 4.5.

Heat treatment of a yogurt mix causes changes in the microstructure of finished product. As previously mentioned, denaturation of whey proteins is responsible for the changes in gel formation. Protein micelles in yogurt mix when heated at 90°C for 10 min have appendages which are complexes of whey proteins and κ-casein, but without casein fusion (Davies *et al.*, 1978). During the fermentation process, these appendages inhibit casein fusion resulting in a loose structure (Davies *et al.*, 1978; Mottar *et al.*, 1989). Davies *et al.* (1978) noted that not only temperature of heat treatment but holding time was also an important factor influencing the appendage formation on the micelle surface. Mistry and Hassan (1992) studied the use of high milk protein powder (18.9% protein) in the production of nonfat yogurts (5.04 to 7.39% protein). They indicated that a high protein yogurt (7.39%) yielded a less porous structure and had lower syneresis than lower protein yogurts.

The existence of FGM in reconstituted BMP and yogurt made from such powder was confirmed by TEM (Kalab, 1980). Tamime *et al.* (1989) noted that FGM of large fat globules (5 μm) in Labneh (6.8 to 8.2% protein and 9.2 to 10.5% fat) were broken by homogenization, whereas FGM of small fat globules were intact but they could not conclude if incorporation of FGM improved yogurt quality (Tamime *et al.*, 1991). Aguilera and Kinsella (1991) reported that recombined fat globules with diameters < 1.26 μm increased the compression stress of a gel consisting of 8.3% NDM, 3% whey protein isolate (92.7% protein) and 4.4% fat.

In a recent development, confocal scanning laser microscopy was used to study the microstructure of yogurt during fermentation in real time without sample preparation (Hassan *et al.*, 1995). It was noted that there were three stages involved in yogurt fermentation: lag phase, ag-

gregation and contraction of milk proteins.

Nonfat and lowfat yogurt

Nonfat and lowfat yogurts were introduced to meet consumer needs. During the past decade, many attempts have been made to produce nonfat and lowfat yogurts which are similar in quality to full fat yogurt. In order to be able to state "nonfat" or "lowfat" on the label, a yogurt manufacturer must produce yogurt conforming to fat content requirements. Roberts and Maust (1995) measured fat content in nonfat, 1% and 1.5% fat yogurts and reported that 50% of these commercial yogurts did not meet the requirements for fat content.

To manufacture reduced fat yogurt, proper ingredient selection is important such as use of skim milk and NDM. However the consequences can be undesirable. Adding NDM increases caloric value of yogurt and acid production as about 50% of NDM is lactose (Kalab *et al.*, 1983). A powdery flavor can be detected in yogurt fortified with too much NDM (Tamime and Robinson, 1985). Using fat replacers is another effort to reduce fat content in yogurt. Farooq and Haque (1992) reported that nonfat low calorie yogurt produced by adding a sugar ester as a fat substitute, aspartame as a sweetener and a cream-like substance as a flavor enhancer had a better mouthfeel and texture compared with yogurt without the fat substitute. Microstructure of yogurt containing whey protein-based fat substitute, Simplesse 100TM, or anhydrous milkfat were compared by Tamime *et al.* (1995). Both the fat substitute with 0.1 to 3 µm diameter and the anhydrous milkfat interacted with protein matrices, but yogurt with the fat substitute was softer and more susceptible to syneresis. In a study on the effect of seven different starch-based fat substitutes on nonfat yogurt (0.1% fat) firmness of yogurt increased with the substitutes, but flavor and mouthfeel worsened (Tamime *et al.*, 1996). Lowfat yogurt (1.5% fat) made with oils from olive, groundnut, sunflower and maize differed in flavor and aroma from yogurt made with anhydrous milkfat but the oils did not affect lactic

acid bacteria (Barrantes *et al.*, 1996; Barrantes *et al.*, 1996).

Nonfat yogurt is normally low in TS (10 to 12%) and consequently suffers from whey separation or syneresis (Harwalkar and Kalab, 1986; Schellhaass and Morris, 1985). To reduce syneresis, thickening agents such as gelatin, starch, cellulose derivatives, alginates and carrageenan can be legally added (FDA, 1996b). Gelatin and carrageenan result in the clustering of casein micelles (Kalab *et al.*, 1983), therefore potentially reducing syneresis (Modler *et al.*, 1983). As indicated earlier, yogurt texture may also be improved by the utilization of ropy strains of yogurt bacteria (Hess *et al.*, 1997; Teggatz and Morris, 1990).

Summary

Yogurt manufacturing has long been known to mankind. Yogurt gained its popularity from health-concerned consumers worldwide. Due to the presence of cholesterol in milkfat, nonfat and lowfat yogurt were invented. Similar to Bulgarian milk, other nutritive and therapeutic properties are of significance.

References

- Aguilera, J. M., and Kinsella, J. E. 1991. Compression strength of dairy gels and microstructural interpretation. *J. Food Sci.* 56: 1224-1228.
- Akin, N., and Rice, P. 1994. Main yogurt and related products in Turkey. *Cult. Dairy Prod. J.* 29: 23, 25-26, 28-29.
- Anon. 1996. Milk facts. Milk Industry Foundation, Washington, DC.
- Barrantes, E., Tamime, A. Y., Sword, A. M., Muir, D. D., and Kalab, M. 1996. The manufacture of set-type natural yoghurt containing different oils- 1: compositional quality, microbiology evaluation and sensory properties. *Int. Dairy J.* 6: 811-826.
- Barrantes, E., Tamime, A. Y., Sword, A. M., Muir, D. D., and Kalab, M. 1996. The manufacture of set-type natural yoghurt containing different oils- 2: rheological properties and microstructure. *Int. Dairy J.* 6: 827-837.

- Becker, T., and Puhan, Z. 1989. Effect of different process to increase the milk solids non-fat content on the rheological properties of yoghurt. *Milchwissenschaft* 44: 626-629.
- Bernal, V., and Jelen, P. 1984. Effect of calcium binding on thermal denaturation of bovine α -lactalbumin. *J. Dairy Sci.* 67: 2452-2454.
- Bottazzi, V., and Dellaglio, F. 1967. Acetaldehyde and diacetyl production by *Streptococcus thermophilus* and other lactic streptococci. *J. Dairy Res.* 34: 109-113.
- Broome, M. C., Willman, N., Roginski, H., and Hickey, M. W. 1982. The use of cheese whey protein concentrate in the manufacture of skimmilk yoghurt. *Aust. J. Dairy Technol.* 37: 139-142.
- Bundgaard, A. G., Olsen, O. J., and Madsen, R. F. 1972. Ultrafiltration and hyperfiltration of skim milk for production of various dairy products. *Dairy Indus.* 37: 539-546.
- Buono, M. A., Setser, C., Erickson, L. E., and Fung, D. Y. C. 1990. Soymilk yogurt: sensory evaluation and chemical measurement. *J. Food Sci.* 55:528-531.
- Chapman, H. R., Bines, V. E., Glover, F. A., and Skudder, P. J. 1974. Use of milk concentrated by ultrafiltration for making hard cheese, soft cheese and yoghurt. *J. Soc. Dairy Technol.* 27: 151-155.
- Charm, S. E. 1971. Flow of fluid foods, p. 54-56, The Fundamentals of Food Engineering, 2nd ed. AVI Publishing Co., Inc., Westport, CT.
- Collins, J. L., Ebah, C. B., Mount, J. R., Demott, B. J., and Draughon, F. A. 1991. Production and evaluation of milk-sweet potato mixtures fermented with yogurt bacteria. *J. Food Sci.* 56: 685-688.
- Darling, D. F., and Butcher, D. W. 1978. Milk-fat globule membrane in homogenized cream. *J. Dairy Res.* 45: 197-208.
- Davies, F. L., Shankar, P. A., Brooker, B. E., and Hobbs, D. G. 1978. A heat-induced change in the ultrastructure of milk and its effect on gel formation in yoghurt. *J. Dairy Res.* 45: 53-58.
- Elfagm, A. A., and Wheelock, J. V. 1978. Heat interaction between α -lactalbumin, β -lactoglobulin and casein in bovine milk. *J. Dairy Sci.* 61: 159-163.
- Elfagm, A. A., and Wheelock, J. V. 1978. Interaction of bovine α -lactalbumin and β -lactoglobulin during heating. *J. Dairy Sci.* 61: 28-32.
- Farooq, K., and Haque, Z. U. 1992. Effect of sugar esters on the textural properties of nonfat low calorie yogurt. *J. Dairy Sci.* 75: 2676-2680.
- FDA. 1996a. Lowfat yogurt. 21CFR 131.203, Code of Federal Regulations. U.S. Dept. of Health and Human Services, Washington, DC.
- FDA. 1996b. Nonfat yogurt 21 CFR 131.206, Code of Federal Regulations. U.S. Dept. of Health and Human Services, Washington, DC.
- FDA. 1996c. Yogurt. 21 CFR 131.200, Code of Federal Regulations. U.S. Dept. of Health and Human Services, Washington, DC.
- Gassem, M. A., and Frank, J. F. 1991. Physical properties of yogurt made from milk with proteolytic enzymes. *J. Dairy Sci.* 74: 1503-1511.
- Granata, L. A., and Morr, C. V. 1996. Improved acid, flavor and volatile compound production in a high protein and fiber soymilk yogurt-like product. *J. Food Sci.* 61: 331-336.
- Guinee, T. P., Mullins, C. G., Reville, W. J., and Cotter, M. P. 1995. Physical properties of stirred-curd unsweetened yoghurts stabilised with different dairy ingredients. *Milchwissenschaft* 50: 196-200.
- Guirguis, N., Broome, M. C., and Hickey, M. W. 1984. The effect of partial replacement of skim milk powder with whey protein concentrate on the viscosity and syneresis of yoghurt. *Aust. J. Dairy Technol.* 39: 33-35.
- Hamann, W. T., and Marth, E. H. 1984. Survival of *Streptococcus thermophilus* and *Lactobacillus bulgaricus* in commercial and experimental yogurts. *J. Food Prot.* 47: 781-786.
- Hamdan, I. Y., Kunsman, J., and Deane, D. D. 1971. Acetaldehyde production by combined yogurt cultures. *J. Dairy Sci.* 54: 1080-1082.
- Harwalkar, V. R., and Kalab, M. 1986. Relationship between microstructure and susceptibility to syneresis in yoghurt made from reconstituted nonfat dry milk. *Food Microstruct.* 5: 287-294.
- Hassan, A. N., Frank, J. F., Farmer, M. A., Schmidt, K. A., and Shalabi, S. I. 1995. Formation of

- yogurt microstructure and three-dimensional visualization as determined by confocal scanning laser microscopy. *J. Dairy Sci.* 78: 2629-2636.
- Hess, S. J., Roberts, R. F., and Ziegler, G. R. 1997. Rheological properties of nonfat yogurt stabilized using *Lactobacillus delbrueckii* ssp. *bulgaricus* producing exopolysaccharide or using commercial stabilizer system. *J. Dairy Sci.* 80: 252-263.
- Jepsen, S. 1979. Membrane filtration in the manufacture of cultured milk products, yogurt, cottage cheese. *Cult. Dairy Prod. J.* 14: 5-8.
- Kalab, M. 1980. Possibilities of an electron-microscopic detection of buttermilk made from sweet cream in adulterated skim milk. *Scanning Electron Microscopy* 3: 645-651.
- Kalab, M., Allen-Wojtas, P., and Phipps-Todd, B. E. 1983. Development of microstructure in set-style nonfat yoghurt - a review. *Food Microstruct.* 2: 51-66.
- Kalab, M., and Harwalkar, V. R. 1973. Milk gel structure. I. Application of scanning electron microscopy to milk and other food gels. *J. Dairy Sci.* 56: 835-842.
- Karleskind, D., Laye, I., Halpin, E., and Morr, C. V. 1991. Improving acid production in soy-based yogurt by adding cheese whey proteins and mineral salts. *J. Food Sci.* 56: 999-1001.
- Keenan, T. W., and Bills, D. D. 1968. Metabolism of volatile compounds by lactic starter culture microorganism: A review. *J. Dairy Sci.* 51: 1561-1567.
- Kehagias, C. H., and Dalles, T. N. 1984. Bacteriological and biochemical characteristics of various types of yogurt made from sheep's and cow's milk. *J. Food Prot.* 47: 760-761.
- Kolar, C. W., Cho, I. C., and Watrous, W. 1979. Vegetable protein application yogurt, coffee creamer and whip toppings. *J. Oil Chemists' Soc.* 56: 389-391.
- Kosikowski, F. V. 1979. Low lactose yogurt and milk beverage by ultrafiltration. *J. Dairy Sci.* 62: 41-46.
- Kroger, M., Kurmann, J. A., and Rasic, J. L. 1989. Fermented milks - past, present, and future. *Food Technol.* 43: 92-99.
- Labropoulos, A. E., Lopez, A., and Palmer, J. K. 1981. Apparent viscosity of milk and cultured yogurt thermally treated by UHT and vat systems. *J. Food Prot.* 44: 874-876.
- Lee, S.-Y., Morr, C. V., and Seo, A. 1990. Comparison of milk-based and soymilk-based yogurt. *J. Food Sci.* 55: 523-536.
- Lee, S. Y., Vedamuthu, E. R., and Washam, C. J. 1974. An agar medium for the differential enumeration of yogurt starter bacteria. *J. Milk Food Technol.* 37: 272-276.
- Lees, G. L. 1969. Methods for the estimation of acetaldehyde in cultured dairy products. *Aust. J. Dairy Technol.* 18: 181-185.
- Lees, G. L., and Jago, G. R. 1978. Role of acetaldehyde in metabolism : A review. 1. Enzymes catalyzing reactions involving acetaldehyde. *J. Dairy Sci.* 61: 1205-1215.
- Long, J. E., Winkle, Q. V., and Gould, I. A. 1963. Heat-induced interaction between crude κ -casein and β -lactoglobulin. *J. Dairy Sci.* 46: 1329-1334.
- Mareschi, J.-P., and Cueff, A. 1989. Essential characteristics of yogurt and its regulation around the world, p. 11-28. In Chandan, R. C. (ed.), *Yogurt: Nutritional and Health Properties*. National Yogurt Assoc., McLean, VA.
- Marranzini, R. M., Schmidt, R. H., Shireman, R. B., Marshall, M. R., and Cornell, J. A. 1989. Effect of threonine and glycine concentrations on threonine aldolase activity of yogurt microorganisms during growth in a modified milk prepared by ultrafiltration. *J. Dairy Sci.* 72: 1142-1148.
- Marshall, V., and El-Bagoury, E. 1986. Use of ultrafiltration and reverse osmosis to improve goats' milk yogurt. *J. Soc. Dairy Technol.* 39: 65-66.
- Matalon, M. E., and Sandine, W. E. 1986. Improved media for differentiation of rods and cocci in yogurt. *J. Dairy Sci.* 69: 2569-2576.
- Mayra-Makinen, A., and Bigret, M. 1993. Industrial use and production of lactic acid bacteria. In Salminen, S. and Wright, A. v. (ed.), *Lactic acid bacteria*. Marcel Dekker, New York.

- Mistry, V. V., and Hassan, H. N. 1992. Manufacture of nonfat yogurt from a high milk protein powder. *J. Dairy Sci.* 75: 947-957.
- Modler, H. W., and Kalab, M. 1983. Microstructure of yogurt stabilized with milk proteins. *J. Dairy Sci.* 66: 430-437.
- Modler, H. W., Larmond, M. E., Lin, C. S., Froehlich, D., and Emmons, D. B. 1983. Physical and sensory properties of yogurt stabilized with milk proteins. *J. Dairy Sci.* 66: 422-429.
- Morris, H. A., and Ghaleb, H. A. 1995. A comparison of yogurts fortified with nonfat dry milk and whey protein concentrates. *Cult. Dairy Prod. J.* 30: 2-4.
- Mottar, J., Bassier, A., Joniau, M., and Baert, J. 1989. Effect of heat-induced association of whey proteins and casein micelles on yogurt texture. *J. Dairy Sci.* 72: 2247-2256.
- Norling, A. 1979. Yoghurt manufacture-some technical aspects. *Cult. Dairy Prod. J.* 14: 24-29.
- Orihara, O., Sakuchi, I., and Nakazawa, Y. 1992. Types and standards for fermented milks and lactic drink, p. 1-16. In Nakazawa, Y. and Hosono, A. (ed.), *Functions of Fermented Milk : Challenges for the Health Sciences*. Elsevier Sci. Publ. Co., Inc., New York, NY.
- Rasic, J. L. 1987. Yogurt and yogurt cheese manufacture. *Cult. Dairy Prod. J.* 22: 6-8.
- Rasic, J. L., and Kurmann, J. A. 1978. *Yoghurt: Scientific Grounds, Technology, Manufacture and Preparation*. Technical Dairy Publishing House, Berne, Switzerland.
- Roberts, R. F., and Maust, J. M. 1995. Composition and number of viable *Streptococcus salivarius* subsp. *thermophilus*, and *Lactobacillus delbrueckii* subsp. *bulgaricus*, in refrigerated non-fat and low fat yogurts available at retail outlets. *Cult. Dairy Prod. J.* 30: 2-6.
- Salji, J. P., Sawaya, W. N., Saadi, S. R., and Safi, W. M. 1984. The effect of heat treatment on quality and shelf life of plain liquid yoghurt. *Cult. Dairy Prod. J.* 19: 10-14.
- Sandine, W. E., and Elliker, P. R. 1970. Microbiology induced flavors and fermented foods: flavor in fermented dairy products. *J. Agric. Food. Chem.* 18: 557-562.
- Schellhaass, S. M., and Morris, H. A. 1985. Rheological and scanning electron microscopic examination of skim milk gels obtained by fermenting withropy and non-ropy strains of lactic acid bacteria. *Food Microst.* 4: 279-287.
- Schmidt, K., and Bledsoe, K. 1995. Effects of homogenization pressure on physical and sensory characteristics of low fat yogurt. *Cult. Dairy Prod. J.* 30: 7-10.
- Schmidt, R. H., Vargas, M. M., Smith, K. L., and Jezeski, J. J. 1985. The effect of ultra-high temperature milk processing on yogurt texture. *J. Food Proc. Preserv.* 9: 235-240.
- Singh, J., and Sharma, D. K. 1982. Yoghurt starters in skim milks. 1. acid and flavour production and proteolytic activity by yoghurt starters. *Cult. Dairy Prod. J.* 17: 22-25.
- Skriver, A., Buchheim, W., and Qvist, K. B. 1995. Electron microscopy of stirred yoghurt: ability of three techniques to visualize exo-polysaccharides fromropy strains. *Milchwissenschaft* 50: 683-686.
- Slocum, S. A., Jasinski, E. M., and Kilara, A. 1988. Processing variables affecting proteolysis in yogurt during incubation. *J. Dairy Sci.* 71: 596-603.
- Tamime, A. Y., Barclay, M. N. I., Davies, G., and Barrantes, E. 1994. Production of low-calories yogurt using skim milk powder and fat-substitute. 1. A review. *Milchwissenschaft* 49: 85-88.
- Tamime, A. Y., Barrantes, E., and Sword, A. M. 1996. The effect of starch based fat substitutes on the microstructure of set-type yogurt made from reconstituted skimmed milk powder. *J. Soc. Dairy Technol.* 49: 1-10.
- Tamime, A. Y., and Deeth, H. C. 1980. Yogurt: technology and biochemistry. *J. Food Prot.* 43: 939-977.
- Tamime, A. Y., Kalab, M., and Davies, G. 1989. Rheology and microstructure of strained yoghurt (Labneh) made from cow's milk by three different methods. *Food Microstruct.* 8: 125-135.
- Tamime, A. Y., Kalab, M., Davies, G., and Mahdi, H. A. 1991. Microstructure and firmness of Labhen (high solids yoghurt) made from cow's, goat's and sheep's milk by a traditional method

- or by ultrafiltration. *Food Struct.* 10: 37-44.
- Tamime, A. Y., Kalab, M., Muir, D. D., and Barrantes, E. 1995. The microstructure of set-style, natural yogurt made by substituting microparticulate whey protein for milk fat. *J. Soc. Dairy Technol.* 48: 107-111.
- Tamime, A. Y., and Robinson, R. K. 1985. *Yoghurt: Science and Technology*. Pergamon Press Ltd., Oxford, UK.
- Teggatz, J. A., and Morris, H. A. 1990. Changes in the rheology and microstructure of ropy yogurt during shearing. *Food Struct.* 9: 133-138.
- Tessier, H., and Rose, D. 1964. Influence of κ -casein and β -lactoglobulin on the heat stability of skimmilk. *J. Dairy Sci.* 47: 1049-1091.
- Vedamuthu, E. R. 1991. The yogurt story-past, present and future. I. *Dairy Food Environ.* San. 11: 202-203.
- White, C. H. 1995. Manufacture of high quality yogurt. *Cult. Dairy Prod. J.* 30: 18-19, 21, 23-24, 26.
- Wilkins, D. W., Schmidt, R. H., Shireman, R. B., Smith, K. L., and Jezeski, J. J. 1986. Evaluating acetaldehyde synthesis from L-[^{14}C (U)] threonine by *Streptococcus thermophilus* and *Lactobacillus bulgaricus*. *J. Dairy Sci.* 69: 1219-1224.
- Wong, N. P., Jenness, R., Keeney, M., and Marth, E. H. 1988. *Fundamentals of Dairy Chemistry*, 3th ed. Van Nostrand Reinhold Co. Inc., New York, NY.

สารกระตุ้นภูมิคุ้มกันปลา

ชนกันต์ จิตมนัส

Abstract

Chitmanat, C.

Fish immunostimulants

Songklanakarin J. Sci. Technol., 2002, 24(4) : 739-747

Fish immunostimulants are important substances useful to control infectious fish diseases and are substantially beneficial to the aquaculture business and environment.

This literature review covers the results of using fish immune modulators, including bacteria and bacterial derivatives, adjuvants, chitin, glucan, vitamin, and other synthetic materials. These immunostimulants enhance the activities of phagocytotic cells, stimulate the immunological cells to create more lysozymes and more antibodies, enhance the complement efficiency in fish and eventually increase the abilities to prevent bacterial infection. These responses are able to prevent fish from succumbing to various infectious diseases.

Key words : fish immunostimulant, fish immunity, fish diseases

Department of Fisheries Technology, Faculty of Agricultural Product, Maejo University, Sansai, Chiang Mai 50290 Thailand.

M.S. (Fisheries) และ M.S. (Medical Microbiology) ภาควิชาเทคโนโลยีการประมง คณะผลิตกรรมการเกษตร มหาวิทยาลัยแม่โจ้ อําเภอสันทราย จังหวัดเชียงใหม่ 50290

Corresponding e-mail : chanagun@hotmail.com

รับต้นฉบับ 26 มีนาคม 2545 รับลงพิมพ์ 29 กรกฎาคม 2545

บทคัดย่อ

ชนกันต์ จิตมนัส

สารกระตุนภูมิคุ้มกันปลา

ว. สงขลานครินทร์ วทท. 2545 24(4) : 739-747

สารกระตุนภูมิคุ้มกัน (immunostimulant) มีความสำคัญในการควบคุมป้องกันโรคปลา เป็นประโยชน์ต่อธุรกิจการเพาะเลี้ยงและส่งแพร่ล้อม บทความนี้จะเป็นการรวบรวมผลของการใช้สารกระตุนภูมิคุ้มกันชนิดต่าง ๆ ซึ่งประกอบด้วยเบคทีเรียและส่วนประกอบของเซลล์เบคทีเรีย แอ็คติโนแบคทีเรีย ไซรัส ไคติน กลูแคน วิตามินและสารสังเคราะห์ต่าง ๆ โดยสารกระตุนเหล่านี้ส่วนใหญ่จะช่วยเพิ่มการทำงานของเซลล์ที่ทำหน้าที่กินลินสิ่งแปลกปลอม (phagocytic cell) ช่วยกระตุนการตอบสนองของเซลล์ที่เกี่ยวข้องกับระบบภูมิคุ้มกันทำให้มีการเพิ่มการผลิตไลโซโซม (lysozyme) และปริมาณของแอนติบอดี (antibody) รวมทั้งช่วยเพิ่มประสิทธิภาพการทำงานของคอมพลีเม้นต์ (complement) และเพิ่มการยับยั้งการเกิดโรคจากการติดเชื้อเบคทีเรียในปลา ปรากฏการณ์เหล่านี้จะมีผลช่วยให้ปลาเพิ่มความต้านทานโรคติดเชื้อต่าง ๆ

อุดสาหกรรมเพาะเลี้ยงสัตว์น้ำเป็นอุดสาหกรรมทางการเกษตรที่มีความสำคัญและมีการขยายตัวเพิ่มขึ้นทุกๆ ปี เกษตรกรได้พัฒนาการเลี้ยงแบบหนาแน่นเพื่อให้ได้ผลผลิตต่อพื้นที่สูงขึ้น ซึ่งในสภาพดังกล่าวอาจส่งผลกระทบในทางลบต่อสุขภาพสัตว์น้ำ ทำให้สัตว์น้ำเป็นโรคอย่างขึ้น การจัดการที่ดีในส่วนของการให้อาหาร การควบคุมคุณภาพของน้ำและการคัดเลือกสายพันธุ์เป็นสิ่งสำคัญที่ทำให้ธุรกิจนี้ดำเนินการไปได้อย่างมีประสิทธิภาพและยั่งยืน แม้ว่าการใช้สารเคมีและยาปฏิชีวนะในการป้องกันและรักษาโรค เป็นอีกปัจจัยที่มีผลต่อความสำคัญของธุรกิจเพาะเลี้ยงสัตว์น้ำ การใช้ยาปฏิชีวนะและสารเคมีในปริมาณที่ไม่เหมาะสมสมติดต่อกันนาน แบบที่เรียกว่ามีการพัฒนาสายพันธุ์ที่ด้อยทำให้การป้องกันและรักษาโรคปลาในครั้งต่อไปไม่ได้ผล นอกจากนี้ Kruse and Sorum (1994) รายงานว่า ยืนต้านทานยาปฏิชีวนะของเบคทีเรียเหล่านี้อาจส่งผ่านไปยังเบคทีเรียที่ก่อให้เกิดโรคในผู้บริโภคได้ ทำให้การใช้ยาในมนุษย์เช่นไม่ได้ผลในอนาคต รวมทั้งปัญหาสารตกค้างจาก การใช้สารเคมีและยาปฏิชีวนะในผลิตภัณฑ์สัตว์น้ำ และสิ่งแวดล้อมเป็นปัญหาสำคัญที่มีผลกระทบทางเศรษฐกิจของชาติอยู่ในขณะนี้ จากปัญหาดังกล่าวข้างต้นได้นำไปสู่การคิดค้นแนวทางในการลดการใช้ผลิตภัณฑ์นำเข้าจากสารเคมีและยาปฏิชีวนะ การให้วัคซีนน่าจะเป็นวิธีการ

หนึ่งในการลดปัญหาดังกล่าว แม้ว่ามีการยอมรับว่าวัคซีนที่ป้องกันโรคในปลาแซลมอนใช้ได้ผลดีในต่างประเทศ แต่สำหรับการใช้วัคซีนสำหรับปลาในประเทศไทยยังไม่แพร่หลาย อาจเนื่องมาจากความหลากหลายของสายพันธุ์เบคทีเรียที่พัฒนาปรับตัวเพื่อหลีกเลี่ยงระบบภูมิคุ้มกันสัตว์น้ำเป็นผลให้วัคซีนมีประสิทธิภาพต่ำในการป้องกันโรค รวมทั้งต้นทุนในการผลิตวัคซีนสำหรับปลาตัวเดียวค่อนข้างสูง ในขณะที่ราคาต่อตัวของปลาที่มีความสำคัญทางเศรษฐกิจของไทยยังมีราคาต่ำเมื่อเทียบกับปลาแซลมอน ซึ่งแม้ว่ากุ้งจะนำรายได้เข้าสู่ประเทศไทยมาก แต่กุ้งไม่มีภูมิคุ้มกันแบบจำเพาะ การผลิตวัคซีนสำหรับกุ้งไม่น่าจะเป็นไปได้ จึงไม่ได้มีแรงดึงดูดให้นักวิชาการไทยได้คิดค้นวัคซีนปลาอย่างจริงจัง ประกอบกับมีข้อจำกัดด้านความรู้เกี่ยวกับภูมิคุ้มกันสัตว์น้ำ

การหาแนวทางในการเพิ่มความต้านทานโรค โดยเฉพาะการกระตุนภูมิคุ้มกันแบบไม่จำเพาะ (nonspecific immunity) เป็นอีกทางเลือกหนึ่งในการจัดการสุขภาพสัตว์น้ำ จะเห็นได้ว่ามีการพัฒนาสารกระตุนภูมิคุ้มกันหลายตัวมาใช้ในเชิงพาณิชย์แล้ว จุดประสงค์ของการเรียนบทความนี้เพื่อรวบรวมงานวิจัยเกี่ยวกับสารกระตุนภูมิคุ้มกันปลาและเป็นองค์ความรู้พื้นฐานให้ผู้สนใจได้ค้นคว้าวิจัยเพิ่มเติมต่อไป

ระบบภูมิคุ้มกันของปลา

เพื่อให้เข้าใจผลของการใช้สารกระตุนภูมิคุ้มกันในปลา ควรทราบถึงความรู้พื้นฐานของระบบภูมิคุ้มกันปลา ก่อน ภูมิคุ้มกันของปลา มีลักษณะทั่วไปคล้ายกับสัตว์เลี้ยง ลูกด้วยนม (*Sakai et al.* 1999 และ *Vadstein* 1997) *Vadstein* (1997) กล่าวว่า ภูมิคุ้มกันปลา มีการพัฒนาที่ไม่ได้ ส่วนใหญ่สุขภาพของปลาจะขึ้นอยู่กับภูมิคุ้มกันแบบไม่ จำเพาะ (nonspecific immunity) ซึ่งภูมิคุ้มกันชนิดนี้ ไม่จำเป็นต้องได้รับแอนติเจนหรือเชื้อโรคก่อนที่จะเกิดการ ตอบสนอง ภูมิคุ้มกันแบบไม่จำเพาะถือเป็นด้านแรกใน การป้องกันการเข้าทำลายของเชื้อโรคต่างๆ และมีการ ตอบสนองอย่างรวดเร็วเพื่อป้องกันการบุกรุกของเชื้อโรค หลากหลายชนิด นักวิทยาศาสตร์ท่านนี้ยังได้ดังข้อสังเกตว่า ภูมิคุ้มกันแบบไม่จำเพาะอาจจะเป็นภูมิคุ้มกันหลักในการ ป้องกันการระบาดของโรคที่เกิดจากเชื้อจุลทรรศน์ในปลา วัย อ่อน แม้ว่าภูมิคุ้มกันแบบจำเพาะ (specific immunity) มี การพัฒนาข้าว่าภูมิคุ้มกันแบบไม่จำเพาะในการป้องกัน การติดเชื้อในครั้งแรก แต่เมื่อความจำ (immunological memory) ทำให้ปลาสามารถตอบสนองต่อการกระตุน อย่างรวดเร็วและประสิทธิภาพสูงมาก หากได้สัมผัสถับ แายนติเจนหรือเชื้อโรคเดียวกันในครั้งต่อไป อย่างไรก็ตาม ไม่สามารถแยกภูมิคุ้มกันทั้งสองชนิดนี้ออกจากกันอย่าง สิ้นเชิง เพราะภูมิคุ้มกันทั้งสองระบบมีการทำงานที่ร่วมกัน

ภูมิคุ้มกันทั้งสองชนิดยังแบ่งได้ตามลักษณะการ ทำงาน ได้ 2 ชนิด คือ ภูมิคุ้มกันที่เกี่ยวกับเซลล์ (cell-mediated immunity) และภูมิคุ้มกันสารน้ำ (humoral immunity) ภูมิคุ้มกันที่เกี่ยวข้องกับเซลล์ จะประกอบด้วย เซลล์ที่ทำหน้าที่ในการจับกินสิ่งแผลกปลอม (phagocytotic cell) ได้แก่ มาโครฟaje (macrophage) และนิวโตรอฟิล (neutrophil) *Evans and Jaso-Friedmann* (1992) กล่าวว่า ปลาสามารถผลิตเซลล์ที่เรียกว่า nonspecific cytotoxic cell (NCC) ซึ่งทำหน้าที่คล้ายกับเซลล์เม็ด เลือดขาวของสัตว์เลี้ยง ลูกด้วยนมที่มีความสามารถในการ ทำลายเซลล์ที่ติดเชื้อไวรัสหรือเซลล์มะเร็ง [natural killer (NK) cell] นอกจากนี้ปลา�ังผลิตเซลล์เม็ดเลือดขาวจำพวก T และ B lymphocytes ซึ่งเป็นเซลล์ที่เกี่ยวข้องกับการ ตอบสนองทางภูมิคุ้มกันที่มีความจำเพาะต่อแอนติเจน สำหรับภูมิคุ้มกันที่เป็นของเหลวในน้ำเลือดหรือภูมิคุ้มกัน

สารน้ำ (humoral immunity) มีหลายชนิด เช่น (1) คอมพลีเมนต์ (complement) ทำหน้าที่ช่วยในการทำให้ เชื้อแบคทีเรียและไวรัสง่ายต่อการถูกทำลายโดยจะช่วย เสริมการทำงานการกลืนกินของเซลล์ (phagocytosis) ปรากฏการณ์นี้เรียกว่า opsonization คอมพลีเมนต์ยัง ทำให้เกิดการทำลายเยื่อหุ้มเซลล์แบคทีเรียอีกด้วย (2) ไลโซไซม์ (lysozyme; N-acetylmuramide glycanhydrolase) ซึ่งเป็นเอนไซม์ที่ทำหน้าที่ในการทำลายผนัง เซลล์แบคทีเรีย (Dalmo *et al.* 1997) (3) สารที่ยับยั้ง การเจริญของจุลทรรศน์ จำพวก transferrin และโปรตีน C-reactive (CRP) ที่อยู่ในชีร์รัมทำหน้าที่ร่วมกับคอมพลี- เมนต์ในการช่วยเพิ่มความสามารถในการจับกินสิ่งแผลก ปลอม (4) ไซโตคายน์ (cytokine) เป็นกลุ่มของโปรตีนที่ ทำหน้าที่ส่งสัญญาณในการกระตุนและยับยั้งการทำงาน ของเซลล์ภูมิคุ้มกันชนิดต่างๆ

ดังนั้น ใน การศึกษาประสิทธิภาพของสารกระตุน ภูมิคุ้มกันในปลา น่าจะใช้ตัวบ่งชี้ความสำเร็จดังต่อไปนี้

1. การศึกษาการเพิ่มประสิทธิภาพของเซลล์กลืนกิน (phagocytic cell) ซึ่งตรวจสอบได้จากความสามารถในการ ทำลายสิ่งแผลกปลอมและการผลิตสารเคมีต่างๆ ออกมานำ ทำให้มีผลต่อการทำลายและการบุกรุกของเชื้อโรค

2. การเพิ่มความสามารถในการจับเชื้อโรคของเซลล์ มาโครฟaje และนิวโตรอฟิล วิธีการทำลายเชื้อโรคมีให้หลาย วิธีซึ่งอาจจะขึ้นอยู่กับอัคเซนหรือไม่ก็ได้ การทำลายเชื้อ โดยอาศัยออกซิเจน ได้แก่ reactive oxygen species (ROS) ซึ่งสามารถตรวจสอบโดยวิธีการเรืองแสงทางเคมี (chemiluminescence) และการย้อมสี (nitroblue tetrazolium; NBT)

3. การเพิ่มจำนวนของเซลล์เม็ดเลือดขาว (lymphocyte proliferation) และเบอร์เช็นต์ของเม็ดเลือดขาว และเม็ดเลือดแดงในเลือด

4. การเพิ่มประสิทธิภาพการทำงานของคอมพลี- เมนต์ที่สูงขึ้น

5. ระดับและการทำงานของไลโซไซม์

6. การกระตุนการทำงานของเซลล์ NCC โดย พิจารณาจากความสามารถของเซลล์ดังกล่าวในการทำลาย เซลล์มะเร็งหรือเซลล์ที่ติดเชื้อไวรัส (killer cell activity)

7. หากต้องการใช้สารกระตุนภูมิคุ้มกันเพื่อเสริม

ประสิทธิภาพของวัคซีนให้สูงขึ้น อาจใช้ผลผลิตของแอนติบอดีที่เพิ่มขึ้นเป็นตัวปั่นชี้ความล้ำเร็ว รวมถึงความสามารถในการป้องกันการเกิดโรคและการตายจากการติดเชื้อ (challenge test)

การทดลองใช้สารกระตุ้นภูมิคุ้มกันในปลา

นักวิทยาศาสตร์หลายท่านให้ความสนใจในการใช้ประโยชน์ผลิตภัณฑ์จากแหล่งต่างๆ เพื่อช่วยกระตุ้นการ

ทำงานของระบบภูมิคุ้มกันซึ่งเป็นประโยชน์ในการป้องกันโรคปลา (Table 1) อันได้แก่

1) การใช้แบคทีเรียและส่วนประกอบของแบคทีเรีย (bacterial derivative)

โดยปกติภูมิคุ้มกันจะถูกกระตุ้นเมื่อมีสิ่งแปลกปลอม โดยเฉพาะพิษเชื้อโรคต่างๆ เช่นสูรังกาย แต่การกระตุ้นภูมิคุ้มกันโดยใช้เชื้อแบคทีเรียที่ทำให้อ่อนกำลังลง (attenuation) ซึ่งทำได้โดยการใช้ความร้อนหรือการใช้

Table 1. Fish immunostimulant

Fish immunostimulant	Fish species	Administration	Results	References
Bacteria and derivative products	Rainbow trout Channel catfish Coho salmon	immersion immersion injection	Increase resistance to <i>Streptococcus</i> sp. stimulate B lymphocyte proliferation Increase resistance to <i>A. salmonicida</i>	Sakai (1999) Clem <i>et al.</i> (1985) Oliver <i>et al.</i> (1985)
Adjuvants	Turbot Trout	injection injection	Increase antibody Increase resistance to <i>V. anguillarum</i>	Estevez <i>et al.</i> (1994) Kijita <i>et al.</i> (1992)
Chitin	Rainbow trout Yellowtail	injection injection	Enhance macrophage activities and increase resistance to <i>V. anguillarum</i> Increase resistance to <i>P. piscicida</i>	Sakai <i>et al.</i> (1992) Kawakami <i>et al.</i> (1998)
Glucan	Channel catfish Atlantic salmon	injection mixed feed	Increase resistance to <i>E. ictaluri</i> Increase resistance to <i>V. anguillarum</i>	Chen and Ainsworth (1992) Jenney and Anderson (1993)
Vitamin C	Channel catfish	mixed feed	Increase resistance to <i>E. tarda</i>	Li and Lovell (1985)
Vitamin E	Atlantic salmon	mixed feed	Increase resistance to <i>A. salmonicida</i>	Hardie <i>et al.</i> (1990)
<i>Spirulina</i> sp.	Channel catfish	mixed feed	Increase in phagocytotic cells	Duncan and Klesius (1996b)
<i>Psidium guajava</i> <i>Momordica charantina</i>	<i>In vitro</i> test		Inhibit <i>A. hydrophila</i> growth <i>in vitro</i>	Direkbusarakom (1998)
Growth hormone	Rainbow trout	injection	Increase resistance to <i>V. anguillarum</i>	Sakai (1997)
Levamisole	Rainbow trout	injection	Increase resistance to <i>V. anguillarum</i>	Kajita <i>et al.</i> (1990)

ฟอร์มาลินเพื่อพัฒนาวัคซีน โดยยังคงให้แบคทีเรียมีความสามารถในการกระตุ้นภูมิคุ้มกันน้ำอาจส่งผลเสียต่อปลาเนื่องจากเชื้อดังกล่าวอาจเปลี่ยนสภาพเป็นเชื้อที่มีความรุนแรงและก่อให้เกิดโรคได้ รวมทั้งปลาที่ให้วัคซีนอาจเป็นพาหะนำเชื้อโรคไปยังปลาที่อาศัยอยู่ในแหล่งที่ไม่มีประวัติการระบาดของเชื้อโรคนั่นๆ อย่างไรก็ตาม มีรายงานความสำเร็จของการใช้วัคซีนสำหรับปลาในต่างประเทศ เป็นต้นว่า Sakai (1999) กล่าวว่า วัคซีนที่เตรียมจากเชื้อแบคทีเรียบิบริโว *Vibrio anguillarum* (*Vibrio bacterin*) เป็นวัคซีนที่ได้ผลดีมากที่สุดสำหรับปลาแซลมอน ไม่ว่าจะเป็นการให้โดยการฉีด การให้ทางปากและการจุ่ม เข้าได้รายงานต่อไปว่า ปลาแรนโนบอว์เทราท์ (*Oncorhynchus mykiss*) ที่จุ่มในวัคซีนที่เตรียมจากเชื้อ *V. anguillarum* ยังสามารถเพิ่มความต้านทานต่อการตายจากการติดเชื้อแบคทีเรีย *Streptococcus* sp. จากเหตุการณ์นี้แสดงให้เห็นว่า วัคซีนนอกจากจะกระตุ้นการสร้างภูมิคุ้มกันแบบจำเพาะแล้วยังสามารถกระตุ้นภูมิคุ้มกันแบบไม่จำเพาะด้วยการกระตุ้นดังกล่าวอาจเกิดจากส่วนของผนังเซลล์แบคทีเรีย การใช้ส่วนประกอบเพียงบางส่วนของแบคทีเรียเพื่อกระตุ้นภูมิคุ้มกันนี้จะช่วยลดปัญหาการแพร่สภาพของแบคทีเรียที่อ่อนกำลังไปเป็นเชื้อที่มีความรุนแรงได้ ตัวอย่าง เช่น Clem และคณะ (1985) กล่าวว่า LPS (lipopolysaccharide) ซึ่งเป็นส่วนประกอบของผนังเซลล์ที่นอกของแบคทีเรียแกรมลบสามารถกระตุ้นการเพิ่มจำนวนของเซลล์ B lymphocyte อันเป็นเซลล์ที่ทำหน้าที่สร้างแอนติบอดีและ LPS ยังกระตุ้นการเพิ่มผลผลิตของโปรตีนที่มีลักษณะคล้าย interleukin 1 จากเซลล์โมโนไซด์ (monocyte) ของปลากรดเมริกัน (*Ictalurus punctatus*) Sakai (1999) รายงานว่า Muramyl dipeptide (MDP; N-acetyl-muramyl-L-alanyl-D-isoglutamine) จากเชื้อแบคทีเรียแกรมบวก *Mycobacterium* สามารถกระตุ้นมาโครฟاجเซลล์ที่สร้างแอนติบอดี (B lymphocyte) และ alternative pathway ของคอมพ्लีเมนต์ในหมู Oliver et al. (1985) รายงานว่า ปลาโคโซแซลมอน (*Oncorhynchus kisutch*) ที่ได้รับการส่วนผสมของ MDP ใน Freund's incomplete adjuvant มีการเพิ่มความต้านทานต่อเชื้อ *A. salmonicida*ถึง 47 เท่า

2) สารเสริมปฏิกิริยาการตอบสนองทางภูมิคุ้มกัน หรือแอดจูแวนท์ (adjuvant)

Anderson (1996) กล่าวว่า แอนจูแวนท์ทำหน้าที่เป็นที่เก็บแอนติเจน (antigen reservoir) โดยแอดจูแวนท์จะไปจับกับแอนติเจนให้มีอนุภาคใหญ่ขึ้น ทำให้แอนติเจนอยู่ในร่างกายได้นานขึ้น แล้วค่อยๆ ปล่อยออกมากกระตุ้นเซลล์ภูมิคุ้มกันชนิดต่างๆ ดังนั้นจึงนิยมใช้แอดจูแวนท์เป็นสารเพิ่มประสิทธิภาพวัคซีน ตัวอย่างของแอดจูแวนท์ ได้แก่ alum (aluminium hydroxide), Freund's complete adjuvant (FCA; เชื้อatyของ *Mycobacterium* ใน water-in-oil emulsion) Estevez และคณะ (1994) รายงานว่า ปลาหางเดียว (turbot; *Scophthalmus maximus*) ที่ฉีดด้วยวัคซีนที่เตรียมจาก *V. anguillarum* ผสมกับ FCA จะช่วยเพิ่มปริมาณแอนติบอดีของปลาดังกล่าว โดยที่ไม่จำเป็นต้องมีการฉีดวัคซีนซ้ำ (boost) อย่างไรก็ตาม Kawakmai et al. (1998) กล่าวว่า ปลา yellowtail (*Seriola quinqueradiata*) ที่ฉีดด้วย FCA อย่างเดียว ไม่ได้เพิ่มความต้านทานต่อการติดเชื้อ *Pasteurella piscicida* แม้ว่า FCA จะช่วยเสริมประสิทธิภาพของวัคซีนป้องกันแบคทีเรียในปลาดังกล่าว

3) ไคตินและไคโตชาน (chitin and chitosan)

ไคตินเป็น polysaccharide ที่เป็นส่วนประกอบพื้นฐานในเบล็อกกุ้งและแมลง รวมทั้งเป็นส่วนของผนังเซลล์ของสาหร่ายบางชนิด Sakai และคณะ (1992) รายงานว่า ปลาแรนโนบอว์เทราท์ที่ฉีดไคติน 100 mg/หนันก้าปลา 1 กก มีการกระตุ้นเซลล์ macrophage และเพิ่มความต้านทานในการติดเชื้อ *V. anguillarum* นอกจากนี้ยังพบว่า ปลาหางเหลือง (yellowtail; *Seriola quinqueradiata*) ที่ฉีดด้วยไคตินสามารถเพิ่มความต้านทานโรคที่เกิดจากการติดเชื้อ *P. piscicida* หลังจากได้รับเชื้อในห้องปฏิบัติการเป็นเวลา 45 วัน (Kawakami et al. 1998)

ไคโตชาน (de-N-acetylated chitin) มีศักยภาพในการกระตุ้นภูมิคุ้มกันเข่นกัน ดังที่พบตัวอย่างในงานวิจัยของ Anderson และคณะ (1995) ซึ่งรายงานว่า ปลาแรนโนบอว์เทราท์ที่ฉีดหรือจุ่มในไคโตชานมีการเพิ่มขึ้นของระบบภูมิคุ้มกันโรค โดยสังเกตได้จาก ความสามารถใน

การฆ่าของเซลล์ (potential killing activity) และปริมาณของอิมมูโนโกลบูลินรวม (total Ig concentration)

4) กลูแคน (glucan)

ผลของการใช้กลูแคนที่ได้จากผนังเซลล์ยีสต์ในกระบวนการต้านภัยคุกคักได้รับการศึกษาอย่างแพร่หลาย Chen และ Ainsworth (1992) รายงานว่า ปลาดองเมริกัน (*Ictalurus punctatus*) ที่ฉีดด้วยกลูแคนจากยีสต์มีปริมาณของแอนติบอดี้ต่อเตอร์สูงขึ้นและเพิ่มความต้านทานต่อเชื้อแบคทีเรีย *Edwardsiella ictaluri* Jenney และ Anderson (1993) ให้กลูแคนผสมอาหารแก่ปลา Atlantic salmon ในอัตราส่วน 1 กรัม/อาหาร 1 กก เป็นเวลา 5 สัปดาห์ พบร่วมกับความสามารถในการต้านทานการติดเชื้อ *V. anguillarum* และ *V. salmonicida* แต่เมื่อ Duncan and Klesius (1996a) ได้ทดลองให้ยีสต์กลูแคนแก่ปลาดังกล่าว โดยการผสมอาหารในอัตรา 2.7% เป็นเวลาหนึ่งสัปดาห์ พบร่วมไม่สามารถป้องกันการติดเชื้อแบคทีเรียดังกล่าว แสดงว่า วิธีการในการให้สารกระตุนภัยคุกคักมีผลต่อการตอบสนองของปลา วิธีการให้สารกระตุนภัยคุกคักที่เป็นไปได้ในทางปฏิบัติสำหรับสัตว์น้ำ คือการให้โดยการผสมอาหาร การจุ่มหรือการแช่ วิธีดังกล่าวช่วยลดความเครียดของปลา และสามารถปฏิบัติได้กับปลาปริมาณมาก อย่างไรก็ตาม ผลการทดลองการใช้กลูแคนยังคงให้ผลไม่คงที่ กล่าวคือ Thompson และคณะ (1995) ได้ใช้ยีสต์กลูแคนฉีดให้ปลาแรนโบว์เทราท์ พบร่วมกับปลาไม่สามารถเพิ่มความต้านทานในการติดเชื้อ *Vibrio anguillarum* ในขณะที่ Sung และคณะ (1994) กล่าวว่า กุ้งกุลาคำที่จุ่มในยีสต์กลูแคน (0.5 และ 1.0 มก/ลิตร) สามารถเพิ่มความต้านทานต่อการเกิดโรคจาก *V. vulnificus* อย่างไรก็ตาม เนื่องจากกุ้งไม่มีภัยคุกคักแบบจำเพาะ ความสามารถในการกระตุนภัยคุกคักจากการใช้สารดังกล่าวในกุ้งจึงน่าจะเป็นภัยคุกคักแบบไม่จำเพาะ

ยีสต์กลูแคนยังมีความสามารถในการเสริมภัยคุกคัก (adjuvant effect) Aakre *et al.* (1994) กล่าวว่า การใช้วัคซีนที่เตรียมจากเชื้อ *A. salmonicida* ควบคู่ไปกับการใช้ยีสต์กลูแคนในปลาแoretแลนติกแซลมอน มีการเพิ่มการตอบสนองของแอนติบอดี้ Jenney และ Anderson (1993) รายงานว่า ปลาเทราท์ (ขนาด 20-30 กรัม) ที่ฉีด

100 ไมโครกรัมของกลูแคนเข้าช่องท้องหรือแช่ด้วยกลูแคน 100 ไมโครกรัม/㎖ เป็นเวลา 30 นาทีร่วมกับวัคซีนที่เตรียมจากเชื้อ *Yersinia* เพิ่มความต้านทานโรคแบบไม่จำเพาะ โดยพบว่าจำนวนของเม็ดเลือดขาวมีปริมาณสูงขึ้นและความสามารถในการกลืนกินสิ่งแปลกปลอมสูงขึ้น

5) วิตามินและพีชชนิดต่างๆ

มีการศึกษากันอย่างกว้างขวางในการใช้วิตามินซีในการผสมอาหารเพื่อเพิ่มการเจริญเติบโตและป้องกันโรคในสัตว์น้ำ Li and Lovell (1985) รายงานว่า ปลาดองเมริกันที่ให้อาหารที่มีระดับของวิตามินซี 3,000 มก/㎖ เป็นเวลา 13 สัปดาห์ มีอัตราการตายจากโรคที่เกิดจากเชื้อแบคทีเรีย *Edwardsiella tarda* น้อยลง ในขณะที่ Hardie และคณะ (1991) กล่าวว่า การให้อาหารปลาที่มีวิตามินซีสูง (มากกว่า 1,000 มก/㎖) สามารถเสริมสร้างภัยคุกคักโรคได้ โดยพบว่า ปลาที่มีการทำลายของคอมเพลเม้นต์ที่มีประสิทธิภาพสูงขึ้น วิตามินอีเป็นสารสำคัญอีกตัวหนึ่งที่มีศักยภาพในการกระตุนภัยคุกคักปลา Hardie และคณะ (1990) รายงานว่า ปลาแoretแลนติกแซลมอนที่ให้อาหารที่ไม่มีวิตามินอีเพียงพอ มีอัตราการตายเนื่องจากติดเชื้อ *A. salmonicida* หากกว่าอาหารสำเร็จรูปปกติ Wise และคณะ (1993) กล่าวว่า ปลาดองเมริกันที่ได้รับวิตามินอีในปริมาณสูงจะเพิ่มประสิทธิภาพในการ phagocytosis ของเม็ดเลือดขาว ต่อมา Wahli *et al.* (1998) ทดลองให้อาหารผสมวิตามินซีและอี ในอัตราส่วน 2000:800 ppm แก่ปลาเทราท์เป็นเวลา 6 สัปดาห์ พบร่วมจำนวนของเม็ดเลือดขาวของปลาเพิ่มสูงขึ้นอย่างรวดเร็ว หลังจากมีการกระตุนด้วย Concanavalin A และปลาที่มีอัตราการตายลดลงหลังจากมีการทดลองให้ปลาติดเชื้อไวรัสที่ก่อให้เกิดโรค VHS (viral hemorrhagic septicemia)

Duncan and Klesius (1996b) ได้ทดลองใช้สาหร่ายเกลียวทอง (*Spirulina sp.*) 2.7% ผสมอาหารให้ปลาดองเมริกันนาน 7 วัน พบร่วมกับความสามารถในการตอบสนองในส่วนของภัยคุกคักแบบไม่จำเพาะที่สูงขึ้น โดยสังเกตจากความสามารถในการจับสิ่งแปลกปลอมของเซลล์สูงขึ้น แต่ปริมาณแอนติบอดี้ไม่แตกต่างกับปลาในชุดควบคุมหลังจากให้วัคซีนเชื้อตายของ *Edwardsiella ictaluri*

Direkbusarakom และคณะ (1998) รายงาน

ว่า สารสกัดจากใบฟรังและมะระขี้นก มีความสามารถในการยับยั้งการเจริญของเชื้อแบคทีเรีย *Aeromonas hydrophila* โดยค่าความเข้มข้นต่ำสุดของสารสกัดในการยับยั้งเชื้อแบคทีเรีย (MIC) ของสารสกัดจากใบฟรัง คือ 0.625 mg/ml ในขณะที่ค่า MIC ของสารสกัดจากมะระขี้นก คือ 1.25 mg/ml

6) ออร์โนนเร่งการเจริญเติบโต (growth hormone)

Kajita *et al.* (1992) รายงานว่า ออร์โนนเร่งการเจริญเติบโตมีคุณสมบัติเป็นตัวกระตุ้นภูมิคุ้มกันในปลา โดยเฉพาะการกระตุ้นเซลล์เม็ดเลือดขาวและเซลล์ NCC Sakai (1997) ทดลองฉีดออร์โนนเร่งการเจริญเติบโตให้กับปลาแรนโนบัวเทราท์ พบร่วมกับการเพิ่มภูมิคุ้มกันในการต้านทานโรคที่เกิดจากเชื้อ *V. anguillarum* สูงขึ้น

7) สารสังเคราะห์ทางเคมี (synthetic chemicals)

Levamisole เป็นยากำจัดพยาธิในสัตว์บกและสัตว์เลี้ยงลูกด้วยนม ยานี้จะเพิ่มความสามารถในการจับสิ่งแผลกลบломโดยวิธีการกลืนกินของเซลล์ (phagocytosis) ของเซลล์นิวไตรฟิล และเพิ่มจำนวนของเซลล์กลืนกิน (phagocyte) จำนวนเซลล์เม็ดเลือดขาวและระดับของ lysozyme ในเลือด รวมทั้งมีผลต่อภูมิคุ้มกันโรคมะเร็งปลาโคโซแซลมอนที่ฉีดด้วย levamisole 0.1-0.5 mg/kg ผสมกับแอดจูแวนท์ (Freund's complete adjuvant) จะเพิ่มความสามารถในการต้านทานต่อเชื้อแบคทีเรีย *A. salmonicida* (Olivier และคณะ 1985) Kajita และคณะ (1990) รายงานว่า ปลาแรนโนบัวเทราท์ที่ฉีด levamisole จะเพิ่มการป้องกันการติดเชื้อ *Vibrio anguillarum* โดยสารตังกล่าวยังไปเพิ่มการสร้างภูมิคุ้มกันแบบไม่จำเพาะ Baba และคณะ (1993) รายงานว่า ปลาкарพที่จุ่มใน levamisole 10 ไมโครกรัม/ลิตร เป็นเวลา 24 ชั่วโมงสามารถเพิ่มความสามารถต้านทานต่อเชื้อ *A. hydrophila* และเพิ่มความสามารถในการ phagocytosis ผลการใช้ levamisole ในการกระตุ้นปลาอยู่ในระดับที่ยอมรับได้ แต่ยังขาดการตรวจสอบถึงความสามารถป้องกันต่อผู้บุกรุก (Sakai 1999)

Jorgensen *et al.* (2001) รายงานว่า ส่วนของดีเอ็นเอที่สร้างขึ้น (synthetic oligodeoxynucleotides) ซึ่งมีลำดับเบสไซโตซีนตามด้วยกัวนิน (CpG) สามารถกระตุ้นเซลล์เม็ดเลือดขาวของปลา Atlantic salmon ให้

สร้างไซโตคายน์ที่มีความสามารถในการทำลายเชื้อไวรัส

สรุปและวิจารณ์

ปัจจุบันมีรายงานการใช้สารกระตุ้นภูมิคุ้มกันในปลามากขึ้น โดยปลาที่ได้รับสารกระตุ้นภูมิคุ้มกันสามารถป้องกันต้นของโรคที่เกิดจากแบคทีเรีย อันได้แก่ *V. anguillarum*, *V. salmonicida*, *A. salmonicida* และ *Streptococcus* sp. รวมถึงโรคที่เกิดจากเชื้อไวรัส เช่น Infectious hematopoietic necrosis (IHNV) แต่สารเหล่านี้ไม่สามารถป้องกันปลาจากการติดเชื้อทุกชนิดได้ (Sakai 1999) โดยเฉพาะอย่างยิ่งแบคทีเรียจำพวก *Renibacterium salmonarum* และ *E. ictaluri* ที่มีความสามารถที่จะหลบหลีกจากการจับกินของเซลล์กลืนกินสิ่งแปลกปลอม

สารกระตุ้นภูมิคุ้มกันเหล่านี้ยังมีผลต่อสัตว์น้ำอย่างอื่นด้วย เช่น Sung และคณะ (1994) กล่าวว่า กุ้งกุลาคำจะมีอัตราการเจริญเติบโตที่สูงขึ้น เมื่อจุ่มในกุ้งกุลาคำ ความเข้มข้น 0.5, 1 และ 2 mg/ml เมื่อปลา มีความสามารถ แข็งแรงแล้วจะเห็นได้ว่า ปลา มีความสามารถต่อสภาวะแวดล้อมที่แปรปรวนเพิ่มขึ้น ดังรายงานของ Boonyaratpalin และคณะ (1995) ที่ใช้ peptidoglycan ผสมอาหารให้กุ้งกุลาคำ แล้วพบว่า กุ้งกุลาคำสามารถต่อการปริมาณออกซิเจนและสารน้ำที่ลดลง ความเร็วและความเรียบได้มากขึ้น

ระยะเวลาที่ควรจะใช้สารกระตุ้นภูมิคุ้มกัน และระยะเวลาในการป้องกันสัตว์น้ำจากการติดเชื้อหลังสิ่งสุ่ดการให้สารกระตุ้น เป็นปัจจัยสำคัญที่มีผลต่อความสามารถสำเร็จของการใช้สารกระตุ้นภูมิคุ้มกัน กล่าวคือ การให้สารกระตุ้นเหล่านี้ควรกระทำการเกิดระบาดของเชื้อโรค Matsuo และ Miyazano (1993) รายงานว่า ปลาแรนโนบัวเทราท์ที่ให้กิน peptidoglycan เป็นเวลา 56 วัน ไม่สามารถป้องกันการตายจากการติดเชื้อ แม้ว่าปลาที่ให้ peptidoglycan จำนวน 28 วัน จะสามารถเพิ่มความสามารถในการป้องกันโรคกีตام จากรากภูมิการณ์ดังกล่าวเป็นตัวบ่งชี้ว่า สารกระตุ้นภูมิคุ้มกันจะมีผลต่อการกระตุ้นภูมิคุ้มกันแบบไม่จำเพาะเป็นหลัก ทำให้มีระบบความจำ นอกจากนี้ Sakai และคณะ (1999) กล่าวว่า การใช้สารกระตุ้นภูมิคุ้มกันเหล่านี้ในปริมาณที่มากเกินไป (overdose) และ

รายงานนี้เกินไปจะมีประสิทธิภาพดังกล่าวลดลง โดยอาจมีผลทำให้เกิดภาระการไม่ต่อสนองต่อแอนติเจนนั้นๆ ในภัยหลัง (*immunological tolerance*)

แม้ว่าการใช้ยาปฏิชีวนะหรือสารเคมีมีส่วนสำคัญอย่างมากในการควบคุมการเกิดโรคสัตว์น้ำ การให้วัคซีน การใช้ไพรีโอดิติก (*probiotics*) และการใช้สารกระตุนภูมิคุ้มกัน น่าจะปลดภัยกว่า ควบคุมโรคโดยการใช้สารเคมีและยาปฏิชีวนะ การศึกษาเพิ่มเติมเกี่ยวกับการใช้สารกระตุนภูมิคุ้มกันร่วมกับการใช้วัคซีนเพื่อทำให้ประสิทธิภาพในการป้องกันโรคของวัคซีนสูงขึ้นเป็นสิ่งจำเป็นในการพัฒนาวัคซีนปลา การพัฒนาความรู้ด้านภูมิคุ้มกันสัตว์น้ำ ช่วยสร้างความกระจàngในข้อจำกัดและกลไกการทำงานของสารกระตุนภูมิคุ้มกันต่างๆ ที่มีผลต่อระบบภูมิคุ้มกัน ความรู้เหล่านี้จะนำไปสู่เครื่องมือที่สำคัญในการควบคุมโรคสัตว์น้ำ หวังว่า งานเขียนนี้จะช่วยจุดประกายให้นักวิจัยได้ร่วมมือกันในการหาแนวทางในการศึกษาวิจัยเรื่องนี้อย่างจริงจัง เพื่อให้ธุรกิจการเพาะเลี้ยงสัตว์น้ำได้คงอยู่ยั่งยืน โดยไม่ส่งผลกระทบอย่างรุนแรงต่อสิ่งแวดล้อมและผู้บริโภค

เอกสารอ้างอิง

- Aakre, R., Wergeland, H.I., Aasjord, P.M., and Endersen, C. 1994. Enhanced antibody response in Atlantic salmon (*Salmo salar* L) to *Aeromonas salmonicida* cell wall antigens using a bacterin containing β -1, 3-M-glucan as adjuvant. *Fish and Shellfish Immunology* 4: 47-61.
- Anderson, D.P. 1996. Environmental factors in fish health: immunological aspects. The fish immune system: organism, pathogen, and environment. Academic Press, INC.: 289-310
- Anderson, D.P., Siwicki, A.K., and Rumsey, G.L. 1995. Injection or immersion delivery of selected immunostimulants to trout demonstrate enhancement of nonspecific defense mechanisms and protective immunity. In: Shariff, M., Subasighe, R.P., Arthur, J.R. (Eds.), Diseases in Asian Aquaculture Vol 11. Fish Health Section, Asian Fisheries Society, Manila, Phillipines, pp. 413-426.
- Baba, T., Watase, Y., and Yoshinaga, Y. 1993. Activation of mononuclear phagocyte function by levamisole immersion in carp. *Nippon Suisan Gakkaishi* 59: 301-307.
- Boonyaratpalin, S., Boonyaratpalin, M., Supamttaya, K., and Toride, Y. 1995. Effects of peptidoglycan (PG) on growth, survival, immune responses, and tolerance to stress in black tiger shrimp, *Penaeus monodon*. In: Shariff, M., Subasighe, R.P., Arthur, J.R. (Eds.), Diseases in Asian Aquaculture Vol 11. Fish Health Section, Asian Fisheries Society, Manila, Phillipines, pp. 469-477.
- Chen, D. and Ainsworth, A.J. 1992. Glucan administration potentiates immune defense mechanisms of channel catfish, *Ictalurus punctatus* Rafineque. *J. of Fish Diseases* 15: 295-304.
- Clem, L.W., Sizemore, R.C., Ellsaesser, C.F., and Miller, N.W. 1985. Monocytes as accessory cells in fish immune responses. *Developmental and Comparative Immunology* 9: 803-809.
- Dalmo, R.A., Ingebrigtsen, K. and Bogwald, J. 1997. Non-specific defence mechanisms in fish, with particular reference to the reticuloendothelial system (RES). *J. of Fish Diseases* 20: 241-273.
- Direkbusarakom, S., Ezura, Y., Yoshimizu, M., and Herunsalee, A. 1998. Efficacy of Thai traditional herb extracts against fish and shrimp pathogenic bacteria. *Fish Pathology* 33: 437-441
- Duncan, P.L. and Klesius, P.H. 1996a. Dietary immunostimulants nonspecific immune responses in channel catfish but not resistance to *Edwardsiella ictaluri*. *J. of Aquatic Animal Health*. 8: 241-248.
- Duncan, P.L. and Klesius, P.H. 1996b. Effects of feeding *Spirulina* on specific and nonspecific immune responses of channel catfish. *J. of Aquatic Animal Health* 8: 308-313.
- Estevez, J., Leiro, J., Toranzo, A.E., Barja, J.L. and Ubeira, F.M. 1994. Kinetics of antibody production against *Vibrio anguillarum* antigens in turbot. *Aquaculture* 123: 191-196.
- Evans, D.L. and Jaso-Friedmann, L. 1992. Nonspecific cytotoxic cells as effectors of immunity in fish. *Annual Review of Fish Diseases* 2: 109-121.

- Hardie, L.J., Fletcher, T.C., and Secombes, C.J. 1990. The effect of dietary Vitamin E on the immune response of Atlantic salmon (*Salmo salar*). *Aquaculture* 87: 1-13.
- Hardie, L.J., Fletcher, T.C., and Secombes, C.J. 1991. The effect of dietary Vitamin C on the immune response of Atlantic salmon (*Salmo salar*). *Aquaculture* 95: 201-214.
- Jeney, G. and Anderson, D.P. 1993. Glucan injection or bath exposure given alone or in combination with a bacterin enhance the non-specific defence mechanisms in rainbow trout (*Oncorhynchus mykiss*). *Aquaculture* 116: 315-329.
- Jorgensen, J.B., Johansen, A., Stenersen, B., and Sommer, A.I. 2001. CpG oligodeoxynucleotides and plasmid DNA stimulate Atlantic salmon (*Salmo salar* L.) leucocytes to produce supernatants with antiviral activity. *Developmental and Comparative Immunology* 25: 313-321.
- Kajita, Y., Sakai, M., and Kobayashi, M. 1990. The immunomodulatory effects of levamisole on rainbow trout (*Oncorhynchus mykiss*). *Fish Pathology* 25: 93-98.
- Kajita, Y., Sakai, M., Kobayashi, M., and Kawauchi, H. 1992. Enhancement of nonspecific cytotoxic activity of leucocytes in rainbow trout, *Oncorhynchus mykiss*, injected with growth hormone. *Fish and Shellfish Immunology* 2: 155-157.
- Kawakami, H., Hiratsuka, M., and Dosako, S. 1998. The nonspecific immunostimulation and adjuvant effects of *Vibrio anguillarum* bacterin, M-glucan, chitin or Freund's complete adjuvant in yellowtail, *Seriola quinqueradiata* to *Pasteurella piscicida* infection. *Fish Pathology* 33: 287-292.
- Kruse, H. and Sorum, H. 1994. Transfer of multiple drug resistance plasmids between bacteria of diverse origins in natural microenvironments. *Applied Environmental Microbiology* 60: 4015-4021.
- Li, Y. and Lovell, R.T. 1985. Elevated levels of dietary ascorbic acid increase immune responses in channel catfish. *J. of Nutrition* 115: 123-131.
- Matsuo, K. and Miyazano, I. 1993. The influence of long-term administration of peptidoglycan on disease resistance and growth of juvenile rainbow trout. Nippon Suisan Gakkaishi 59: 1377-1379.
- Oliver, G., Evelyn, T.P.T, and Lallier, R. 1985. Immunity to *Aeromonas salmonicida* in coho salmon (*Oncorhynchus kisutch*) induced by modified Freund's complete adjuvant: its non-specific nature and the probable role of macrophages in the phenomenon. *Developmental and Comparative Immunology* 9: 419-432.
- Sakai, M., Kamiya, H., Ishii, S., Atsuta, S., and Kobayashi, M. 1992. The immunostimulating effects of chitin in rainbow trout, (*Oncorhynchus mykiss*). In: Shariff, M., Subasighe, R.P. Arthur, J.R. (Eds.), *Diseases Asian Aquaculture Vol. 1. Fish Health Section, Asian Fisheries Society, Manila, Philippines*, pp. 413-417.
- Sakai, M. 1999. Current research status of fish immunostimulants. *Aquaculture* 172: 63-92.
- Secombes, C.J., Hardie, L.J., and Daniels, G. 1996. Cytokines in fish: an update. *Fish and Shellfish Immunology* 6: 291-304.
- Sung, H.H., Kou, G.H., and Song, Y.L. 1994. Vibriosis resistance induced by glucan treatment in tiger shrimp (*Penaeus monodon*). *Fish Pathology* 29: 11-17.
- Thompson, K.D., Cachos, A., and Inglis, V. 1995. Immunomodulating effects of glucans and oxytetraacycline in rainbow trout, (*Oncorhynchus mykiss*) on serum lysozyme and protection. In: Shariff, M., Subasighe, R.P. Arthur, J.R. (Eds.), *Diseases Asian Aquaculture Vol. 1. Fish Health Section, Asian Fisheries Society, Manila, Philippines*, pp. 433-439.
- Vadstein. 1997. The use of immunostimulation in marine larviculture: possibilities and challenges. *Aquaculture* 155: 401-417.
- Wahli, T., Verlhac, V., Gabaudan, J., Schuep, W., and Meier, W. 1998. Influence of combined vitamins C and E on non-specific immunity and disease resistance of rainbow trout, *Oncorhynchus mykiss* (Walbaum). *J. of Fish Diseases* 21: 127-137.
- Wise, D.J., Tomasso, J.R., Schwedler, T.E., Blazer, V.S., and Gatlin, D.M. III. 1993. Effect of vitamin E on the immune responses of channel catfish to *Edwardsiella ictaluri*. *J. of Aquatic Animal Health* 5: 183-188.

ฉบับรายลับบรรณาธิการ

กองบรรณาธิการฯ ขอแจ้งข่าวการพัฒนาวารสารสหสาขาวิชาชีวภาพ ฉบับวิทยาศาสตร์และเทคโนโลยี (วทท.) 2 ประการ คือ 1. การปรับปรุงวารสารให้เป็นวารสาร ราย 2 เดือน (6 ฉบับ/ปี) และ 2. การจัดทำเป็นวารสาร อิเล็กทรอนิกส์ (E-journal) และ ลงพิมพ์ข้อคิดเห็นทางวิชาการของ ผู้ช่วยศาสตราจารย์ ดร.ไตรภพ พ่องสุวรรณ ภาควิชาฟิสิกส์ คณะวิทยาศาสตร์ มหาวิทยาลัยสงขลานครินทร์ ซึ่งมีความเห็นต่อไปนี้

เรื่อง การศึกษาการ กันมัณฑรังสีของหินชนิดต่างๆ ในจังหวัดปัตตานี ด้วยรังสีแกมน้ำเงินโดยมิเตอร์ โดยกองบรรณาธิการฯ ได้ ส่งข้อคิดเห็นดังกล่าวไปยังผู้นำเสนอบทความแล้ว เมื่อวันที่ 31 กรกฎาคม 2545 แต่กองบรรณาธิการฯ ยังไม่ได้ รับการซึ่งแจ้งจากผู้นำเสนอบทความ เมื่อกองบรรณาธิการฯ ได้รับการซึ่งแจ้งจากผู้นำเสนอบทความ หรือประเด็น อื่นๆ จากผู้อ่านเพิ่มเติม กองบรรณาธิการฯ จะพิจารณานำเสนอตีพิมพ์ในวารสารฯ ฉบับต่อไป กองบรรณาธิการฯ มุ่งหวังว่า การมีความเห็นของผู้อ่านต่อบทความ และการซึ่งแจ้งของผู้นำเสนอบทความจะเป็นแนวทางในการสร้าง วัฒนธรรมทางวิชาการให้เกิดขึ้นในสังคมวิชาการของประเทศไทย ทำให้เห็นถึงการเคลื่อนไหวทางวิชาการ ซึ่งจะ นำไปสู่การสร้างองค์ความรู้ต่อไปได้

สำหรับประเด็นการพัฒนาวารสารฯ 2 ประการ ซึ่งกล่าวถึงข้างต้น มีรายละเอียด ดังนี้

1. มหาวิทยาลัยสงขลานครินทร์ ได้เริ่มจัดทำวารสารสหสาขาวิชาชีวภาพ ฉบับวิทยาศาสตร์และเทคโนโลยี ประจำปี พ.ศ. 2520 จนถึงปัจจุบันเป็นปีที่ 24 แล้ว จากการดำเนินงานที่ผ่านมา วารสารสหสาขาวิชาชีวภาพฯ ได้รับการพัฒนาจนเป็น ที่ยอมรับในวงการวิชาการมากขึ้น ดังผลการวิจัยของ รองศาสตราจารย์ ดร.ณรงค์ฤทธิ์ สมบัติสมภพ และคณะ มหาวิทยาลัยเทคโนโลยีพระจอมเกล้า ธนบุรี ซึ่งได้รับทุนวิจัยจาก สวทช. พบว่า วารสารสหสาขาวิชาชีวภาพ ฉบับ วทท. เป็น 1 ใน 4 ของวารสารวิชาการภาษาไทยในประเทศที่ได้รับการอ้างอิงอย่างต่อเนื่อง และปรากฏค่าตัวชี้วัด ผลกระทบการอ้างอิงทุกปี (ณรงค์ฤทธิ์ สมบัติสมภพ และคณะ. 2544. ดัชนีผลกระทบการอ้างอิงของวารสารวิชาการ ภาษาไทยในประเทศ : ตอนที่ 1 รายงานผลการวิจัยเบื้องต้น ว.วิจัยและพัฒนา มจธ. 24(3) : 355-370) และยังพบว่า วารสารสหสาขาวิชาชีวภาพ ฉบับวิทยาศาสตร์และเทคโนโลยี ประจำปี พ.ศ. 2545. ดัชนีผลกระทบการ อ้างอิงของวารสารวิชาการภาษาไทยในประเทศ : ตอนที่ 2 ความเร็วของบทความที่ถูกนำไปอ้างอิง ว.วิจัยและพัฒนา มจธ. 25(1) : 87-95)

จากข้อมูลดังกล่าว ทำให้มีผู้สนใจส่งต้นฉบับมายังกองบรรณาธิการฯ เพื่อให้พิจารณาตีพิมพ์เป็นจำนวนมาก มาก เป็นผลให้บทความที่ผ่านการพิจารณาตีพิมพ์ตามกระบวนการตรวจสอบของกองบรรณาธิการฯ แล้ว ต้องรอ เวลานานกว่าจะได้ลงตีพิมพ์เผยแพร่ เพื่อแก้ไขปัญหาดังกล่าว กองบรรณาธิการฯ จึงกำหนดระยะเวลาการตีพิมพ์ วารสารใหม่ ซึ่งปัจจุบันกำหนดระยะเวลาการตีพิมพ์เป็นวารสาร ราย 3 เดือน (quarterly) หรือ 4 ฉบับ/ปี โดย กำหนดใหม่ให้เป็นวารสารราย 2 เดือน (bimonthly) หรือ 6 ฉบับ/ปี โดยจะเริ่มตีพิมพ์ฉบับแรกในปี พ.ศ. 2546 คือ ฉบับปีที่ 25 ฉบับที่ 1 (มกราคม - กุมภาพันธ์ 2546) ซึ่งกองบรรณาธิการฯ หวังว่าจะทำให้ต้นฉบับที่ผ่าน การพิจารณาตีพิมพ์ตามกระบวนการตรวจสอบของวารสารแล้ว ได้รับการตีพิมพ์เร็วขึ้น

2. เพื่อให้การสารส่งขลานครินทร์ ฉบับวทท. ได้รับการเผยแพร่อย่างกว้างขวางและสะดวกมากยิ่งขึ้น กองบรรณาธิการฯ จึงได้จัดทำเป็นวารสารอิเล็กทรอนิกส์ (E-journal) ชื่อปัจจุบันได้จัดทำแล้ว 4 ฉบับ คือ ฉบับปีที่ 24 เล่มที่ 1-3 และฉบับพิเศษ (ฉบับปาล์มน้ำมัน) ซึ่งผู้ใช้บริการสามารถอ่านบทความของวารสารฯ ทั้ง 4 ฉบับ โดยมีขั้นตอนดังนี้

1. เข้า Website มหาวิทยาลัยสงขลานครินทร์ คือ <http://www.psu.ac.th/> หรือ <http://www.psu.ac.th/psuroot2>

2. กด (click) เลือกหัวข้อ PSU E-Journals จะปรากฏหน้า Website ของวารสารสงขลานครินทร์ฯ เนื้อหาที่ปรากฏจะมีรายละเอียดตามหัวข้อ ดังนี้

หัวข้อ Editorial Office - แนะนำของบรรณาธิการฯ โดยผู้สนใจสามารถติดต่อ
หัวหน้ากองบรรณาธิการ คือ รองศาสตราจารย์ ดร.ชาคริต ทองอุไร
ผ่านทาง e-mail : tchakrit@ratree.psu.ac.th และติดต่อ
สำนักงานวารสารฯ ผ่าน e-mail :ksasiton@ratree.psu.ac.th

หัวข้อ Instructions to Authors - คำแนะนำสำหรับผู้เขียนที่จะส่งบทความมาลงตีพิมพ์

หัวข้อ Manuscript Status - สำหรับการสืบค้นสถานภาพของบทความ ใช้สำหรับผู้ที่ส่งบทความ
มาลงตีพิมพ์ ซึ่งจะมีรหัสบทความที่กองบรรณาธิการฯ ให้ไว้สำหรับ
สืบค้น

หัวข้อ Published Articles - จะพบสารบัญ เล่มที่ เลขที่ (Volume, Number) และเนื้อหาของ
บทความแต่ละฉบับ และผู้ใช้สามารถ download บทความที่ต้องการได้

หัวข้อ Subscription - เป็นในบอกวันเป็นสามเดือน ผู้สนใจสามารถ download ได้

หัวข้อ Acrobat reader for download - โปรแกรมสำหรับอ่านไฟล์สกุล .pdf

หัวข้อ Current Volume - บทความในเล่มปัจจุบัน

กองบรรณาธิการฯ จะกำหนดระยะเวลาการนำเสนอบทความในวารสารอิเล็กทรอนิกส์ไว้ 5 ปี (20 ฉบับ)
เมื่อจัดทำฉบับใหม่ก็จะลบฉบับแรกออกไป โดยกองบรรณาธิการฯ จะจัดทำย้อนหลังจากปีที่ 24 ลงไปถึงปีที่ 20

สำหรับการพัฒนาในขั้นต่อไป กองบรรณาธิการฯ จะพยายามให้ผู้ใช้บริการมีความสะดวกในการสืบค้น
มากยิ่งขึ้น โดยผู้อ่านสามารถสืบค้น (search) บทความจากชื่อผู้เขียน หรือจากคำสำคัญ (key words) ได้ เมื่อ
พัฒนาโปรแกรมตั้งกล่าวแล้วเสร็จ กองบรรณาธิการฯ จะแจ้งให้ทราบต่อไป

หากท่านผู้อ่านมีข้อเสนอให้กองบรรณาธิการฯ เพื่อพัฒนา ปรับปรุง หรือ แก้ไข ในประเด็นใด สามารถ
เสนอความเห็นมายังกองบรรณาธิการฯ ได้ตลอดเวลา ตาม e-mail ข้างต้น

(รองศาสตราจารย์ ดร.ชาคริต ทองอุไร)

หัวหน้ากองบรรณาธิการวารสารสงขลานครินทร์

ฉบับวิทยาศาสตร์และเทคโนโลยี



บันทึกข้อความ

ผู้รายงาน ภาควิชาฟิสิกส์ คณะวิทยาศาสตร์ โทร. 074-288761
ที่ วันที่ 22 กรกฎาคม 2545
เรื่อง สอบถามข้อสงสัยในนิพนธ์ต้นฉบับ ว.ส่งขลานครินทร์ วทท. 2545 24(2)
เรียน บรรณาธิการ ว.ส่งขลานครินทร์ วทท.

ผู้ได้อ่านนิพนธ์ต้นฉบับเรื่อง “การวิเคราะห์ปริมาณ ยูเรเนียม โทเรียมและโพแทสเซียม ของหินในชั้นหัวดินราธิวาส ด้วยแกรมมาสเปกโตรเมตรี” ที่ลงตีพิมพ์ใน ว.ส่งขลานครินทร์ วทท. 2545 24(2) : 293-303 แล้วเกิดมีข้อสงสัยบางประการ จึงขอเรียนถามท่านผู้ทำการวิจัย เพื่อความกระจ่างดังต่อไปนี้

- เนื่องจาก รังสีแกรมมาภูมิหลัง (background gamma-ray) ในธรรมชาติก็มีพลังงานสูงเช่นกัน เพราะมีต้นกำเนิดมาจากไอโซโทปชนิดเดียวกับไอโซโทปที่กำลังวิเคราะห์ (K-U-Th) และแม้ว่าจะใช้กำบังตะกั่วล้อมหัวดัดแล้วก็ตาม ก็ยังคงมีรังสีเข้าสู่หัวดัดอยู่ระดับหนึ่ง ผู้วิจัยจึงนำแสดงข้อมูลของภูมิหลังพร้อมรูปสเปกตรัม และตัวอย่างสเปกตรัมของตัวอย่างหินที่วัดมา 1-2 ตัวอย่าง
- เนื่องจากจำนวนตัวอย่างหินที่ตรวจสอบไม่ได้มีจำนวนมากจนเกินไป จึงเห็นว่าควรเพิ่มเติมตารางแสดงผลการวิเคราะห์สเปกตรัมของภูมิหลังและของตัวอย่างหินแต่ละตัวอย่าง ได้แก่ Background count rates in K-, U-, Th-Channels; Uncorrected count rates in K-, U-, Th-Channels ของตัวอย่างหินที่วัด และ Corrected count rates in K-, U-, Th-Channels และผลการวิเคราะห์หาปริมาณ K-U-Th ของตัวอย่างหินแต่ละตัว
- ไม่ทราบว่าผู้วิจัยได้ทำการปรับแก้คอมพ์ตัน (Compton Correction) ของระบบวัดหรือไม่?? เนื่องจากการใช้หัวดัด NaI(Tl) ซึ่งมีกำลังแยกพลังงานต่ำ จำเป็นต้องปรับแก้คอมพ์ตันที่เกิดจากการ scattering ของ higher γ -ray energies (ของ Tl-208, Bi-214) แล้วไปตกอยู่ใน lower energy channels (ของ Bi-214 และ K-40) หากผู้วิจัยได้ทำการคำนวณค่า Compton Correction Coefficients ของระบบวัดที่ใช้ด้วย
- กราฟปรับเทียบมาตรฐานที่ผู้วิจัยได้แสดงไว้นั้น ในความเห็นของผู้ คงใช้ได้กับกรณีตัวอย่างที่มีไอโซโทปเดียวกับ K-40 หรือ Bi-214 หรือ Tl-208 เท่านั้น แต่คงไม่สามารถใช้ได้กับกรณีของตัวอย่างหิน ที่มีทั้ง 3 ไอโซโทปประกอบกัน เนื่องจากจะต้องมีการปรับแก้ Compton ของระบบวัดเสียก่อน

จึงเรียนถ้ามามาผ่านท่านบรรณาธิการ เพื่อขอให้ท่านผู้วิจัยกรุณายกตบองเพื่อให้เกิดความกระจำงแก่ผู้อ่าน และน่าจะเป็นประโยชน์ในด้านพัฒนาการด้านการศึกษาวิจัยกับมันดภาพรังสีในธรรมชาติ ให้มีมาตรฐานทัดเทียมต่างประเทศ

ขอแสดงความนับถือ

(ผศ.ดร.ไตรภพ ผ่องสุวรรณ)

ภาควิชาฟิสิกส์ คณะวิทยาศาสตร์

มหาวิทยาลัยสงขลานครินทร์



ประกาศเกียรติคุณผู้ทรงคุณวุฒิพิจารณาต้นฉบับ วารสารสังขานครินทร์ ฉบับวิทยาศาสตร์และเทคโนโลยี ปีที่ 24 (ฉบับที่ 1-4) พ.ศ. 2545 และฉบับพิเศษ (ปัลเม่น้ำมัน)

ด้วยวารสารสังขานครินทร์ ฉบับวิทยาศาสตร์และเทคโนโลยี ปีที่ 24 (ฉบับที่ 1-4) ประจำปี 2545 และฉบับพิเศษ (ปัลเม่น้ำมัน) ได้รับความกรุณาจากผู้ทรงคุณวุฒิหลายท่าน จากหลายหน่วยงาน โดยการสละเวลาและความคิดในการตรวจสอบต้นฉบับทบทวนความประगาดต่างๆ ด้วยความอุดสาหะ ยังผลให้วารสารสังขานครินทร์ฯ ดำเนินการไปด้วยความสมบูรณ์ยิ่ง ซึ่งนอกจากเป็นการดำรงไว้ซึ่งมาตรฐานทางวิชาการแล้ว ยังก่อให้เกิดคุณปการทางวิชาการ อีกทั้งได้ร่วมสร้างบรรยายกาศทางวิชาการ และเป็นการเผยแพร่ ชื่อเสียงของมหาวิทยาลัยด้วย

มหาวิทยาลัยสังขานครินทร์ จึงขอขอบพระคุณและประกาศเกียรติคุณผู้ทรงคุณวุฒิ ดังรายนามดังไปนี้ไว้ ณ ที่นี่

ก. ผู้ทรงคุณวุฒิภายนอกมหาวิทยาลัย

1. มหาวิทยาลัยเกษตรศาสตร์

- | | |
|----------------------------------|----------------|
| 1. ศ.ดร.ชัยวัฒน์ สมบัติคิริ | คณะเกษตรศาสตร์ |
| 2. ศ.ดร.จรัญ จันทลักษณา | คณะเกษตรศาสตร์ |
| 3. รศ.ดร.จังรักษ์ จันทร์เจริญสุข | คณะเกษตรศาสตร์ |
| 4. ศ.ดร.ทักษิณ อัตตะนันท์ | คณะเกษตรศาสตร์ |
| 5. ศ.ดร.ธรรมศักดิ์ สมมาตย์ | คณะเกษตรศาสตร์ |
| 6. ศ.ดร.พีระศักดิ์ ศรีนิเวศน์ | คณะเกษตรศาสตร์ |
| 7. ศ.ดร.สายัณห์ ทัดศรี | คณะเกษตรศาสตร์ |
| 8. ศ.ดร.สุรนันต์ สุกสรรพันธุ์ | คณะเกษตรศาสตร์ |
| 9. รศ.ดร.อรดี สาหัชรินทร์ | คณะเกษตรศาสตร์ |
| 10. รศ.ดร.อภิพรรณ พุกภักดี | คณะเกษตรศาสตร์ |
| 11. ผศ.ดร.นนท์วิทย์ อารีชน | คณะประมง |
| 12. ศ.ลัดดา วงศ์รัตน์ | คณะประมง |
| 13. ศ.ดร.สืบสิน สนธิรัตน์ | คณะประมง |
| 14. รศ.ดร.บุญเกื้อ วัชรสีຍර | คณะวิทยาศาสตร์ |
| 15. ศ.ประดิษฐ์ พงษ์ทองคำ | คณะวิทยาศาสตร์ |

- | | |
|-----------------------------------|--------------------|
| 16. รศ.ดร.สาวิตติรี ลิ่มทอง | คณะวิทยาศาสตร์ |
| 17. รศ.ดร.สุรินทร์ ปิยะโชคคณากุล | คณะวิทยาศาสตร์ |
| 18. รศ.ดร.กรกฤษ วัฒนวิเชียร | คณะวิศวกรรมศาสตร์ |
| 19. ผศ.ดร.ปฐมภรณ์ ศรีผดุงธรรม | คณะวิศวกรรมศาสตร์ |
| 20. รศ.ดร.พิภพ ลลิตาภรณ์ | คณะวิศวกรรมศาสตร์ |
| 21. รศ.ดร.วินัย เลี่ยงเจริญลักษณ์ | คณะวิศวกรรมศาสตร์ |
| 22. รศ.ดร.สุรศักดิ์ สงวนพงษ์ | คณะวิศวกรรมศาสตร์ |
| 23. รศ.ดร.สุคนธ์ชัน ศรีงาม | คณะอุตสาหกรรมเกษตร |
| 24. ดร.เกื้อกูล ปิยะจอมขวัญ | |

2. มหาวิทยาลัยขอนแก่น

- | | |
|----------------------------------|-------------------|
| 1. ศ.ดร.บุญญา วีเลเพล | คณะเกษตรศาสตร์ |
| 2. รศ.ดร.สนั่น จอกล้อย | คณะเกษตรศาสตร์ |
| 3. รศ.มนต์รี บุญเสนา | คณะเทคโนโลยี |
| 4. ผศ.ดร.พรเทพ ขอข้ายกีย์ติ | คณะวิศวกรรมศาสตร์ |
| 5. รศ.พัชรี หอยวิจิตร | คณะวิศวกรรมศาสตร์ |
| 6. ศ.ดร.ชิดชัย รัตนเคราะห์ฐานกุล | คณะสัตวแพทยศาสตร์ |

3. จุฬาลงกรณ์มหาวิทยาลัย

- | | |
|--------------------------------------|----------------------------|
| 1. รศ.ศิริชัย พงษ์วิชัย | คณะพาณิชยศาสตร์และการบัญชี |
| 2. รศ.จันท妮 อิกอิพานนิชพงศ์ | คณะแพทยศาสตร์ |
| 3. รศ.นพ.อนันต์ ศรีเกียรติชาร | คณะแพทยศาสตร์ |
| 4. รศ.ดร.กาญจน์พิมล ฤทธิเดช | คณะเภสัชศาสตร์ |
| 5. รศ.กัญจนา บุญยเกียรติ | คณะวิทยาศาสตร์ |
| 6. รศ.ดร.กันยารัตน์ ไชยสุต | คณะวิทยาศาสตร์ |
| 7. รศ.ดร.ครรชิต ธรรมศิริ | คณะวิทยาศาสตร์ |
| 8. รศ.ดร.จักร์ อัคคานันท์ | คณะวิทยาศาสตร์ |
| 9. ผศ.ดร.เจริญ นิติธรรมยง | คณะวิทยาศาสตร์ |
| 10. ศ.ดร.ทศพร วงศ์รต้น | คณะวิทยาศาสตร์ |
| 11. รศ.นันทน์ อังกินันทน์ | คณะวิทยาศาสตร์ |
| 12. รศ.ณัฏฐารัตน์ ปภาสวิทัย | คณะวิทยาศาสตร์ |
| 13. ผศ.ดร.สมชาย นาคะผดุงรัตน์ | คณะวิทยาศาสตร์ |
| 14. รศ.ดร.สมเกียรติ ปิยะธีรธิดิวรกุล | คณะวิทยาศาสตร์ |
| 15. รศ.อัปสรสุดา ศิริพงศ์ | คณะวิทยาศาสตร์ |
| 16. ผศ.ดร.จิรพัฒน์ เงาประเสริฐวงศ์ | คณะวิศวกรรมศาสตร์ |
| 17. อ.ไชยา แซ่เมือง | คณะวิศวกรรมศาสตร์ |

18. รศ.น.เรศร์ จันกันข้า	คณะวิศวกรรมศาสตร์
19. รศ.ดร.ภิญโญ มีชานะ	คณะวิศวกรรมศาสตร์
20. ศ.ดร.วิวัฒน์ ตัณฑพานิชกุล	คณะวิศวกรรมศาสตร์
21. ดร.สัญชัย นิลสุวรรณโนมิตร	คณะวิศวกรรมศาสตร์
22. รศ.น.สพ.ดร.จิโรจน์ ศศิปริย์จันทร์	คณะสัตวแพทยศาสตร์
23. รศ.ดร.สุเมธ ชาเดช	วิทยาลัยปิโตรเลียมและปิโตรเคมี
24. ดร.เพียรพรรค ทัศคร	สถาบันทรัพย์สินทางปัญญา

4. มหาวิทยาลัยเชียงใหม่

1. รศ.เกศินี ระมิงวงศ์	คณะเกษตรศาสตร์
2. รศ.ดร.บุญล้อม ชีวงศ์อิสรักษ์กุล	คณะเกษตรศาสตร์
3. รศ.ดร.บุญเสริม ชีวงศ์อิสรักษ์กุล	คณะเกษตรศาสตร์
4. รศ.ดร.พิมพ์ใจ อาภาวัชรุตม์	คณะเกษตรศาสตร์
5. รศ.ดร.อําไฟ ปันทอง	คณะแพทยศาสตร์
6. รศ.ดร.บุญสม เหลี่ยวเรืองรัตน์	คณะเภสัชศาสตร์
7. ศ.ดร.ทวี ตันฉัตรี	คณะวิทยาศาสตร์
8. รศ.ไพบูลย์ เล็กสวัสดิ์	คณะวิทยาศาสตร์
9. รศ.วิยะดา ตันวัฒนาภูล	คณะวิทยาศาสตร์
10. รศ.เสาวภา สนธิชัย	คณะวิทยาศาสตร์
11. รศ.ดร.เบญจวรรณ รัตนาเลสเทียร	คณะวิทยาศาสตร์
12. รศ.ดร.ศุภษา กานดาวนิชกุล	คณะวิศวกรรมศาสตร์
13. รศ.ดร.สมใจ กาญจนวงศ์	คณะวิศวกรรมศาสตร์
14. ผศ.ดร.อมรินทร์ บุญดัน	คณะวิศวกรรมศาสตร์
15. รศ.ดร.เอกชัย แสงอินทร์	คณะวิศวกรรมศาสตร์
16. รศ.ดร.นัยทัศน์ ภู่ศรัณย์	คณะอุตสาหกรรมเกษตร
17. รศ.ดร.เรณุ ปันทอง	คณะอุตสาหกรรมเกษตร

5. มหาวิทยาลัยเทคโนโลยีพระจอมเกล้า ชนบท

1. ศ.ดร.จุลละพงษ์ จุลละโพธิ์	คณะพลังงานและวัสดุ
2. รศ.ดร.ณรงค์ฤทธิ์ สมบัติสมgap	คณะพลังงานและวัสดุ
3. รศ.ดร.รัตนา จิระรัตนานนท์	คณะวิศวกรรมศาสตร์
4. ผศ.ดร.วีระ โลหะ	คณะวิศวกรรมศาสตร์
5. ผศ.ดร.สุภาภรณ์ เชื้อประเสริฐ	คณะวิศวกรรมศาสตร์

6. มหาวิทยาลัยเทคโนโลยีสุรนารี

1. ศ.ดร.ไพบูลย์ เหล่าสุวรรณ	สำนักวิชาเทคโนโลยีการเกษตร
-----------------------------	----------------------------

7. มหาวิทยาลัยธรรมศาสตร์

1. ดร.ชัยณรงค์ อิงคากุล
2. ผศ.ดร.กฤติยา เลิศโภคสมบัติ

คณะวิทยาศาสตร์และเทคโนโลยี
คณะวิศวกรรมศาสตร์

8. มหาวิทยาลัยเรศวร

1. รศ.ปริยานันท์ แสนโภชน์
2. รศ.ดร.สุมาลี สุทธิประดิษฐ์

คณะวิทยาศาสตร์
คณะเกษตรศาสตร์ ทรัพยากรธรรมชาติและสิ่งแวดล้อม

9. มหาวิทยาลัยบูรพา

1. รศ.ดร.วรรธน์ ชีวพร
2. ผศ.ดร.วิโรจน์ เรืองประเทืองสุข

คณะวิทยาศาสตร์
คณะวิศวกรรมศาสตร์

10. มหาวิทยาลัยมหิดล

1. รศ.ดร.พิมพิชญา ปั้กมสิริวัฒน์
2. รศ.ดร.นันทawan บุณยประภัสร์
3. ผศ.ดร.จิตต์ลัดดา ศักดิภพานิชย์
4. ผศ.ดร.ชาคริต ลิวิสิงห์
5. รศ.ดร.ประมวล ตั้งบริบูรณ์รัตน์
6. ศ.ดร.ยงค์วิมล เล่อนบุรี
7. รศ.ดร.วัฒนาลัย ปานบ้านเกร็ด

คณะเทคโนโลยีการแพทย์
คณะเภสัชศาสตร์
คณะวิทยาศาสตร์
คณะวิทยาศาสตร์
คณะวิทยาศาสตร์
คณะวิทยาศาสตร์
คณะวิทยาศาสตร์
คณะวิทยาศาสตร์

11. มหาวิทยาลัยวลัยลักษณ์

1. ศ.ดร.วินัย ประลมพ์กาญจน์
2. ดร.วรรณ ชูฤทธิ์
3. รศ.ดร.อนุชิต ชินاجริยวงศ์

สำนักวิชาเทคโนโลยีการเกษตร
สำนักวิชาเทคโนโลยีการเกษตร
สำนักวิชาเทคโนโลยีการเกษตร

12. มหาวิทยาลัยศิลปากร

1. ผศ.ดร.ชาคร วิภูษณวนิช
2. รศ.ดร.สีบสกุล ออยู่ยืนยง
3. ดร.อารีย์ ทองภักดี

คณะวิทยาศาสตร์
คณะวิทยาศาสตร์
คณะวิทยาศาสตร์

13. สถาบันเทคโนโลยีแห่งเอเชีย

1. ศ.ดร.สุกัฑ์ วงศิริเชษฐ์มใจ

สำนักวิชาวิศวกรรมโยธา

14. สถาบันเทคโนโลยีพระจอมเกล้า เจ้าคุณทหาร ลาดกระบัง

1. รศ.ดร.รอนชัย ลิทไธ่กรพงษ์

คณะเทคโนโลยีการเกษตร

- | | |
|-------------------------------|----------------------|
| 2. รศ.ดร.สุมิตรา ภู่โรดม | คณะเทคโนโลยีการเกษตร |
| 3. รศ.ดร.อิทธิสุนทร นันทกิจ | คณะเทคโนโลยีการเกษตร |
| 4. รศ.ดร.กิตติ ไพบูลย์วัฒนกิจ | คณะวิศวกรรมศาสตร์ |
| 5. ดร.ประกอบ กิจเชยา | คณะวิศวกรรมศาสตร์ |

15. สำนักงานพลังงานปرمณเพื่อสันติ

1. ผศ.ดร.สมพร จองคำ

16. นักวิชาการอิสระ

1. รศ.ธงชัย พึงรัศมี

17. กรรมประมง

- | | |
|--------------------------------|---|
| 1. ดร.กมลพร ทองอุ่นไวย | สำนักวิชาการ |
| 2. นายคณิต ไชยคำ | กองเพาะเลี้ยงสัตว์น้ำชายฝั่ง |
| 3. ดร.จงกลณี แซ่บช้าง | ศูนย์พัฒนาประมงทะเล อ่าวไทยตอนบน |
| 4. ดร.จุยะดี พงศ์มนีรัตน์ | กองควบคุมและพัฒนาอาหารสัตว์น้ำ |
| 5. ดร.พุทธ สองแสงจันดา | ศูนย์วิจัยกุ้งทะเล จ.สงขลา |
| 6. นายนิพัฒน์ สิริวนิดาภรณ์ | สถาบันวิจัยการเพาะเลี้ยงสัตว์น้ำชายฝั่ง |
| 7. นายวุฒิชัย เจนการ | สถาบันวิจัยชีววิทยาและประมงทะเล |
| 8. ดร.สุพิศ ทองรอด | กองควบคุมและพัฒนาอาหารสัตว์น้ำ |
| 9. ดร.อมรรัตน์ เสริมวัฒนาภุกุล | สถาบันวิจัยสัตว์สวยงามและสถานแสดงพันธุ์สัตว์น้ำ |

18. กรรมวิชาการเกษตร

1. ดร.จินดา จันทร์อ่อน
2. นายมนตรี จิรสุรัตน์
3. นายสุขวัฒน์ จันทร์ปราณิก

สถาบันวิจัยพืชไร่
กองกีฏและสัตว์วิทยา
ศูนย์วิจัยพืชสวนจันทบุรี

19. ศูนย์เทคโนโลยีโลหะและสกุณแห่งชาติ

1. ดร.สมนึก ศิริสุนทร
2. ดร.อศิรา เพื่องฟูชาติ
3. ดร.ศุภฤกษ์ อัครวิทยาพันธ์

20. ศูนย์พันธุวิศวกรรมและเทคโนโลยีชีวภาพแห่งชาติ

1. ดร.เฉลิมพล เกิดมณี
2. ดร.รุจ วัลยะเสวี

21. สูนย์วิจัยและขันสูตรโรคสัตว์ภาคใต้

1. สพญ.ช่องมาศ อันดรเสน

ข. ผู้ทรงคุณวุฒิภายในมหาวิทยาลัย

1. คณะกรรมการจัดการสิ่งแวดล้อม

1. ดร.ประชาติ ทวีบุรุษ
2. รศ.ณรงค์ ณ เชียงใหม่
3. รศ.ดร.โรจน์จันทร์ ด่านสวัสดิ์

2. คณะกรรมการธรรมชาติ

- | | |
|---------------------------------|--------------------------|
| 1. รศ.พัลภา กฤษณีย์เพบูลร์ | ภาควิชาการจัดการคัตตูฟีช |
| 2. ผศ.ดร.เลียง กฤษณีย์เพบูลร์ | ภาควิชาการจัดการคัตตูฟีช |
| 3. รศ.ดร.สุจาริน พิมคำ | ภาควิชาการจัดการคัตตูฟีช |
| 4. รศ.ดร.ชัยรัตน์ นิลนนท์ | ภาควิชาธรณีศาสตร์ |
| 5. ดร.ปราโมทย์ แก้ววงศ์ศรี | ภาควิชาธรณีศาสตร์ |
| 6. ผศ.ดร.จัลศรี นาวนศรี | ภาควิชาพีชศาสตร์ |
| 7. ผศ.ดร.ประวิตร โสภโนดร | ภาควิชาพีชศาสตร์ |
| 8. รศ.ดร.สมปอง เดชะโต | ภาควิชาพีชศาสตร์ |
| 9. รศ.ดร.สายยันท์ ศดุ๊ดี | ภาควิชาพีชศาสตร์ |
| 10. ผศ.ดร.อภินันท์ กำນลรัตน์ | ภาควิชาพีชศาสตร์ |
| 11. ผศ.ดร.ชุดima ตันติกิตติ | ภาควิชาวาริชศาสตร์ |
| 12. รศ.ดร.สมหมาย เชี่ยววารีสจจะ | ภาควิชาวาริชศาสตร์ |
| 13. ผศ.ดร.วันวิศิษฐ์ งามผ่องใจ | ภาควิชาสัตวศาสตร์ |
| 14. รศ.ดร.ศิริชัย ครีพงศ์พันธุ์ | ภาควิชาสัตวศาสตร์ |
| 15. รศ.นพ.สุรพล ชลธรรมรงค์กุล | ภาควิชาสัตวศาสตร์ |
| 16. ผศ.ดร.สุรศักดิ์ คงภักดี | ภาควิชาสัตวศาสตร์ |
| 17. สพญ.อุษา เชษฐานนท์ | ภาควิชาสัตวศาสตร์ |

3. คณะกรรมการศาสตร์

1. รศ.นพ.วิญญา มิตรานันท์
2. ดร.อุรัสวดี คงเมือง

4. คณะกรรมการแพทย์

1. รศ.ดร.วันทนna เหรียณุมงคล
2. ผศ.ดร.นิวัติ แก้วประดับ

ภาควิชาพยาธิวิทยา
ภาควิชาพยาธิวิทยา

ภาควิชาเภสัชกรรมคลินิก
ภาควิชาเภสัชเวทและเภสัชพฤกษาศาสตร์

5. คณะวิทยาศาสตร์

- | | |
|------------------------------|--------------------|
| 1. รศ.ดร.เพริศพิชญ์ คณาธารณा | ภาควิชาเคมี |
| 2. ผศ.ดร.อรวรรณ ศิริโชค | ภาควิชาเคมี |
| 3. อ.กัญญา นิติเรืองจรัส | ภาควิชาคณิตศาสตร์ |
| 4. ผศ.อภิญญา วงศ์กิตติการ | ภาควิชาคณิตศาสตร์ |
| 5. รศ.ดวงพร คันธิโชคดี | ภาควิชาจุลชีววิทยา |
| 6. ผศ.ดร.สุทธินี ภูวนาน | ภาควิชาจุลชีววิทยา |
| 7. ผศ.ดร.วิไลวรรณ โชคเกียรติ | ภาควิชาชีวเคมี |
| 8. รศ.ดร.คำนูน กาญจนภูมิ | ภาควิชาชีววิทยา |
| 9. รศ.ดร.จุฑามาศ ผลพันธิน | ภาควิชาชีววิทยา |
| 10. ผศ.ดร.ไตรภพ ผ่องสุวรรณ | ภาควิชาฟิสิกส์ |
| 11. ผศ.มาลินี วงศ์นนava | ภาควิชาเคมีสัมภพ |

6. คณะวิศวกรรมศาสตร์

- | | |
|--------------------------|-------------------------------|
| 1. ดร. Jarvis บุญกาญจน์ | ภาควิชาบริหารธุรกิจ |
| 2. ผศ.ปีพูลย์ อินนาจิตร | ภาควิชาบริหารธุรกิจ |
| 3. ดร.สุธรรม สุขุมณี | ภาควิชาบริหารธุรกิจ |
| 4. ดร.อุดมพล พีชนีพนูลย์ | ภาควิชาบริหารธุรกิจ |
| 5. รศ.ดร.ดนุพล ตันนโยกาส | ภาควิชาบริหารธุรกิจและการเงิน |
| 6. รศ.ดร.เล็ก สีคง | ภาควิชาบริหารธุรกิจและการเงิน |

7. คณะอุตสาหกรรมเกษตร

- | | |
|-------------------------------|----------------------------------|
| 1. ดร.ทิพยรัตน์ หงษ์ทรัพย์ | ภาควิชาเทคโนโลยีชีวภาพอุตสาหกรรม |
| 2. รศ.ดร.พูนสุข ประเสริฐสรรพ์ | ภาควิชาเทคโนโลยีชีวภาพอุตสาหกรรม |
| 3. ผศ.ดร.อรัญ หันพงศ์กิตติคุณ | ภาควิชาเทคโนโลยีชีวภาพอุตสาหกรรม |

8. วิทยาลัยชุมชนภูเก็ต

- | | |
|----------------------------|---------------------|
| 1. ดร.รัตนา เวทย์ประสิทธิ์ | สาขาวิชาการคุณพิเศษ |
|----------------------------|---------------------|

ประกาศ ณ วันที่ 25 ตุลาคม 2545



(รศ.ดร.ประเสริฐ ชิดพงศ์)
อธิการบดีมหาวิทยาลัยสงขลานครินทร์

Authors Index

Songklanakarin J. Sci. Technol., Vol. 24

A

Abdul Rashid Mohd Shariff ; 24(2) : 321-328
Achara Tawatsin ; 24(4) : 649-661
Adisorn Ratanaphan ; 24(3) : 509-531
Aimmanas Attawish ; 24(1) : 39-51
Aimrun Wayayok ; 24(2) : 321-328
Alongkoad Tanomtong ; 24(3) : 473-479
Amornrat Tangprasittipap ; 24(4) : 717-725
Anan Polthanee ; 24(2) : 197-207
Anchalee Chuthaputti ; 24(1) : 39-51 ; 24(4) : 633-647
Apichart Lawpetchara ; 24(4) : 595-600 ; 24(4) : 601-610
Ashara Pengnoo ; 24(1) : 1-8
Assa-aree Sama-ae ; 24(3) : 451-466

B

Bodee Khamseekhiew ; 24(2) : 209-216
Boonsom Siribumrungsukha ; 24(2) : 273-281

C

Chada Phisalaphong ; 24(4) : 633-647
Chaiya Poungsawai ; 24(2) : 227-234
Chakrit Tongurai ; 24(2) : 255-271
Chanagun Chitmanat ; 24(4) : 739-747
Charun Bunyakan ; 24(1) : 67-75 ; 24(2) : 255-271
Charun Maknoi ; 24(2) : 311-319
Cheunjit Kaewkunya ; 24(3) : 371-380
Chitnarong Sirisathitkul ; 24(2) : 305-310
Chittima Pairat ; 24(2) : 227-234

C

Choi Chee Wong ; 24(2) : 209-216
Chongmas Antarasena ; 24(2) : 329-340 ; 24(3) : 391-397
Chureerat Satjipanon ; 24(4) : 579-585 ; 24(4) : 587-593
Chusak Limsakul ; 24(2) : 177-188
Chutarat Junsui ; 24(4) : 707-716

D

Danupon Tonnayopas ; 24(4) : 675-700
Darunee Bhongsuwan ; 24(1) : 89-106
Doungporn Chunchit ; 24(2) : 235-242
Dusit Nakachart ; 24(3) : 399-411
Dzulkify Mat Hashim ; 24(3) : 431-438 ; 24(3) : 439-450

H

Haroom Hemsuree ; 24(1) : 149-157
Haruthai Longkullabutra ; 24(2) : 305-310

I

Ittisak Sriwang ; 24(4) : 701-706

J

Jaruwan Boonsiri ; 24(4) : 569-578
Jiraporn Petcharat ; 24(3) : 467-472
John Gregg ; 24(2) : 305-310
Juan Boo Liang ; 24(2) : 209-216

K

Kalayanee Kooptarnond ; 24(4) : 675-700

- Kamnoon Kanchanapoom ; 24(2) : 283-291 ; 24(3) : 357-364
Kamol Lertrat ; 24(4) : 555-560
Kanokrat Naweekan ; 24(2) : 235-242
Katawut Chaiyathape ; 24(1) : 15-30
Khanuengnit Pholphrugsa ; 24(4) : 707-716
Kidchakan Supamattaya ; 24(3) : 399-411
Kraillas Kiyothong ; 24(4) : 579-585 ; 24(4) : 587-593

L

- Ladda Eksomtramage ; 24(2) : 311-319 ; 24(4) : 707-716
Ladda Trongwongsa ; 24(2) : 329-340
Laddawan Moosikapala ; 24(2) : 217-225
Laemthong Chuenchom ; 24(2) : 235-242
Lakhana Egobol ; 24(1) : 131-138

M

- Mana Kanjanamaneesathian ; 24(1) : 1-8
Mohd Soom Mohd Amin ; 24(2) : 321-328
Mohd Musa Hanafi ; 24(2) : 321-328

N

- Nantawan Nantawanit ; 24(1) : 31-38
Naree Wongwongaree ; 24(2) : 177-188 ; 24(2) : 189-195
Narongrit Sombatsompop ; 24(1) : 53-66
Naruepol Phromkuntod ; 24(2) : 329-340 ; 24(3) : 391-397
Nathanan Trachoo, ; 24(4) : 717-725
Nawarat Prakailertlak ; 24(1) : 67-75
Nisakorn Koedsub ; 24(1) : 1-8

O

- Opas Rodchompoo ; 24(4) : 579-585
Orasa Patarapaiboolchai ; 24(4) : 701-706
Orawan Sirichote ; 24(2) : 235-242

P

- Pakamas Prayuenyong ; 24(3) : 493-507
Panote Thavarungkul ; 24(2) : 283-291
Panupong Nuchum ; 24(3) : 365-369
Panya Kheanumkeaw ; 24(1) : 107-115
Pimpaporn Pholsen ; 24(4) : 587-593
Piphol Suksaithaichana ; 24(1) : 131-138
Poonsuk Prasertsan ; 24(2) : 341-356 ; 24(3) : 413-420 ; 24(3) : 421-430
Poonsuk Prasertsan ; 24(4) : 717-725
Porntip Prommuang ; 24(2) : 329-340 ; 24(3) : 391-397
Praison Prommuang ; 24(2) : 329-340 ; 24(3) : 391-397
Praiwan Kirdtongmee ; 24(2) : 305-310
Pranee Chavalittumrong ; 24(1) : 39-51 ; 24(4) : 633-647
Prasert Jivanit ; 24(2) : 311-319

- Prasit Chutichudet ; 24(3) : 381-390
Prateep Songkeao ; 24(4) : 621-631
Puangpen Sirirugsa ; 24(2) : 311-319
Puangtip Kaewtubtim ; 24(1) : 117-122 ; 24(1) : 149-157 ; 24(2) : 293-303

R

- Rapee Puertpan ; 24(1) : 77-87
Ratchada Tatremontreechai ; 24(1) : 67-75
Rattapant Pattanarungson ; 24(3) : 473-479
Rerm-a-run Rugpheug ; 24(4) : 561-568
Romanee Karunchintadit ; 24(1) : 139-148
Roong-a-roon Varitikorn ; 24(4) : 707-716
Russly Abd Rahman ; 24(3) : 431-438 ; 24(3) : 439-450

S

- Sadudee Rattanajarasroj ; 24(1) : 39-51 ; 24(4) : 633-647
Saeed Mohamed Eltaib ; 24(2) : 321-328
Said Aslam ; 24(2) : 305-310
Saijai Jornead ; 24(4) : 707-716
Saithong Kaewchai ; 24(3) : 413-420 ; 24(3) : 421-430
Samatchar Naksombut ; 24(4) : 569-578
Sanan Subhadhirasakul ; 24(2) : 227-234
Sanun Jogloy ; 24(4) : 555-560
Saowakon Malakarn ; 24(2) : 255-271
Saowakon Wattanachant ; 24(3) : 431-438 ; 24(3) : 439-450
Saowapa Angsupanich ; 24(4) : 621-631
Sayan Sdoodee ; 24(1) : 9-14 ; 24(2) : 177-188 ; 24(2) : 189-195
Sayan Tudsri ; 24(3) : 371-380
Sharifah Kharidah Syed Muhammad ; 24(3) : 431-438 ; 24(3) : 439-450
Siriwat Wasiksiri ; 24(3) : 509-531
Somchai Chaisen ; 24(4) : 675-700
Somjate Patcharaphun ; 24(1) : 53-66
Somjit Rujikwan ; 24(2) : 329-340
Somkiat Punyamong ; 24(1) : 39-51 ; 24(4) : 633-647
Somkiat Saithanoo ; 24(4) : 595-600 ; 24(4) : 601-610
Sommai Changkian ; 24(1) : 117-122 ; 24(1) : 149-157 ; 24(2) : 293-303
Sommai Chiayvareesajja ; 24(4) : 621-631
Sompong Te-chato ; 24(2) : 217-225 ; 24(3) : 365-369 ; 24(4) : 561-568 ; 24(4) : 569-578
Songphol Chivapat ; 24(1) : 39-51 ; 24(4) : 633-647
Sopone Wongkaew ; 24(4) : 555-560
Suchada Sukrong ; 24(4) : 649-661
Sujin Simaraks ; 24(1) : 159-167 ; 24(3) : 473-479
Sunanta Pongsamart ; 24(1) : 31-38 ; 24(4) : 649-661
Supanee Chanaweerawan ; 24(1) : 9-14

Suparoek Watanasit ; 24(1) : 15-30
Supasarote Muensit ; 24(1) : 107-115
Surakrai Permkan ; 24(1) : 15-30 ; 24(3) : 533-544
Surapol Choldumrongkul ; 24(4) : 595-600 ; 24(4) : 601-
610
Surasak Kochapakdee ; 24(4) : 595-600 ; 24(4) : 601-610
Surasak Treesuwan ; 24(2) : 273-281

T

Tanongkiat Kiatsiriroat ; 24(2) : 243-253
Thinnakorn Kormsa-art ; 24(4) : 555-560
Thirapat Vivattanasirisak ; 24(4) : 663-674
Thumrongrat Amornraksa ; 24(1) : 77-87
Thumronk Amornsakun ; 24(4) : 611-619
Tipparat Hongpattarakere ; 24(3) : 481-491
Tripob Bhongsuwan ; 24(1) : 89-106
Tulyapong Tulayapitak ; 24(4) : 701-706

U

Udomphon Puetpaiboon ; 24(1) : 123-129
Uraiwan Chamnanwech ; 24(4) : 611-619
Uthen Kuntha ; 24(2) : 243-253

V

Vidhaya Tre-loges ; 24(2) : 197-207
Vimolmas Lipipun ; 24(1) : 31-38

W

Wanna Innajitara ; 24(2) : 235-242
Wanna Leowarin ; 24(1) : 1-8
Wantana Reanmongkol ; 24(2) : 227-234
Warit Madmarn ; 24(2) : 341-356
Wasan Sriwatana ; 24(4) : 611-619
Wichada Sunpui ; 24(3) : 357-364
Winai Pralomkarn ; 24(4) : 595-600 ; 24(4) : 601-610
Winyu Rattanapitikon ; 24(1) : 139-148 ; 24(4) : 663-674
Wiparat Choochare ; 24(2) : 227-234
Witool Chaiparkdee ; 24(4) : 561-568
Wittaya Tongsongsom ; 24(2) : 273-281
Worapol Aengwanich ; 24(1) : 159-167 ; 24(3) : 473-479
Wu Quisong ; 24(3) : 467-472
Wuttiporn Phromkunthong ; 24(3) : 399-411

X

Xu Zaifu ; 24(3) : 467-472

Y

Yuttapong Jitphatthanakul ; 24(3) : 399-411

Z

Zainal Aznam Jelan ; 24(2) : 209-216
Zeng Ling ; 24(3) : 467-472
Zhang Weiqiu ; 24(3) : 467-472

Key words Index

Songklanakarin J. Sci. Technol., Vol. 24

A

activated carbons ; 24(2) : 235-242
adventitious shoot ; 24(3) : 357-364
agricultural waste ; 24(1) : 1-8
agromyzid leaf miner ; 24(3) : 467-472
agronomic traits ; 24(4) : 555-560
air pollution ; 24(1) : 67-75
ALA production ; 24(4) : 717-725
5-aminolevulinic acid ; 24(4) : 717-725
Andropogon gayanus ; 24(4) : 579-585
Anglo-Nubian ; 24(4) : 595-600 ; 24(4) : 601-610
anthurium ; 24(4) : 569-578
antibodies ; 24(3) : 391-397
anti-microbial ; 24(1) : 31-38
antinociceptive activity ; 24(2) : 227-234
applied currents ; 24(2) : 283-291
Arachis hypogaea ; 24(4) : 555-560
Arachis pintoi ; 24(2) : 209-216
arthropod ; 24(1) : 15-30
Asia Mining ; 24(2) : 273-281
auxin ; 24(2) : 283-291
avian reovirus ; 24(2) : 329-340

B

baby corn ; 24(3) : 381-390
bacterial cells ; 24(3) : 421-430
bactericide ; 24(1) : 31-38

bagasse ; 24(2) : 235-242
bioconversion ; 24(2) : 341-356
biodesulfurization ; 24(3) : 493-507
bioflocculant ; 24(3) : 413-420 ; 24(3) : 421-430
biosorption ; 24(3) : 421-430
blood cell characteristics ; 24(3) : 473-479
boiling ; 24(2) : 243-253
bottom sediment ; 24(1) : 89-106
bounded function ; 24(3) : 451-466
BRCA1 ; 24(3) : 509-531
breaker height ; 24(4) : 663-674
breaking index ; 24(4) : 663-674
breaking wave height ; 24(4) : 663-674
breast cancer ; 24(3) : 509-531
buck effect ; 24(4) : 595-600
buffer zone ; 24(4) : 675-700
butterfly ; 24(3) : 533-544

C

calcium carbonate ; 24(1) : 117-122
callus formation ; 24(4) : 561-568 ; 24(4) : 569-578
cefotaxime ; 24(4) : 561-568
CELi cells ; 24(2) : 329-340
cellulases ; 24(3) : 481-491
chicken ; 24(1) : 159-167 ; 24(2) : 329-340
chlorophyll ; 24(1) : 9-14
chromosome number ; 24(2) : 311-319 ; 24(4) : 707-716

Cissus quadrangularis Linn. ; 24(1) : 39-51
coal ; 24(3) : 493-507
coconut shell ; 24(2) : 235-242
commercial starch ; 24(3) : 439-450
consumptive safety ; 24(4) : 649-661
continuous function ; 24(3) : 451-466
correlation ; 24(4) : 555-560
Crassostrea belcheri ; 24(4) : 621-631
crosslinking ; 24(3) : 431-438 ; 24(3) : 439-450
curcuminoids ; 24(4) : 633-647
cutting height ; 24(3) : 371-380 ; 24(4) : 587-593
cutting time ; 24(4) : 579-585 ; 24(4) : 587-593
cytokinins ; 24(3) : 357-364

D

decolorization ; 24(3) : 413-420
degradability ; 24(2) : 209-216
devulcanization ; 24(4) : 701-706
DGPS ; 24(2) : 321-328
digital watermarking ; 24(1) : 77-87
dissipation model ; 24(1) : 139-148
dose response ; 24(1) : 117-122
dry classification ; 24(2) : 273-281
dual-modification ; 24(3) : 431-438
durian polysaccharides ; 24(1) : 31-38
durian polysaccharide gel ; 24(4) : 649-661
durian-rind extracts ; 24(1) : 31-38
Durio zibethinus ; 24(1) : 31-38 ; 24(4) : 649-661
dwarf napier ; 24(3) : 371-380
Dyera costulata ; 24(2) : 227-234

E

emission ; 24(2) : 255-271
endangered birdwing butterflies ; 24(3) : 533-544
energy dissipation ; 24(1) : 139-148
Engineering geology ; 24(4) : 675-700
enteritis ; 24(1) : 131-138
esophagitis ; 24(1) : 131-138
evaporation ; 24(1) : 67-75 ; 24(2) : 255-271
extremophilic ; 24(3) : 481-491

F

fat-soluble vitamins ; 24(3) : 399-411
feldspar classification ; 24(2) : 273-281
fermented milk ; 24(4) : 717-725
fertilizer placement ; 24(2) : 197-207
fine-grained mineral classification ; 24(2) : 273-281
fish diseases ; 24(4) : 739-747
fish immunity ; 24(4) : 739-747
fish immunostimulant ; 24(4) : 739-747

flowering plants ; 24(4) : 707-716
formalin test ; 24(2) : 227-234

G

gamma ray spectrometer ; 24(1) : 149-157 ; 24(2) : 293-303
geoelectric ; 24(4) : 675-700
geostatistics ; 24(2) : 321-328
GIS ; 24(4) : 675-700
gnetum ; 24(3) : 365-369
green catfish ; 24(3) : 399-411
green manure ; 24(3) : 381-390
Greenspan Sapflow Sensors ; 24(2) : 177-188
guano ; 24(1) : 15-30

H

heat stress in chickens ; 24(1) : 159-167
heat-pulse method ; 24(2) : 189-195
heat-pulse sapflow sensors ; 24(2) : 177-188
heavy metal ; 24(1) : 89-106 ; 24(3) : 421-430
hematology ; 24(3) : 473-479
hemicellulases ; 24(3) : 481-491
heritability ; 24(4) : 555-560
Herpesvirus ; 24(1) : 131-138
hexadecanol ; 24(1) : 67-75
HI test ; 24(3) : 391-397
hydroxypropylation ; 24(3) : 431-438 ; 24(3) : 439-450
hyperthermophilic ; 24(3) : 481-491

I

image averaging ; 24(1) : 77-87
image processing ; 24(1) : 77-87
improved technique ; 24(2) : 217-225
indirect fluorescent antibody test ; 24(2) : 329-340
interferometer ; 24(1) : 107-115
intranuclear inclusion body ; 24(1) : 131-138
irregular wave model ; 24(1) : 139-148
irrigation ; 24(1) : 123-129
isolation protoplasts ; 24(2) : 217-225

J

Japanese encephalitis virus ; 24(3) : 391-397

K

kanamycin ; 24(4) : 561-568

L

Langmuir adsorption isotherm ; 24(2) : 235-242
larval parasitoids ; 24(3) : 467-472
leaf water potential ; 24(2) : 189-195

leucaena ; 24(3) : 371-380
 limestone cave ; 24(1) : 15-30
Liriomyza ; 24(3) : 467-472
Liriomyza's parasitoid ; 24(3) : 467-472
 lithium niobate ; 24(1) : 107-115
 locally bounded function ; 24(3) : 451-466
 longkong ; 24(1) : 9-14 ; 24(2) : 177-188 ; 24(2) : 189-195
 Lorentz force ; 24(2) : 305-310

M

magnetoresistance ; 24(2) : 305-310
 mangosteen ; 24(2) : 217-225 ; 24(4) : 561-568
 marine shells ; 24(1) : 117-122
 mass transfer coefficient ; 24(1) : 67-75 ; 24(2) : 255-271
 megachiroptera ; 24(1) : 15-30
 mesocarp fiber of oil palm ; 24(1) : 1-8
 microchiroptera ; 24(1) : 15-30
 micropropagation of anthurium ; 24(4) : 569-578
 modified starch ; 24(3) : 431-438 ; 24(3) : 439-450
 mortality rate ; 24(4) : 601-610
 mouth development ; 24(4) : 611-619
 mutation ; 24(3) : 509-531
Mystus nemurus ; 24(3) : 399-411

N

Narathiwat province ; 24(2) : 293-303
 NH_3N ; 24(2) : 209-216
 nitrogen ; 24(1) : 9-14
 N-mineralization ; 24(1) : 1-8
 non-destructive method ; 24(1) : 9-14

O

oestrus during pregnancy ; 24(4) : 595-600
 oil palm ; 24(2) : 283-291
 oil palm frond ; 24(2) : 209-216
 organogenesis ; 24(3) : 357-364
 overlay mapping ; 24(4) : 675-700
Oxyeleotris marmoratus ; 24(4) : 611-619

P

Painted Stork (*Mycteria leucocephala*) ; 24(3) : 473-479
 palm oil mill effluent (POME) ; 24(3) : 413-420
Penaeus monodon ; 24(4) : 621-631
 pericarp of rubber fruit ; 24(2) : 235-242
Phaeoisariopsis personata ; 24(4) : 555-560
 photosynthetic bacteria ; 24(4) : 717-725
 piezoelectric ; 24(1) : 107-115
 pigeon ; 24(1) : 131-138
 pigs ; 24(3) : 391-397

plantlet regeneration ; 24(4) : 561-568
 point kriging ; 24(2) : 321-328
 polar transport ; 24(2) : 283-291
 polymer ; 24(1) : 53-66 ; 24(3) : 421-430
 pressure drop ; 24(2) : 243-253
 preweaning ; 24(4) : 601-610
 propagation of gnetum ; 24(3) : 365-369
 PSU-TTSF ; 24(2) : 177-188
 PZT ; 24(1) : 107-115

R

R-22 alternatives ; 24(2) : 243-253
 radioactive elements ; 24(1) : 149-157 ; 24(2) : 293-303
 rambutan ; 24(1) : 9-14
 recycled gloves ; 24(4) : 701-706
 regeneration ; 24(3) : 357-364
 rock ; 24(1) : 149-157 ; 24(2) : 293-303
 ruzi ; 24(3) : 371-380

S

sago starch ; 24(3) : 431-438 ; 24(3) : 439-450
Saintpaulia ionantha ; 24(3) : 357-364
 sand deposit ; 24(4) : 675-700
 sand goby ; 24(4) : 611-619
 sap flow ; 24(2) : 177-188 ; 24(2) : 189-195
Sclerotium rolfsii ; 24(1) : 1-8
 scrap rubber ; 24(4) : 701-706
 screening ; 24(3) : 413-420
 seafood, 24(2) : 341-356
 seed quality ; 24(4) : 579-585 ; 24(4) : 587-593
 seed yield ; 24(4) : 579-585 ; 24(4) : 587-593
 semivariogram ; 24(2) : 321-328
 sequence space ; 24(3) : 451-466
 sequential cropping ; 24(2) : 197-207
 serum biochemistry ; 24(3) : 473-479
 shear heating ; 24(1) : 53-66
 shrimp pond effluent ; 24(4) : 621-631
 silicon membrane ; 24(2) : 305-310
 soaking seed ; 24(2) : 197-207
 Songkhla ; 24(4) : 675-700
 Songkhla Lake ; 24(1) : 89-106
 southern border of Thailand ; 24(2) : 329-340 ; 24(3) : 391-397
 soybean ; 24(2) : 197-207
 spacing ; 24(3) : 371-380
 SPAD-502 ; 24(1) : 9-14
 spatial variability ; 24(2) : 321-328
 starch characterisation ; 24(3) : 439-450
 starch properties ; 24(3) : 431-438 ; 24(3) : 439-450
 start of feeding ; 24(4) : 611-619

starvation ; 24(4) : 611-619
stomatal conductance ; 24(2) : 189-195
Stylosanthes guianensis CIAT 184 ; 24(4) : 587-593
subchronic toxicity ; 24(1) : 39-51
sulfur ; 24(3) : 493-507
superposition operator ; 24(3) : 451-466
surfactant ; 24(2) : 255-271

T

Taiwan A25 ; 24(3) : 371-380
temperature profiles ; 24(1) : 53-66
temperature sensor ; 24(1) : 53-66
Thai goat ; 24(4) : 595-600 ; 24(4) : 601-610
Thai Zingiberaceae ; 24(2) : 311-319
thermotolerant ; 24(3) : 421-430
thermotolerant bacteria ; 24(3) : 413-420
tissue culture technique ; 24(2) : 283-291 ; 24(3) : 365-
369
toxic effects ; 24(4) : 649-661
toxicity ; 24(4) : 633-647
treatment ; 24(4) : 621-631
tumor suppressor gene ; 24(3) : 509-531

V

Vertical Air Classifier ; 24(2) : 273-281
VFA ; 24(2) : 209-216
vitamin A ; 24(3) : 399-411
vitamin D ; 24(3) : 399-411
vitamin E ; 24(3) : 399-411
vitamin K ; 24(3) : 399-411
VOC ; 24(1) : 67-75 ; 24(2) : 255-271

W

wastes, 24(2) : 341-356
wastewater from hospital ; 24(1) : 123-129
wastewater reuse ; 24(1) : 123-129
water deficit ; 24(2) : 189-195
writhing test ; 24(2) : 227-234

Y

yield ; 24(3) : 371-380
yogurt ; 24(4) : 717-725
yolk absorption ; 24(4) : 611-619